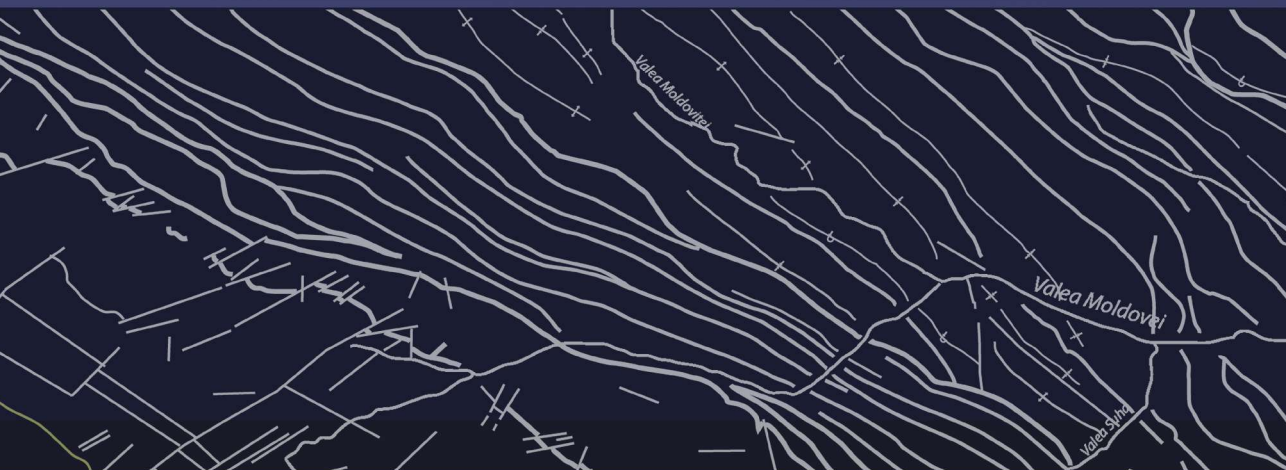


Raluca Bindiu Haitonic

**RELAȚIA DINTRE ASOCIAȚIILE DE FORAMINIFERE
FOSILE ȘI MEDIILE DEPOZIȚIONALE DIN NORDUL
PÂNZEI DE TARCĂU (CARPAȚII ORIENTALI, ROMÂNIA)**



Presa Universitară Clujeană



RALUCA BINDIU HAITONIC

**RELAȚIA DINTRE ASOCIAȚIILE
DE FORAMINIFERE FOSILE
ȘI MEDIILE DEPOZIȚIONALE
DIN NORDUL PÂNZEI DE TARCĂU
(CARPAȚII ORIENTALI, ROMÂNIA)**

RALUCA BINDIU HAITONIC

**RELAȚIA DINTRE ASOCIAȚIILE
DE FORAMINIFERE FOSILE
ȘI MEDIILE DEPOZIȚIONALE
DIN NORDUL PÂNZEI DE TARCĂU
(CARPAȚII ORIENTALI, ROMÂNIA)**

PRESA UNIVERSITARĂ CLUJEANĂ

2018

Referenți științifici:

Acad. Prof. dr. Ioan Bucur

Prof. dr. Sorin Filipescu

ISBN 978-606-37-0359-1

© 2018 Autoarea volumului. Toate drepturile rezervate.
Reproducerea integrală sau parțială a textului, prin orice
mijloace, fără acordul autoarei, este interzisă și se pedep-
sește conform legii.

Universitatea Babeș-Bolyai
Presa Universitară Clujeană
Director: Codruța Săcelean
Str. Hasdeu nr. 51
400371 Cluj-Napoca, România
Tel./fax: (+40)-264-597.401
E-mail: editura@editura.ubbcluj.ro
<http://www.editura.ubbcluj.ro/>

Cuprins

Introducere	7
Capitolul I. Geologia zonei studiate.....	9
1.1. Stratigrafia Pânzei de Tarcău.....	12
1.1.1. Cretacic Superior.....	12
1.1.2. Paleogen	14
1.2. Tectonica	20
Capitolul II. Istoricul cercetărilor micropaleontologice.....	21
Capitolul III. Material studiat și metode de lucru	27
3. 1. Colectarea materialului.....	27
3.2. Prelucrarea materialului	27
3.3. Metode de analiză și interpretare	28
Capitolul IV. Rezultate și discuții	37
4.1. Caracterizarea asociațiilor micropaleontologice.....	38
4.1.1. Valea Sucevei 1.....	38
4.1.2. Valea Brodinei 2	46
4.1.3. Valea Putnei.....	54
4.1.4. Valea Suha și Valea Sucevei 2	72
4.1.5. Palma.....	80
4.1.6. Straja Vest și Valea Brodinei 1	82
4.1.7. Dobra, Rusca și Grozăvești.....	87
4.1.8. Valea Brodinei 3, Valea Brodinei 6 și Voroneț	93
4.1.9. Valea Sucevei 3.....	102
4.1.10. Valea Moldoviței	112
4.1.11. Valea Humorului	117
4.1.12. Valea Boului	118
4.1.13. Locații sterile din punct de vedere micropaleontologic	120
4.2. Corelarea secțiunilor investigate	120
Capitolul V. Descrierea sistematică a foraminiferelor identificate în Pânza de Tarcău	125
Capitolul VI. Concluzii.....	169
Referințe bibliografice.....	173
PLANȘE	191
ANEXE.....	232

Introducere

Lanțul Carpatic reprezintă o arie de interes pentru studiul asociațiilor de foraminifere care, în multe cazuri, au fost utilizate pentru a argumenta aspecte biostratigrafice și paleoecologice. Pionierul biostratigrafiei aplicate a fost Joseph Grzybowski care în anul 1898 a demonstrat pentru prima dată aplicabilitatea foraminiferelor în corelările de vârstă pentru formațiunile cu hidrocarburi din Carpații Poloniei. Ulterior, foraminiferele din formațiunile cu turbidite depuse în condiții marine adânci au fost studiate în întreg arealul Carpaților.

Motivația de a studia asociațiile de foraminifere fosile din nordul Pânzei de Tarcău a pornit de la faptul că potențialul biostratigrafic și paleoambiental al acestora nu a fost suficient valorificat, studiile anterioare rezumându-se de multe ori la caracterizarea generală a asociațiilor și la aspectele taxonomice. În aceste condiții, utilizând metode micropaleontologice și statistice, am dorit caracterizarea asociațiilor în relație cu mediile depozitionale, identificarea unor bioevenimente cu potențial de corelare stratigrafică și o caracterizare a evoluției bazinului de sedimentare la nivel regional. Am studiat partea nordică a Pânzei de Tarcău (între Valea Sucevei în nord și Valea Moldovei în sud) datorită potențialului micropaleontologic oferit de formațiunile turbiditice cretacice superior - paleogene. Analizele s-au concentrat cu prioritate spre caracterizarea cantitativă și calitativă a asociațiilor de foraminifere fosile, morfologie, taxonomie, biostratigrafie și paleoecologie. Datele micropaleontologice au fost prelucrate statistic și corelate cu tendința sedimentologică din sistemele turbiditice, pentru a avea o imagine mai clară despre distribuția în spațiu și evoluția în timp a parametrilor paleoambientali, sub influența fluctuațiilor de nivel marin, a aportului terigen și nutritiv. De asemenea, am urmărit obținerea unor criterii de corelare cu aplicabilitate regională făcând apel la bioevenimente deja cunoscute din alte zone geografice, care să permită o mai bună înțelegere a etapelor și contextului în care a evoluat bazinul de sedimentare.

O parte din rezultatele obținute au fost publicate în revistele *Studia UBB Geologia* (Bindiu & Filipescu, 2011, 2015, 2016), *Geologica Carpathica* (Bindiu et al., 2013) și *Geological Quarterly* (Bindiu et al., 2016).

Adresez respectuoase mulțumiri domnului profesor dr. Sorin Filipescu pentru alegerea temei, îndrumarea științifică, sprijinul moral și logistic oferit pe parcursul anilor de cercetare și ajutorul acordat în structurarea și revizuirea textului prezentei lucrări.

Mulțumesc doamnei dr. Ewa Malata atât pentru discuțiile științifice purtate cât și pentru sprijinul moral extraordinar oferit în timpul stagiului de cercetare desfășurat la Jagiellonian University (Cracovia, Polonia).

Activitatea de teren și diseminarea rezultatelor au fost sprijinite și prin grantul „Brian O'Neal” oferit de Fundația Grzybowski, pentru care îi sunt recunoscătoare d-lui Prof. Michael A. Kaminski de la King Fahd University of Petroleum and Minerals (Dhahran, Arabia Saudită).

Adresez mulțumiri d-rei Șef lucrări Dr. Ramona Bălc pentru analizele de nannofosile calcaroase utilizate pentru clarificarea datelor biostratigrafice referitoare la două dintre secțiunile importante investigate.

Mulțumiri speciale colegei mele dr. Claudia Beldean pentru tot sprijinul și îndrumarea științifică, în special în perioada de început a pregătirii doctorale.

Îi mulțumesc domnului Conferențiar Dr. Lucian Barbu-Tudoran pentru asistența acordată în timpul efectuării fotografiilor la microscopul electronic.

Îi mulțumesc soțului meu Horea pentru înțelegerea și sprijinul acordat pe toată perioada derulării stagiului de doctorat, pentru faptul că m-a însoțit în majoritatea campaniilor de teren, pentru ajutorul oferit în realizarea materialului grafic și optimizarea prelucrărilor statistice.

Nu în ultimul rând, le mulțumesc părinților mei și surorii mele pentru tot sprijinul moral oferit.

Realizarea prezentului studiu a fost posibilă cu sprijinul financiar oferit de Fondul Social European (proiect POSDRU/107/1.5/S/76841), S.N.G.N. ROMGAZ (contract 18/2011) și Fundația Grzybowski (grantul Brian J. O'Neill).

Capitolul I. Geologia zonei studiate

Zona studiată, delimitată de Valea Sucevei în partea de nord și Valea Modovei în partea de sud (Fig. 1), aparține unităților nordice ale flișului cretacic superior - paleogen din Carpații Orientali (Băncilă, 1958).

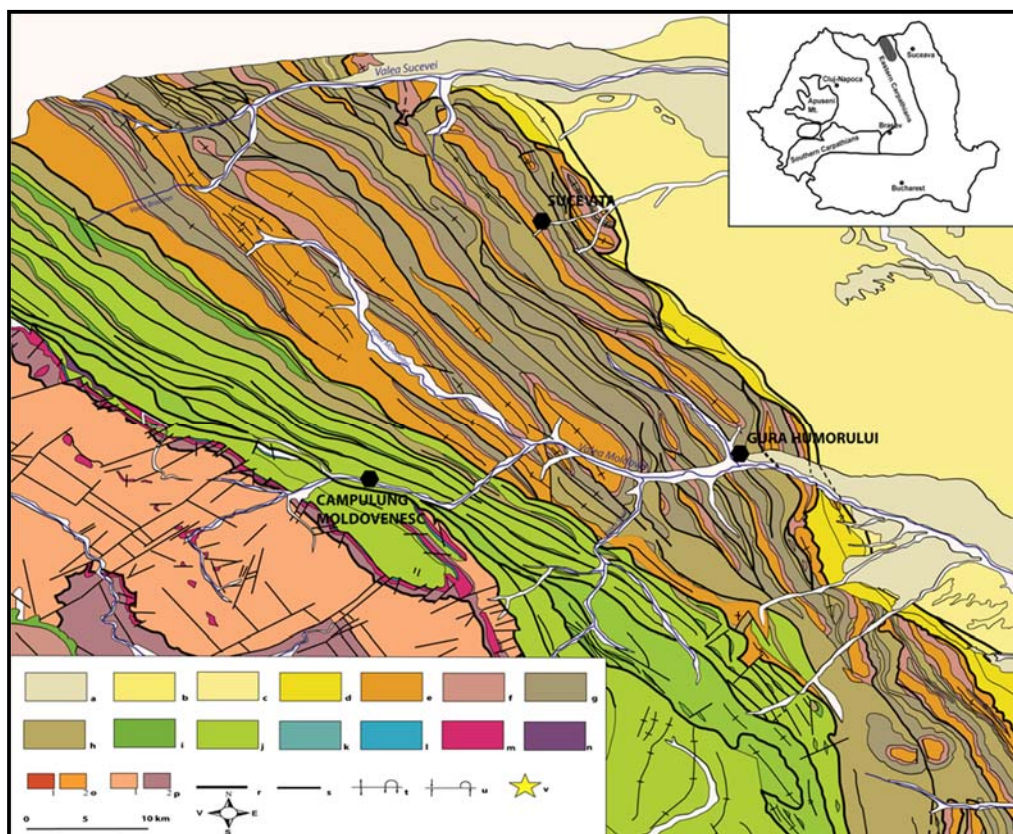


Figura 1. Harta geologică a arealului studiat (după Harta Geologică a României, scara 1:200.000, foile Rădăuți, Suceava, Piatra Neamț și Toplița): a. Cuaternar; b. Badenian; c. Sarmatian; d. Burdigalian; e. Oligocen; f. Eocen; g. Paleocen - Eocen; h. Cretacic Superior - Paleocen; i. Cretacic Superior; j. Cretacic Inferior; k. Jurasic Superior - Cretacic Inferior; l. Jurasic Mediu - Superior; m. Triasic; n. Magmatite mezozoice; o. Magmatite neogene (1 - roci magmatice, 2 - formațiuni vulcanogen sedimentară); p. Roci metamorfice (1 - epimetamorfite, 2 - mezometamorfite); r. falii; s. digitații; t. anticlinal (simetric, răsturnat); u. sinclinal (simetric, răsturnat).

Structural, aparține Pânzei de Tarcău respectiv Moldavidelor Externe (formațiuni sedimentare cu turbidite, care conțin și hemipelagite sau roci bituminoase - Săndulescu et al., 1981) - Fig. 2. Pânza de Tarcău, alături de pânzele de Vrancea

și Subcarpatice, constituie cele mai externe pânze de cuvertură ale Moldavidelor, care păstrează succesiuni sedimentare cretacice - cenozoice (Bădescu, 2005; Puglisi et al., 2006); planul de detașare al acestora de pe substratul inițial s-a activat începând cu Cretacicul inferior (Bădescu, 2005).

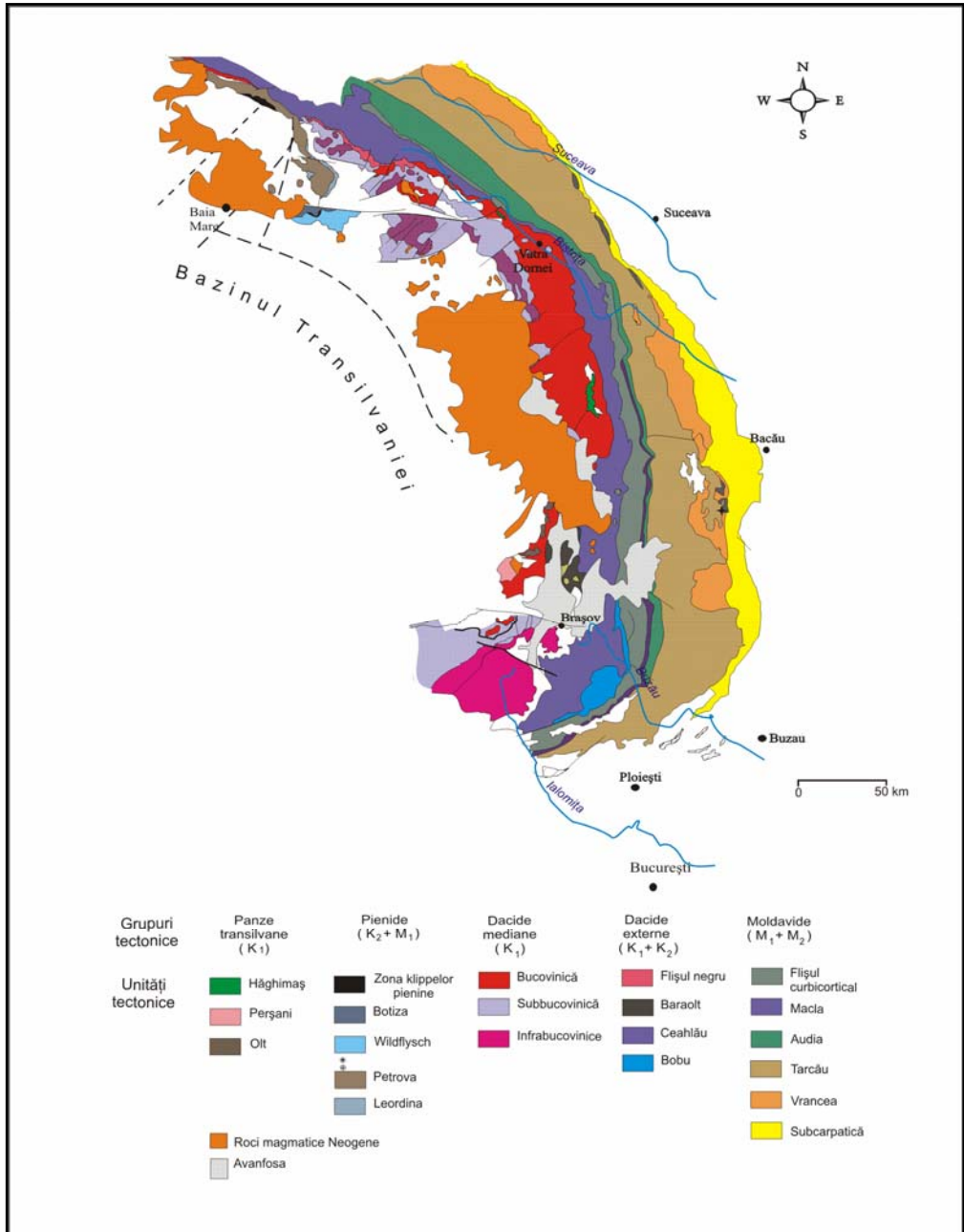


Figura 2. Harta unităților structurale ale Carpaților Orientali (după Bădescu, 2005)

Pânza de Tarcău (Joja, 1954, 1955; Săndulescu et al., 1981, Săndulescu, 1984; Juravle, 2007), cunoscută și sub denumirea de "Unitatea Medio - Marginală" (Agheorghiresei et al., 1967), este o unitate cu mai multe tipuri de facies (Dumitrescu 1948, 1952) și constituie, prin compoziția litostratigrafică, structura tectonică și extindere, unitatea cea mai importantă din Flișul Extern al Carpaților Orientali. Flișul Extern și implicit Pânza de Tarcău prezintă o structură tectonică complexă (pânze de șariaj, digitații, ferestre și semiferestre tectonice - Pandeles & Stănescu, 2001).

Pânza de Tarcău este alcătuită în arealul studiat din formațiuni care aparțin Cretacului superior, Paleogenului și Miocenului (Săndulescu, 1984). În timpul Eocenului, datorită regimului tectonic activ, au apărut diferențe majore în caracterul sedimentației din partea de nord (zona Suceava - Putna - Fig. 3) și sud (bazinul Moldovei - Fig. 4), în nord fiind dezvoltate faciesurile silicioase grosiere ale Gresiei de Scorbura (Joja, 1954; Juravle, 2007), iar în sud sedimentele fiind grezoase micacee aparținătoare Formațiunilor de Tazlău și Sucevița (Atanasiu, 1943; Agheorghiresei et al., 1967, Ionesi, 1971).

PÂNZA DE TARCĂU					VÂRSTA	
LITOFACIESUL DE TARCĂU	LITOFACIESUL DE TAZLĂU	LITOFACIESUL DE SCORBURA - TAZLĂU	LITOFACIESUL DE SCORBURA - DOAMNA	LITOFACIESUL DE DOAMNA		
Formațiunea de Ardeluța	Formațiunea de Lupoia		Formațiunea Gresiei de Lucăcești și a "marnelor cu globigerine"		EOCEN	PRIABONIAN
Formațiunea de Podu Secu	Formațiunea de Plopu		Formațiunea de Bisericiani			BARTONIAN
Formațiunea de Tarcău			Formațiunea de Doamna - Vițeu			LUTEȚIAN
	Formațiunea de Tazlău	Formațiunea de Scorbura - Tazlău	Formațiunea de Scorbura	Formațiunea de Sucevița		YPRESIAN
	Formațiunea de Straja	Formațiunea de Straja	Formațiunea de Straja			
Formațiunea de Izvor (sens Ionesi, 1966) = Formațiunea de Putna (sens Joja, 1968; Micu, 1979)					PALEOCEN	
Formațiunea de Horgazu	Formațiunea de Hangu				MAASTRICHTIAN CAMPANIAN	
"formațiunea argilelor vârgate"					SANTONIAN CENOMANIAN	
Formațiunea de Audia					"VRACONIAN" HAUTERIVIAN	

Figura 3. Stratigrafia Pânzei de Tarcău în arealul Valea Putnei - Valea Sucevei (modificat după Juravle, 2007)


PÂNZA DE TARCĂU				VÂRSTA		
LITOFACIESUL DE TARCĂU	LITOFACIESUL DE TAZLĂU		LITOFACIESUL DE DOAMNA			
Formațiunea de Ardeluța	Formațiunea de Lupoia	Formațiunea Gresiei de Lucăcești și a "mamelor cu globigerine"		PRIABONIAN		
Formațiunea de Secu	Formațiunea de Plopu		Formațiunea de Bisericani	EOCEN		BARTONIAN
Formațiunea de Tarcău			Calcarul de Doamna - Viteu			
	"gresia cu asterocycline"	Formațiunea de Sucevița				
	Formațiunea de Straja		LUTEȚIAN			
	Formațiunea de Izvor = Formațiunea de Putna					YPRESIAN
"membrul bazal"	F. de Sucevița	Form. De Runcu =Fliș ritmic				
	Formațiunea de Horgazu		"formațiunea cu inocerami" (=Hangu S.S.= F. De Lepșa)		MAASTRICHTIAN CAMPANIAN	
	"formațiunea argilelor vârgate"				SANTONIAN CENOMANIAN	
Formațiunea de Audia				"VRACONIAN" HAUTERIVIAN		

Figura 4. Stratigrafia Pânzei de Tarcău în bazinul Moldovei
(după Ionesi, 1971)

1.1. Stratigrafia Pânzei de Tarcău

1.1.1. Cretacic Superior

În arealul studiat formațiunile cele mai vechi care apar la zi sunt de vârstă campanian - maastrichtiană și sunt atribuite Formațiunii de Hangu (Atanasiu, 1939); au fost identificate pe cursul superior al Văii Sucevei, în Valea Brodinei și în Valea Putnei.

În timpul „Senonianului” sedimentarea în bazinul Pânzei de Tarcău a fost de tip turbiditic cu dispunere pe un aliniament NW-SE. De la vest la est, sunt prezente turbidite siliciclastice (gresii calcaroase diaclazate și marne și argile cenușii) provenite dintr-o sursă exclusiv carpatică (Formațiunea de Horgazu), turbidite calcaroase (gresii calcaroase, marne cu fucoide, marnocalcare etc.) cu areal sursă în zona de foreland (Formațiunea de Hangu) și turbidite cu caracter mixt între cele două menționate mai sus (Formațiunea de Poiana Uzului) (Săndulescu & Dimitrescu, 2004; Bădescu, 2005). Sedimentarea turbiditică a avut loc în timpul Coniacianului pentru Formațiunea de Horgazu și în timpul Campanianului pentru formațiunile de Poiana Uzului și Hangu (Săndulescu, 1984).

Depozitele campanian - maastrichtiene au fost descrise de Macovei & Atanasiu (1923) sub numele de „strate cu inocerami” acestea fiind constituite din roci calcaro-marnoase cu impresiuni de fucoide și resturi de inocerami. Ulterior, Atanasiu (1939) denumește depozitele ca „stratele de Hangu”, denumire care intră ulterior în uzul general (Joja, 1952, 1955; Costea & Balteș, 1962; Ionesi, 1961, 1967; Dicea, 1974; Mutihac & Ionesi, 1974; Grasu et al., 1988; Ion-Săndulescu, 1975; Ion-Săndulescu et al., 1997; Săndulescu et al., 1981; Florea, 1999; Săndulescu & Dimitrescu, 2004; Juravle, 2007). În studiul depozitelor dintre Valea Sucevei și Valea Putnei, Juravle (2007) a considerat Formațiunea de Hangu ca fiind alcătuită din alternanțe de marne cenușii albastrii, gresii calcaroase cenușii, gresii micacee, calcare micritice gălbui, microconglomerate și argile cenușii-verzui. O notă caracteristică pentru această formațiune este dată de marnele și marno-calcarele vinete albicioase cu fucoide, străbătute de diacaze umplute cu calcit (Ionesi, 1971). Pentru această formațiune au fost separați 4 membri: inferior cu „marne cu Chondrites” inferioare, „gresii cuarțoase curbicortice”, „marne cu Chondrites” superioare și „grezo-marno-argilos”. Atribuirea vârstei „senoniene” s-a făcut inițial pe baza speciilor de inocerami (Macovei & Atanasiu, 1923) după care au fost utilizate datele oferite și de alte grupe fosile: microforaminifere (Costea & Balteș, 1962; Joja et al., 1963; Ionesi & Todorjescu, 1968; Ionesi, 1971; Dicea, 1974; Bratu, 1975; Ion-Săndulescu, 1975; Ion et al., 1997), nanofosile calcaroase (Costea & Comșa, 1979; Florea, 1999, Bogatu, 1999; Juravle, 2007).

În cele 3 secțiuni care s-au dovedit a fi de vârstă cretacic superioară, succesiunea completă a Formațiunii de Hangu cu cei 4 membri a fost identificată doar pe Valea Putnei. Succesiunea cretacic superioară identificată în Valea Brodinei conține o alternanță ritmică de argile cenușii și calcare argiloase subțiri curbicorticele cu intercalații de gresii cuarțoase, care aparțin probabil „marnelor cu Chondrites superioare”. Pe cursul superior al Văii Sucevei a fost identificată o alternanță fină de argile, marne și calcare argiloase roșii și intercalații de gresii calcaroase albe, care în mod particular au fost încadrate în categoria „oceanic red beds (CORB)”, semnalate în premieră pentru această zonă. Singura lucrare care atestă prezența CORB în partea de nord a Pânzei de Tarcău este cea publicată de Bindu et al. (2013); autorii atribuie depozitelor vârsta Campanian superior pe

baza identificării unor taxoni index de foraminifere (*Caudammina ovulum gigantea*, *Globotruncana ventricosa*, *G. arca*) și nannofosile calcaroase (*Uniplanarius triffidus*, *Reinhardtites antophorus*). În partea centrală și de sud a Carpaților Orientali, depozitele de acest tip au fost studiate de Melinte (2002, 2006, 2008), Melinte & Jipa (2005), Melinte & Bubik (2005), Bubik (2006), Melinte et al. (2007), Bojar et al. (2009), Melinte-Dobrinescu & Roban (2011).

1.1.2. Paleogen

Perioada paleogenă a fost definită cu o varietate mare de faciesuri produse de instabilitatea tectonică, activarea surselor de alimentare făcându-se diferențiat (Săndulescu, 1984); toate acestea au ca rezultat modificarea morfologiei bazinului de sedimentare cu importante variații de facies, în special în depozitele eocene (Pandele & Stănescu, 2001; Bădescu, 2005; Juravle, 2007). Formațiunile din arealul studiat aparțin celor trei epoci ale Paleogenului. În timpul Eocenului inferior și mediu, în partea de nord a arealului studiat s-au depus în condiții de dinamică ridicată Gresile de Scorbura; în același timp, în bazinul sudic s-au depus Formațiunile de Tazlău și Sucevița. Oligocenul este caracterizat de o uniformizare a faciesurilor, cu instaurarea unor condiții restrictive și apariția unor litofaciesuri bituminoase.

1.1.2.a. Paleocen

Formațiunile paleocene din arealul studiat aparțin Formațiunii de Izvor denumită astfel de Ionesi (1966), în timp ce Joja et al. (1968) și Săndulescu & Dimitrescu (2004) au folosit pentru aceeași formațiune denumirea de Formațiunea de Putna. În studiul de față, această unitate a fost identificată pe Valea Putnei, Valea Sucevei 2, Valea Suha și Obcina Mare (zona Palma - partea stângă a drumului național Sadova - Rădăuți, în pasul Ciumârna)

Turbiditele paleocene, predominant calcaroase, sunt dispuse în continuitate de sedimentare peste Formațiunea de Hangu; uneori tranziția se face gradat.

Aria sursă a acestor depozite era situată în foreland (Bădescu, 2005), iar caracteristica litologică a formațiunii sunt alternanțele de grainstone de tip allodapic (Ionesi, 1961, 1966, 1971; Grasu et al., 1988; Juravle, 2007), laminate / convolute, în bancuri decimetrice, cu intercalații de marne și argile cenușii, negricioase sau verzi (Ionesi, 1971; Bădescu, 2005). Una din grupele fosile

principale folosite pentru datarea acestei formațiuni a fost cea a foraminiferelor (Grigoraș, 1955; Costea & Balteș, 1962; Joja et al., 1963; Filimon & Damian, 1965). Forma index din cadrul foraminiferelor este considerată *Rzehakina fissistomata* (Joja et al., 1963; Ionesi & Todorjescu, 1968; Bratu & Alexandrescu, 1970; Ionesi, 1971, 1974; Dicea, 1974; Bratu, 1975; Antonescu et al., 1977; Bindu & Filipescu, 2011, 2016). Informații cu privire la vârstă au fost obținute și cu ajutorul macroforaminiferelor (Băncilă, 1958; Ionesi 1961, 1966, 1971, 1974) și a nanofosilelor calcaroase (Ionesi & Mesaros, 1993, Florea, 1999, Juravle, 2007).

1.1.2.b. Eocen

În zona studiată formațiunile eocene au fost identificate în văile Sucevei, Brodinei, Putnei, Voronețului, Moldoviței și Humorului și aparțin litofaciesurilor care urmează a fi prezentate în continuare.

Epoca eocenă a fost caracterizată de un regim tectonic cu o dinamică accentuată, care a rezultat în formarea de bazine interne separate de cordiliere și un număr mai ridicat de arii sursă (Atanasiu, 1952; Săndulescu, 1984; Săndulescu & Micu, 1989). Formațiunile eocene din Pânza de Tarcău se succed zonar de la vest la est, fiind separate trei litofaciesuri: Tarcău, Tazlău și Doamna. În sectorul nordic al Pânzei de Tarcău (Valea Putnei - Valea Sucevei), între litofaciesurile de Tazlău și Doamna se intercalează Gresia de Scorbura, cu zone de tranziție spre cele două litofaciesuri (Fig. 3). Litofaciesul de Tarcău este dezvoltat în partea sudică a Carpaților Orientali, doar la sud de valea Bistriței (Bădescu, 2005).

În partea nordică a bazinului, unitățile ypresiene aparțin formațiunilor de Surcele (Joja, 1952) și Straja (Macovei & Atanasiu, 1923) în litofaciesurile de Doamna, Scorbura - Doamna și Scorbura - Tazlău. În litofaciesul de Tazlău și la sud de Valea Putnei, Formațiunea de Surcele lipsește, depozitele aparținând în exclusivitate Formațiunii de Straja.

Atribuirea **formațiunii de Surcele** bazei Eocenului s-a făcut inițial pe baza raportului geometric cu Formațiunea de Izvor în pat și Formațiunea de Straja din acoperiș. Resturile de nannoplancton calcaros indică o vârstă ypresian inferioară - medie (Juravle, 2007). Această formațiune este reprezentată de un nivel de cca. 30-50 m de gresii silicioase de tip Scorbura situat la baza Formațiunii de Straja.

Formațiunea de Straja (Joja, 1952) a fost considerată ca fiind depusă în Ypresianul mediu - superior în litofaciesurile estice și în Ypresian în litofaciesul de Tarcău. Prima încadrare stratigrafică a formațiunii a fost făcută de Atanasiu (1939) după care au urmat contribuțiile aduse de Joja (1952, 1954, et al., 1963), Băncilă & Papiu (1962), Ionesi (1971), Ionesi & Meszaros (1993), Juravle (2007). În arealul studiat formațiunea aparține tuturor litofaciesurilor menționate mai sus și se prezintă sub forma unei alternanțe de argile vărgate (argile verzi și roșii) cu intercalații subțiri de gresii cuarțitice glauconitice cu ichnofosile, cherturi, spongo-lite, menilite și calcare. Părerile privind vârsta formațiunii au fost împărțite, o serie de autori atribuind-o Paleocenului (Joja et al., 1963; Ionesi & Tocorjescu, 1970; Ionesi, 1971), în timp ce alții au atribuit-o Eocenului inferior (Costea & Balteș, 1962; Bratu & Alexandrescu, 1970). Încadrarea biostratigrafică a fost făcută pe abundenței speciilor de *Glomospira* (Costea & Balteș, 1962; Grigoraș et al., 1966; Agheorghiresei et al., 1967; Bratu & Alexandrescu, 1970; Bindiu & Filipescu, 2011) și a speciilor de nannoplancton calcaros (Florea, 1999; Juravle, 2007).

Distribuția formațiunilor în timpul eocenului mediu poate fi observată în figurile 3 și 4.

În arealul studiat, **Formațiunea de Tazlău** a fost identificată doar la sud de valea Putnei (sinclinalele Molid și Dobra, valea Humorului) și este reprezentată de o alternanță de gresii micacee cenușii, gresii calcaroase, grainstone, argile verzi și cenușii, marne și marno-calcare (Ionesi, 1971). Aceste depozite au fost studiate prima dată de Atanasiu (1943) iar Agheorghiresei et al. (1967) denumesc „strate de Tazlău” depozitele cuprinse între „stratele” de Straja și cele de Plopu. Datarea formațiunii a fost făcută pe baza prezenței unei asociații de foraminifere eocen medii (Agheorghiresei et al., 1967; Ionesi, 1971).

Formațiunea de Scorbura (Joja, 1954) aflurează în zona studiată în Valea Sucevei și Valea Putnei și este reprezentată de o succesiune de gresii cuarțoase în bancuri și strate metrice cu intercalații argiloase foarte subțiri. Gresile de la partea superioară a formațiunii reprezintă probabil echivalentul gresiilor cu asterocicline descrise de Ionesi (1961, 1971) și Florea (1999) în partea sudică a arealul studiat. Pe baza asociațiilor de nannofosile calcaroase, Juravle (2007) atribuie acestei formațiuni vârsta Ypresian superior - Lutetian.

Juravle (2007) a separat Membrul de Frasin (cu alcătuire litologică asemănătoare cu a Formațiunii de Tazlău) și Membrul de Ascuncelul (gresii cuarțoase glauconitice de tip Scorbura) ca parte a **Formațiunii de Scorbura - Tazlău**, fapt care pune sub semnul întrebării utilitatea demersului litostratigrafic dus la extremă. Datele biostratigrafice sunt asimilate celor știute pentru Formațiunea de Tazlău. Menționăm faptul că pe baza rezultatelor din prezentul studiu privind Formațiunea de Plopu în arealul studiat, vârsta Formațiunii de Scorbura - Tazlău se extinde doar până la nivelul Lutețianului confirmând ipotezele susținute de Joja et al. (1963); Agheorghiresei et al. (1967), Săndulescu et al. (1987).

Formațiunea de Sucevița (Joja, 1954; Joja et al., 1963) este reprezentată de o alternanță ritmică de gresii calcaroase verzui sau cenușii cu ichnofosile, în bancuri centimetrice sau decimetrice. Inițial această formațiune a fost atribuită de către Joja et al. (1963) Eocenului inferior, ulterior fiind atribuită părții superioare a Eocenului inferior și Eocenului mediu (Florea, 1999)

Peste ultimele două formațiuni descrise mai sus se dispune **Formațiunea de Doamna - Vițeu** (Joja et al., 1963) cu două subunități: Membrul Calcarului de Doamna (calcare cu cherturi) și Membrul Gresiei de Vițeu (alternanțe de gresii calcaroase glauconitice cu marne și argile verzi sau cenușii-verzui). În sud, Calcarul de Doamna este înlocuit de un facies arenitic (Florea, 1999; Bogatu, 1999). Această formațiune este atribuită Bartonianului pe baza similarității cu depozite echivalente din zonele sudice și pe baza asociațiilor de nannofosile calcaroase (Juravle, 2007).

În intervalul Lutetian - Priabonian faciesurile sedimentare s-au uniformizat (Juravle, 2007). În arealul studiat, unitățile inferioare sunt atașate formațiunilor de Plopu și Bisericiani, iar cele superioare formațiunilor de Lupoia, Lucăcești și „marnelor cu globigerine” (Fig. 3, 4).

Trecerea de la Eocenul mediu la superior este caracterizată de **Formațiunea de Plopu** (Atanasiu, 1943) (în litofaciesurile de Tazlău și Scorbura - Tazlău) în partea vestică și **Formațiunea de Bisericiani** (Atanasiu, 1943) (litofaciesurile de Scorbura - Doamna și Doamna) în est. Formațiunea de Plopu este reprezentată de un fliș tip “strate cu ichnofosile” alcătuit dintr-o alternanță de argile verzi și cenușii și gresii cu ritmuri subțiri în bază, cu intercalații de argile roșii în treimea inferioară (Bădescu, 2005); această descriere litologică se aplică și formațiunilor

de pe Valea Sucevei care au constituit obiectul prezentului studiu. Formațiunea de Bisericiani este reprezentată de alternanțe de argile, siltite, rare gresii, microconglomerate și breccii cu elemente de șisturi verzi (Bădescu, 2005). Ambele formațiuni au fost amplu studiate (Atanasiu, 1943; Joja et al., 1963; Ionesi, 1961, 1971, 1989; Grasu, 1988; Bogatu, 1999; Florea, 1999), dar vârsta acestora a constituit subiect de controverse; unii autori le plasează în Eocenul superior (Ionesi, 1957; Dicea, 1974; Dicea & Dicea, 1976, 1980; Juravle, 2007; Juravle et al., 2008), iar alții plasează limita dintre Eocenul mediu și superior în interiorul acestor unități (Joja et al., 1963; Agheorghiresei, 1967; Săndulescu et al., 1987; Bădescu, 2005; Bindiu et al., 2016). Pe baza analizei asociațiilor de foraminifere și nannofosile calcaroase identificate în Formațiunea de Plopu din prezentul studiu ne alăturăm grupului care susține cea de-a doua ipoteză. Asociațiile de foraminifere identificate indică o adâncime mare de depunere a acestor unități.

Partea superioară a Priabonianului este reprezentată de **Formațiunea de Lupoia** (Ionesi, 1971) și **Formațiunea Gresiei de Lucăcești** (Atanasiu, 1943) și a „**marnelor cu globigerine**”. Formațiunea de Lupoia este reprezentată de bancuri mari de gresii cuarțitice, albicioase sau gălbui, cu varietăți slab calcaroase (Juravle, 2007). „Marnele cu globigerine” au fost formate într-un regim de sedimentare pelagic, microfosilele (în deosebi globigerine, alături de care mai apar și foraminifere bentonice calcaroase și aglutinante) acestei formațiuni sugerând un mediu de sedimentare de la șelf extern până la bathial superior (Bădescu, 2005). Vârsta formațiunii a fost stabilită pe criterii geometrice, paralelizări cu formațiunea echivalentă și pe baza conținutului micropaleontologic (Atanasiu, 1943; Băncilă, 1955, 1958; Ionesi, 1971; Bădescu, 2005; Juravle, 2007).

1.1.2.c. Oligocen - Miocen

În arealul studiat singurele depozite care s-au dovedit a fi bogate din punct de vedere micropaleontologic au fost cele situate pe pârâul Boului (în apropierea localității Paltinu), toate celelate secțiuni (Dragoș, Molidu, Argel, Rașca, Valea Brodinei 4, Valea Brodinei 5, Valea Brodinei 7) fiind sterile și fiindu-le atribuită vârsta doar pe baza litologiei. Absența fosilelor în aceste depozite se datorează probabil mediului anoxic, care a instalat litofaciesurile bituminoase oligocene. Depozitele oligocene s-au dezvoltat în litofaciesurile **de Fusaru** (Ionesi, 1971) în vest și **Moldovița** (Ionesi, 1971) și **Kliwa** (Paul & Tietze, 1877) în est.

Litologic, acestea sunt alcătuite din (figura 5):

- „formațiunea menilitelor inferioare și a marnelor brune bituminoase” (Atanasiu, 1943; Joja, 1954). În Valea Putnei menilitele inferioare sunt separate în doi membri: Membrul Marnelor de Lingurești (Stoica, 1944) și al Gresiei de Fierăstrău (Dumitrescu, 1952) și Membrul „menilitelor compacte” (Ionesi, 1971). Se presupune ca această formațiune a fost depusă într-un mediu bathial mediu-inferior (Bădescu, 2005).
- „șisturile disodilice inferioare” (Joja, 1954) sunt reprezentate de argile bituminoase brun cenușii sau negricioase cu o laminație pronunțată, cu resturi de pești (Bădescu, 2005; Juravle, 2007).
- Gresia de Kliwa (Paul & Tietze, 1877) dominant cuarțitică, cu intercalații de șisturi disodilice, are origine mixtă (Bădescu, 2005).
- Formațiunea de Fusaru (Popescu, 1952) dominant psamitică, micacee, alcătuită din gresii masive slab calcaroase cu intercalații pelitice argilomarnoase (Ionesi, 1971).
- Formațiunea de Vinețișu (Grigoraș, 1955) face trecerea de la Oligocen la Miocen și este prezentă în arealul studiat în secțiunea de pe Valea Boului (în apropierea localității Paltinu). Succesiunea este reprezentată de un fliș grezo - marnos cu gresii calcaroase curbicorticele, cenușii și marne și argile cenușii, depuse într-un mediu bathial mediu.

Vârsta	Pânza de Tarcău		
	Litofaciesul de Fusaru	Litofaciesul de Moldovița	Litofaciesul de Kliwa
Miocen	Formațiunea de Vinețișu	Formațiunea de Vinețișu	
Oligocen		„Disodile superioare”	
	Formațiunea de Fusaru	Formațiunea de Kliwa	Formațiunea de Kliwa
	„Disodile inferioare”	„Disodile inferioare”	„Disodile inferioare”
	„Marne bituminoase”	„Marne bituminoase”	„Marne bituminoase”
	„Menilite inferioare”	„Menilite inferioare”	„Menilite inferioare”

Figura 5. Litostratigrafia depozitelor oligocene din Pânza de Tarcău (după Ionesi, 1971)

1.2. Tectonica

Pânza de Tarcău cuprinde mai multe digitații (Dumitrescu, 1948, 1952), urma planului de șariaj în raport cu restul pânzelor din flișul extern fiind foarte festonată (Săndulescu, 1984). În Carpații de la nord de frontieră, Pânza de Tarcău corespunde pânzelor de Skole, Subsileziană și Sileziană, care au acoperit inițial Pânza Cutelor Marginale, după care semiferestrele au fost descoperite prin eroziune (Săndulescu 1984; Roure et al., 1993; Ellouz & Roca, 1994; Lafargue et al., 1994; Mațenco & Bertotti, 2000). Structura și șariajul major al Pânzei de Tarcău s-a realizat în tectogenezele miocene; schișarea și deformarea inițială a unității s-a realizat la începutul Miocenului urmând ca în Badenian, ca urmare a tectogenezei stirice noi, să se producă punerea în loc a Pânzei de Tarcău (Mutihac & Ionesi, 1974; Săndulescu, 1984). Rezultatul este o structură complicată cu digitații, solzi și lame de rabotaj delimitate de linii de șariaj și falii, complicații care se accentuează spre fruntea pânzei, de la vest la est. În arealul nordic studiat (afundat accentuat față de zona sudică), Juravle (2007) a delimitat 7 solzi cu vergență estică și o lamă de rabotaj. Pentru arealul sudic (bazinul Moldovei) au fost separate trei sectoare tectonice (Ionesi, 1971): Moldovița (cute largi, aplecate spre est, neafectate de falii), Molid (ridicat spre est, cu falii direcționate și apariția în anticlinale a depozitelor eocene și „senoniene”) și Obcina Mare (cute faliat și împinse unele peste celelalte de la est la vest sub formă de solzi), în care au fost delimitate anticlinalele Micăușa, Moldovița, Lupoia - Dobra, sinclinalul Molid, cutele Poiana Frasinului și solzii Comarnicul - Rogoza - Văratecu, Oița - Pietrele Brusturosului, Maghernița - La Pârloage - Bucșoița, Pădurea Morii - Voroneț, Poiana Micului, Frasin - Runcu Cailor și Pleșa - Larga - Măgura Voronețului.

Capitolul II. Istoricul cercetărilor micropaleontologice

Formațiunile sedimentare ale Pânzei de Tarcău (Cretacic superior - Paleogen) ocupă o suprafață mare în zona flișului Carpaților Orientali și prezintă particularități de facies notabile. Din nevoia de datare și corelare stratigrafică a acestor formațiuni, studiile micropaleontologice s-au bazat pe analiza diferitelor grupe de fosile - microforaminifere, macroforaminifere, nannoplancton calcaros, moluște. Cercetările asupra asociațiilor de foraminifere au cuprins în marea majoritate observații taxonomice și mai rar interpretări paleoambientale. Una din principalele direcții de cercetare a fost stabilirea unei scheme de zonare biostratigrafică pentru acest areal, deoarece existența complicațiilor tectonice (cute, falii, solzi și digitații) a iscat de-a lungul timpului numeroase controverse în datarea și corelarea formațiunilor.

Studii bazate pe asociații de foraminifere din Cretacicul Pânzei de Tarcău au fost realizate de Tocorjescu (1954) care a utilizat ca diagnostice pentru vârstă speciile de *Globotruncana* și grupul *Heterohelidelor*.

Studii detaliate asupra Cretacului din Pânza de Tarcău și Pânzele Marginale au fost realizate de Ion (1973, 1975 a,b). În studiul din 1975 autoarea a publicat o biozonare pentru flișul extern al Carpaților Orientali, corelând toate datele de pe teritoriul României cu zonările descrise din flișul cretacic din Polonia și Cehoslovacia. Conform acestei zonări, majoritatea speciilor utilizate ca repere stratigrafice aparțin foraminiferelor bentonice: apariția speciilor *Hormosina ovulum gigantea* Geroch și *Nodellum velascoensis* (Cushman) caracterizează Turonianul, "Senonianul" inferior este definit de zona cu *Uvigerinammina yankoi* iar "Senonianul" superior este caracterizat de apariția speciei *Rzehakina inclusa* (Grzybowski) și dispariția speciei *Uvigerinammina yankoi*. În același an, autoarea a stabilit o nouă biozonare pentru Carpații Orientali, care a stat la baza studiului realizat ulterior de Antonescu et al. (1977) în care sunt corelate datele oferite de foraminifere cu cele de polen pentru șisturile negre și argilele vărgate albian superioare - cenomaniene din pânzele de Tarcău și Audia.

Importanța biostratigrafică a foraminiferelor din Cretacul superior turbiditic ("fliș") al Carpaților Orientali a fost subliniată de Neagu et al. (1992), urmând

schemele propuse pentru Carpații Poloniei de Morgiel & Olszewska (1981) și Geroch & Nowak (1984), la care s-au adăugat date oferite de asociațiile identificate în Carpații României. Biozonele identificate în acest studiu sunt: I. Biozona cu *Recurvoides pseudononioninoides* Neagu & Platon / ex *Haplophragmoides aff. nonioninoides* Reuss (Albian inferior); II. Biozona cu *Plectorecurvoides alternans* Noth (Albian superior - Cenomanian inferior-mediu); III. Biozona cu *Haplophragmoides falcatosuturalis* Neagu (Vraconian - Cenomanian inferior - lipsește din biozonarea elaborată de Geroch & Nowak, 1984); IV. Biozona cu *Bulbobaculites problematicus* Neagu (Cenomanian mediu - baza Turonianului superior); V. Biozona cu *Uvigerinammina jankoi* Marzon (Turonian superior - limita Santonian / Campanian); VI. Biozona cu *Goesella rugosa* Hanzliková (Campanian inferior); VII. Biozona cu *Hormosina ovulum gigantea* Geroch (Campanian mediu - Maestrichtian, foarte aproape de limita K/P); VIII. Biozona cu *Rzehakina fissistomata* - *Haplophragmoides* (baza Paleocenului / Danian?).

Contribuții la identificarea poziției limitei Cretacic - Paleogen au fost realizate de Tocojescu (1960), Costea & Balteș (1962), Joja et al. (1963), Grigoraș (1966), Ionesi & Tocojescu (1968), Bratu & Alexandrescu (1970), Dicea (1974), Ionesi (1974), Bratu (1975). Majoritatea studiilor enumerate susțin ideea ca partea superioară a Cretacicului este caracterizată de prezența speciilor de *Globotruncana* în timp ce Paleocenul inferior este dominat de foraminifere aglutinante. Urmând această caracterizare, Tocojescu (1960) a separat trei unități corespunzătoare "Senonianului" superior (*Globotruncana* și *Haeterohelicideae*), Danianului (foraminifere aglutinante de tip Wadovice - Grzybowski, 1896) și Paleocen - Eocenului (globigerine predominant *Globigerina triloculinoides*). Ionesi & Tocojescu (1968) au stabilit limita între "stratele cu inocerami" (Cretacic superior) și Formațiunea de Izvor (Paleocen) pe baza ultimei apariții a speciei *Abathomphalus mayaroensis* (Bolli) și a speciilor de *Globotruncana*. Ion Săndulescu (1973) a plasat limita Cretacic / Paleogen în partea terminală a "stratelor" de Horgazu pe baza apariției speciilor *Globigerina triloculinoides* Plummer (în asociație cu *Heterohelix*), *Nuttallides truempyi* Nuttal și *Glomospira diffundens* (Cushman & Renz); pentru Paleocenul mediu a fost considerată ca diagnostică apariția speciei *Rzehakina fissistomata*, iar pentru Paleocenul superior de asociația cu *Glomospira diffundens*, *Hormosina ovulum ovulum* și *Nodellum velascoensis*.

Una dintre cele mai importante contribuții care a vizat în special Paleogenul din zona studiată a fost cea realizată de Joja et al. (1963), care au analizat conținutul micropaleontologic al depozitelor flișului extern dintre văile Suceava și Sucevița, în intervalul Cretacic superior - Paleogen. Aceste depozite au fost separate în unități stratigrafice, ca "orizonturi" aparținătoare unității superioare (Pânza de Tarcău). Chiar dacă arealul studiat este localizat în partea de nord a Pânzei de Tarcău, caracterele micropaleontologice sunt similare între Valea Sucevei și Valea Buzăului, cu toate că apar variații locale în conținutul sau abundența asociațiilor. Pe baza prezenței foraminiferelor predominant aglutinante (80-90% din asociații) și subordonat planctonice și bentonice calcaroase, autorii au separat 11 zone micropaleontologice (Tabel 1):

Zona	Faună caracteristică	Correspondență litologică în Pânza de Tarcău	Vârsta
XI	-	Marne brune-bituminoase și menilite Disodile Gresia de Kliwa	Oligocen
X	<i>Globigerina</i>	Nivelul superior al "stratelor" de Popu și Bisericiani	Eocen superior
IX	Diatomee	Nivelul superior al "stratelor" de Popu	Eocen superior
VIII	<i>Spiroplectammina</i> și <i>Recurvoides</i>	"stratele" de Strunjinoasa	Partea superioară a Eocenului mediu
VII	<i>Haplophragmoides</i> și <i>Cyclammina amplectens</i>	Nivelul inferior al "stratelor" de Popu	Eocen mediu
VI	-	Nivelul superior al Calcarului de Pasieczna	Eocen mediu
V	Radiolari	Nivelul inferior al Calcarului de Pasieczna	Eocen mediu
IV	<i>Rhabdammina</i>	"strate" de Sucevița cu intercalații de Gresii de Scorbura	Eocen inferior
III	<i>Glomospira</i>	"strate" de Straja	Paleocen
II	Foraminifere aglutinante de tip Wadowice	Nivelul superior al "stratelor" de Hangu	Danian-Paleocen
I	Foraminifere aglutinante și specii de <i>Globotruncana</i>	Nivelul inferior al "stratelor" de Hangu	"Senonian" superior

Tabel 1. Zone micropaleontologice pentru Carpații Orientali, între văile Suceava și Sucevița (după Joja et al., 1963)

În viziunea autorilor prezența în proporții ridicate a foraminiferelor aglutinante indică existența unor condiții de viață instabile în bazinul de sedimentare, cu ape reci și adânci. Apariția în anumite nivele a formelor calcaroase și *Globigerinide* este pusă pe seama curenților calzi sau superficiali.

Dovezile micropaleontologice asupra limitei Paleocen - Eocen sunt sintetizate în lucrarea lui Ionesi (1987). Astfel, în litofaciesul de Tarcău, limita este trasată pe baza macroforaminiferelor în membrul bazal al gresiei de Tarcău iar în litofaciesurile de Doamna și Tazlău macroforaminiferele plasează limita în formațiunea de Izvor cu menționarea posibilității existenței unei întreruperi de sedimentare în timpul Paleocenului.

O altă lucrare notabilă care vizează analiza Paleogenului din punct de vedere al prezenței asociațiilor de foraminifere aglutinante este cea realizată de Agheorghiresei et al. (1967). Aceștia corelează asociațiile micropaleontologice ale Eocenului în litofaciesurile de Tarcău, Tazlău și Doamna și subliniază faptul ca "stratele" cu *Cyclammina amplexans* (specie caracteristică pentru intervalul Eocen mediu - superior) au o distribuție stratigrafică variabilă: caracterizează partea superioară a Gresiei de Tarcău (Eocen mediu) în litofaciesul de Tarcău, "stratele" de Plopu (Eocen mediu - superior) din litofaciesul de Tazlău și argilele vârgate și "stratele" de Bisericiani (Eocen mediu - superior) din litofaciesul de Doamna.

Limita Eocen - Oligocen este argumentată de Săndulescu et al. (1987) pe baza unei sinteze a studiilor pe această temă și este plasată în interiorul Marnelor cu Globigerine și a formațiunilor echivalente. Autorii au separat diferitele nivele ale Eocenului din Pânza de Tarcău și Pânzele Marginale (între Valea Ialomiței și Valea Moldovei) pe baza asociațiilor de foraminifere planctonice și aglutinante. Astfel, limita între Paleocen și Eocen (Ypresian) este marcată de apariția în număr ridicat a speciilor de *Glomospira*, Eocenul inferior este sărac în asociații de foraminifere, Eocenul mediu este marcat de prezența speciei *Cyclammina amplexans*, iar Eocenul superior este caracterizat de marnele cu *Globigerine*.

Această lucrare se alătură acelor (Joja et al., 1963; Agheorghiresei et al., 1967) care susțin faptul ca limita dintre Eocenul mediu și superior este situată în interiorul Formațiunii de Plopu, în timp ce Dicea (1974), Dicea & Dicea (1976, 1980), Ionesi (1957), Juravle (2007) și Juravle et al. (2008) atribuie acestei formațiuni vârsta Eocen superior pe baza datelor obținute în urma analizei asociațiilor de nanofosile calcaroase.

Studii recente care s-au referit la semnificația biostratigrafică și la implicațiile paleoecologice ale asociațiilor de foraminifere din Carpații Orientali au fost realizate de următorii autori:

- Bubik (2006), Kaminski et al. (2007), Cetean (2009), Cetean et al. (2008, 2011), Bindiu et al. (2013) au caracterizat depozitele Cretacic superioare ale flișului extern;
- Filipescu et al. (2009), Szabo et al. (2010), Szabo & Filipescu (2010), Szabo & Filipescu (2011) - au descris din punct de vedere biostratigrafic și paleoecologic asociațiile de foraminifere din cadrul Formațiunii de Pucioasa a Carpaților Orientali;
- Bindiu et al. (2010; 2011 a, b; 2012; 2013; 2016), Bindiu & Filipescu (2011 a, b; 2015 a, b, c, 2016) și Niculici et al. (2015) - au caracterizat asociațiile de foraminifere identificate în nordul Pânzei de Tarcău;
- Szabo et al. (2011) au pus în evidență trecerea de la etapa Oligocenă la cea Miocenă din secțiunea de pe Valea Vitioarei, situată în sudul Carpaților Orientali.

Capitolul III. Material studiat și metode de lucru

3. 1. Colectarea materialului

În timpul campaniilor de teren au fost colectate 235 probe. Din dorința de a acoperi un areal cât mai mare al Pânzei de Tarcău și de a obține informații asupra zonelor cu potențial micropaleontologic, inițial colectarea probelor s-a făcut discontinuu; zona studiată inițial a fost situată între Valea Sucevei la nord și Valea Siriului la sud, cu puncte de colectare pe: Valea Sucevei (Cretacic superior - Eocen superior), Straja Vest (Eocen inferior), Valea Brodinei (Cretacic superior - Eocen superior), Valea Putnei (Cretacic superior - Eocen superior), Valea Moldoviței (Eocen mediu - Oligocen), bazinul Moldovei (Paleocen - Eocen), Valea Humorului (Eocen), pârâul Ciumârna (Oligocen - Miocen), Palma (Paleocen), Săcrieș, Valea Rusca (Eocen inferior), Paltinu (Oligocen - Miocen), Grozăvești, Valea Siriului.

În urma prelucrării probelor colectate inițial am observat că deschiderile care au oferit un material micropaleontologic adecvat pentru studiul propus s-au localizat între Valea Sucevei (N) și Valea Moldovei (S), drept urmare arealul de studiu s-a concentrat asupra părții de nord a Pânzei de Tarcău. În teren, poziția fiecărei secțiuni investigate a fost marcată de puncte GPS (Anexa 1). Aflorimentele au fost ulterior probate sistematic, încercându-se o caracterizare cât mai completă a asociațiilor micropaleontologice în relație cu mediile sedimentare din partea de nord a Pânzei de Tarcău.

Probele au fost prelevate din intercalațiile argiloase ale succesiunilor turbiditice, la intervale cuprinse între 50 cm - 5 m, în funcție de contextul litologic. A fost prelucrată o cantitate de sediment de 250 g din fiecare probă, iar restul probei a fost depozitat ca probă martor la Departamentul de Geologie al UBB.

3.2. Prelucrarea materialului

Probele colectate în timpul campaniilor de teren au fost procesate utilizând metode micropaleontologice standard. Inițial, probele au fost uscate în etuvă la temperatura de 93°C după care au fost mărunțite în bucăți de circa 2 cm (pentru secțiunile de pe Valea Sucevei 1 și Valea Sucevei 3 mici fragmente de probă au

fost reținute pentru analiza de nannoplancton calcaros) și lăsate circa 2 ore în apă caldută, la care s-a adăugat o linguriță de carbonat de sodiu (Na_2CO_3). Ulterior, proba a fost fiartă, răcită și decantată pe sită cu ochiuri de 63 μm , după care rezidiul rămas a fost uscat în etuvă. Probele foarte dure și greu dispersabile, au fost tratate suplimentar cu apă oxigenată (H_2O_2) cu o concentrație de 3%. Din fracțiunea de 63 μm a majorității probelor au fost colectate cel puțin 300 specimene. În cazul în care rezidiul rezultat în urma procesării a fost foarte abundent în microfossil, acesta a fost înjumătățit cu ajutorul microspliterului; în cazul abundențelor scăzute colectarea s-a făcut integral. Specimenele au fost păstrate în celule micropaleontologice. Identificarea primară a specimenelor s-a realizat cu ajutorul stereomicroscopului în timp ce examinarea în detaliu s-a realizat la microscopul electronic cu baleiaj de la Centrul de Microscopie Electronică al Universității Babeș-Bolyai (Jeol JSM 5510LV) și de la Institutul de Științe Geologice al Jagiellonian University, Cracovia (Hitachi S-4700).

3.3. Metode de analiză și interpretare

Metodele utilizate în prezentul studiu includ indici paleoecologici cantitativi (abundența relativă și absolută, dominanță generică - Murray, 2006), indici de diversitate (indicele Fisher, indicele Hulbert, indicele Shannon Wiener, Echitabilitatea, indicele Simpson - Hulbert, 1971; Murray, 2006), biofaciesuri de foraminifere aglutinante - Kaminski & Gradstein (2005), morfogrupuri de foraminifere aglutinante - Kaminski & Gradstein (2005), raportul dintre speciile planctonice și bentonice (P/B) - Murray (1991) și, în probele în care au fost identificate și forme bentonice calcaroase, indicele de oxigen dizolvat (BFOI) - Kaiho (1994) și Kaiho & Hasegawa (1994).

3.3.1. Indici cantitativi

Abundența relativă reprezintă participarea procentuală a unei specii într-o asociație (Murray, 2006) și se calculează prin intermediul formulei de calcul: $Ar = n/N \times 100$, unde n reprezintă numărul de indivizi aparținând unei specii și N este numărul total de indivizi din cadrul asociației.

În studiul de față abundența relativă a anumitor specii de foraminifere a fost principala metodă de datare și corelare a zonelor cu foraminifere aglutinate. O altă metodă utilizată bazată pe același principiu a fost *dominanța generică* (abundența relativă foarte ridicată a anumitor genuri de foraminifere - Murray, 1991).

Abundența absolută se referă la numărul de indivizi într-o unitate de sediment bine definită (Murray, 2006), în cazul prezentului studiu fiind calculată pe gram de probă uscată.

3.3.2. Indici de diversitate

Abundența speciilor (S) reprezintă numărul de specii într-o probă sau unitate fiind legată direct de N - numărul de indivizi dintr-o probă (Murray, 2006).

Indicele Fisher α prezice numărul de specii dintr-o populație reprezentată printr-un anumit număr de indivizi (Murray, 2006).

$$\alpha = N(1-x) / x$$

unde N reprezintă numărul de indivizi iar x este o constantă cu o valoare mai mică decât 1 derivată din setul de date eşantion.

Indicele Hulbert este obținut prin formula lui Hulbert (1971) și s-a aplicat pentru probele din care s-a colectat un număr mai mic de 300 de indivizi, putând însă fi aplicat și pentru probe cu abundență ridicată. Acesta reprezintă un indice de diversitate care oferă informații despre bogăția speciilor și este calculat pe baza normării fiecărei probe de exemplu la 100 de indivizi prin rarefiere întâmplătoare. Numărul de specii, S_n , care poate fi așteptat dintr-o probă aleatorie de n indivizi retrași fără înlocuire din N indivizi distribuiți inițial în S specii este dat de formula lui Hulbert (1971). Formula calculează numărul preconizat de specii (într-o probă care conține n indivizi) ca o sumă a probabilităților ca fiecare specie să fie inclusă în probă (James & Rathbun, 1981).

$$E(S_n) = \sum_{i=1}^S \left[1 - (N - N_i/n) / (N/n) \right]$$

unde S este numărul total de specii și N_i este numărul de indivizi din a i-a specie.

Indicele Shannon-Wiener H (S) include atât numărul de specii cât și distribuția indivizilor între specii (Murray, 2006).

$$H = -\sum p_i \ln p_i$$

unde p_i este $p_i = n_i/N \times 100$ reprezentând proporția fiecărei specii; n_i este numărul de indivizi din specia i dintr-o probă iar N = numărul total de indivizi.

Acest indice nu ia în calcul speciile rare, speciile cu frecvența scăzută modificând nesemnificativ valoarea diversității. Valoarea maximă a indicelui se va atinge când toate speciile din probă sunt egale ca abundență $H_{\max} = \ln S$ (Murray, 2006; Hayek & Buzas, 1997).

Indicele Simpson (1 - Dominanța) reprezintă un indice care indică posibilitatea ca doi indivizi dintr-o asociație să aparțină la două specii diferite.

Formula de calcul a dominanței este

$$\sum_{i=1}^S \frac{n_i(n_i - 1)}{N(N - 1)}$$

unde S , N și n_i au fost explicate mai sus; pentru a obține Indicele Simpson, valoarea rezultată se scade din 1. Cu cât valoarea indicelui este mai mare, cu atât diversitatea este mai mare.

Echitabilitatea descrie gradul de uniformitate între procente de speciile din biocenoză.

$$E = H' / \log S$$

unde H' reprezintă funcția Shannon-Wiener și S numărul de specii. Când speciile sunt egal reprezentate echitabilitatea este 1.

Indicii de diversitate au fost calculați cu ajutorul programului statistic PAST - PAleontological STatistics, versiunea 1.79 (Hammer & Harper, 2006).

3.3.3. Asociații de foraminifere aglutinante

Asociațiile de foraminifere aglutinante sunt în relație directă cu parametrii de mediu: paleobatimetria, fluxul de materie organică pe fundul mării, adâncimea și disponibilitatea compensării carbonatului de calciu (CCD), gradul de oxigenare al apei și prezența curenților (Kaminski & Gradstein, 2005).

Pe baza studiilor realizate în Atlanticul de Nord și în locații din vestul Tethysului, au fost separate patru tipuri principale de biofaciesuri (Figura 6) de foraminifere aglutinante caracteristice mediilor marine adânci (Deep-Water Agglutinated Foraminifera - DWAF), fiecare dintre acestea având în componență un anumit tip de faună (Kaminski & Gradstein, 2005).

Asociațiile de foraminifere aglutinante au la bază o serie de studii realizate de Kuhnt (1990), Kuhnt & Kaminski (1989, 1990), Kaminski et al., 1999 și Kaminski & Gradstein (2005). Cele patru tipuri de asociații sunt: asociații abisale, asociații de tip „fliš” (batial inferior până la abisal), asociații de „tip Scaglia” (batial mediu - inferior) și asociații de pantă (bathial mediu - superior).

- **Asociații abisale.** Sunt caracteristice pentru câmpiile abisale cu un mediu puternic oligotrof (flux organic sub 2,5gC/m²an), situate sub CCD. În componența acestora intră doar foraminifere aglutinante cu ciment organic (Kuhnt & Pletsch, 2004), formele planctonice și bentonice calcaroase lipsind cu desăvârșire. Asociațiile sunt alcătuite din reprezentanți ai genurilor *Reticulophragmium*, *Haplophragmoides*, *Karrerulina*, alături de care pot apărea asociații cu *Rhizammina*, *Bathysiphon* și *Hyperammina*, cu dimensiuni mici, slab ramificate și cu testuri fragile (Kaminski & Gradstein, 2005). Pentru Cretacicul târziu acest tip de biofacies este cunoscut sub denumirea de “Fauna de tip Krashenninikov” (Kaminski et al., 1999).
- **Asociații de tip „fliš”.** Acest tip de asociații este caracteristic pentru bazinul Carpatic în intervalul Cretacic - Oligocen, fiind descris prima dată de Gradstein & Berggren (1981). Caracterizează substratul siliciclastic iar asociațiile sunt alcătuite în principal din foraminifere de dimensiuni mari, aglutinate grosier. Componenta dominantă și caracteristică o constituie formele tubulare aparținătoare genurilor *Nothia*, *Dendrophyra*, *Bathysiphon*, *Rhabdammina* și *Rhizammina* la care se adaugă reprezentanți ai genurilor *Ammobaculites*, *Psammosphaera*, *Saccammina*, *Hormosina*, *Hyperammina*, *Rzehakina*, *Caudammina* și diferite specii de *Paratrochamminoides*. O altă trăsătură pentru acest biofacies este lipsa formelor abisale cu test fragil (Bak, 2004), fiind caracteristic atât mediilor situate sub CCD cât și celor de deasupra (Miller et al., 1982) și fiind adesea asociate sporadic cu forme planctonice sau bentonice calcaroase.

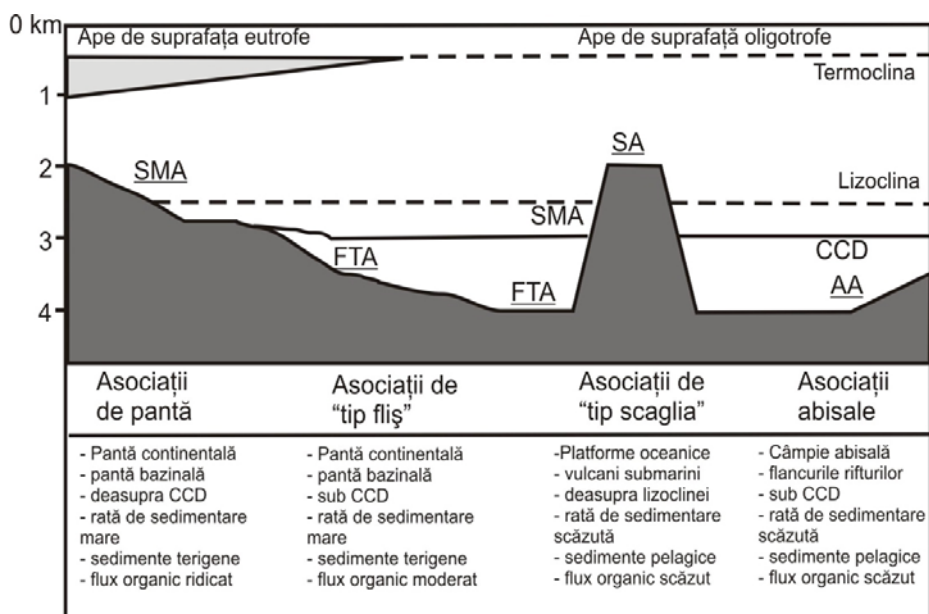


Figura 6. Asociații de foraminifere aglutinante din mediile marine adânci (după Kaminski & Gradstein, 2005); SMA - asociații de pantă; FTA - asociații de tip „fliș”; SA - asociații de tip „scaglia”; AA - asociații abisale; CCD - adâncimea de compensare a carbonatului de calciu

- **Asociații de tip „Scaglia”.** Au fost descrise din depozitele marine adânci cretacice superioare - paleogene din Italia și Spania (Kuhnt & Kaminski, 1990). Asociațiile tip se găsesc în Formațiunea Scaglia Rosa din Italia și conțin foraminifere aglutinante de dimensiuni reduse, dominate de forme tubulare fragile (Kaminski & Gradstein, 2005). Pe lângă formele tubulare apar forme caracteristice mediilor adânci cum ar fi *Paratrochamminoides*, *Cystammina* și mai rar *Reticulophragmium*, precum și taxoni cu ciment calcaros ca *Remesella varians*, *Karrerella chapapotensis* și *Spiroplectammina israelskyi*.
- **Asociații de pantă.** Sunt caracteristice depozitelor marnoase situate deasupra CCD și includ două subbiofaciesuri: *asociații calcaroase - aglutinante*, „mixte”, provenite de la latitudini mici și *asociații de pantă*, provenite de la latitudini mari. Primul tip, așa cum îi sugerează și denumirea, este alcătuit din foraminifere aglutinante (*Clavulinoides*, *Dorothia*, *Marsonella*, *Gaudryna* etc. și forme tubulare caracteristice asociațiilor de tip fliș), calcaroase și planctonice. Al doilea tip de asociație diferă față de primul prin lipsa formelor aglutinante cu ciment

calcaros, fiind dominat de forme tubulare în Paleocen și lituolide, loftusiide și trochamminide în Eocen.



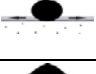






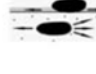
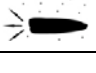

3.3.4. Morfogrupuri de foraminifere aglutinante

Morfogrupurile de foraminifere aglutinante reprezintă un instrument paleoecologic util, oferind informații importante privind paleobatimetria și fluxul de materie organică pe fundul mării (Kaminski & Gradstein, 2005). Metodologia de evaluare a morfogrupurilor de foraminifere aglutinante se bazează pe datele și modelele elaborate de către Nagy et al. (1995), Van der Akker et al. (2000), Kaminski & Gradstein (2005), Cetean et al. (2011), Murray et al. (2011) și Setoyama et al. (2011, 2013).

Începând cu studiul realizat de Jones & Charnok (1985) s-a demonstrat faptul că morfologia generală a testului foraminiferelor este legată de nișe ecologice preferențiale. După gruparea inițială a foraminiferelor aglutinante în morfotipuri și apoi în morfogrupuri, schemele de clasificare recente au luat în considerare corelarea dintre morfologia testului, poziția și mediul de viață, precum și strategiile de hrănire (Tabel 2).

În studiul realizat de către Kaminski & Gradstein (2005) modul de hrănire al morfotipurilor de foraminifere aglutinante parcurge următoarele etape: materia organică în curs de depunere pe pe fundul mării este consumată întâi de către formele tubulare (M1) și globulare (M2a) care își extind pseudopodele în coloana de apă; materia organică rămasă va fi consumată ulterior de către formele epifaunale și infaunale puțin adânci (M2b, M2c, M3a, M3c și M4a). Restul materiei organice va fi incorporată în sediment prin bioturbații și consumată de formele infaunale adânci (M4a și M4b).

Morfogrupul 1 este comun în mediile batiale și abisale caracterizate de curenți marini, care aduc constant materie organică (Nagy et al., 1995). Taxonii definitorii sunt epifaunali, trăiesc atașați de substrat și își extind rețeaua de pseudopode în masa apei pentru a colecta particulele nutritive aflate în suspensie (Kaminski & Gradstein, 2005). Datorită poziției de epifaunală erectă, formele tubulare sunt predispuse la fragmentare; în studiul de față, calcul numărului total de specimene s-a făcut prin divizare la 2 sau 3, în funcție de gradul de fragmentare.

Morfotip	Forma Testului	Principalele genuri	Morfo - grup	Poziția de viață	Strategia de hrănire	Mediu de viață
	Tubular	<i>Nothia</i> <i>Rhizammina</i> <i>Psammosiphonella</i> <i>Arthrodendron</i> <i>Kalamopsis</i> <i>Saccorhiza</i>	M1	Epifaună erectă	Suspensivore	Bathial și abisal cu flux scăzut de materie organică
	Globular	<i>Saccammina</i> <i>Praesphaerammina</i> <i>Placentammina</i> <i>Caudammina gigantea</i> <i>Hyperammina dilatata</i>	M2a	Infauună puțin adâncă	Suspensivore - Detritivore pasive	Bathial și abisal
	Rotunjit trochospiral și streptospiral	<i>Budashevaella</i> <i>Recurvoides</i> <i>Recurvoidella</i> <i>Cribrostomoides</i>	M2b	Epifaună	Detritivore active	Șelf - marin adânc
	Planconvex trochospiral	<i>Conotrochammina</i> <i>Trochammina</i>				
	Alungit carenate	<i>Spiroplectinella</i> <i>Spiroplectammina</i>	M2c	Epifaună	Detritivore active	Șelf - marin marginal
	Aplatizat trochospiral	<i>trochaminids</i> <i>Ammonita</i>	M3a	Epifaună	Detritivore active și pasive	Lagunal - abisal
	Aplatizat planspiral și streptospiral	<i>Ammodiscus</i> <i>Glomospira</i> <i>Rzehakina</i> <i>Lituotuba</i> <i>Annectina</i>				
	Aplatizat iregular	<i>Tolypammina</i> <i>Ammolagena</i>	M3b	Epifaună	Suspensivore	Bathial superior - abisal
	Aplatizat streptospiral	<i>Paratrochaminoides</i> <i>Trochaminoides</i> <i>Ammosphaeroidina</i> <i>Praecystammina</i>	M3c	Epifaună	Detritivore active și pasive	Bathial superior - abisal
	Rotunjit planspiral	<i>Cyclammina</i> <i>Haplophragmoides</i> <i>Popovia</i> <i>Reticulophragmium</i>	M4a	Epifaună - Infauună puțin adâncă	Detritivore active	Șelf distal - Bathial superior
	Alungit subcilindric	<i>Karrerulina</i> <i>Remesella</i> <i>Hormosina</i> <i>velascoensis</i>	M4b	Infauună adâncă	Detritivore active	Șelf distal - bathial superior cu flux ridicat de materie organică
	Alungit conic	<i>Ammobaculites</i> <i>Reophax</i> <i>Subreophax</i> <i>Hormosinella</i> <i>Hormosinelloides</i> <i>Hipocrepina</i>				

Tabel 2. Definirea morfogrupurilor de foraminifere aglutinante în funcție de modul de viață și strategia de hrănire (modificat după Nagy et al. 1995; Van den Akker et al., 2000; Kaminski & Gradstein, 2005; Cetean et al., 2011; Murray et al., 2011 și Setoyama et al., 2011, 2013).

Morfogrupul 2 cuprinde foraminifere care trăiesc la suprafața sedimentului sau porțiunea superficială a sedimentului și care se hrănesc cu bacterii sau detritus din stratul floculent (Nagy, 1992). Subdivizarea acestui morfogrup în morfotipuri este realizată pe baza diferențelor morfologice generale (Tabel 2).

Morfogrupul 3 este reprezentat de forme aplatizate. Trochaminidele (M3a, primul grup) sunt forme care trăiesc atașate de plante, acestea fiind considerate ierbivore și sunt comune în ape puțin adânci. În mediile marine adânci sunt prezente forme înrulate planspiral sau streptospiral (*Ammodiscus*, *Glomospira*, *Rzehakina*, *Paratrochamminoides*, *Trochamminoides* - M3c) și forme neregulate aplatizate (*Ammolagena*).

Morfotipul M3b reprezentat prin specia *Ammolagena clavata* (formă epifaunală atașată), care este un indicator paleobatimetric important pentru medii batial superioare - abisale.

Morfogrupul 4 cuprinde forme înrulate planspiral cu aria periferică rotunjită, care ocupă mediile din partea superficială a sedimentului (M4a) și forme infaunale uniseriate sau multiseriate, cu formă alungită subcilindrică sau conică (M4b). Formele infaunale trăiesc în mod normal în medii slab oxigenate și pot tolera perioade anoxice, fiind întâlnite pe substraturile slab consolidate, îngropate până la 15 cm în sediment, sub limita redox (Kaminski et al., 1988). Caracterizează medii eutrofe cu flux organic ridicat, hrana principală a acestora fiind bacteriile.

3.3.5. Raportul planctonice/bentonice (P/B)

Alături de metodele deja menționate, o altă metodă des utilizată în analizele paleoecologice este raportul dintre formele planctonice și bentonice (raportul **P/B**). Scopul principal al acestei metode este estimarea paleobathimetriei și este bazată pe ideea că proporția speciilor planctonice crește în sedimentele de larg, începând cu șelful extern până în bazinul deschis (Murray, 1991). Formula de calcul utilizată pentru determinarea raportului P/B este următoarea:

$$P/B = 100(P/P+B),$$

unde P = numărul de foraminifere planctonice, B = numărul de foraminifere bentonice.

Aplicabilitatea metodei este optimă pentru adâncimi cuprinse între 30 și 1200m (van der Zwaan et al., 1991) și este mai puțin exactă sub adâncimea de compensare a carbonatului de calciu (unde testul foraminiferelor planctonice este dizolvat); în cazul în care proporția de foraminifere planctonice este mai mică de 5% sau peste 95% metoda nu poate fi utilizată.

Bădescu (2005) compilează date bibliografice și afirmă că depozitele Pânzei de Tarcău sunt cunoscute a fi depuse în medii batiale, fapt confirmat și de asociațiile de foraminifere identificate în prezentul studiu, dominate de forme aglutinante (dezvoltate în cele mai multe cazuri sub sau foarte aproape de CCD).

3.3.6. Indicele de oxigen dizolvat reconstituit pe baza foraminiferelor bentonice calcaroase (BFOI)

BFOI a fost definit de către Kaiho (1994) și Kaiho & Hasegawa (1994) pe faune actuale, luând în considerare preferințele morfotipurilor de foraminifere bentonice calcaroase pentru un anumit mediu de viață în relație cu conținutul de oxigen dizolvat din apă. Temperatura și salinitatea sunt cei mai importanți factori care controlează solubilitatea oxigenului în apa mării.

$$\text{BFOI} = 100(\text{O}/\text{O}+\text{D})$$

unde O - numărul de specimene oxice și D - numărul de specimene disoxice.

Atunci când O = 0 și D+I > 0 ecuația devine $\text{BFOI} = 50[\text{I}/(\text{I}+\text{D}) - 1]$ unde I - numărul de specimene cu indici intermediari (A și B) explicați mai jos.

Relația dintre BFOI și oxigenul dizolvat a fost sumarizată de către Kaiho (1991a, 1991b) și este următoarea:

Valorile oxigenului	BFOI
Foarte oxigenat, 3,0 - 6,0 ml/l	50 - 100
Oxic, 1,5 - 3,0 ml/l	0 - 50
Suboxic, 0,3 - 1,5 ml/l	- 40 - 0
Disoxic, 0,1 - 0,3 ml/l	- 50 - - 40
Anoxic, 0,0 - 0,1 ml/l	- 55

Indicatori oxici (O): Specimene de dimensiuni mari (>350 μm) cu perete gros, forme planconvexe, sferice, biconvexe, înrulate trochospiral (*Cibicoides*, *Nuttalinella* și *Eponides*)

Indicatori suboxici - se subclasifică în indici intermediari A și B:

- **Indici intermediari A** : specimene oxice cu dimensiuni mici (<0,35mm).
- **Indici intermenieri B** : *Lenticulina*, *Aragonia*, nodosariide cu test mare și perete gros, indivizi de dimensiuni mari și ornamentați ai genurilor *Praebulimina* și *Stilostomella*; forme rotunjit planspirale (*Pullenia*), ovoid aplatizate (*Fissurina*) și forme sferice (*Reussoolina*); forme trohospirale, morfotipuri conice: *Gyroidinoides*, *Globorotalites*; forme cu perete subțire înrulate trochospiral planconvex și biconvex: *Osangularia*.

Indicatori disoxici (D): Specimene cu perete subțire, forme aplatizate-alungite și cilindrice (*Praebulimina*, *Laevidentalina*, *Stilostomella*, *Coryphostoma* și *Pleurostomella*).

Capitolul IV. Rezultate și discuții

În cadrul formațiunilor Pânzei de Tarcău au fost identificate 27 zone de aflorare (figura 7) din care au fost prelevate probe supuse ulterior analizelor micropaleontologice.

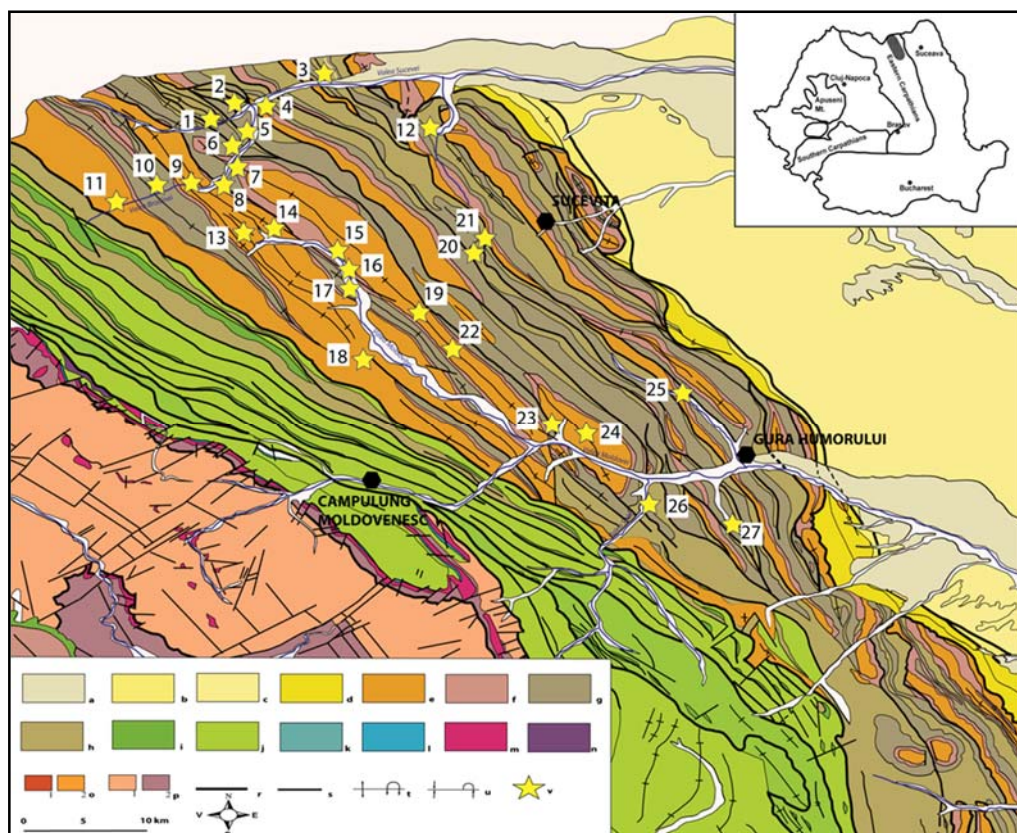


Figura 7. Localizarea secțiunilor investigate. a. Cuaternar; b. Badenian; c. Sarmatian; d. Burdigalian; e. Oligocen; f. Eocen; g. Paleocen - Eocen; h. Cretacic Superior - Paleocen; i. Cretacic Superior; j. Cretacic Inferior; k. Jurassic Superior - Cretacic Inferior; l. Jurassic Mediu - Superior; m. Triasic; n. Magmatite mezozoice; o. Magmatite neogene (1 - roci magmatice, 2 - formațiuni vulcanogen sedimentară); p. Roci metamorfice (1 - epimetamorfite, 2 - mezometamorfite); r. falii; s. digitații; t. anticlinal (simetric, răsturnat); u. sinclinal (simetric, răsturnat); v. localizarea secțiunilor analizate: 1 - Valea Sucevei 1; 2 - Valea Sucevei 2; 3 - Straja Vest; 4 - Valea Sucevei 3; 5 - Valea Brodinei 1; 6 - Valea Brodinei 2; 7 - Valea Brodinei 3; 8 - Valea Brodinei 4; 9 - Valea Brodinei 5; 10 - Valea Brodinei 6; 11 - Valea Brodinei 7; 12 - Valea Putnei; 13 - Argel 1; 14 - Argel 2; 15 - Argel 3; 16 - Rașca; 17 - Valea Moldoviței; 18 - Valea Boului; 19 - Ciumârna; 20 - Palma; 21 - Rusca; 22 - Dragoș; 23 - Dobra; 24 - Molidu; 25 - Valea Humorului; 26 - Valea Suha; 27 - Voroneț. (după Harta Geologică a României, scara 1:200.000, foaia Rădăuți)

4.1. Caracterizarea asociațiilor micropaleontologice

În urma analizei micropaleontologice se pot face următoarele observații generale:

- asociațiile de foraminifere prezintă o varietate mare și o abundență ridicată (peste 200 taxoni);
- fiecare secțiune investigată este caracterizată de o dominanță a foraminiferelor aglutinante, formele planctonice și bentonice calcaroase apărând în proporție redusă;
- toate asociațiile identificate se încadrează în grupul asociațiilor de tip "fliș";
- au fost identificate toate morfogrupurile de foraminifere aglutinante utilizate în studiile recente pentru estimări ale parametrilor paleoambien-tali.

Deoarece formațiunile turbiditice din arealul studiat prezintă complicații structurale foarte mari, iar faciesurile sedimentare variază mult în spațiu (ceea ce face adesea inutil demersul de a separa unități litostratigrafice), asociațiile micropaleontologice vor fi prezentate după poziția geocronologică și localizarea geografică a acestora.

Metodele de analiză paleoecologică au cuprins analiza morfogrupurilor de foraminifere aglutinante Nagy et al., 1995; Van der Akker et al., 2000; Kaminski & Gradstein, 2005; Cetean et al., 2011; Murray et al., 2011; Setoyama et al., 2011; 2013) și analize de diversitate (Fisher et al., 1943; Murray, 2006).

4.1.1. Valea Sucevei 1

Cele mai vechi formațiuni care apar la zi în arealul studiat aparțin Cretacului superior, respectiv Formațiunii de Hangu (Atanasiu, 1939, 1943; Juravle, 2007). În nordul Pânzei de Tarcău, le-am identificat în partea de amonte a Văii Sucevei (figura 7), în apropierea localității Paltin (N: 47°52'17.40", E: 25°23'47.11").

Sucesiunea sedimentară este reprezentată de turbidite siliciclastice, cu granulații medii spre grosiere, care păstrează diviziuni caracteristice secvențelor Bouma (Bouma, 1962) - tip Tb-c și Tc-e - în partea bazală și superioară a

succesiunii; în partea medie a deschiderii apar hemipelagite foarte fine de culoare roșie (figurile 8, 9), care ar putea fi asimilate cu unitățile de tip "red beds" (Melinte, 2002; Bubik, 2006). Datele oferite de asociația micropaleontologică indică vârsta Campanian superior.



Figura 8. Aflorimentul de pe Valea Sucevei 1

În arealul Tethyan, intervalul Santonian superior - Campanian superior este descris ca o perioadă de fluctuații majore ale nivelului marin (Lüning et al., 1998; Li et al., 2000; Cetean et al., 2011), drept urmare acest interval oferă un potențial ridicat pentru evenimente corelabile stratigrafic. Din acest motiv, această secțiune a fost examinată atent prin prisma relației dintre asociațiile micropaleontologice și paleomediile în care au trăit.

Din intercalațiile argiloase ale secvențelor turbiditice am colectat 23 probe, care au fost supuse analizelor micropaleontologice. Rezultatele obținute au fost publicate de către Bindu et al. (2013) în numărul 64 (2) al revistei *Geologica Carpathica*. Majoritatea asociațiilor (cu excepția probelor 12 și 18) prezintă o abundență ridicată de foraminifere, cu un grad de păstrare ce variază de la moderat la bun.

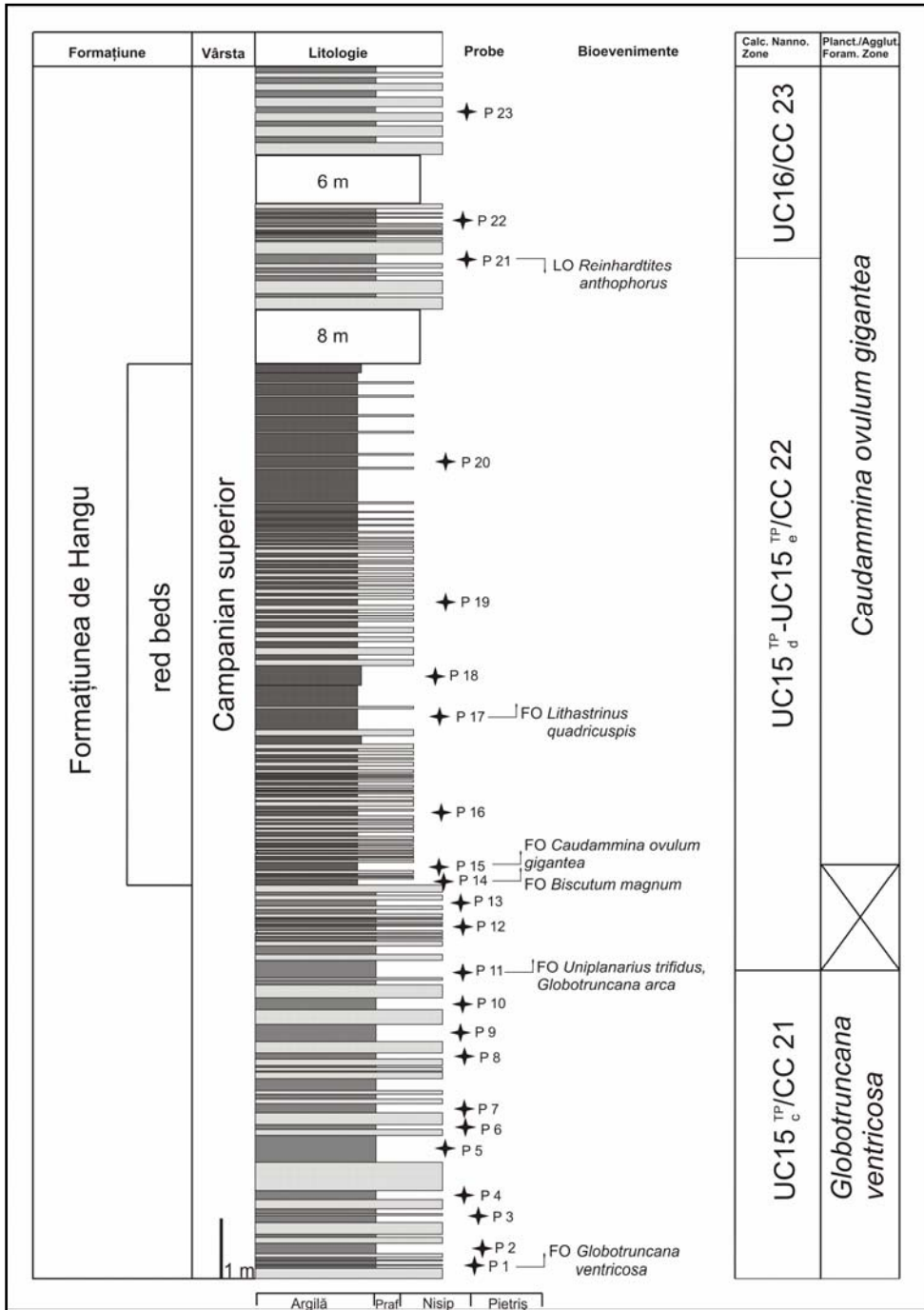


Figura 9. Profilul litologic și biostratigrafia secțiunii de pe Valea Sucevei 1 (după Bindiu et al., 2013)

4.1.1.a. Componenta asociațiilor de foraminifere.

În secțiunea Valea Sucevei 1 au putut fi separate două asociații distincte:

- **Asociația A** (anexa 3.1) a fost separată pentru partea bazală a secțiunii (probele 1-14) și este caracterizată de dominanța formelor aglutinante (60-90% din totalul de indivizi), reprezentate de forme de: *Nothia*, *Bathysiphon*, *Hyperammina*, *Psammosphaera*, *Ammodiscus* la care se adaugă specii bentonice calcaroase (1-5% - *Eponides*, *Chrysalogonium*) și planctonice (specii de *Globotruncana*). De notat este faptul că formele planctonice de *Globotruncana arca*, *G. ventricosa*, *G. elevata* prezintă o abundență relativ ridicată în probele 4 și 11 (figura 10), fapt care ar putea fi asociat cu evenimente de inundare marină. Această asociație este foarte similară cu cea descrisă de către Waśkowska-Oliwa (2005) în Unitatea Silesiană din Carpații Poloniei și sugerează medii depozitionale marine adânci, plasate deasupra adâncimii de compensare a carbonatului de calciu (CCD).
- **Asociația B** (anexa 3.1) a fost separată pe baza participării aproape exclusive a foraminiferelor aglutinante cu dimensiuni normale (*Bathysiphon*, *Caudammina*, *Glomospira*, *Karrerulina*, *Nothia*, *Paratrochamminoides*, *Recurvoides*, *Rhabdammina*) alături de care apar sporadic și sub 1% forme bentonice calcaroase. Această asociație caracterizează părțile medie (hemipelagite roșii) și superioară (argile cenușii cu intercalații de gresii decimetrice gălbui) ale secțiunii, respectiv intervalul dintre proba 15 și proba 23.

4.1.1.b Biostratigrafie

Atribuirea vârstei campanian superior formațiunii investigate a fost făcută pe baza speciilor index de foraminifere planctonice (partea bazală a aflorimentului) și foraminifere aglutinante (partea medie și superioară), calibrarea făcându-se la zonarea realizată de către Cetean et al. (2011) pentru Carpații Orientali. În ultimele decenii, formațiunile cretacice superioare din flișul Carpaților Orientali au fost studiate din punct de vedere micropaleontologic și de către Neagu (1970,

1990), Neagu et al. (1992), Ion et al. (1995), Melinte & Bubik (2005), Melinte et al. (2007), Bojar et al. (2009), Bindu & Filipescu (2011).

Pentru a avea un control mai bun asupra vârstei, au fost analizate și asociațiile de nanofosile calcaroase, care au fost comparate cu zonările publicate de Sissing (1977), Perch-Nielsen (1985) și Burnett (1998).

Distribuția speciilor de foraminifere se poate urmări în anexa 3.1. Așa cum se poate observa în figura 10, foraminiferele planctonice apar doar în partea bazală a secțiunii, având proporții ridicate în probele 4 și 11, în care speciile de *Globotruncana arca*, *G. elevata*, *G. angulata*, *G. orientalis* sunt caracteristice. *Globotruncana ventricosa*, specie index pentru Campanianul superior (Zona cu *Globotruncana ventricosa* - Postuma, 1971; Caron, 1985), a fost identificată în proba 4, unde apare cu o frecvență mai ridicată față de celelalte probe. În proba 11 apare în proporție ridicată *Globotruncana arca*; la nivelul acestei probe se înregistrează și baza biozonei CC22 (figura 9) a Campanianului superior (definită de prima ocurență a speciei *Uniplanarius trifidus* și ultima ocurență a speciei *Reinhardtites anthophorus* din grupul nanofosilelor calcaroase).

Speciile de foraminifere din probele 11-15 au o distribuție stratigrafică largă, fiind greu de atașat unei zone standard. Totuși, informații biostratigrafice utile au fost oferite de nanofosilele calcaroase prezente pe acest interval; acestea atestă pentru vârsta campanian superioară, respectiv biozona CC22.

Pe baza analizei asociațiilor de foraminifere aglutinante, dominante începând cu proba 15, depozitele investigate sunt atribuite Zonei cu *Caudammina ovulum gigantea* (figura 9), care pe teritoriul Carpaților caracterizează intervalul dintre Campanianul inferior și Maastrichtian (Morgiel & Olszewska, 1981; Geroch & Nowak, 1984; Neagu et al, 1992; Olszewska, 1997; Bâk, 2004; Bubik, 2005; Cetean et al., 2011). În Carpații Orientali, prima apariție a acestei specii a fost semnalată în Cretacicul Pânzei de Tarcău și al "pânzelor marginale" de către Ion (1973, 1975) într-o asociație cu *Hormosina velascoensis* și *Rzehakina epigona*.

În depozitele de pe Valea Sucevei, prima apariție a speciei *Caudammina ovulum gigantea* a fost observată în proba 15 (baza biozonei CC22 de nanofosile calcaroase) - figura 9. *C. ovulum gigantea* a fost considerată de către Kuhnt et al. (1998), Bâk (2000) și Cetean et al. (2011) ca o specie care nu trăiește în medii

mai puțin adânci decât zona bathial medie, iar prima ei apariție este considerată a fi diacronă; în Carpații Poloniei Olszewska (1997) a descris o zonă definită de această specie în intervalul Santonian superior - Campanian inferior, pe când în Carpații Orientali, Neagu a atribuit această zonă Campanianului inferior, iar Cetean et al. (2011), Campanianului superior. Dependența de condițiile specifice de mediu (adâncime) explică diferența poziției geocronologice a primei apariții acestei specii în bazinele Carpaților, Tethys și Atlantic. Cu toate acestea, în absența altor indicatori biostratigrafici de încredere, susținem că această specie oferă o aproximare rezonabilă a vârstei pentru intervalul în care apare.

4.1.1.c. Paleoecologie

Analiza morfogrupurilor de foraminifere aglutinante.

În urma analizei morfogrupurilor de foraminifere aglutinante se remarcă o abundență ridicată în aproape toate probele a formelor tubulare aparținătoare morfogrupului M1. Acest morfogrup este reprezentat în principal de specii aparținătoare genurilor *Nothia*, *Bathysiphon* și *Rhabdammina*, care au o abundență de peste 70% în partea bazală și superioară a secțiunii, unde se înregistrează și valori relativ scăzute ale diversității (figura 10). Astfel, proporția ridicată a morfogrupului M1 și valorile scăzute ale diversității indică medii marine batial medii spre inferioare, cu energie scăzută și flux mediu spre scăzut de materie organică pe substrat.

Prin analiza figurii 10 pe intervalul stratelor roșii (partea medie a secțiunii), se poate observa o descreștere în abundența relativă a morfogrupului M1, substituită de o creștere a proporției formelor infaunale aparținătoare morfogrupului M4b (*Karrerulina* spp., *Reophax* spp., *Subreophax* spp.). Pe acest interval, așa cum am menționat anterior, asociațiile de foraminifere sunt dominate de forme aglutinante, iar analiza diversității (indicele Fisher alpha) indică valori moderate și mai ridicate față de restul secțiunii; aceste observații sprijină ipoteza susținută de Setoyama et al. (2011), care consideră că diversitatea asociațiilor de foraminifere bentonice crește de obicei cu adâncimea. Creșterea proporției formelor infaunale (M4b) și descreșterea M1, valorile relativ ridicate ale diversității și prezența ihnofosilelor sugerează condiții de mediu mai adânci în comparație cu

intervalele adiacente, instabilitate dinamică, o bună oxigenare și condiții mesotrofe spre eutrofe (Bak, 2000, Hu et al., 2005).

Asa cum se observă în figura 10, celelalte morfogrupuri cunoscute sunt prezente în proporții scăzute, cu o distribuție relativ uniformă de-a lungul secțiunii.

Analize de diversitate

Valorile diversității variază în formațiunile campanian superioare de pe Valea Sucevei. Acest parametru înregistrează valori relativ scăzute în partea bazală și superioară a secțiunii (figura 10), acolo unde formele tubulare apar în proporții relativ ridicate (peste 70%), și sugerează condiții de mediu restrictive, cu un flux scăzut de materie organică și nivel de oxigenare moderat. În partea medie a secțiunii, acolo unde apar hemipelagitele roșii, depozitate la adâncimi mai mari, diversitatea crește, atingând valori moderate și ridicate; este o nouă confirmare a ipotezei emise de Setoyama et al. (2011). Valorile ridicate ale diversității se corelează cu o creștere în abundență a formelor infaunale (morfogrupul M4b) și sugerează condiții bune de viață, cu flux ridicat de materie organică și oxigenare bună a apelor.

Componența micropaleontologică a permis încadrarea acestor asociații de foraminifere din secțiunea de pe Valea Sucevei în grupul biofaciesului de foraminifere de tip “fliș”, caracteristic pentru mediile marine adânci batial medii la inferioare (Kaminski & Gradstein, 2005); apartenența la acest grup este confirmată și de prezența taxonilor specifici de tip “fliș” (*Caudammina* spp., *Paratrochamminoides* spp., forme tubulare). Prezența în număr foarte scăzut a formelor bentonice calcaroase și a foraminiferelor planctonice sugerează paleomedii batial adânci.

Depozite similare de hemipelagite roșii (red beds) au fost descrise în Carpații Orientali ai României de către Melinte (2002) și Melinte & Jipa (2005) și au fost atribuite ca vârstă (pe baza nannofosilelor calcaroase) Campanianului superior - Maastrichtianului. Hu et al. (2005) au asimilat formarea unor depozite cretace superioare similare cu o schimbare majoră în sedimentarea oceanică, începută în Cretacicul mediu. Aceiași autori oferă o posibilă explicație pentru colorația roșie a acestor depozite, respectiv o schimbare în condițiile redox de pe fundul oceanului, o rată de sedimentare scăzută și condiții oligotrofe.

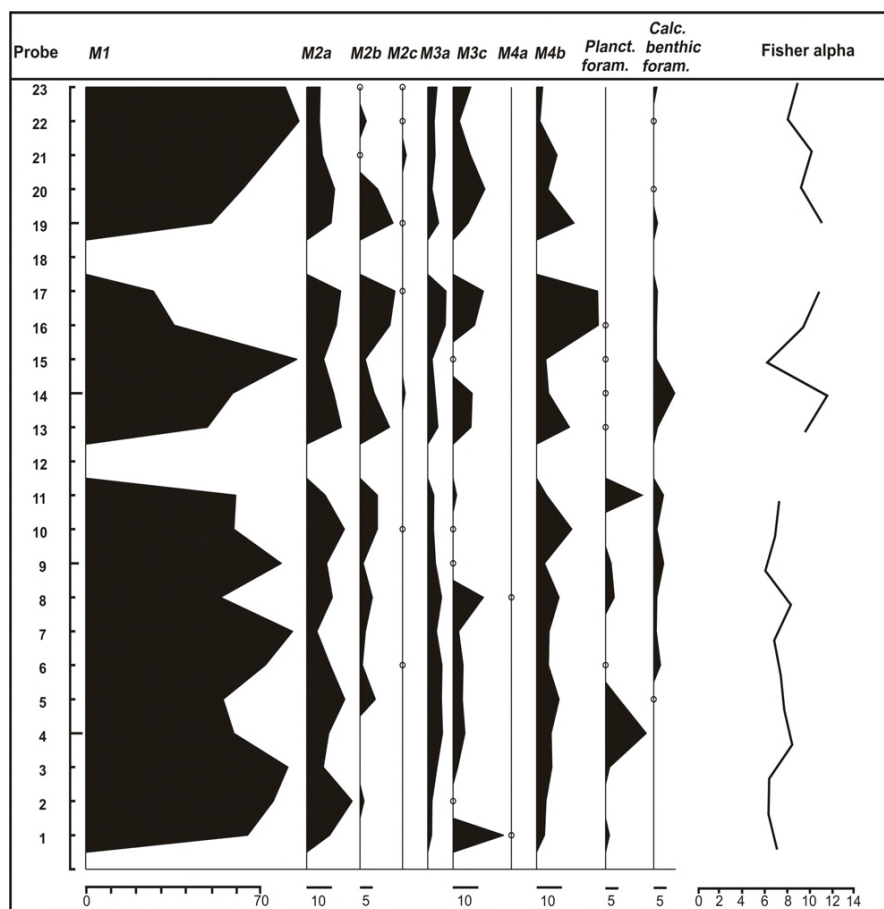


Figura 10. Morfogrupuri de foraminifere aglutinante (M1 - tubulare; M2a - globulare; M2b - rotunjit trochospiral și streptospiral / planconvex trochospiral; M2c - alungit carenate; M3a - aplatizat trochospiral/ aplatizat planispiral și streptospiral; M3c - aplatizat streptospiral; M4a - rotunjit planispiral; M4b - alungit subcilindric / alungit conic), foraminifere planctonice, foraminifere bentonice calcaroase, diversitate (indicele Fisher alpha) - după Bindu et al., 2013.

La nivelul asociațiilor de nannofosile calcaroase s-a înregistrat o diferență majoră între taxonii de apă rece și cei tethysieni; această informație poate sugera o posibilă migrare în arealul Tethysului a nanofosilelor calcaroase boreale de latitudine ridicată fiind relaționată cu existența unui coridor între bazinele din Tethys și cele din Europa de Nord în timpul Campanian - Maastrichtian, așa cum au sugerat Malata & Poprawa (1997). Această influență a fost demonstrată și în studiul asociațiilor de nannofosile calcaroase din depozitele Campanian superioare din Carpații externi vistici Švábenická (2001).

Distribuția distinctă a asociațiilor de microfosile se corelează cu datele sedimentologice; turbiditele medii bazale în care pe lângă foraminifere aglutinante apar forme planctonice caracterizează probabil intervale de inundare marină, hemipelagitele roșii din partea medie și, asociat acestora, asociațiile de foraminifere aglutinante ar putea fi asociate cu un maxim al nivelului marin, având un potențial ridicat de corelare pentru Campanianul superior. Reactivarea sedimentării turbiditice s-a realizat după depunerea hemipelagitelor roșii, ceea ce este demonstrat de prezența unor nivele grosiere de gresii.

4.1.2. Valea Brodinei 2

Sucesiunea sedimentară care aflurează pe Valea Brodinei, în localitatea Brodina de Jos (N: 47°51'15.80", E: 25°25'37.27"), este reprezentată de turbidite puternic tectonizate constituite din argile cenușii și gresii silicioase cenușiu gălbui, în strate groase de 10-15 cm, excepțional de 50 cm (figura 11). Acestea aparțin părții superioare a Formațiunii de Hangu (Atanasiu, 1939, 1943; Juravle, 2007) din nordul Pânzei de Tarcău (figura 7).

Poziția probelor investigate micropaleontologic este redată în figura 12.

Taxonii identificați prezintă un un grad de păstrare de la moderat la bun și pot fi observați în anexa 3.2. Asociațiile de foraminifere (bentonice aglutinante și calcaroase) sunt caracteristice mediilor marine adânci, fapt susținut și de apariția sporadică a unor specii de radiolari.

4.1.2.a. Componenta asociațiilor de foraminifere bentonice

Examinarea materialului micropaleontologic a permis, și în cazul secțiunii de la Valea Brodinei, identificarea a două asociații distincte:

- **Asociația A** caracterizează intervalul cuprins între probele 1 și 4 și este definită de prezența foraminiferelor bentonice aglutinante și calcaroase (anexa 3.2). Formele aglutinante domină acest interval și pot forma 80% din asociație; sunt reprezentate mai ales de forme grosier aglutinate de *Bathysiphon*, *Nothia*, *Rhabdammina*, *Psammosphaera* etc. Alături de acestea apar în proporție de până la 20% forme bentonice calcaroase, dominate de specii de *Dentalina*, și subordonat *Pleurostomella*,

Cibicoides, *Nutallides*. Prezența formelor aglutinante în număr ridicat a permis atribuirea acestor depozite unor medii marine adânci batiale, iar prezența formelor bentonice calcaroase (probabil preluate de la marginea șelfului) sugerează medii depozitionale situate deasupra adâncimii de compensare a carbonatului de calciu.



Figura 11. Aflorimentul de pe Valea Brodinei 2

- **Asociația B** a fost identificată între probele 5 și 10 și este alcătuită în totalitate de foraminifere aglutinante, cu specii tubulare (*Nothia excelsa*, *N. robusta*, *Nothia* sp., *Psammosiphonella cylindrica*, *Rhabdammina* sp.), globulare (*Psammosphaera*) și alungit subcilindrice (*Karrerulina*) etc. (anexa 3.2). Componenta acestei asociații sugerează medii depozitionale mai adânci în comparație cu cele definite de Asociația A, plasate sub CCD.

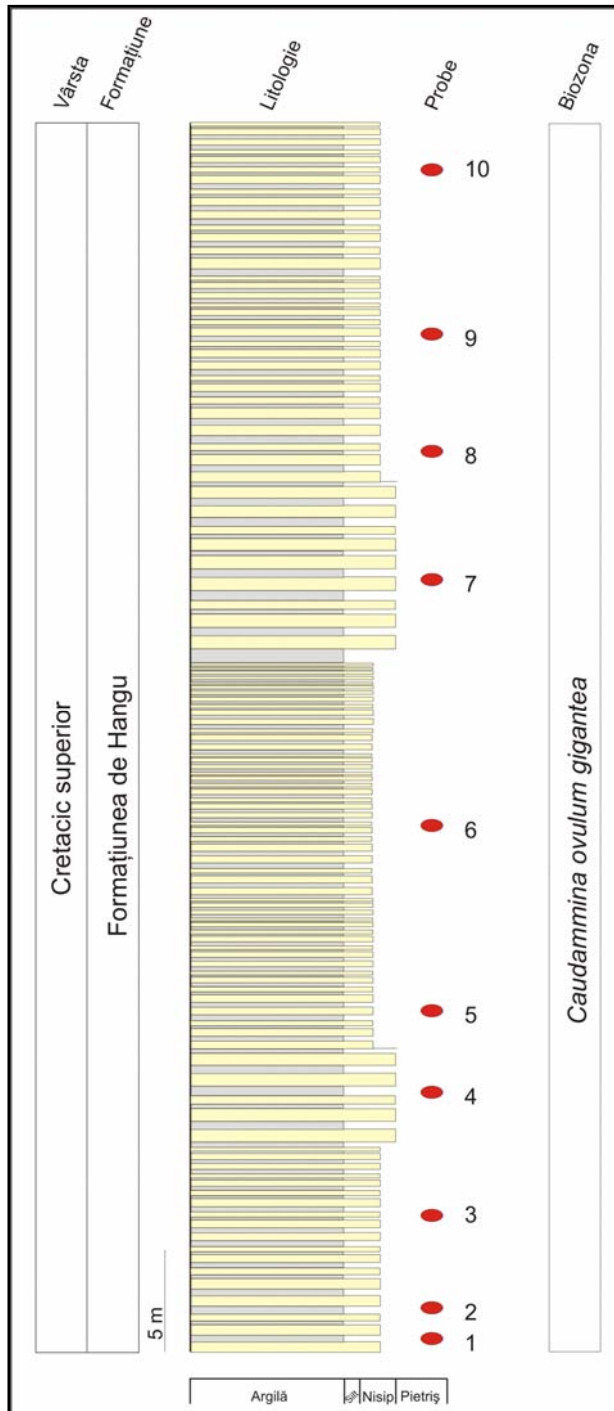


Figura 12. Coloana litologică și poziționarea probelor în secțiunea Valea Brodinei 2

4.1.2.b. Biostratigrafie

Asociațiile de foraminifere aglutinante conțin taxoni cu o extindere stratigrafică relativ mare, singura specie indicatoare identificată fiind *Caudammina ovulum gigantea*. Pe baza prezenței acestei specii, depozitele pot fi încadrate în Zona cu *Caudammina ovulum gigantea* (Morgiel & Olszewska, 1981) care, așa cum am menționat la secțiunea anterioară, este caracteristică intervalului Campanian mediu - Maastrichtian. Prezența altor forme - *Remesella varians* (13 indivizi), *Rzehakina inclusa* (6 indivizi) și *Rzehakina minima* (2 indivizi) - sugerează posibilitatea de restrângere a vârstei la intervalul Maastrichtian superior, foarte aproape de limita cu Paleocenul. Taxonul *Remesella varians* este folosit în general pentru a defini o biozonă maastrichtian superioară în Carpați (Bak, 2004), Tethys și Atlanticul de Nord (Kuhnt et al., 1992; Kuhnt & Kaminski, 1997). Conform celor arătate de Mjatluk (1970), Samuel (1977), Morgiel & Olszewska (1981), Geroch & Nowak (1984), Malata & Oszczypko (1990), Olszewska (1997), *R. inclusa* caracterizează în Carpați intervalul Cretacic superior - Paleocen. Geroch & Nowak (1984) au restricționat pentru Carpații Poloniei această specie la intervalul Senonian - Paleocen, pe când Neagu (1970) și Ion (1995) au considerat pentru Carpații Orientali o vârstă maastrichtian - paleocenă. *R. minima* este descrisă (Kaminski & Gradstein, 2005), alături de *Remesella varians* și *Rzehakina inclusa*, ca având o dezvoltare stratigrafică între Cretacic superior și Paleocen.

4.1.2.c. Paleoecologie

Morfogrupuri de foraminifere aglutinante

După analiza distribuției foraminiferelor aglutinante în morfotipuri s-a putut observa că formele epifaunale alungit carenate și cele epifaunale aplatizat neregulate aparținătoare morfotipurilor M2c (specific mediilor marine marginale) respectiv M3b lipsesc din depozitele investigate. Restul morfotipurilor sunt prezente în toate probele investigate și prezintă variații cantitative de-a lungul secțiunii.

Analizând figura 13 se observă dominanța formelor tubulare (maxim de 73% în proba 9), care aparțin morfogrupului M1 - specii oportuniste de *Bathysiphon*,

Nothia excelsa, *N. robusta*, *N. latissima*, *Psammosiphonella cylindrica*). Jones & Charnock (1985) au considerat că prezența acestui morfogrup în proporție de peste 70% ar indica zone batial inferioare până la abisale, unde curenții marini aduc constant materie organică. Formele globulare (morfotipul M2a, cu dominanța speciei *Psammosphaera irregularis*) comune și ele în medii batiale și abisale (Kaminski & Gradstein, 2005) prezintă o creștere procentuală începând cu proba 5, acolo unde se observă o descreștere a proporției formelor tubulare și totodată o creștere a ponderii formelor epifaunale planspirale și streptospirale aplatizate (morfotipul M3a). Acest eveniment sugerează o schimbare în condițiile de sedimentare cu o tendință de creștere a conținutului de nutrienți pe substrat și condiții favorabile de viață.

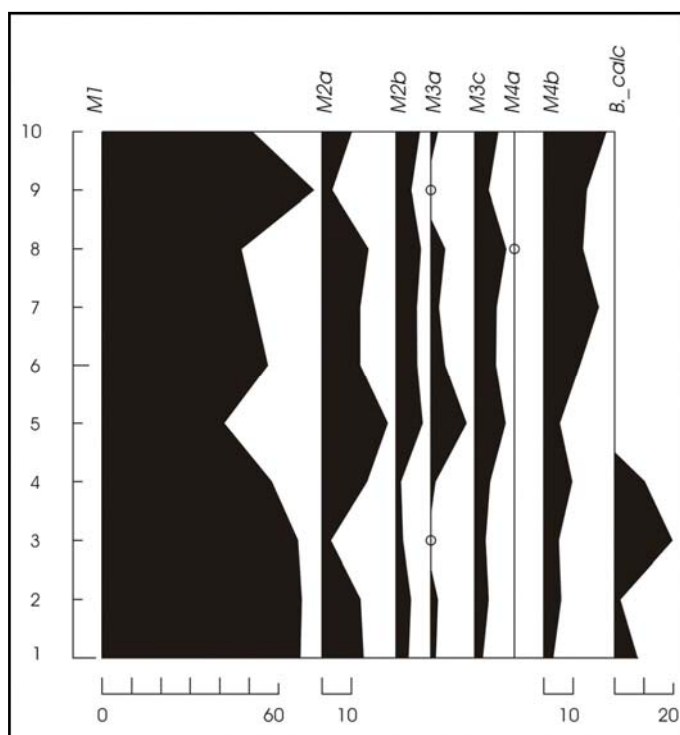


Figura 13. Distribuția morfogrupurilor de foraminifere aglutinante (M1 - tubulare; M2a - globulare; M2b - rotunjit trochoispiral și streptospiral/planconvex trochospiral; M3a - aplatizat trochospiral/ aplatizat planspiral și streptospiral; M3c - aplatizat streptospiral; M4a - rotunjit planspiral; M4b - alungit subcilindric/alungit conic) și a foraminiferelor bentonice calcaroase din secțiunea de pe Valea Brodinei 2

Morfotipul infaunal M4b (*Karrerulina* sp.) are o pondere relativ ridicată (maxim 20%) în partea superioară a secțiunii și sugerează condiții de mediu cu un flux ridicat de materie organică și nivel de oxigenare moderat. Creșterea procentuală a formelor infaunale poate fi asociată cu oscilații relative ale nivelului marin și/sau schimbări în circulația curenților de suprafață.

Diversitate

Pentru analizele de diversitate s-au folosit indicii Fisher α , Shannon, Simpson și de echitabilitate. În figura 14 se poate observa că valorile indicilor Fisher α , Shannon și Simpson înregistrează valori ridicate și relativ apropiate pe intervalele cuprinse între probele 1-2, 4-8 și 10 (Fischer α ~10-14; H' ~2,5-3,3; D ~0,9-0,94). La nivelul probei 8, diversitatea atinge un nivel maxim pentru secțiunea investigată, cu valorile Fischer α = 18,01; H' =3,28; D =0,95, ceea ce sugerează pentru acest interval condiții de mediu favorabile, cu un flux ridicat de materie organică și nivel de oxigenare moderat.

Pentru probele 3 și 9 se poate observa o descreștere a indicilor de diversitate, ceea ce se poate corela cu prezența în număr foarte ridicat a formelor tubulare. Valorile scăzute ale diversității indică pentru aceste intervale condiții de viață vitrege, caracteristice condițiilor de mediu instabile, cu flux organic foarte scăzut. De remarcat este faptul că aceste două intervale aparțin din această secțiune sunt corelate cu cele două nivele de gresii grosiere caracterizate de structuri convolute (figura 15), structuri care indică o hidrodinamică ridicată.

Analizând figura 14, se poate observa că, după depunerea celor două nivele grosiere, diversitatea începe să crească. O explicație plauzibilă ar fi stabilizarea condițiilor de pe substrat și aportul nutritiv adus de curgerile turbiditice, care au favorizat recolonizarea substratului. Valoarea scăzută a diversității din proba 3 se corelează cu valori foarte scăzute ale BFOI (figura 14). La nivelul echitabilității valorile sunt relativ constante de-a lungul secțiunii, cu excepția probei 9, unde se înregistrează valoarea cea mai scăzută datorită predominanței speciilor de *Bathysiphon* și *Nothia*.

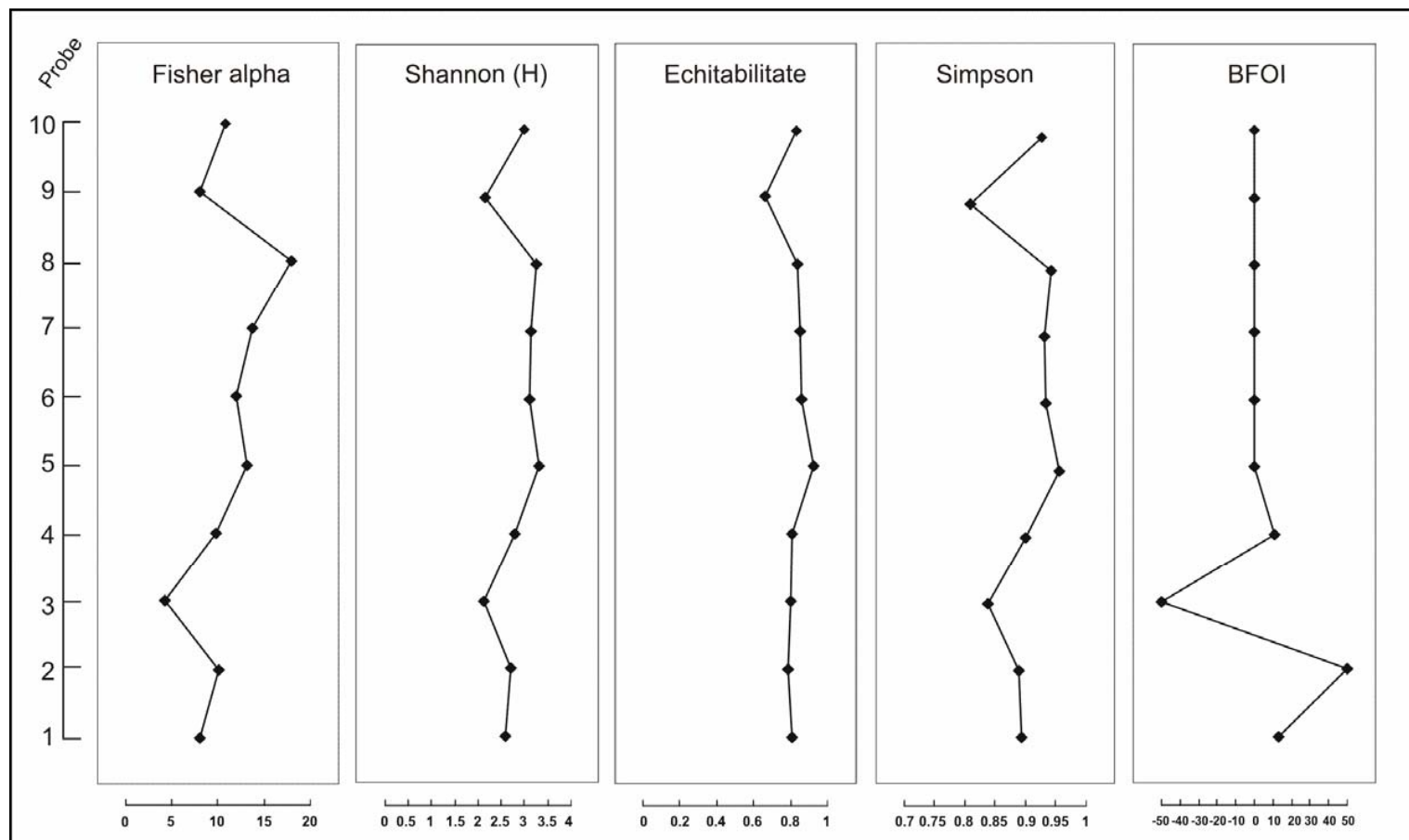


Figura 14. Diversitatea foraminiferelor și indicele de oxigen dizolvat (BFOI) de pe Valea Brodinei 2



Figura 15. Structuri convolute - Valea Brodinei 2

Atât asociațiile de foraminifere bentonice aglutinante și calcaroase indică medii depozitionale batiale spre abisale pentru formațiunile de pe Valea Brodinei 2. Prezența unor specii aglutinante caracteristice acestor adâncimi (aparținătoare genurilor *Rhabdammina*, *Nothia*, *Caudammina*, *Trochamminoides*) sugerează adâncimi de depunere pentru Formațiunea de Hangu de 2500-3000m, corelabilă cu adâncimea de depunere a depozitelor Cretacic superioare din Atlantic (Kuhnt et al., 1998). Un alt argument care susține această ipoteză este încadrarea asociațiilor de foraminifere aglutinante în biofaciesul de tip “fliș” caracteristic pentru mediile marine adânci (Gradstein & Berggren, 1981); acesta este demonstrat de prezența speciilor grosier aglutinate de *Nothia*, *Saccammina*, *Caudammina* și *Psammosphaera*. Așa cum am menționat și în subcapitolul anterior, specia *Caudammina ovulum gigantea* este un important reper zonal pentru Campanianul mediu - Maastrichtianul Zonei cu *Caudammina ovulum gigantea*, care este în general recunoscută în formațiunile marine adânci din Atlanticul de Nord și Tethysul de Vest (Geroch & Nowak, 1984; Moullade et al., 1988; Kuhnt et al., 1998). Prezența în partea bazală a profilului a foraminiferelor bentonice calcaroase sugerează o poziție coborâtă a CCD în timpul Cretacului superior, ceea ce poate fi asociat cu o creștere relativă a nivelului marin.

Indicele de oxigen dizolvat (BFOI) a fost calculat pe baza foraminiferelor bentonice calcaroase doar pentru intervalul cuprins între probele 1 și 4, acolo unde aceste forme au fost prezente. Valorile BFOI sugerează ape adânci, bine oxigenate aferente probelor 1 și 2 (BFOI: 13,33 - 50), precedate de un interval disoxic (BFOI: -

50), urmat de o revenire a condițiilor de mediu bine oxigenate (BFOI: 10,71). Așa cum se poate observa în figura 14, intervalul disoxic se corelează cu valori scăzute ale diversității, ceea ce sugerează condiții nefavorabile de viață, cauzate probabil de stabilitatea nivelului marin, caracteristică la scară globală Cretacului superior (Barrera, 1994). În proba 2 (intervalul disoxic) este de notat și apariția în procente de circa 12% a unei asociații de radiolari. Prezența radiolarilor pe perioada cretac superioară a fost menționată de către Aumond et al. (2009) și este asociată cu o intensificare a curenților oceanici de suprafață care au putut cauza o creștere în productivitatea planctonică. Pe intervalul studiat în prezentul studiu nu au fost identificate foraminifere planctonice, însă plasarea asociației deasupra CCD este sugerată de prezența în procente relativ ridicate a formelor bentonice calcaroase.

4.1.3. Valea Putnei

Datorită dezvoltării ample și a continuității deschiderilor din teren, succesiunea sedimentară de pe Valea Putnei (N: 47°51'50.07", E: 25°35'51.64"; N: 47°51'34.63", E: 25°35'16.44" - figura 7) a fost privită încă de la începutul acestui studiu ca o zonă de referință. Studii în acest areal au fost realizate de către Joja et al. (1961, 1963), Juravle (2007), Chira et al. (2007, 2008), fără a beneficia de studii sistematice sau de interpretări paleoambientale asupra asociațiilor de foraminifere. Succesiunea sedimentară studiată este alcătuită din depozite cretac superioare, paleocene și eocene aparținătoare formațiunilor de Hangu, Izvor (Putna), Straja și Scorbura. Au fost colectate 61 de probe din albia și de pe malurile văii, poziționarea acestora putând fi urmărită în figura 20.

Cele mai vechi depozite identificate sunt de vârstă cretac superioară și, așa cum am menționat anterior, aparțin Formațiunii de Hangu (figura 16), alcătuită din pachete de gresii de circa 30-80cm alternante cu nivele de calcare argiloase și marne (caracterizate de urme de *Chondrites* - figura 17 - menționate în literatura de specialitate ca fiind caracteristice pentru această perioadă - Fütterer, 1984) și argile cenușii, brune și verzui, foarte tectonizate. Au fost colectate 34 de probe din care, după prelucrarea primară, în 28 au fost identificate asociații micropaleontologice.



Figura. 16. Formațiunea de Hangu pe V. Putnei

Peste formațiunile cretacice, în continuitate de sedimentare, sunt dispuse turbidite paleocene (figura 18), preponderent calcaroase, care aparțin Formațiunii de Putna/Izvor (Joja, 1968), din solzul de Poiana Crucii Juravle (2007). Această formațiune este constituită din alternanțe de pachete de calcare, gresii calcaroase, marne și argile cenușii cafenii. Din intercalațiile argiloase au fost prelevate 15 probe. Două intervale, de aproximativ 50 și respectiv 200 m, puternic afectate tectonic, s-au dovedit a fi improprie pentru probare.

Eocenul inferior este prezent pe o suprafață relativ restrânsă prin Formațiunea de Straja, alcătuită în bază dintr-o alternanță de argile verzi și gresii cuarțitice glauconitice, peste care se dispun pachete de argile verzi și roșii cu intercalații de gresii cuarțitice glauconitice (figura 19). Din această formațiune au fost colectate 4 probe.

Eocenul mediu este reprezentat de Formațiunea de Scorbura (Joja, 1954), cu gresii cuarțitice în strate decimetrice până la metrice (figura 21), cu intercalații subțiri de argile. Din această formațiune au fost colectate 8 probe. În partea superioară a succesiunii se individualizează o intercalație de 20 de metri de gresii fine verzui și silicolite (figura 20).

Această secțiune are o importanță deosebită, oferind posibilitatea de a caracteriza biostratigrafic și paleoecologic 4 unități litostratigrafice.



Figura 17. Marno-calcare cu Chondrites de pe V. Putnei



Figura 18. Formațiunea de Izvor (Putna) de pe Valea Putnei



Figura 19. Formațiunea de Straja de pe Valea Putnei

4.1.3.a. Componenta asociațiilor de foraminifere aglutinante

De-a lungul secțiunii, au fost observate câteva asociații distincte în intervalul Cretacic superior - Eocen mediu. Trebuie remarcată abundența ridicată pentru anumite intervale a formelor: *Nothia excelsa*, *Nothia* sp., *Karrerulina conversa*, *K. horrida*., *Recurvoides anormis*, *Recurvoides* sp., *Glomospira charoides*, *G. gordialis*, *G. serpens* *Glomospira* sp. și *Reophax pilulifer* (anexa 3.3). Pe baza abundenței acestor forme, am reușit separarea a 5 asociații pentru succesiunea de pe Valea Putnei (figura 22).

- **Asociații cu *Nothia*** - definesc Cretacicul superior între probele 2 și 27. Alături de speciile de *Nothia excelsa*, *N. robusta*, *N. latissima*, în asociații mai participă și *Kalamopsis grzybowskii*, *Rhizammina* sp., *Rhabdammina* sp., *Caudammina excelsa* etc.
- **Asociații cu *Karrerulina*** - caracterizează Paleocenul inferior (probele 35 și 41) și au fost separate pe baza abundenței ridicate de *Karrerulina conversa*, *K. horrida*, *K. coniformis*, la care se adaugă *Saccammina grzybowskii*, *Psammosphaera irregularis*, *Recurvoides* sp. etc.

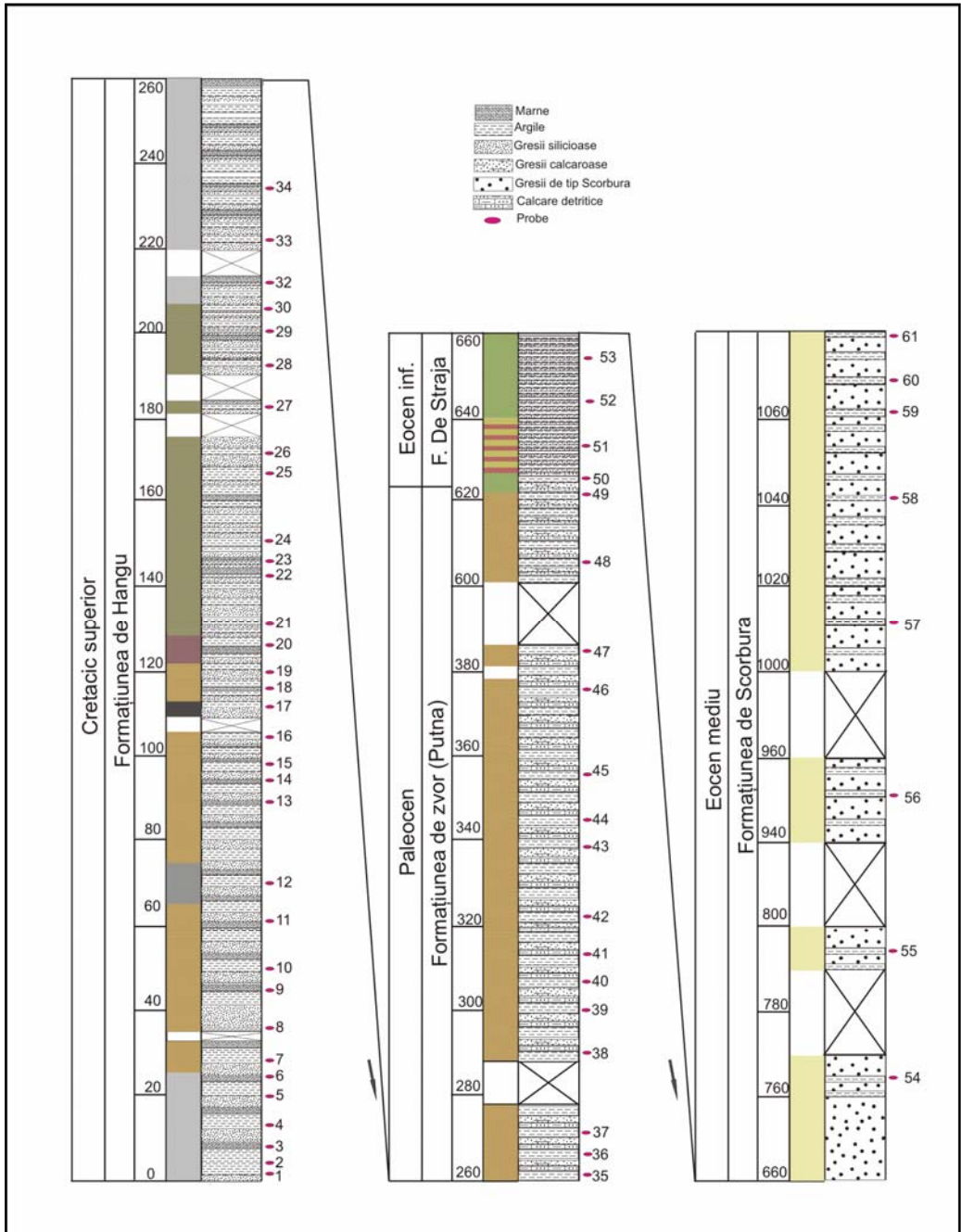


Figura 20. Profil litologic al succesiunii de pe Valea Putnei

- **Asociații cu *Recurvoides*** - caracteristice Paleocenului superior (probele 45 - 50), în componența lor intră speciile *Recurvoides anormis* și *R. walteri*, alături de care apar și *Rzehakina fissistomata*, *Recurvoidella lamella*, *Trochamminoides subcoronatus* etc.
- **Asociații cu *Glomospira***, specifice Eocenului inferior, sunt caracterizate de speciile *Glomospira charoides* și *G. gordialis*, alături de care apar și *Haplophragmoides walteri*, *H. horridus*, *Psammosiphonella cylindrica* etc.
- **Asociații cu *Reophax pilulifer*** - caracteristice Eocenului mediu. Alături de specia care definește această zonă, mai apar în număr redus *Paratrochamminoides olszewski*, *P. acervulatus*, *Trochamminoides* sp.



Figura 21. Formațiunea de Scorbura de pe V. Putnei

4.1.3.b. Biostratigrafie

Pe baza aparițiilor, disparițiilor și abundențelor specifice a anumitor taxoni aglutinanți, am separat pentru depozitele de pe Valea Putnei 4 zone cu foraminifere aglutinante. Pentru anumite intervale (baza Paleocenului și baza Eocenului mediu) date adiționale au fost oferite de către foraminiferele planctonice.

1. Zona cu *Caudammina ovulum gigantea*, definită între prima și ultima apariție a taxonului menționat. În secțiunea de pe Valea Putnei, prima apariție a taxonului diagnostic a fost observată în proba 2, iar ultima apariție în proba 33. Alături de această specie a fost identificată și *Remesella varians*, specie diagnostică pentru Maastrichtianul superior din Carpați (Bak, 2004), Tethys și Atlanticul de Nord (Kuhnt et al., 1992; Kuhnt & Kaminski, 1997). Descrierea detaliată a acestei biozone a fost realizată pentru secțiunea Valea Sucevei 1. Asemenea situației de la Valea Brodinei 1, în formațiunile cretacice superioare de pe Valea Putnei au fost identificate speciile *Rzehakina minima* și *R. inclusa*, care confirmă această vârstă. Date suplimentare pentru argumentarea Maastrichtianului superior sunt oferite și de speciile planctonice *Heterohelix globulosa*, *H. hendersoni*, *H. planata*, *H. labellosa*, *H. navarroensis*, *Laeviheterohelix glabrans*, *Globigerinelloides multispinus*, *G. asper*, *Globotruncana* sp., *Globotruncanella* sp. (Leckie, 1987; Keller, 1989, 1996; Huber, 1990; Nederbragt and Koning, 1994; Abramovich et al., 1998; Abramovich et al., 2002; Georgescu & Abramovich, 2008; Pardo and Keller, 2008; Dubicka & Peryt, 2011; Abramovich et al., 2012). Această asociație planctonică poate fi atașată Biozonei cu *Abathomphalus mayorensis* din Maastrichtianul superior (Huber & Watkins, 1992; Premoli - Silva & Verga, 2004; Tshakreen & Gasinski, 2004; Szabo, 2012).

2. Zona cu *Rzehakina fissistomata*, definită de prima și ultima apariție a acestui taxon, este caracteristică Paleocenului (Grzybowski, 1901; Ionesi, 1974; Săndulescu, 1973, 1975; Morgiel & Olszewska, 1981; Geroch & Nowak, 1984; Neagu et al., 1992; Olszewska, 1997; Bindu & Filipescu, 2011, 2016). În secțiunea de pe Valea Putnei, prima apariție a acestui taxon a fost identificată în proba 38 iar ultima apariție în proba 48; în asociație mai apar și: *Recurvoides* div. sp., *Paratrochamminoides* div. sp., *Trochamminoides* div. sp., *Hormosina velascoensis*, *Glomospira diffundens*, *Kalamopsis grzybowskii*, *Haplophragmoides walteri*, *Karrerulina conversa*, *Ammosphaeroidina pseudopauciloculata* (anexa 3.3). Această asociație este similară celor paleocene descrise în Carpații Poloniei (Cieszkowski & Waśkowska-Oliwa, 2002) și Lizard Springs (Trinidad) (Kaminski et al., 1988). În acest interval se observă și prima apariție a speciei *Recurvoidella lamella* (Grzybowski, 1898, 1901; Jurkiewicz, 1967; Kaminski & Gradstein, 2005).

La baza Paleocenului (proba 35), apar și foraminifere planctonice (30%), între care *Parvularugoglobigerina eugubina* definește baza Paleocenului, respectiv Danianului (Bolli, 1966; Stainforth et al., 1975; Premoli-Silva & Bolli, 1973; Premoli-Silva, 1977; Toumarkine & Luterbacher, 1985; Berggren & Miller, 1988; Molina et al., 1996; Berggren et al., 1995; Keller, 1989, 1993; Arenillas & Arz, 2000). Identificarea acestui taxon în secțiunea studiată confirmă prezența limitei Cretacic - Paleogen și ajută la calibrarea asociațiilor aglutinante.

3. Zona cu *Glomospira*. La nivelul probei 51 (Formațiunea de Straja - Eocen inferior) apare o abundență foarte ridicată a speciilor *Glomospira charoides* și *Glomospira gordialis* (figura 22). Acest bioeveniment este caracteristic Eocenului inferior din numeroase regiuni asociate Tethysului (Jurkiewicz, 1967; Morgiel & Olszewska, 1981; Ortiz, 1995; Olszewska, 1997; Egger et al., 2003, 2005; Bak, 2004; Galleotti et al., 2004; Allegret et al., 2005, 2009, 2010; Giusberti et al., 2009; Bindu & Filipescu, 2011; Arreguín-Rodríguez et al., 2013).

4. Zona cu *Reophax pilulifer*, definită de abundența ridicată a speciei diagnostice în intervalul dintre probele 54 și 57. Această zonă este caracteristică pentru partea superioară a Eocenului mediu în Carpații Poloniei (Morgiel & Szymakowska, 1978; Morgiel & Olszewska, 1981). Alături de taxonul diagnostic, începând cu proba 58 a fost identificată specia *Praesphaerammina subgaleata*, care este cunoscută ca având prima apariție la nivelul Eocenului mediu (Geroch & Nowak, 1984; Kaminski & Filipescu, 2000). La nivelul probei 54 s-a înregistrat și prima apariție a speciilor planctonice *Subbotina linaperta* și *Turborotalia griffinae*, caracteristice, de asemenea, Eocenului mediu (Jenkins, 1971; Krasheninnikov & Basov, 1983; Bolli, 1985; Scott & Kennett 1990; Huber, 1991; Berggren, 1992).

4.1.3.c. Paleoecologie

Reconstituirile paleoecologice cu ajutorul asociațiilor micropaleontologice s-au făcut prin afilierea speciilor la morfogrurile de foraminifere aglutinante. Majoritatea probelor investigate (cu excepția probelor 1, 10, 11, 12, 13, 15) sunt bogate în asociații de foraminifere. Analizând figura 25 (P/B/C), se poate observa că asociațiile de foraminifere aglutinante sunt dominante, în Cretacicul superior acestea atingând până la 95% (excepție fac probele 4, 7, 14, 20 și 35, în care

formele planctonice sunt frecvente). Formele bentonice calcaroase sunt prezente sporadic, cu un maxim în Paleocenul superior (proba 45). Toți indivizii prezintă un grad de păstrare moderat până la bun și au dimensiuni normale; excepție fac asociațiile identificate în Eocenul inferior (proba 51) unde foraminiferele sunt de dimensiuni reduse și, opus acestora, asociațiile identificate în proba 49 (Paleocen superior) unde taxonii sunt de dimensiuni foarte mari.

Analiza morfogrupurilor de foraminifere aglutinante

Cu excepția morfogrupului M3b (*Ammolagena clavata*), toate celelalte morfogrupuri sunt prezente (figura 23). Distribuția morfogrupurilor de-a lungul secțiunii pune în evidență o serie de evenimente, care estimează nivelul de oxigenare și aportul de materie organică pe substrat. În figura 23 se poate observa dominanța formelor tubulare ale morfogrupului M1 (*Rhabdammina*, *Rhizammina*, *Nothia excelsa*, *Bathysiphon*, *Psammosiphonella cilindryca*, *Kalamopsis grzbowsky*), la nivelul Cretacicului superior, ceea ce sugerează un aport scăzut de materie organică și un nivel de oxigenare moderat pe substrat. Astfel, am considerat îndreptățită corelarea asociațiilor cretacice superioare de pe Valea Putnei cu cele deja menționate de pe Valea Sucevei și Valea Brodinei 2, caracterizate de asemenea de o abundență ridicată a formelor tubulare. La nivelul probei 14 se observă o creștere bruscă a proporției formelor globulare (*Psammosphaera*, *Saccammina*), aparținătoare morfogrupului M2, care ar fi putut fi cauzată de o adâncire a substratului, acest morfogrup fiind caracteristic mediilor marine adânci batiale - abisale (Kaminski & Gradstein, 2005).

În intervalul foarte apropiat de limita Cretacic / Paleogen (probele 29 și 33), se poate observa o descreștere a proporției formelor tubulare, suplinită de o creștere a formelor infaunale atribuite morfotipului M4b.

În contextul în care, în timpul Maastrichtianului superior, nivelul mării era ridicat (Luning et al., 1998; Li et al., 2000), nutrienții erau levigați de pe marginile continentale și transportați în bazin, unde au stimulat productivitatea și implicit aportul de materie organică pe substrat; acest lucru a favorizat dezvoltarea formelor infaunale (M4b) deja menționate, fapt constatat și de Cetean (2009) la nivelul Campanianului inferior.

În jurul limitei Cretacic / Paleogen se poate observa o corelare negativă între morfotipurile M1 și M4b. Dacă morfotipul M4b a avut o abundență ridicată în partea inferioară a secțiunii, pe intervalul probei 34 reîncep să domine formele tubulare, această schimbare fiind probabil cauzată de o scădere a fluxului de materie organică în context puternic regresiv.

O nouă schimbare de mediu, sugerată de o corelare negativă între cele două morfotipuri menționate mai sus, se poate observa la nivelul Paleocenului inferior (probele 35 și 40); pe acest interval, morfogrulul M4b, care este reprezentat în special de specii de *Karrerulina* și *Reophax*, ajunge la abundențe ridicate, ceea ce sugerează o nouă creștere a nivelului marin, asociată cu un flux organic ridicat și un nivel de oxigenare scăzut spre moderat. Această interpretare are ca model secțiunile Caravaca din Spania (Coccioni & Galeotti, 1994), Agost din Spania (Alegret et al., 2003) și Sonda 465 din Pacific (Alegret & Thomas, 2005). Paleocenul superior (probele 43 - 49) este caracterizat de medii marine cu flux organic scăzut și nivel de oxigenare moderat, demonstrate de abundența morfotipului M1. Trecerea de la Paleocen la Eocen (probele 49 - 52) este marcată de o creștere în abundență a formelor epifaunale aparținătoare morfotipului M2b (în proba 49 apar aproape în exclusivitate *Recurvoides anormis*, *R. walteri*, *Recurvoides* sp., *Recurvoidella lamella*). O situație similară fost semnalată din Carpații Poloniei de către Jurkiewicz (1967), Morgiel & Szymakowska (1978), Morgiel & Olszewska (1981), Bak (2004), Waskowska-Oliwa (2008), care asociază această abundență ridicată a speciilor de *Recurvoides* cu condiții marine adânci, cu ape calde și cu un nivel moderat de oxigenare și flux organic la nivelul Paleocenului superior.

Tranziția spre Eocen este cunoscută în literatura de specialitate ca "Maximul Termic Paleocen - Eocen sau Maximul Termic Inițial Eocen" (Scott & Kennet, 1990; Kennett & Scott, 1991; Bak, 2004) și coincide cu extincția mai multor specii de foraminifere bentonice din mediile marine adânci (Tjalsma & Lohman, 1983; Miller et al., 1987; Thomas, 1988).

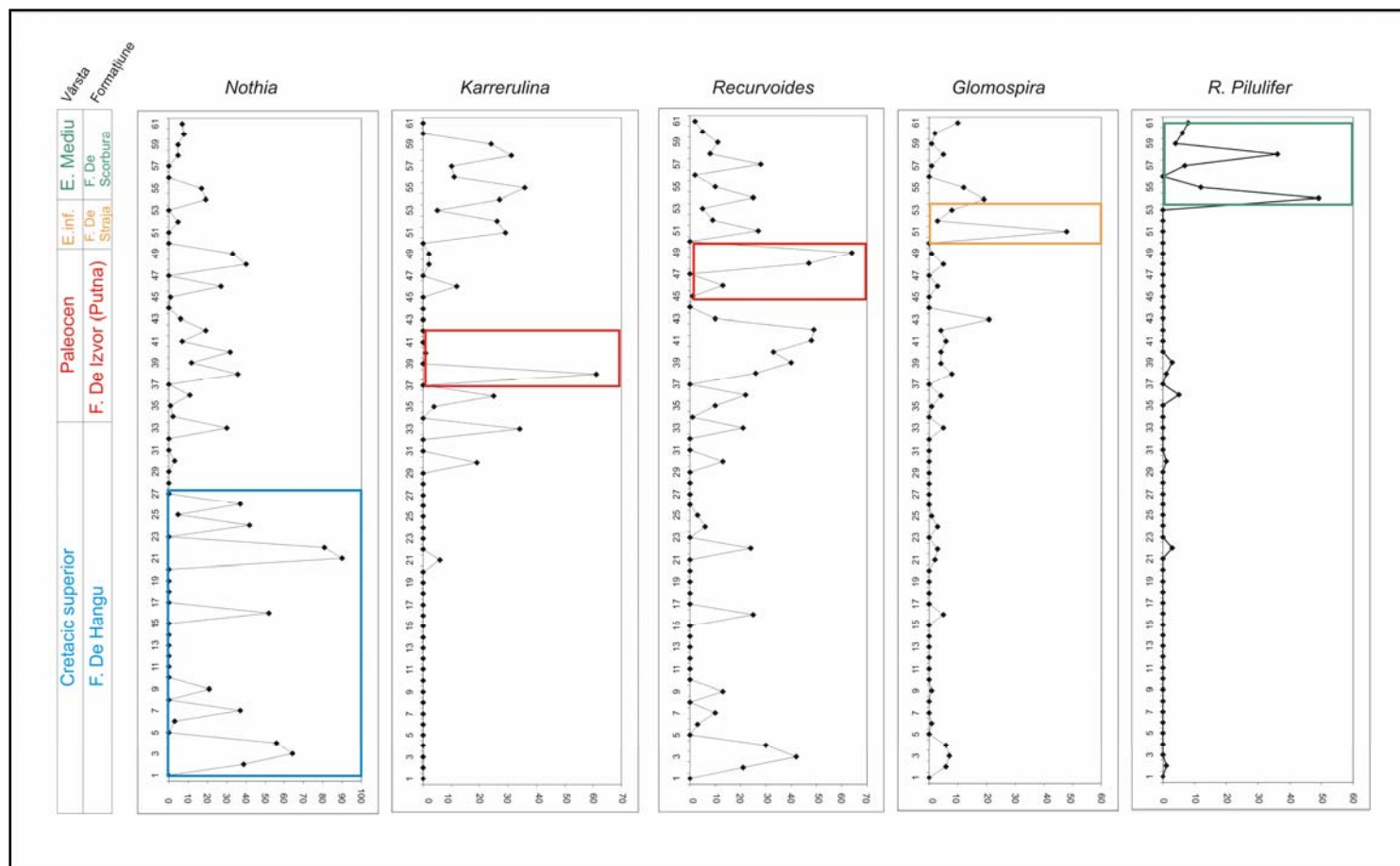


Figura 22. Abundența principalelor specii de foraminifere din secțiunea de pe Valea Putnei

În secțiunea de față s-a observat că speciile *Rzehakina fissistomata*, *Recurvoidella lamella* și *Remesella varians* nu mai apar după acest nivel, care ar putea fi considerat un prag bionomic. Se poate observa că în timpul Eocenului inferior (proba 51), morfotipul M3a are o abundență ridicată, cu forme de *Glomospira charoides* și *Glomospira gordialis*. Această asociație a fost identificată într-un pachet de argile vârgate (argile roșii și verzui intercalate de nivele foarte subțiri de gresii silicioase), atribuite de diverși autori (Geroch & Gradzinski, 1955; Costea & Balteș, 1962; Bieda et al., 1963; Grigoraș, 1955; Agheorghiresei et al., 1967; Geroch et al., 1967; Bratu & Alexandrescu, 1970; Dicea, 1974; Morgiel & Szymakowska, 1978; Morgiel & Olszewska, 1981; Morgiel and Olszewska, 1982; Geroch & Nowak, 1984; Bratu et al., 1985; Kaminski et al., 1989, 1996; Olszewska, 1997; Kender et al., 2005; Bindu & Filipescu, 2011a,b; Bindu et al., 2010, 2011) Eocenului inferior din flișul carpatic. Kaminski et al. (1989) au considerat că abundența ridicată a speciilor de *Glomospira* este asociată cu o rată de sedimentare scăzută și productivitate ridicată pe substrat, care au generat condiții de oxigenare scăzută și o creștere a adâncimii de compensare a carbonatului de calciu (CCD) la adâncimi batiale spre abisale. Ulterior, Kaminski et al. (1996) au arătat că acest tip de asociație poate să apară și în medii bine oxigenate, specia fiind mai degrabă un recolonizator oportunist decât un indicator pentru o productivitate ridicată. Prezența acestui tip de asociație în argilele vârgate de la Putna, similare cu cele identificate de către Kender et al. (2005) în Unitatea Magura din Carpații Poloniei, sugerează alternanța condițiilor oxice și suboxice. Așa cum am menționat anterior, speciile de *Glomospira* identificate în asociațiile din proba 51 prezintă dimensiuni foarte reduse, similar asociației descrise din Carpații Poloniei de către Bak (2004). Dimensiunile reduse ale foraminiferelor au putut fi cauzate de o deficiență de oxigen în apele calde de fund (Thompson et al., 1985), pulsuri rapide de hrană care au generat cicluri de reproducere rapide (Gooday, 1993) sau de temperaturi ridicate ale apelor care au condus la o creștere a necesității de hrănire (Boersma et al., 1998).

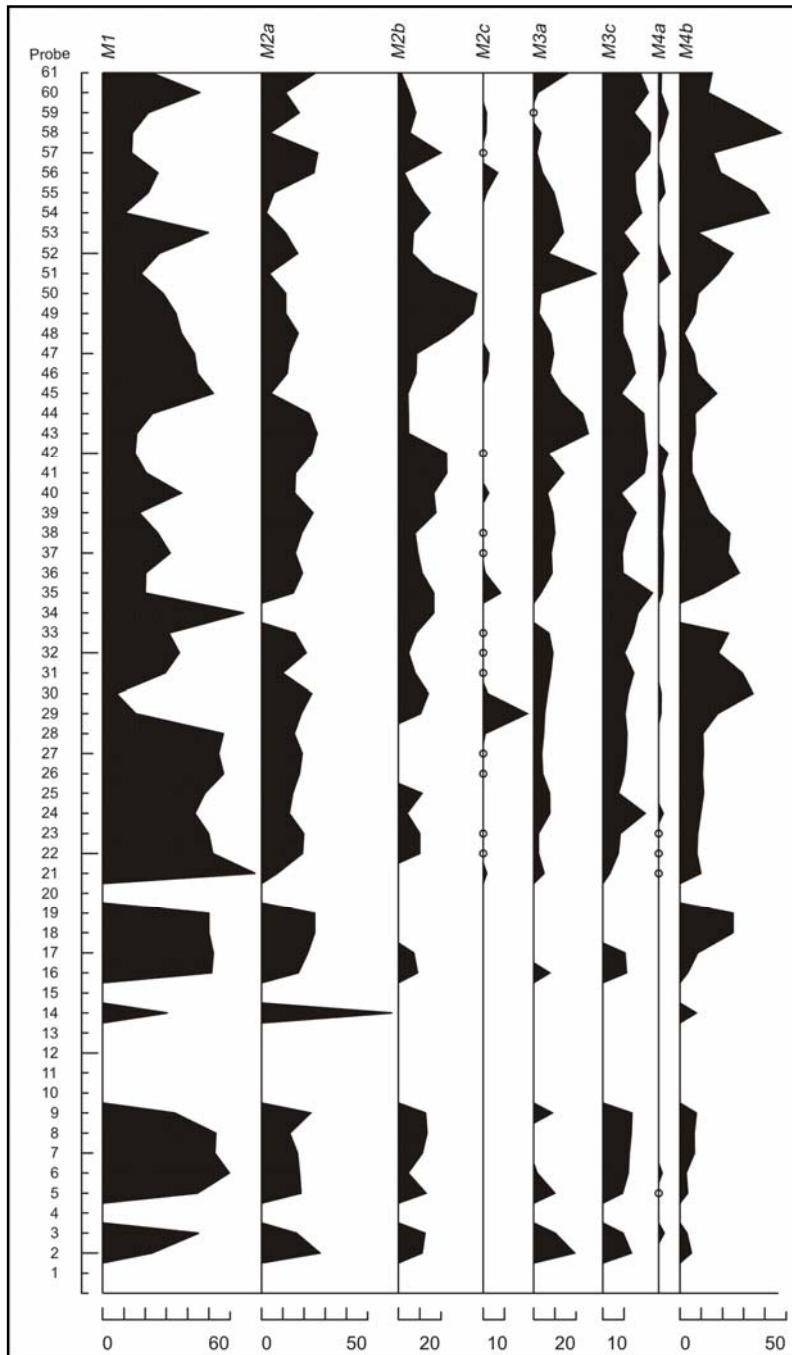


Figura 23. Distribuția morfogrurilor de foraminifere aglutinate în Valea Putnei

Partea superioară a Eocenului inferior este caracterizată de un interval cu un flux organic scăzut, probabil cauzat de o scădere a nivelului marin sau o schimbare în circulația curenților de suprafață; această ipoteză este sugerată de o creștere în abundență a formelor tubulare (M1).

Depozitele eocen medii (probele 54 - 61) provin probabil de la adâncimi mai reduse în comparație cu cele inferioare, mediul de viață al foraminiferelor fiind probabil batial superior. Această ipoteză este susținută de o nouă creștere procentuală a formelor infaunale reprezentate de specia *Reophax pilulifer* (morfotipul M4b), frecventă în Eocenul mediu (Morgiel & Olszewska, 1981).

Diversitate

Distribuția valorilor indicilor de diversitate pentru Valea Putnei se poate urmări în figura 24. Se poate observa că asociațiile de foraminifere cretacice superioare prezintă variații la nivelul diversității și heterogenității, indicele Fisher α atingând valori minime de 10 și maxime de până la 20 pentru acest interval. Valorile ridicate ale diversității sugerează condiții de mediu stabile și favorabile pentru diversificarea habitatului, în timp ce intervalul cu diversitate scăzută (probele 24 - 28) indică instalarea unui regim restrictiv de viață. Aceste variații ale celor doi parametri de diversitate au fost probabil cauzate de o modificare a condițiilor de oxigenare, fapt observabil și la analiza morfogrupurilor de foraminifere aglutinante.

La nivelul probei 21 toți cei patru indici prezintă valori foarte scăzute; explicația este dată de prezența în proporție foarte mare a speciilor oportuniste de *Nothia*. Participarea morfogrupului M1 în proporție de până la 80% sugerează condiții oligotrofe pe substrat. În contrast cu acest interval, depozitele de deasupra prezintă valori ridicate ale diversității și omogenității acolo unde formele tubulare domină. Explicația ar putea fi legată de existența unor condiții de viață favorabile pe substrat, care au permis diversificarea speciilor tubulare (*Nothia* spp., *Bathysiphon* sp., *Kalamopsis grzybowski*, *Hyperammina* spp., *Rhabdammina* sp., *Rhizammina* sp.). Valorile ridicate ale indicilor de diversitate se înregistrează la nivelul probei 30, acolo unde crește participarea tuturor morfogrupurilor; formele infaunale dominante (morfogrupul M4b) sunt caracteristice unui mediu cu un aport organic ridicat.

La nivelul limitei Cretacic / Paleogen se poate observa o creștere urmată de o scădere bruscă a indicilor Fisher α și Shannon-Weaver, ceea ce sugerează o instabilitate accentuată în mediu. Această schimbare bruscă este vizibilă și prin modificarea proporției dintre morfotipurile M1 și M4b. Descreșterea diversității asociată cu abundența formelor epifaunale tubulare (M1) la finele Cretacicului urmată de o creștere semnificativă a formelor infaunale (M4b) în baza Paleocenului fost semnalată și de Bak (2004) în Carpații Poloniei și de Alegret & Thomas (2007) în Atlanticul de Sud.

La nivelul Paleocenului se pot observa diferențe în valorile indicilor de diversitate (figura 24). Paleocenul inferior este caracterizat de o diversitate ridicată, foraminiferele aglutinante (care constituie grupul dominant) prezentând până la 50 de specii într-o singură probă. Asociațiile caracteristice pentru Paleocenul superior sunt mai puțin diverse, dominate de specii cosmopolite și longevive (*Recurvoides anormis*, *R. walteri*, *Psammosiphonella cylindrica*, *Karrerulina horrida*, *K. conversa*); spre finele acestui interval dispar taxonii care au supraviețuit limitei K/Pg. Aceste caracteristici ale diversității pentru epoca paleocenă indică o deteriorare în timp a condițiilor de mediu, așa cum s-a observat și în Carpații Poloniei (Waskowska-Oliwa, 2008).

O scădere bruscă a diversității se înregistrează la nivelul Eocenului inferior, fapt observat și în Carpații Poloniei și corespund cu baza “evenimentului termic inițial eocen” (Bak, 2004). Numărul de taxoni scade brusc (22 de specii), iar indicii specifici ating cele mai scăzute valori din întreaga secțiune: Fisher α = 5.76, H (S) = 2.05, E = 0.76 și Simpson = 0.78. Acest interval este caracterizat de abundența speciilor de *Glomospira*, care, împreună cu valorile scăzute ale diversității și grosimea redusă a depozitelor turbiditice (circa 50 m) sugerează o rată de sedimentare scăzută și un conținut scăzut de oxigen și nutrienți pe fundul mării cauzate probabil de transgresiunea instalată la începutul Eocenului (Haq et al., 1988). Examinând asociații similare, Kaminski et al. (1996), Kaminski & Gradstein (2005), Waskowska (2011) au considerat că proliferarea grupului oportunist *Ammodiscus* – *Glomospira* indică medii de viață instabile pe substrat.

La nivelul Eocenului mediu, indicii de diversitate încep să crească. Acest lucru este pus pe seama îmbunătățirii condițiilor de viață asociate încălzirii climatice de după tranziția Eocen inferior/mediu (flux organic ridicat și condiții de oxigenare moderate) pentru speciile caracteristice acestui interval (*Reophax pilulifer*, *Praesphaerammina subgaleata* etc.)

Compoziția taxonomică a asociațiilor de foraminifere de pe Valea Putnei oferă informații foarte importante referitoare la batimetrie. În figura 25 (P/B/C) se poate observa că în majoritatea probelor domină foraminiferele aglutinante. Unii taxoni (*Caudammina ovulum gigantea*, *Rzehakina fissistomata*, *Kalamopsis grzybowski*, *Glomospira charoides* etc.) documentează medii marine adânci, batiale. Cretacicul superior este caracterizat de o abundență ridicată a formelor tubulare specifice mediilor batiale (Kaminski & Gradstein, 2005), plasate sub CCD.

Excepție fac 4 intervale unde foraminiferele planctonice ating peste 80%, ceea ce sugerează plasarea mediilor deasupra CCD. Cele 4 intervale sunt caracterizate de o abundență ridicată a speciilor de *Heterohelix globulosa*, *H. hendersoni*, *H. planata*, *Laeviheterohelix glabrans*, *Globigerinelloides multispinus*, *G. asper*, *Hedbergella monmouthensis* etc. Abundența și dimensiunile reduse ale speciilor de *Heterohelix* sugerează condiții de mediu slab oxigenate (Leckie, 1987; Kroon & Nederbragt, 1990; Barrera & Keller, 1990; Leckie et al., 1998; Nederbragt et al., 1998; Premoli Silva & Sliter, 1999; Keller & Pardo, 2004; Abramovich et al., 2012), deci probabil asociate unor condiții eutrofice (Pardo & Keller, 2008). Mediile batiale sunt sugerate și de prezența ichnofosilelor (*Chondrites*), asemănătoare celor descrise din sud-estul Atlanticului (Fütterer, 1984). La baza Paleocenului apar atât foraminifere bentonice aglutinante (*Rhabdammina* sp. *Psammosphaera irregularis*, *Recurvoides* sp., *Paratrochamminoides* sp., etc), calcaroase (*Siphonodosaria* sp.) și planctonice (*Parvularugoglobigerina eugubina*, *Globigerina* sp.), ceea ce sugerează medii plasate deasupra, dar foarte aproape de CCD.

În Paleocen, domină foraminiferele aglutinante, alături de care apar foarte rar forme bentonice calcaroase. Acest lucru sugerează o adâncire a substratului (Kaminski et al., 1988; Setoyama, 2011; Bindu et al., 2013), în medii batiale, plasate în marea majoritate sub CCD. Oscilații ale CCD sunt înregistrate doar în preajma probelor 40 și 45.

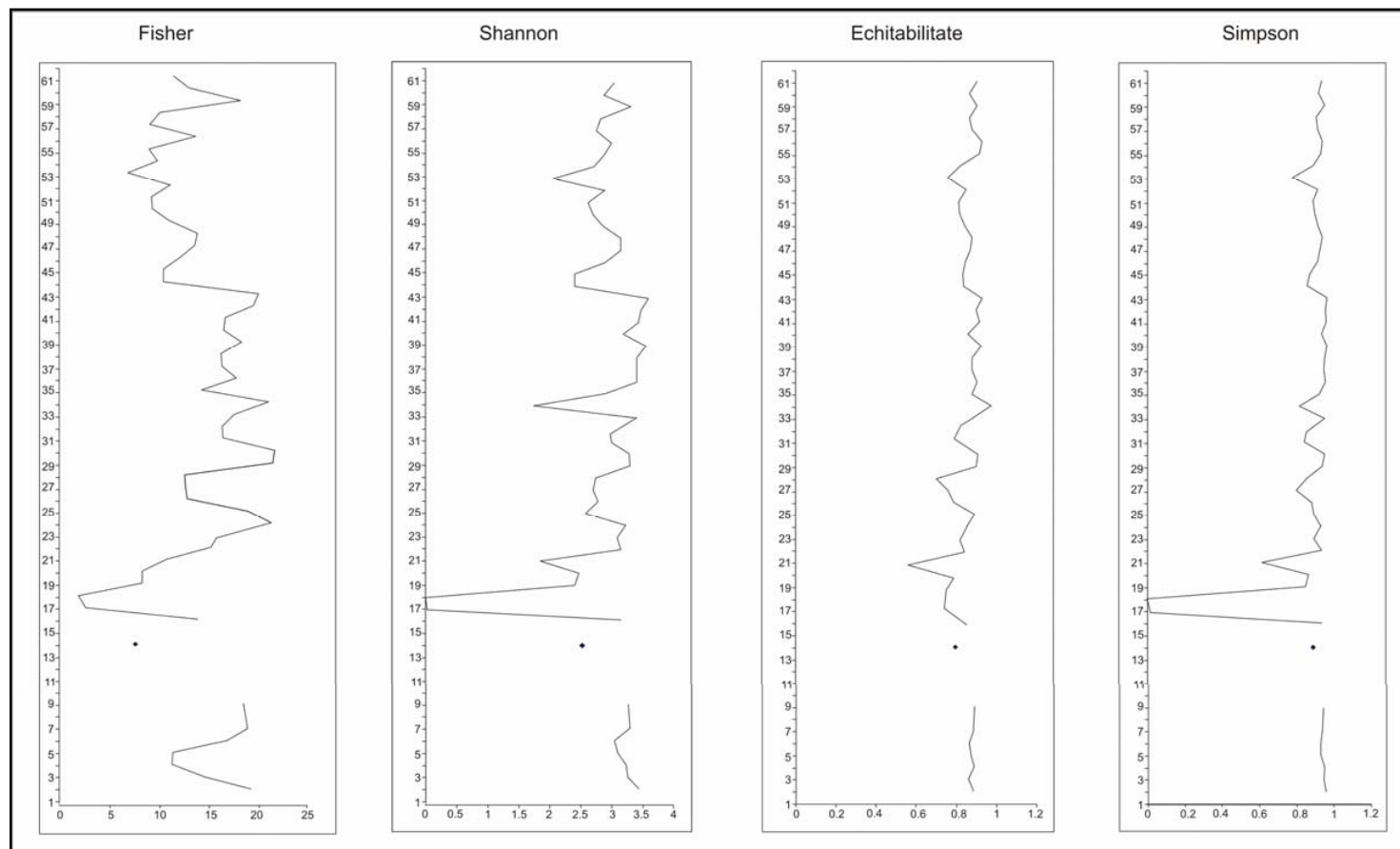


Figura 24. Valorile indicilor de diversitate în secțiunea de pe Valea Putnei

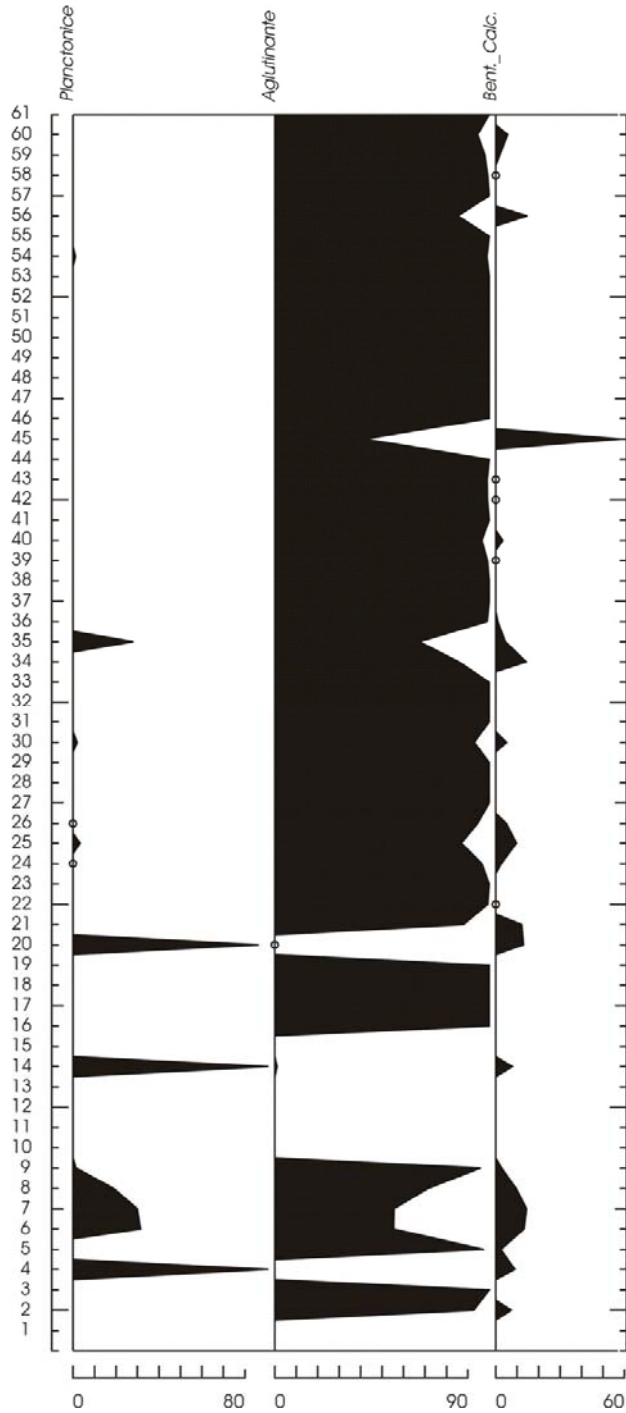


Figura 25. Participarea procentuală a foraminiferelor planctonice / aglutinante / bentonice calcaroase din secțiunea de pe Valea Putnei

Eocenul inferior și mediu a fost caracterizat de medii marine batiale medii - inferioare, plasate sub CCD, așa cum rezultă din compoziția asociațiilor de foraminifere aglutinante.

Formele grosier aglutinate (*Bathysiphon*, *Nothia*, *Rhabdammina*, *Rizammina*, *Hyperammina*, *Psammosiphonella*), cele globulare (*Psammosphaera*, *Saccamina*) și înrulate (*Recurvoides*, *Haplophragmoides*, *Glomospira*) permit asimilarea asociațiilor de pe Valea Putnei cu cele de tip “fliș”, specifice pentru mediile marine adânci (Kaminki & Gradstein, 2005).

4.1.4. Valea Suha și Valea Sucevei 2

Sucesiunea sedimentară de pe Valea Suha este localizată pe malul drept al văii, aproape de confluența acesteia cu râul Moldova, în apropierea localității Frasin (N 47°31'05.2"; E 25°48'09.6") - figura 7. Secțiunea deschide alternanțe centimetrice - decimetrice de gresii cu argile și marne (figura 26) din Formațiunea de Izvor (Putna) din Pânza de Tarcău (Săndulescu & Dimitrescu, 2004).



Figura 26. Depozitele Formațiunii de Izvor de pe Valea Suha

Au fost colectate 17 probe (figura 28), în majoritate cu asociații micropaleontologice bogate și bine păstrate. Au fost identificate specii tipice mediilor marine adânci, între care domină formele aglutinante (98%), alături de care apar rar forme bentonice calcaroase (anexa 3.4). Foraminifere planctonice apar doar în prima probă prin speciile *Eoglobigerina eobulloides* și *Parasubbotina* sp.. Parte din rezultatele micropaleontologice obținute din cadrul secțiunii de pe Valea Suha sunt publicate în lucrarea științifică Bindiu & Filipescu, 2016.

Caracterele litologice de la Valea Sucevei 2 (figura 27) sunt similare celor de pe Valea Suha, diferența fiind doar extinderea mai limitată la Valea Sucevei 2 (5 m). Aflorimentul este localizat în localitatea Brodina (N: 47°53'10.53", E: 25°25'4.54" - figura 7) și aparține aceleiași Formațiuni de Izvor (Putna). Au fost colectate 4 probe, din care s-au recuperat foraminifere aglutinante (anexa 3.4).



Figura 27. Depozitele din secțiunea Valea Sucevei 2

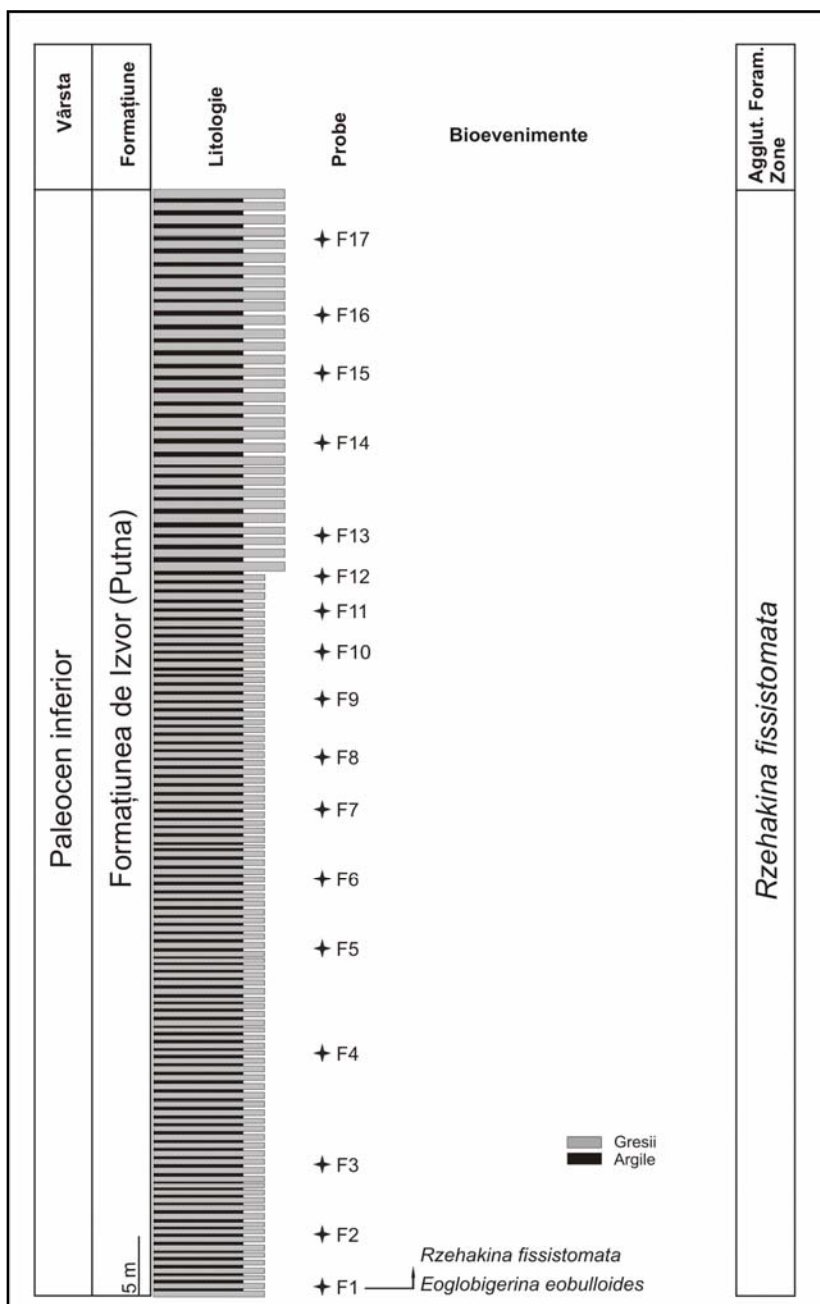


Figura 28. Coloana litologică și poziționarea probelor din secțiunea de pe Valea Suha

4.1.4.a. Componenta asociațiilor de foraminifere

Pe baza prezenței foraminiferelor bentonice, au fost separate două tipuri de asociații:

- **Asociații cu foraminifere aglutinante**, identificate în probele 2-8, 11 și 15 de pe Valea Suha și în toate probele de la Valea Sucevei 2, reprezentate prin speciile: *Nothia excelsa*, *Psammosiphonella cylindrica*, *Placentamina placenta*, *Ammolagena clavata*, *Rzehakina fissistomata*, *Karrerulina conversa* etc.
- **Asociații mixte**, identificate în probele 9-12, 14, 16-17 de pe Valea Suha, cu forme aglutinante (*N. excelsa*, *Caudamina excelsa*, *Ammosphaeroidinia pseudopauciloculata*, *Paratrochamminoides* sp.) și bentonice calcaroase (*Cibicidoides velascoensis*, *Nuttalides truempyi*, *Dentalina* sp.) - anexa 3.4. În proba 1 apar și forme planctonice (*Eoglobigerina eobuloides*, *Parasubbotina* sp.).

4.1.4.b. Biostratigrafie

Atribuirea depozitelor de pe Valea Suha și Valea Sucevei 2 Paleocenului Formațiunii de Izvor (Putna) s-a făcut pe baza prezenței taxonului *Rzehakina fissistomata* (Carpații Poloniei: Grzybowski, 1901; Geroch & Novak, 1984; Olszewska, 1997; Oszczypko et al., 2005; Carpații Orientali: Săndulescu 1973, 1975; Ionesi, 1974, Neagu et al., 1992; Bindu & Filipescu, 2011). În componența asociațiilor (anexa 3.4) intră și: *Recurvoides* spp., *Paratrochamminoides* spp., *Trochamminoides* spp., *Hormosina velascoensis*, *Glomospira diffundens*, *Kalamopsis grzybowskii*, *Haplophragmoides walteri*, *Karrerulina conversa*, *Ammosphaeroidinia pseudopauciloculata*, care permite corelarea cu asociațiile de pe Valea Putnei și cu cele paleocene din Carpații Poloniei (Cieszkowski & Waśkowska-Oliwa, 2002) și din Trinidad (Kaminski et al., 1988).

În prima probă de la Valea Suha, în asociațiile de foraminifere apar și câteva forme planctonice. Specia *Eoglobigerina eobuloides* este caracteristică Paleocenului inferior (Premoli-Silva, 1993; Olsson et al., 1999), ceea ce permite o bună aproximare a vârstei formațiunii studiate.

4.1.4.c. Paleoecologie

Analiza morfogrupurilor de foraminifere aglutinante.

În secțiunea de pe Valea Suha sunt prezente toate morfogrupurile de foraminifere aglutinante utilizate pentru interpretări paleoecologice (Nagy et al., 1995; Van der Akker et al., 2000; Kaminski & Gradstein, 2005; Cetean et al., 2011; Murray et al., 2011; Setoyama et al., 2011, 2013), inclusiv morfogrupul M3b reprezentat de *Ammolagena clavata* (până la 15% din asociație) - figura 30.

Formele tubulare (*Nothia excelsa*, *Rhizammina* sp. și *Rhabdammina* sp. - morfogrupul M1), globulare (*Placentamina placenta*, *Saccamina grzybowski* - M2a), aplatizat streptospirale (*Ammosphaeroidinia pseudopauciloculata*, *Paratrochamminoides* spp., *Trochamminoides* spp. - M3c) și alungit subcilindrice (*Karrerulina conversa*, *K. horrida* - M4b) domină consistent asociațiile și au o distribuție relativ uniformă de-a lungul secțiunii (figura 30). Excepție face proba 3 unde morfotipul M3c atinge valori ridicate.

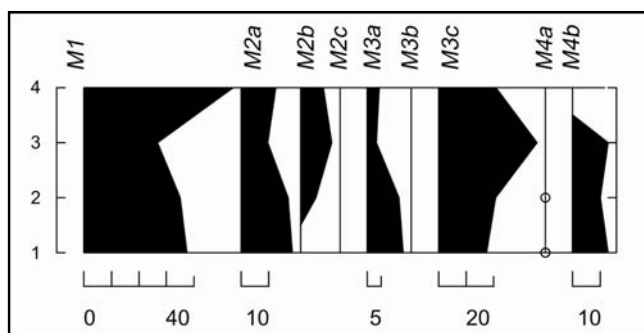


Figura 29. Morfogrupuri de foraminifere aglutinante la Valea Sucevei 2

Celelalte morfogrupuri (M2b, M2c, M3a și M4a) sunt prezente în proporție scăzută de-a lungul secțiunii. Spre deosebire de secțiunile analizate anterior, în secțiunea de pe Valea Suha, distribuția relativ uniformă a morfogrupurilor nu sugerează schimbări importante în aportul de materie organică sau nivelul de oxigenare de pe substrat. Singurul eveniment notabil este creșterea ponderii morfotipului M3c (*Ammosphaeroidinia pseudopauciloculata*) în proba 3. Abundențe similare au fost semnalate și în Danianul de la Lizard Springs (Trinidad), în condiții de proximitate a CCD și de adâncire a substratului (Kaminski et al., 1988).

Mai multe informații sunt oferite de valorile indicilor de diversitate care urmează a fi prezentate în continuare.

Dominanța morfogrupului M1 (figura 29) la Valea Sucevei 2 indică medii marine adânci, caracterizate de flux relativ scăzut de materie organică.

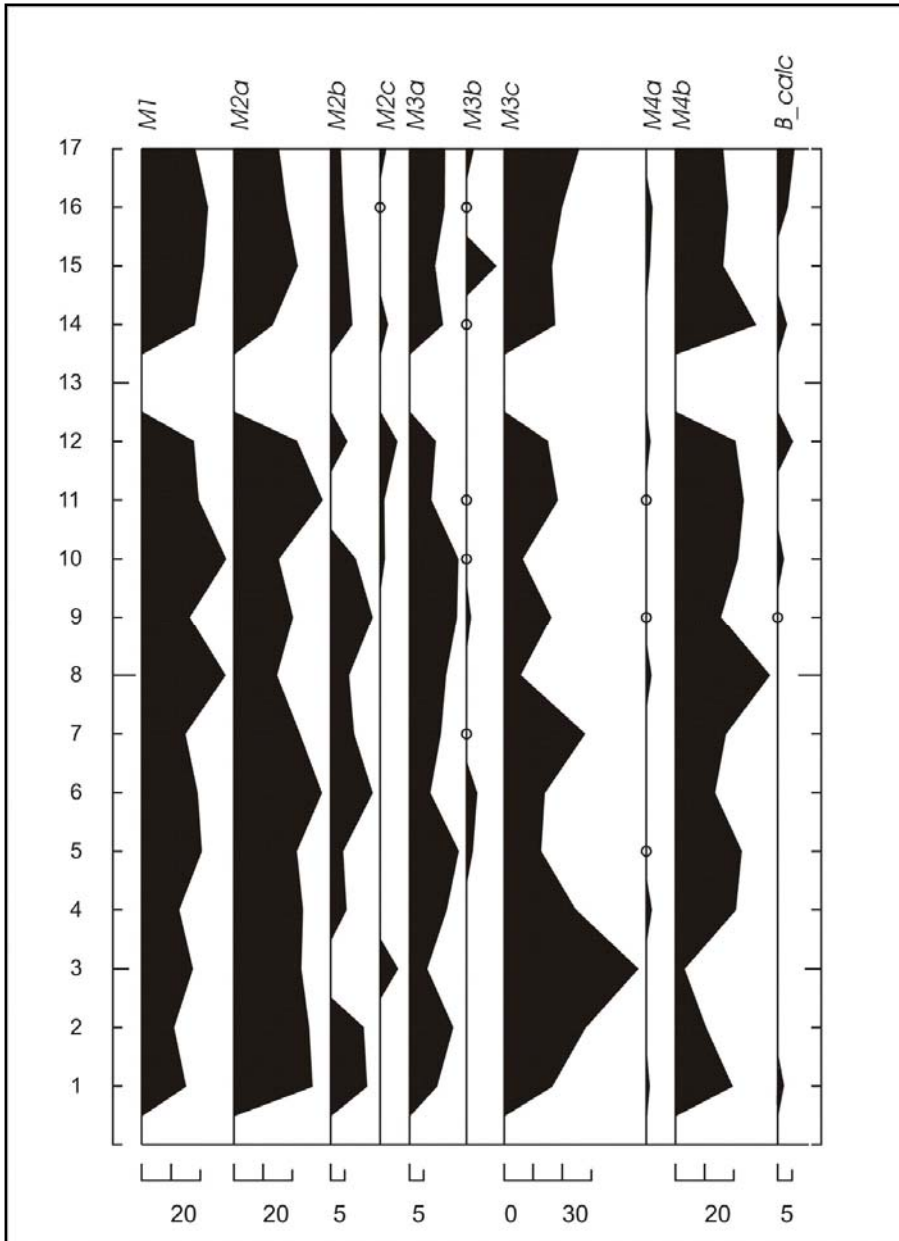


Figura 30. Distribuția morfogrupurilor de foraminifere aglutinante pe Valea Suha

Diversitate

În figura 31 se pot observa variații ale diversității de-a lungul secțiunii de la Valea Suha: valori ridicate se înregistrează la nivelul probelor 2, 9, 15 și 17, valori scăzute în probele 3, 8, 14 și 16, pe când în probele 4, 5, 6, 7, 11, 12 sunt valori de tranziție. Valorile ridicate ale indicilor Fisher α , Shannon-Weaver, Simpson și ale Echitabilității sugerează condiții de viață bune, cu un flux ridicat de nutrienți și nivel bun de oxigenare, sugerate și de participarea majorității morfogrupurilor pe aceste intervale. La partea opusă, valorile scăzute ale celor patru indici sunt datorate unor condiții vitrege, în care au reușit să supraviețuiască doar formele oportuniste. La Valea Sucevei 2 situația poate fi interpretată similar (tabel 3).

Dominanța foraminiferelor aglutinante și prezența sporadică a formelor bentonice calcaroase în compoziția asociațiilor de pe Valea Suha sugerează medii marine adânci cu mici fluctuații ale CCD (asociațiile dominate aglutinante sunt caracteristice adâncimilor plasate sub CCD, iar cele cu forme bentonice calcaroase pentru adâncimi imediat deasupra CCD). Aceste asociații sunt foarte similare cu cele descrise în Carpații Poloniei de către Waśkowska-Oliwa (2005) și Cieszkowski & Waśkowska-Oliwa (2002) și în Trinidad de către Kaminski et al. (1988). Contextul depozițional era batial, așa cum este sugerat de prezența speciilor *Lituotuba lituiformis* și *Ammolagena clavata*, care sunt considerate indicatori paleobatimetrci foarte importanți (Kaminski & Gradstein, 2005). În ambele secțiuni prezența în număr mare a formelor tubulare și a aglutinării grosiere (asociații de tip “fliș” - Kaminski & Gradstein, 2005) sugerează o rată de sedimentare relativ ridicată și variații în aportul de materie organică (Kaminski & Gradstein, 2005).

Probe	Fisher α	Shannon Weaver	Echitabilitate	Simpson
1	9.90	3.08	0.86	0.92
2	10.42	2.92	0.82	0.89
3	6.62	2.37	0.79	0.86
4	4.73	3.31	0.93	0.88

Tabel 3. Valorile diversității la Valea Sucevei 2.

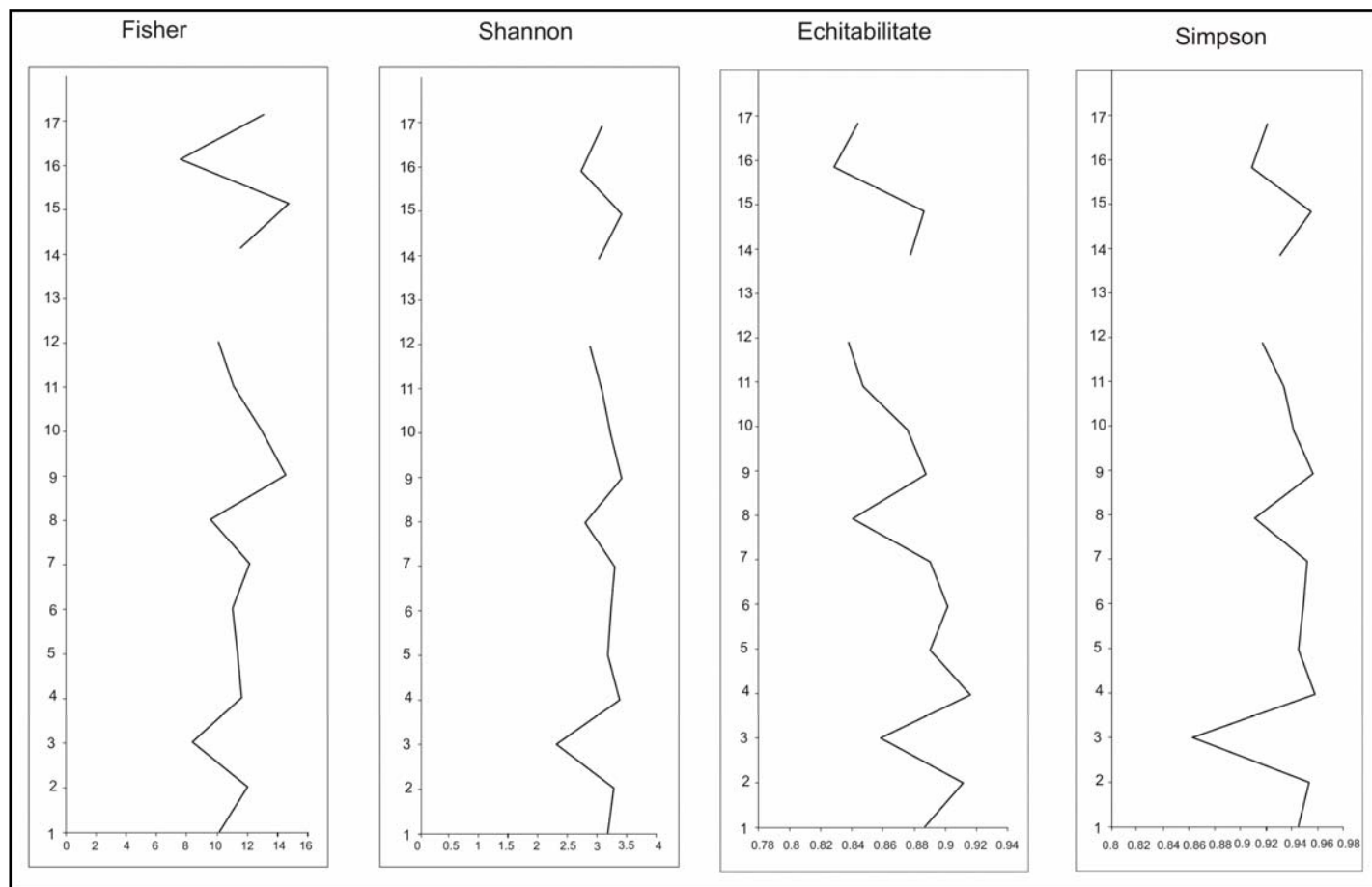


Figura 31. Valorile indicilor de diversitate în secțiunea de pe Valea Suha

4.1.5. Palma

Aflorimentul studiat este situat pe marginea drumului național 17A (figura 32), în apropierea Monumentului Drumarilor ("Palma") dintre localitățile Ciumârna și Sucevița (N: 47° 45' 0.18"; E: 25° 38' 21.15" - figura 7). Suceșiunea sedimentară aparține Formațiunii de Izvor (Putna) și este alcătuită din alternanțe de argile și gresii cu grosimi decimetrice, foarte tectonizate.



Figura 32. Depozitele de la Palma

Chiar dacă starea aflorimentului a justificat prelevarea unei singure probe, aceasta s-a dovedit a fi diagnostică pentru vârstă și condițiile de paleomediul.

4.1.5.a. Componenta asociațiilor de foraminifere

Asociațiile de foraminifere sunt specifice mediilor marine adânci, fiind alcătuite în exclusivitate din forme aglutinante (*Nothia excelsa*, *Rhabdammina* sp., *Placentammina placenta*, *Paratrochamminoides* sp., *Karerrulina conversa* - anexa 3.4), care au fost atribuite la peste 30 specii. S-a observat o abundență ridicată a formelor tubulare (38% din totalul de specii identificate), reprezentate prin specii de *Nothia*, *Bathysiphon*, *Rhabdammina* și *Rhizammina*.

4.1.5.b. Biostratigrafie

Încadrarea depozitelor studiate în Paleocen s-a făcut pe baza prezenței speciei *Rzehakina fissistomata*.

4.1.5.c. Paleoecologie

Analiza morfogrupurilor de foraminifere aglutinante și diversitate

Așa cum am menționat anterior, ponderea cea mai mare în asociațiile de foraminifere revine formelor tubulare aparținătoare morfogrupului M1 (figura 33). Subordonat sunt reprezentate și morfotipurile M4b (*Karrerulina* spp., *Reophax* spp.), M2a (*Placentamina* spp., *Saccamina* spp., *Psammosphaera* spp.), M3c (*Paratrochamminoides* spp.), M2b (*Recurvoides* spp.) și M3a (*Glomospira* spp.), iar morfotipurile M2c și M3b sunt absente. Numărul mare de forme tubulare sugerează proveniența din medii marine adânci, cu un flux scăzut de materie organică, similar asociațiilor de pe Valea Putnei, cu care ar putea fi corelate.

Valorile indicilor de diversitate (figura 33) sunt, de asemenea, apropiate cu cele din Paleocenul superior de pe Valea Putnei (probele 47-49), ceea ce sugerează condiții de viață puțin favorabile, cu flux scăzut de materie organică.

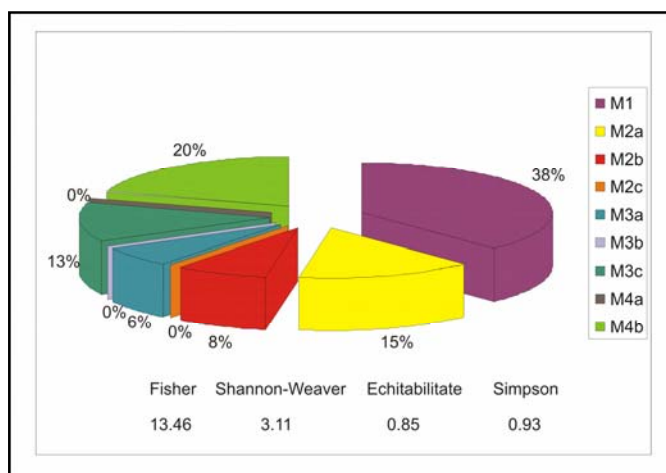


Figura 33. Distribuția morfogrupurilor de foraminifere aglutinante și valorile indicilor de diversitate din aflorimentul de la Palma

Prezența în exclusivitate a formelor aglutinante sugerează proveniența asociației din zona batială, sub adâncimea de compensare a carbonatului de calciu. Dominanța formelor tubulare dar și prezența formelor grosier aglutinante (*Rhabdammina*, *Saccamina*, *Reophax*) sunt caracteristice asociațiilor de tip “fliș”.

4.1.6. Straja Vest și Valea Brodinei 1

Prezentarea în grup a celor două locații s-a făcut datorită similitudinii de facies și vârstă.

La Straja Vest a fost probată Formațiunea de Straja, localizată pe cursul superior al pâ râului Străjii, în apropierea localității cu același nume (N: 47°54'50.00", E: 25°29'43.87" - figura 7). Succesiunea constă din alternanțe de argile argile vârgate (verzi și roșii) cu intercalații de gresii glauconitice centimetrice (figura 34); în partea superioară a aflorimentului apar bancuri masive de gresii.

Deschiderea de la Valea Brodinei 1 (figura 7), este situată pe malul drept al pâ râului Brodina (N: 47° 51' 35.35", E: 25° 25' 57.03"), în Formațiunea de Straja, și păstrează o succesiune sedimentară similară cu cea de la Straja (figura 35).



Figura 34. Argile vârgate din zona Straja Vest

4.1.6.a. Componenta asociațiilor de foraminifere

În ambele secțiuni diversitatea foraminiferelor este foarte scăzută. Gradul de păstrare este moderat până la bun la Straja Vest și precar la Valea Brodinei 1.

De asemenea, la Valea Brodinei, formele tubulare sunt foarte fragmentate în probele 1-4. Pentru o interpretare cât mai exactă a rezultatelor statistice, s-a comparat numărul de fragmente cu lungimea unui exemplar obișnuit și astfel rezultatele numărării au fost ajustate cu coeficienți de corecție. Proba 1 conține doar 21 de indivizi tubulari și fragmente de spiculi de echinide, drept urmare, pentru această probă nu au fost calculați indicii de diversitate.



Figura 35. Depozitele Formațiunii de Straja în zona Valea Brodinei 1

Taxonii identificați în cele două secțiuni sunt prezentați în anexa 3.5. În ambele secțiuni asociațiile de foraminifere sunt alcătuite în exclusivitate din forme aglutinante, cu speciile *Glomospira charoides*, *G. gordialis*, *G. diffundens*, alături de care participă în proporții mai scăzute *Recurvoides* sp., *Paratrochamminoides* sp., *Trochamminoides* sp. etc. Pe această bază, pentru ambele secțiuni, am separat “asociația cu *Glomospira*”, care este caracteristică Eocenului inferior din Tethys și Atlanticul de Nord (Morgiel & Olszewska, 1981; Kuhnt & Collins, 1996;

Egger et al., 2003, 2005; Bak, 2004; Galeotti et al., 2004; Alegret et al., 2009, 2010; Giusberti et al., 2009; Bindu & Filipescu, 2011; Arreguin-Rodríguez et al., 2013). Această asociație este considerată ca o dovadă a creșterii adâncimii de compensare a carbonatului de calciu. Identificarea de asociații similare pe Valea Putnei, Straja Vest și Valea Brodinei 1 permite corelarea faciesurilor respective.

4.1.6.b. Biostratigrafie

Formațiunea de Straja de la Straja Vest și Valea Brodinei 1 a fost atribuită Eocenului inferior (Ypresian) pe baza abundenței ridicate a speciilor de *Glomospira*. “Zona cu *Glomospira*” a fost identificată și pe Valea Putnei (subcapitolul 4.1.3.), ceea ce permite corelarea faciesurilor din cele trei secțiuni.

4.1.6.c. Paleoecologie

Analiza morfogrupurilor de foraminifere aglutinante

Similaritatea faciesurilor de la Straja Vest și Valea Brodinei 1 este confirmată și de distribuția morfogrupurilor de foraminifere aglutinante. În figurile 36, 37 se poate observa că în ambele secțiuni domină morfogrupul M3a (indivizi aplatizat streptospiral), morfogrupurile M2c și M3b și M4a sunt absente, iar morfogrupurile M2a și M4b au o pondere foarte redusă.

În asociațiile de la Straja Vest cele mai ridicate procente sunt atinse de formele aplatizat streptospirale de *Glomospira* (morfotipul M3a) urmate de morfotipurile M2b (*Recurvoides* sp.) și M3c (*Paratrochamminoides* sp., *Trochamminoides* sp.) - Bindu & Filipescu (2011a). Asociațiile de la Valea Brodinei 1 prezintă o distribuție procentuală relativ uniformă a morfotipurilor M2b, M3a, M3c și M4b (figura 37). Prezența în procente scăzute a morfogrupului M1 (indicator al unor medii cu flux scăzut de materie organică) și în procente ridicate a morfogrupurilor M2b, M3a, M3c și M4b în ambele secțiuni, indică medii marine batiale medii spre inferioare cu flux ridicat de materie organică.

Proporția ridicată a morfogrupului M3a, reprezentat aproape în exclusivitate de specii de *Glomospira*, indică pentru turbiditele acumulate în timpul Eocenului inferior o creștere în aportul terigen (Morgiel and Olszewska, 1981; Bak, 2004), o îmbogățire a productivității și un deficit de oxigen în apele de suprafață (Arreguin-Rodríguez et al., 2013).

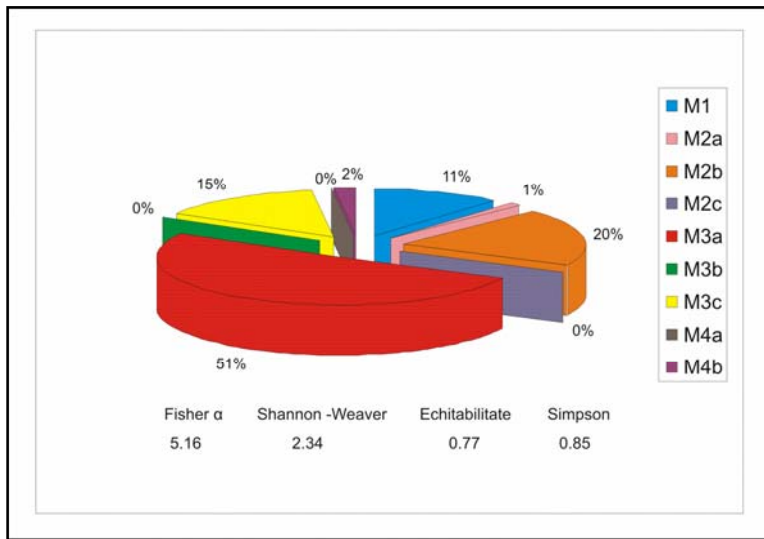


Figura 36. Morfogrupoarele de foraminifere aglutinante și indicii de diversitate în secțiunea Straja Vest

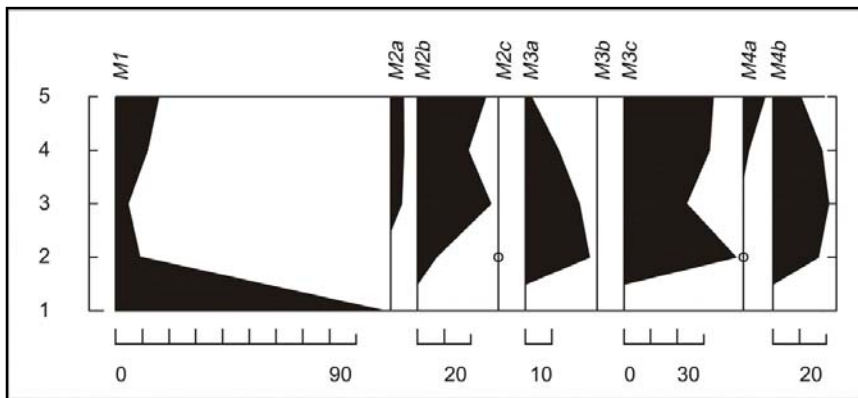


Figura 37. Distribuția morfogrupoarelor de foraminifere aglutinante în zona Valea Brodinei 1

Diversitate

Prin analiza figurilor 36 și 38 se poate observa că valorile indicilor de diversitate sunt foarte scăzute. Acestea sunt date de abundența ridicată a speciilor de *Glomospira*, care formează un grup recolonizant oportunist (Thomas 1998, 2003; Alegret et al., 2009), detritivor, dar care nu este la fel de ușor de digerat pentru alte specii de foraminifere (Kaminski et al., 1989). De aceea, abundența ridicată a speciilor de *Glomospira* nu poate fi luată în considerare pentru

calculul cantității de flux organic pe fundul mării. Totuși, faptul că în ambele secțiuni speciile de *Glomospira* au dimensiuni reduse (similare cu cele identificate în Valea Putnei) indică un aport semnificativ de materie organică pe fundul mării (Gooday, 1993), temperaturi ridicate ale apelor (Boersma et al., 1998) sau un deficit de oxigen pe substrat (Thompson et al., 1985). Dacă se adaugă și faptul că formele rotunjite streptospirale (*Recurvoides* spp.), aplatizate streptospirale (*Paratrochamminoides* spp.) și alungite subcilindrice și conice (*Karrerulina* spp., *Reophax* spp.) sunt prezente în proporție relativ ridicată în cele două locații (figura 39), putem considera că mediile de viață au fost caracterizate de o productivitate ridicată și condiții de oxigenare scăzute. Exclusivitatea formelor aglutinante în asociații și dominanța siliciclastitelor permite încadrarea mediilor de sedimentare în zona batială, sub adâncimea de compensare a carbonatului de calciu.

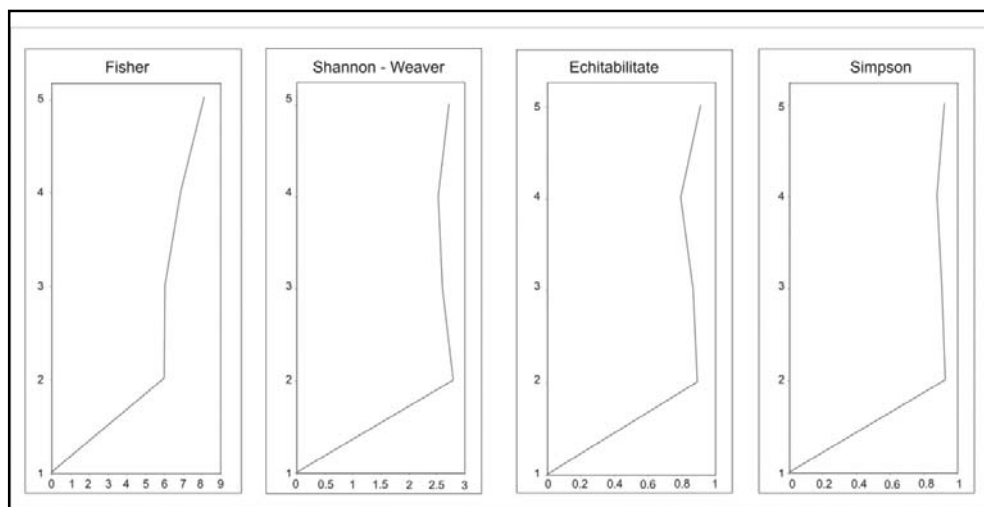


Figura 38. Valorile indicilor de diversitate pentru secțiunea Valea Brodinei 1

Din punct de vedere paleogeografic, conform lui Bădescu (2005) Formațiunea de Straja s-a acumulat în domeniul batial, adâncime mai mare față de cea la care s-au depus depozitele inferioare de vârstă paleocenă; estimările paleobatimetrice realizate de acest autor au fost realizate pe baza asociațiilor de foraminifere descrise în literatura de specialitate. Același autor semnalează o îngustare a bazinului de sedimentare și o activare a sursei externe (deplasare spre interiorul bazinului) care au determinat acumularea Formațiunii de Straja în

zona axială a bazinului de sedimentare. Asociațiile de foraminifere aglutinante pot fi încadrate în biofaciesul de tip “fliș”, cu forme tubulare, dar și specii de *Saccamina*, *Psammosphaera* și *Paratrochamminoides*, ceea ce susține prezența unor medii batiale plasate sub CCD.

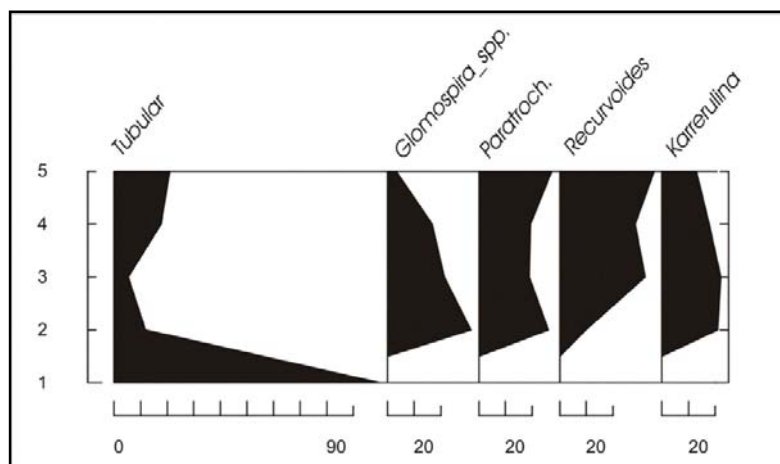


Figura 39. Distribuția principalilor grupuri generice în secțiunea Valea Brodinei 1.

4.1.7. Dobra, Rusca și Grozăvești

Formațiunile probate pe Valea Dobra, Valea Rusca și Grozăvești prezintă caracteristici similare din punct de vedere micropaleontologic și litologic, acesta fiind motivul pentru care sunt prezentate în același subcapitol. Bindiu & Filipescu (2011 a) au publicat o parte din rezultatele micropaleontologice obținute din dechiderile de la Rusca și Grozăvești.

La Dobra (figura 7), secțiunea probată este localizată pe cursul superior al pâraului Dobra, între localitățile Vama și Molid (N: 47° 34' 37.1", E: 25° 43' 06.2") și aparține Eocenului inferior din partea superioară a Formațiunii de Straja. Succesiunea sedimentară are o grosime de circa 6 m și este alcătuită din alternanțe de gresii cuarțitice de aproximativ 20-25 cm cu intercalații de argile cenușii verzui laminate, de aceeași grosime (figura 40). Au fost colectate 5 probe, localizarea acestora fiind vizibilă în figura 40.



Figura 40. Aflorimentul de pe Valea Dobra și poziționarea probelor

Aflorimentul de la Grozăvești (N: $47^{\circ} 03' 4.60''$, E: $26^{\circ} 02' 23.74''$) are o dezvoltare pe o înălțime de aproximativ 2 m și are o litologie foarte asemănătoare cu cea de pe Valea Străjii, respectiv alternanțe de gresii cuarțitice verzui cu argile vârgate (figura 41), caracteristice Formațiunii de Straja. Din această locație a fost colectată o probă.

A treia succesiune identificată este localizată în apropierea Văii Rusca (N: $47^{\circ} 45' 36.03''$, E: $25^{\circ} 39' 8.74''$ - figura 7) și este alcătuită dintr-o alternanță de gresii cuarțoase centimentrice și argile cenușii de aceeași grosime. Succesiunea este puternic tectonizată (figura 42). Din aceste depozite am colectat o probă.

În cele trei deschideri, foraminiferele prezintă un grad de păstrare moderat până la bun, abundența acestora fiind relativ ridicată; excepție face proba 1 din aflorimentul de pe Valea Dobra, care se poate considera cvasisterilă din punct de vedere micropaleontologic. Numărul de specii și grupări generice identificate în cele trei secțiuni se poate observa în anexa 3.6.



Figura 41. Aflorimentul de la Grozăvești

4.1.7.a. Componenta asociațiilor de foraminifere

Asociațiile de foraminifere din cele trei locații sunt caracterizate de o abundență ridicată a foraminiferelor aglutinante, între care domină specii de *Karrerulina*, *Recurvoides*, *Paratrochamminoides*, *Saccamina* etc. Doar pe Valea Dobra apar și foraminifere bentonice calcaroase (aproximativ 15% din asociație); sunt caracteristice speciile de *Nodosaria*, *Nuttalides* și *Eponides*.

În cele 3 locații s-a observat că speciile de *Karrerulina conversa*, *Karrerulina horrida* și *Karrerulina coniformis* sunt prezente în proporție ridicată (la Rusca ating 41% din asociație). Abundența ridicată a acestor specii a permis separarea "asociației cu *Karrerulina*". Asociații similare au fost identificate în Eocenul inferior din Carpații Poloniei (Bak, 2004), deasupra Zonei cu *Glomospira*.



Figura 42. Aflorimentul de la Rusca

4.1.7.b. Biostratigrafie

Încadrarea celor trei aflorimente ale Formațiunii de Straja la Eocen inferior s-a făcut pe baza caracteristicilor litologice similare (argile vărgate), a abundenței ridicate (procente de până la 50%) a formelor de *Karrerulina* și a prezenței în cadrul asociațiilor de foraminifere a speciei *Saccaminoides carpathicus*. În toate cele trei secțiuni, atribuirea abundenței ridicate de *Karrerulina* epocii Eocen inferior, deasupra Zonei cu *Glomospira*, s-a făcut pe baza corelării acestui eveniment cu cel identificat în depozite similare (Eocen inferioare) din Carpații Poloniei de către (Bağ, 2004). Specia *Saccaminoides carpathicus* a fost semnalată ca având prima apariție la nivelul Eocenului inferior (Geroch & Nowak, 1984; Olszewska, 1997; Waskowska, 2011).

4.1.7.c. Paleoecologie

Analiza morfogrupurilor de foraminifere aglutinante

După cum se poate observa în figurile 43 și 44, morfotipul care domină toate asociațiile de foraminifere este M4b, reprezentat aproape în exclusivitate de forme

de *Karrerulina*. Proporții ridicate sunt realizate de morfotipurile M2a (*Saccamina grzybowski*, *Psammosphaera irregularis*), M2b (*Recurvoides* sp., *R. anormis*, *R. walteri*), M3c (*Paratrochamminoides* sp., *Trochamminoides variolarius*, *T. subcoronatus*, *Trochamminoides* sp.), M1 (*Nothia* sp., *Psammosiphonella cylindrica*) și M4b (*Haplophragmoides horridus*, *H. walteri*, *H. prorrectus*); restul morfotipurilor nu sunt prezente sau au o participare nesemnificativă.

Dacă interpretarea se face strict pe baza morfogrupurilor de foraminifere aglutinante, prezența în proporție ridicată a morfogrupului M4b ar sugera medii marine cu un flux organic ridicat, în cele trei secțiuni acest morfogrup fiind alcătuit aproape în exclusivitate de forme de *Karrerulina*.

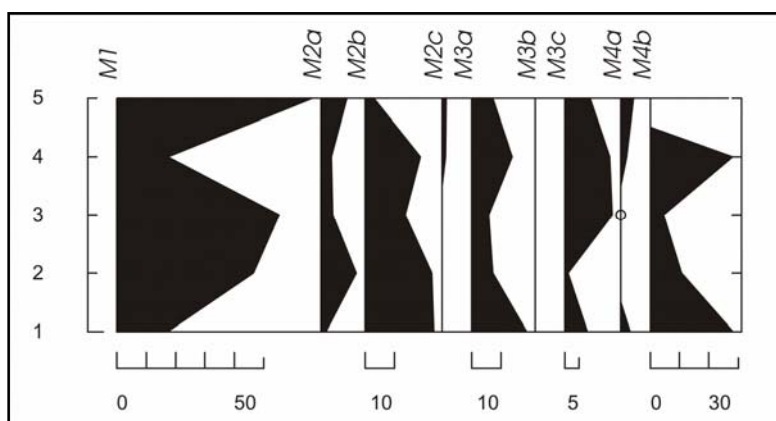


Figura 43. Distribuția morfogrupurilor de foraminifere aglutinante în secțiunea de pe Valea Dobra

Diversitate

Din figurile 44 și 45 se pot observa valorile scăzute ale indicilor de diversitate din cele trei secțiuni (Fisher α : 4.6-11; Shannon Weaver: 1-2.91; Echitabilitatea: 0.4-0.9; Simpson: 0.4-0.91), valori care nu diferă foarte mult de cele caracteristice primei părți a Eocenului inferior (Zona cu *Glomospira*). Valori scăzute ale diversității au fost semnalate și în Eocenul inferior din Carpații Poloniei, abundente în specii de *Karrerulina* (Bak, 2004). Fiind specii infaunale adânci, acestea documentează o oxigenare relativ bună în substrat. Având în vedere că valorile diversității sunt asemănătoare atât în Zona cu *Glomospira* cât și în asociațiile cu

Karrerulina, se pot presupune pentru Eocenul inferior condiții mezotrofe care au generat asociații de foraminifere puțin diversificate, cu specii de *Glomospira*, *Karrerulina* și *Recurvoides*.

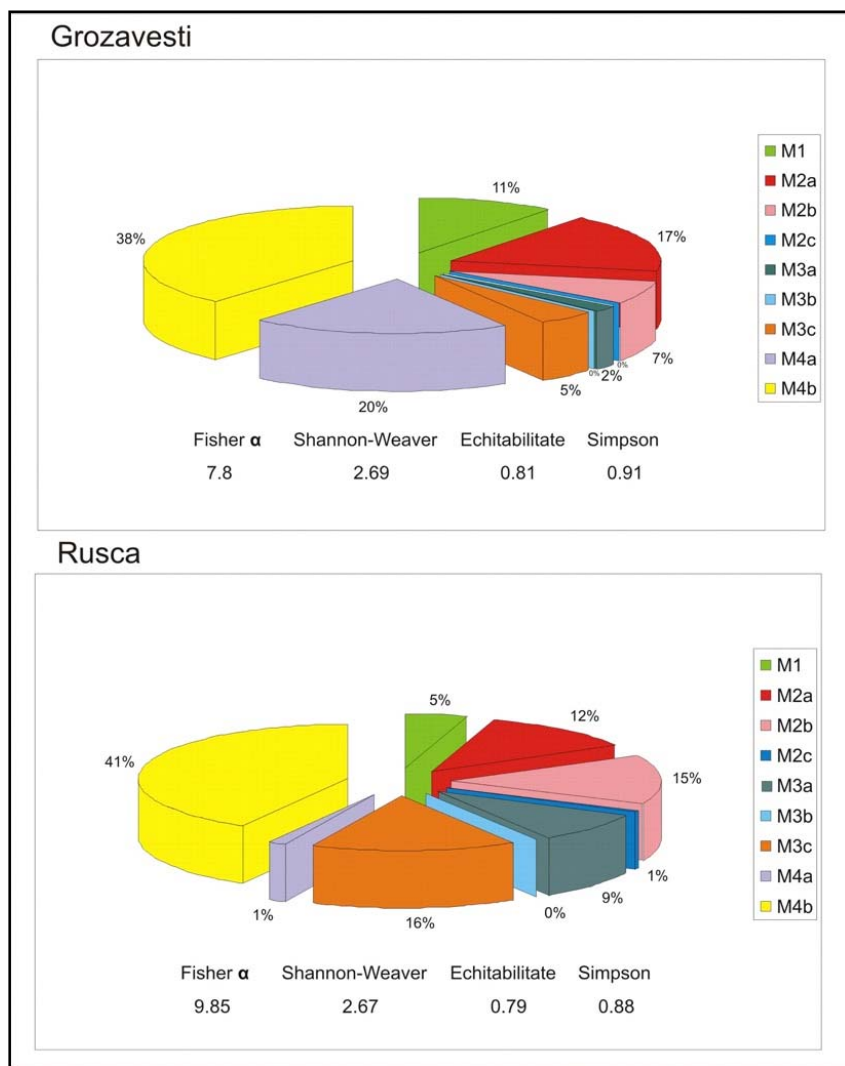


Figura 44. Morfogrupuri de foraminifere aglutinante și valorile indicilor de diversitate la Grozăvești și Rusca

Din punct de vedere al biofaciesurilor de foraminifere aglutinante, datorită prezenței formelor grosier aglutinate de *Saccamina*, *Saccamminoides*, *Rhabdammina*, *Nothia*, asociațiile sunt de tip “fliš”.

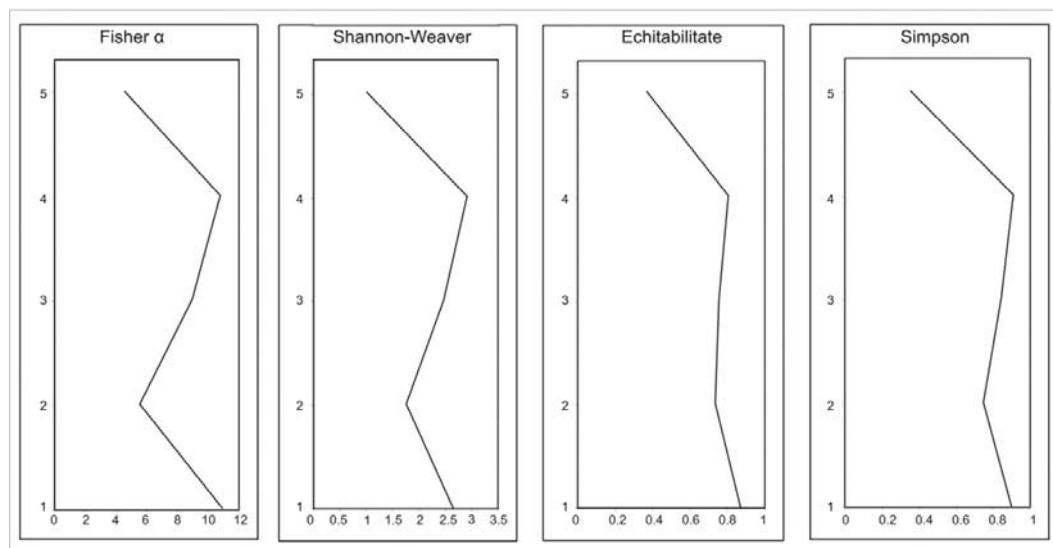


Figura 45. Valorile indicilor de diversitate la Valea Dobra.

La Grozăvești și Rusca, asociațiile sunt alcătuite în exclusivitate din forme aglutinante ceea ce plasează mediile în domeniul bathial, sub CCD; a doua probă de la Valea Dobra este caracterizată și de prezența foraminiferelor bentonice calcaroase (*Nodosaria* sp., *Nuttalides* sp., *Eponides* sp.), ceea ce sugerează probabil o ușoară oscilație a CCD în acest interval.

4.1.8. Valea Brodinei 3, Valea Brodinei 6 și Voroneț

Litologia și caracterele asociației micropaleontologice similare au permis tratarea comună a deschiderilor Valea Brodinei 3, Valea Brodinei 6 și Voroneț - figura 7.

Aflorimentul Valea Brodinei 3 este localizat la periferia localității cu același nume, pe cursul superior al pârâului Brodina (N: 47° 49' 55.20", E: 25° 24' 42.15"). Sunt deschise pe 35 m, alternanțe decimetrice de gresii și argile cenușii, care trec în jumătatea superioară în alternanțe centimetrice de gresii și argile vineții (figura 46), care aparțin Formațiunii de Scorbura Tazlău. Din această locație au fost colectate 18 probe (figura 50).



Figura 46. Aflorimentul de la Valea Brodinei 3



Figura 47. Aflorimentul de la Valea Brodinei 6

Aflorimentul Valea Brodinei 6 este situat în amonte față de Valea Brodinei 3, între localitățile Brodina de Jos și Brodina de Sus (N: 47°48'28.33", E: 25°19'58.33"). Succesiunea litologică este constituită în cea mai mare parte din bancuri de gresii cuarțitice masive de tip Scorbura, cu intercalații decimetrice la metrice de argile verzui. Pe baza datelor litostratigrafice oferite de Juravle (2007) și a observațiilor proprii din teren, consider că succesiunea are poziție stratigrafică superioară celei de la Valea Brodinei 3. Asociațiile micropaleontologice au fost examinate în 4 probe (figura 48).

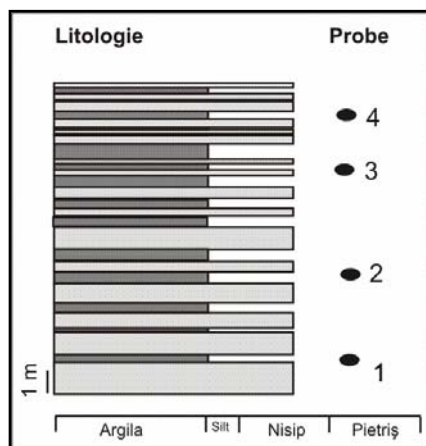


Figura 48. Poziționarea probelor la Brodina de Jos 6 (după Bindu & Filipescu, 2015)

Pe cursul superior al pârâului Voroneț (N: 47° 30' 19.60", E: 25° 52' 24.0") am identificat un pachet de gresii decimetrice cu intercalații de argile centimetrice verzui (figura 49), care conțin ichnofosile și au un grad de tectonizare ridicat . Acestea aparțin Formațiunii de Tazlău. Succesiuni similare au fost studiate de către Joja (1952, 1963), Ionesi (1961), Dicea (1974), care le separă sub denumirile de "orizont calcaros - grezos inferior" și "orizont grezos - calcaros". Poziția probelor investigate micropaleontologic se poate observa în figura 49.

O parte din rezultatele obținute în urma analizelor micropaleontologice au fost publicate în revista științifică Studia UBB Geologia, Volumul 59 (1): 45-59 de către Bindu & Filipescu.

4.1.8.a. Componenta asociațiilor de foraminifere

Asociațiile de foraminifere de la Valea Brodinei 3 conțin în număr mare foraminifere aglutinante (anexa 3.7). Formele tubulare sunt fragmentate (probele 2-4, 7, 11, 12, 14-16), motiv pentru care s-au aplicat coeficienți de corecție la numărarea specimenelor.



Figura 49. Aflorimentul de pe pârâul Voroneț

Celelalte forme sunt moderat și bine păstrate, întreaga asociație fiind în general abundentă (anexa 3.7). În asociație au fost identificate și specii bentonice calcaroase și planctonice în jur de 1%, care însă prezintă caractere specifice remanierii (deformări, diagenază).

Asociațiile de la Valea Brodinei 6 sunt alcătuite în exclusivitate din foraminifere aglutinante care sunt bine păstrate (anexa 3.7).

La Voroneț, asociațiile de foraminifere sunt foarte abundente și bine păstrate. Proba inferioară este dominată de foraminifere aglutinante, iar în proba superioară apar foraminifere planctonice (3%) și bentonice calcaroase (3).

Spre deosebire de locațiile prezentate anterior, la Valea Brodinei 3 și 6 și Voroneț s-a observat prima apariție a unor specii caracteristice Eocenului mediu.

Astfel, alături de *Nothia excelsa*, *Rhabdammina* sp., *Psammosiphonella cylindrica*, *Saccamina* sp., *Trochamminoides subcoronatus*, *T. variolarius*, *Haplophragmoides horridus*, *Reophax duplex*, *R. globosus*, care au o distribuție stratigrafică largă, se remarcă apariția speciilor *Reticulophragmium amplexans*, *Ammodiscus latus*, *Reophanus berggreni*, *Eratidus gerochii*, *Haplophragmoides parvulus*, a căror primă apariție este în Eocenul mediu (Kaminski & Gradstein, 2005). Totodată, s-a observat o abundență ridicată a speciei *Reophax pilulifer*, care este caracteristic Eocenului mediu (Morgiel & Olszewska, 1981).

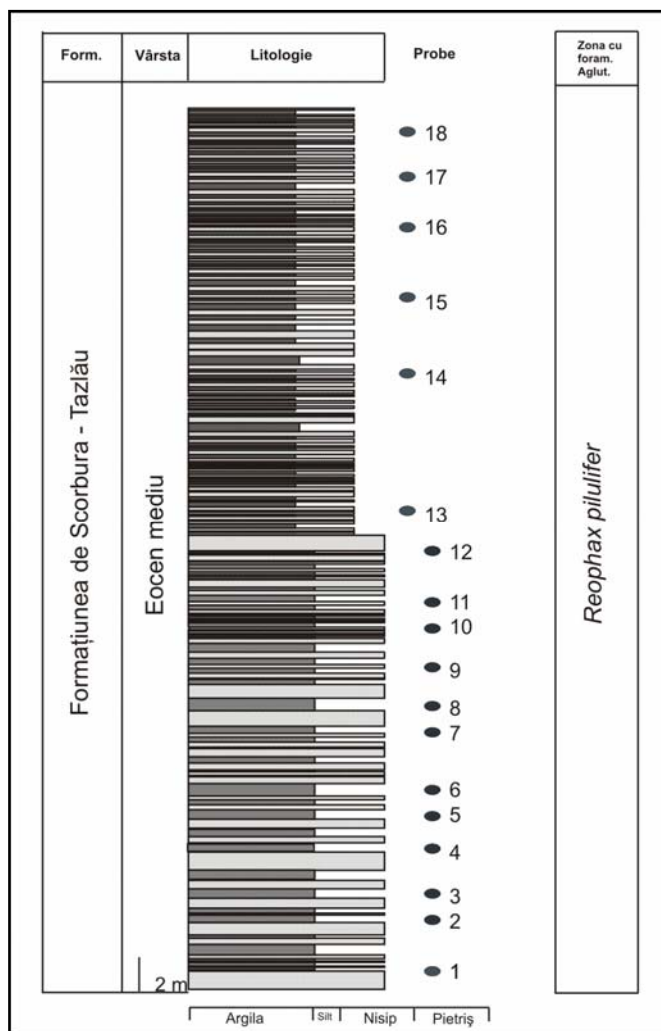


Figura 50. Profil litologic cu poziționarea probelor la Valea Brodinei 3 (după Bindu & Filipescu, 2015)

4.1.8.b. Biostratigrafie

Asociațiile micropaleontologice din cele trei locații sunt atribuite părții superioare a Eocenului mediu, pe baza prezenței speciilor: *Ammodiscus latus*, *Reticulophragmium amplexans*, *Haplophragmoides parvulus*, *Spirosigmoilinella compressa* și *Psamminopelta gradseini*. Acestea sunt bine cunoscute în literatura de specialitate ca având prima apariție la nivelul Eocenului mediu (Mjatliuk, 1970; Morgiel & Olszewska, 1981; Geroch & Nowak, 1984; Kaminski et al., 1988, 1989; Olszewska, 1997; Kaminski & Gradstein, 2005). Alături de aceste specii, apare frecvent *Reophax pilulifer*, cu precădere în secțiunile de la Voroneț și Valea Brodinei 3, un bioeveniment semnalat și în Carpații Poloniei (Morgiel & Olszewska, 1981) din partea superioară a Eocenului Mediu. Din păcate, foraminiferele planctonice identificate în proba 2 de la Voroneț sunt puternic deformate și nu au putut fi determinate până la nivel de specie (*Acarinina* sp., *Globigerina* sp., *Subbotina* sp.), ceea ce nu oferă date biostratigrafice concludente.

4.1.8.c. Paleoecologie

Analiza morfogrupurilor de foraminifere aglutinante

La Valea Brodinei 3, distribuția morfogrupurilor înregistrează o schimbare majoră la nivelul probei 8 (figura 51), unde morfogrupul M1, reprezentat prin forme de *Nothia excelsa*, este exclusiv. Acest lucru sugerează o schimbare majoră în condițiile de mediu, respectiv o trecere de la condițiile cu un flux organic relativ ridicat din partea bazală a succesiunii (probele 1-7), sugerate de prezența semnificativă a morfotipurilor M2a, M2b și M3c, la un interval cu flux organic foarte scăzut, demonstrat de abundența formelor tubulare (proba 8); în partea superioară a succesiunii, revin condițiile de mediu relativ favorabile. Aceste schimbări majore în compoziția morfogrupurilor sunt probabil datorate instabilității condițiilor din mediile turbiditice.

La Valea Brodinei 6 morfotipurile M1 (*Rhabdammina* sp., *Nothia excelsa*), M2a (*Saccamina grzybowskii*, *Psammosphaera irregularis*) și M4b (*Karrerulina coniformis*, *K. horrida*, *Reophax pilulifer*) sunt prezente în proporții relativ ridicate și comparabile (figura 52), sugerând condiții de viață stabile, cu aport organic și nivel de oxigenare moderat.

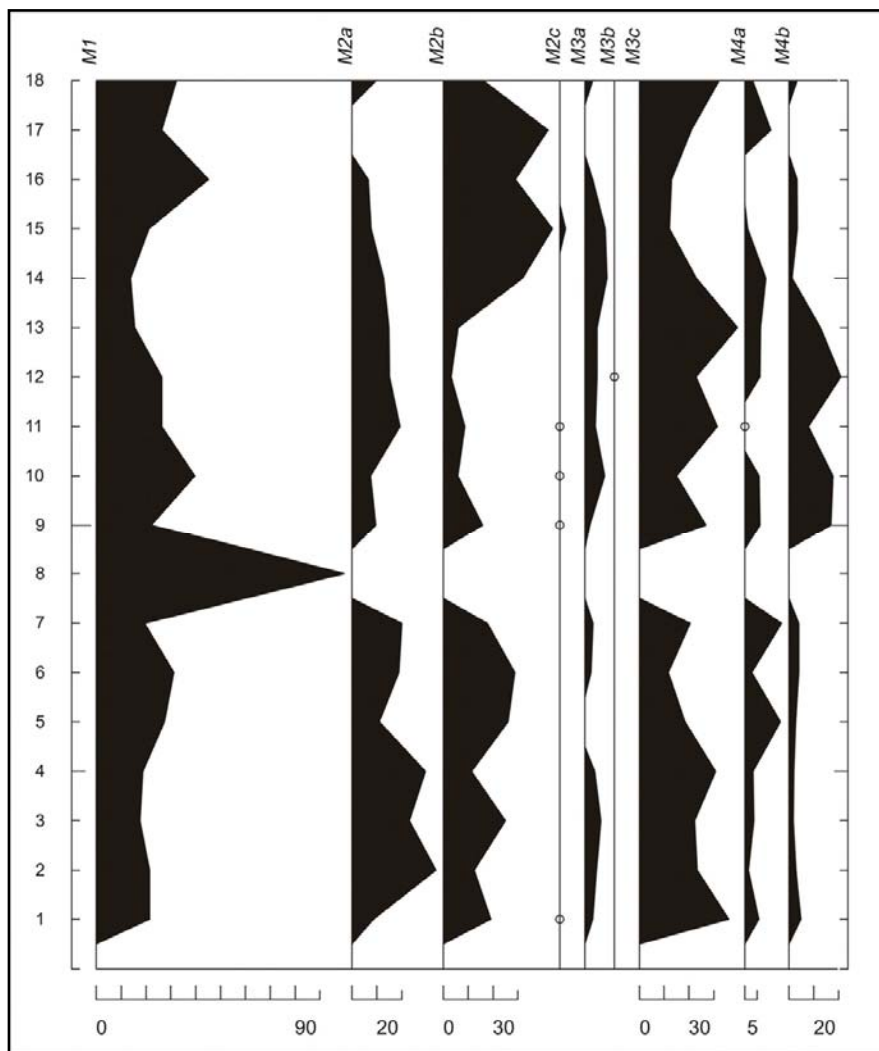


Figura 51. Distribuția morfogrupurilor de foraminifere aglutinante la Valea Brodinei 3 (după Bindu & Filipescu, 2015)

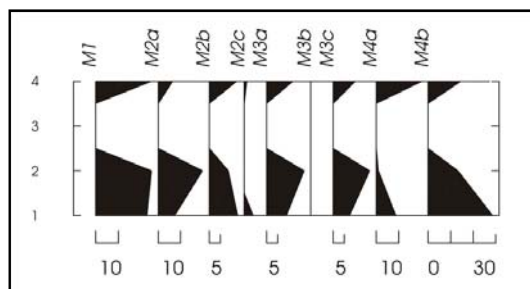


Figura 52. Morfogrupuri de foraminifere aglutinante la Valea Brodinei 6 (după Bindu & Filipescu, 2015)

Distribuția morfogrupurilor în depozitele de la Voroneț (figura 53) sugerează o schimbare minoră în condițiile de mediu, respectiv o trecere de la condiții cu un aport nutritiv moderat (proba 1- morfogrupurile M 1 și M4b) la condiții de viață mai bune, cu flux organic și nivel de oxigenare ridicate (proba 2 - domină morfotipurile M2a și M4b). Îmbunătățirea condițiilor de viață este sugerată și de diversificarea asociației prin apariția formelor planctonice și bentonice calcaroase, dar și a ichnofosilelor.

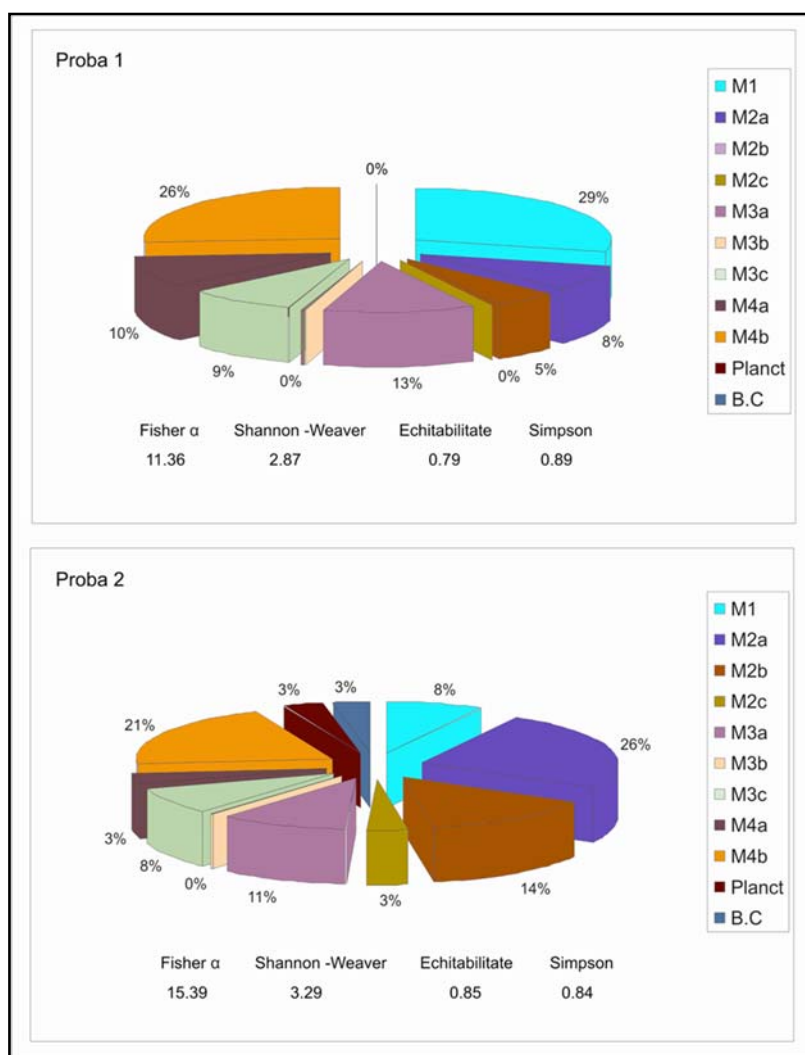


Figura 53. Morfogrupuri de foraminifere aglutinante și indici de diversitate la Voroneț

Diversitate

La Valea Brodinei 3 analiza diversității (figura 54) confirmă estimările făcute prin studiul morfogrupurilor de foraminifere aglutinante, și anume: în partea inferioară a succesiunii, unde sunt prezente formele tubulare, globulare, rotunjit și aplatizat streptospirale, valorile diversității sunt relativ ridicate, ceea ce sugerează condiții de mediu relativ stabile, cu flux organic și nivel de oxigenare moderate; la nivelul probei 8, acolo unde domină formele tubulare (M1), diversitatea este foarte scăzută, ceea ce sugerează condiții de mediu improprie; intervalul următor este caracterizat de o revenire a condițiilor de mediu stabile, urmate de o revenire a instabilității. Cauza acestor variații ale parametrilor de mediu a fost probabil instabilitatea accentuată a sistemelor turbidice.

La Valea Brodinei 6 și Voroneț, valorile diversității sunt moderate (Fisher α : 11.31 - 15.36; Shannon-Weaver: 2.87 - 3.29; Echitabilitate: 0.79 - 0.85; Simpson: 0.84 - 0.94) și sugerează condiții de mediu stabile cu aport de materie organică și nivel de oxigenare moderate.

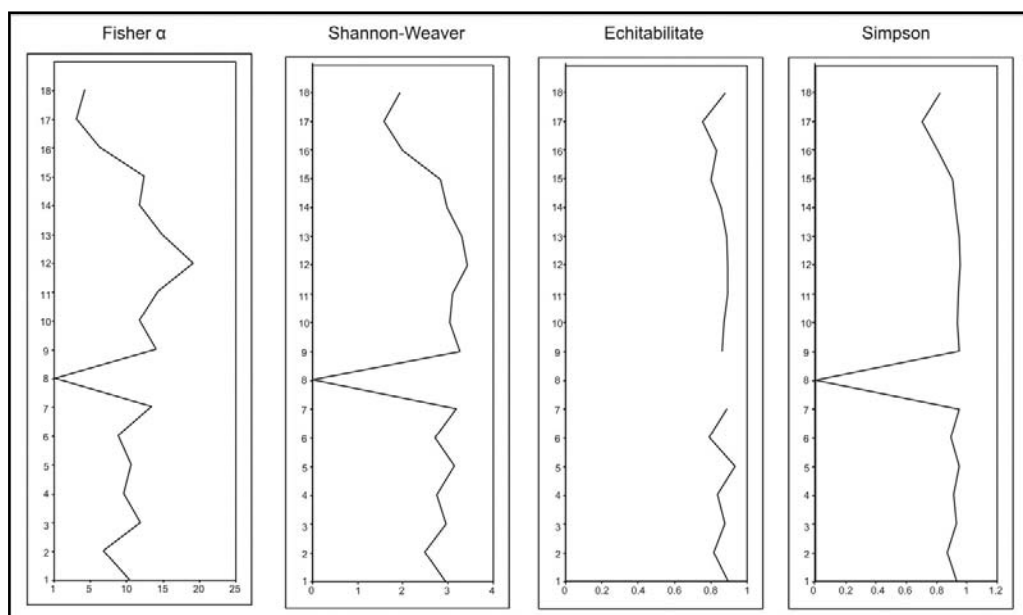


Figura 54. Valorile indicilor de diversitate la Valea Brodinei 3 (după Bindu & Filipescu, 2015)

Prezența foraminiferelor tubulare dar și a celor grosier aglutinate în toate cele trei secțiuni sunt o dovadă pentru marine adânci, batiale. În secțiunile de la Valea Brodinei 3 și 6 mediile au fost plasate sub CCD, pe când la Voroneț prezența formelor bentonice calcaroase și planctonice sugerează o ușoară oscilație a CCD între probele 1 și 2.

4.1.9. Valea Sucevei 3

Aflorimentul de la Valea Sucevei 3 este localizat pe Valea Sucevei (figura 7), în apropierea localității Brodina (la vest de confluența cu pârâul Ascuns - N: 47° 53' 4.79", E: 25° 26' 36.89") și aparține Formațiunii de Plopu (Atanasiu, 1943; Ionesi, 1971) din Eocenul Pânzei de Tarcău. Succesiunea sedimentară este alcătuită din alternanțe ritmice de argile calcaroase cenușii și verzui cu gresii cuarțitice verzui (figurile 55 și 56); în partea bazală a succesiunii au fost identificate 3 intervale cu argile și gresii vineții.



Figura 55. Depozitele Formațiunii de Plopu de pe Valea Sucevei 3

Formațiunile Pânzei de Tarcău de pe Valea Sucevei au fost studiate de Joja (1952, 1955, 1957), Joja et al. (1963, 1967, 1978), Juravle (2007), Juravle et al.

(2008), Bindu & Filipescu (2011), Bindu et al. (2013), Bindu & Filipescu (2015) și Bindu et al. (2015). Sunt puține însă informațiile de ordin biostratigrafic și paleoambientale referitoare la Formațiunea de Plopu din acest areal. Vârsta Formațiunii de Plopu a fost disputată de-a lungul timpului.



Figura 56. Alternanțe ritmice de argile calcaroase și gresii cuarțitice de pe Valea Sucevei 3

În timp ce Joja et al. (1963), Agheorghiresei et al. (1967) Săndulescu et al. (1987), Bădescu (2005) considerau că limita dintre Eocenul mediu și superior este plasată în interiorul acestei formațiuni, Ionesi (1967), Dicea (1974), Dicea & Dicea (1976, 1980), Juravle (2007), Juravle et al. (2008) au considerat că vârsta Formațiunii de Plopu este Eocen superior. Această controversă a fost motivul pentru care am realizat un studiu detaliat al acestor depozite. Pentru a obține informații cât mai clare din punct de vedere biostratigrafic, alături de analiza asociațiilor de foraminifere, au fost realizate și analize de nannofosile calcaroase. Din cele 36 de probe, a căror poziție este redată în figura 57, au fost identificați taxonii enumerați în anexa 3.8. Rezultatele obținute pe baza analizei micropaleontologice a probelor colectate în teren sunt publicate în cadrul revistei Geological Quarterly (Bindu et al., 2016).

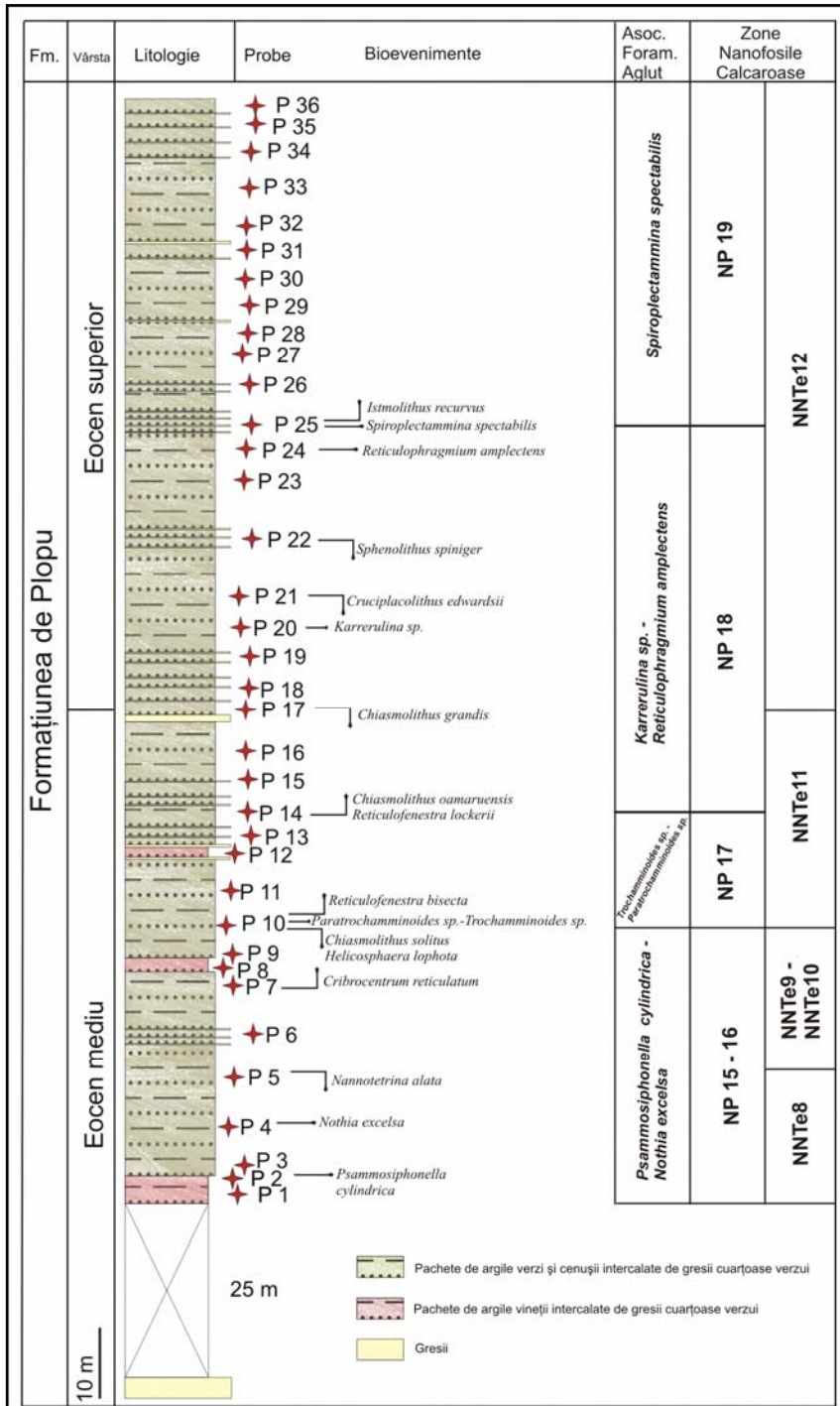


Figura 57. Profilul litologic și biostratigrafia secțiunii de pe Valea Sucevei 3 (după Bindiu et al., 2016)

4.1.9.a. Componenta asociațiilor de foraminifere

Asociațiile de foraminifere de pe Valea Sucevei sunt relativ bogate, fiind moderat până la bine păstrate. Probele 7, 15, 19, 28, 33 și 34 sunt cvasisterile din punct de vedere micropaleontologic.

Au fost separate 4 tipuri distincte de asociații, cu abundențe specifice:

- **Asociații cu *Psammosiphonella cylindrica* și *Nothia excelsa*.** Pe lângă cei doi taxoni, în asociații mai participă și specii ca: *Recurvoidella lamella*, *Recurvoides anormis*, *Reticulophragmium amplexans*, *Paratrochamminoides deflexiformis* etc.;
- **Asociații cu *Trochamminoides* spp. și *Paratrochamminoides* spp.,** alături de care apar *Nothia* sp., *Psammosiphonella discreta*, *Bathysiphon eocaenicum*, *Recurvoides walteri* etc.;
- **Asociații cu *Karrerulina* spp. și *Reticulophragmium amplexans*,** cu participarea *Haplophragmoides stomatus*, *Ammosphaeroidina pseudopauciloculata*, *Ammodiscus cretaceus* etc.;
- **Asociații cu *Spiroplectammina spectabilis*,** în care specia diagnostică atinge până la 50 % din această asociație, fiind acompaniată de *Saccamina placenta*, *S. grzybowskii*, *Psammosphaera irregularis*, *Pseudonodosinella elongata* etc.

4.1.9.b. Biostratigrafie

Biozonarea bazată pe foraminifere aglutinante utilizată pentru aceste depozite urmărește schemele biostratigrafice propuse de către Bratu (1975) pentru Carpații Orientali și de către Kaminski (1989, 2005) pentru Eocen - Oligocenul din Atlanticul de Nord și vestul Tethysului.

Pe baza distribuției stratigrafice și a abundențelor relative maxime ale principalelor specii de foraminifere (figura 58) cele 4 tipuri de asociații de foraminifere au fost corelate cu datele oferite de nannoplanctonul calcaros și atribuite intervalului Eocen mediu - Eocen superior astfel:

- **Asociații cu *Psammosiphonella cylindrica* - *Nothia excelsa*** (Eocen mediu - nannozonele NP15 - NP 16);

- **Asociații cu *Paratrochamminoides* spp. și *Trochamminoides* spp.** (Eocen mediu - nannozona NP 17), similare cu cele identificate de Kender et al. (2005) în Carpații Poloniei;
- **Asociații cu *Karrerulina* spp. - *Reticulophragmium amplexans*** (Eocen superior - nannozona NP 18);
- **Asociații cu *Spiroplectamina spectabilis*** (Eocen superior - nannozona NP 19).

Asociațiile cu *Psammosiphonella cylindrica* - *Nothia excelsa* și *Paratrochamminoides* - *Trochamminoides* sunt comune în medii marine adânci batiale (Schröder, 1986; Nagy et al., 1995). Asociațiile cu *Psammosiphonella cylindrica* - *Nothia excelsa* sugerează intervale cu flux organic scăzut iar cele cu *Paratrochamminoides* - *Trochamminoides* indică medii marine cu energie și rată de sedimentare scăzute. Această asociație este cunoscută pentru capacitatea de a realiza abundente ridicate la nivele stratigrafice diferite: Morgiel & Szytnikowska (1978) au raportat asemenea asociații în baza Eocenului inferior, Morgiel & Olszewska (1981) în Paleocenul Carpaților Poloniei și Kaminski et al. (1996) în depozite cretacice superioare din Riftul Numidian.

În secțiunea investigată au fost identificați doi taxoni importanți din punct de vedere biostratigrafic și anume *Reticulophragmium amplexans* și *Spiroplectamina spectabilis*. *R. amplexans* este unul din markerii importanți pentru Eocen (Morgiel & Olszewska, 1981). Abundențele foarte ridicate ale acestei specii definesc Zona cu *R. amplexans*, caracteristică Eocenului mediu (Joja et al., 1963; Agheorghirescu et al., 1967; Bratu, 1975; Georch & Nowak, 1984; Săndulescu et al., 1987). În Marea Nordului și șelful Peninsulei Labrador, această zonă este extinsă până în Eocenul superior (Gradstein et al., 1994).

Această specie a fost observată în toate probele de la Valea Sucevei 3, valorile cele mai ridicate înregistrându-se la nivelul probei 24 (11%), comparabil cu specia *Trochamminoides variolarius*. Deoarece abundența speciei nu este foarte mare pentru depozitele investigate, Zona cu *R. amplexans* nu poate fi clar definită, însă prezența speciei ajută la încadrarea depozitelor în intervalul eocen mediu - superior.

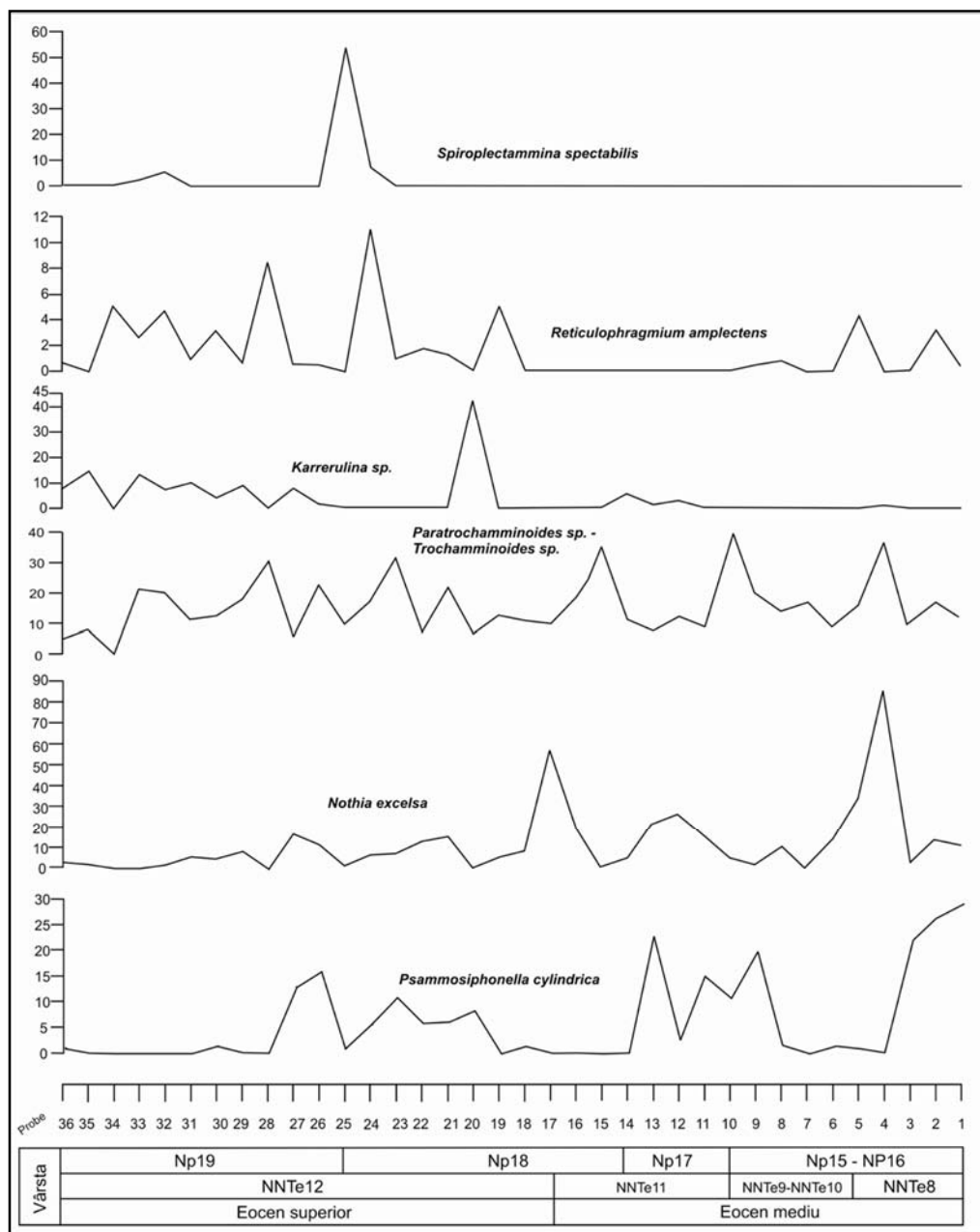


Figura 58. Abundențele relative ale principalilor taxoni din succesiunea de la Valea Sucevei 3 (după Bindiu et al., 2016)

În apropierea intervalului în care *R. amplexans* realizează abundențe mai mari, se poate observa o abundență ridicată a formelor de *Karrerulina*, cunoscută a realiza abundențe ridicate în Eocenul inferior (Gradstein et al., 1994; Kaminski et al., 1996; Bak, 2004; Bindu & Filipescu, 2011) și Eocenul mediu (Kaminski, 2005). În probele investigate, am observat abundența ridicată a acestei specii în partea inferioară a Eocenului superior, împreună cu abundențe ridicate ale *R. amplexans*.

Prin analiza figurii 58 se poate observa că în Eocenul superior (baza nannozonei NP19 - proba 25) taxonul *Spiroplectammina spectabilis* realizează 52% din asociație, permițând astfel separarea Zonei cu *S. spectabilis* pentru acest interval. Acest taxon realizează abundențe ridicate în diferite perioade: exact deasupra limitei K/Pg la Gubbio (Italia) și în Atlanticul ecuatorial (Kuhnt & Kaminski, 1996, Kuhnt et al., 1998), în Paleocenul din partea centrală a Mării Nordului și a șelfului Peninsulei Labrador (Gradstein et al., 1994). A fost identificată în Eocenul superior din Carpații Orientali (Bratu, 1975), Atlantic și vestul Tethysului (Kaminski 2005; Kaminski et al., 1989).

Nivelele din partea bazală a succesiunii sunt caracterizate de asociații de foraminifere care conțin taxoni planctonici (*Morozovelloides lehneri*, *Igorina broedermanni*, *Subbotina linaperta*) care în probele 3 și 4 realizează până la 35%. Aceste asociații cu foraminifere planctonice sunt puțin diversificate și conțin puține specimene, însă permit încadrarea în Eocenul mediu.

Pentru a obține date biostratigrafice de încredere, pentru depozitele de pe Valea Sucevei 3, am apelat și la analize de nannofosile calcaroase. Astfel, au fost observate de-a lungul secțiunii o serie de bioevenimente (figura 57): LO (ultima apariție) a speciei *Nannotetrina alata* în proba 5, FO (prima apariție) a speciei *Cribozentrum reticulatum* în proba 7, LO a speciei *Chiasmolithus solitus* în proba 10, LO a speciei *Helicosphaera lophota* în proba 10, FO a speciei *Reticulofenestra bisecta* în proba 10, FO a speciei *Chiasmolithus oamaruensis* în proba 14, FO a speciei *Reticulofenestra lockerii* în proba 14, LO a speciei *Chiasmolithus grandis* în proba 17, LO a speciei *Cruciplacolithus edwardsii* în proba 21, LO a speciei *Sphenolithus spiniger* în proba 22 și FO a speciei *Istmolithus recurvus* în proba 25. Aceste bioevenimente permit încadrarea acestor depozite în biozonele NP15 -

NP19 (Martini, 1971) care corespund cu biozonele NNTe8 - NNTe12 (Varol, 1998).

Datele biostratigrafice obținute pe baza foraminiferelor și a nanofosilelor calcaroase vin să demonstreze cu argumente biostratigrafice clare ideea susținută de Joja et al. (1963), Agheorghiresei et al. (1967) Săndulescu et al. (1987), Bădescu (2005), care afirmă că limita dintre Eocenul mediu și cel superior este plasată în interiorul Formațiunii de Plopu.

4.1.9.c. Paleoecologie

Analiza morfogrupurilor de foraminifere aglutinante

Cu excepția morfotipului M3b (forme aplatizate neregulate de *Ammolagena*), în succesiunea sedimentară investigată sunt prezente toate morfogrupurile (figura 59) descrise de Van der Akker et al. (2000), Nagy et al. (1995), Kaminski & Gradstein (2005), Cetean et al. (2011), Murray et al. (2011) și Setoyama et al. (2011, 2013). Distribuția acestora relevă câteva evenimente de-a lungul secțiunii: o abundență foarte ridicată a formelor tubulare (M1) în proba 4, o corelare negativă în probele 7, 8, și 34 a morfotipurilor M2b și M4b cu morfogrupul M1 și abundențe foarte ridicate ale morfotipurilor M4b (*Karrerulina* sp.) și M2c (*Spiroplectammina spectabilis*) în probele 20, respectiv 25. Această distribuție sugerează o instabilitate a condițiilor de mediu, firească pentru mediile turbiditice.

Abundența relativ ridicată a morfogrupului M1 în partea bazală a succesiunii sugerează condiții de mediu cu flux scăzut de materie organică și nivel de oxigenare moderat pentru Eocenul mediu. În apropierea limitei Eocen mediu/superior se remarcă o abundență ridicată a morfogrupului M1 (probele 17 - 19) urmată de o abundență ridicată a morfogrupului M4b (*Karrerulina*), care sugerează o trecere de la condiții de mediu cu flux organic scăzut la condiții cu flux ridicat de materie organică.

Eocenul superior este caracterizat în ansamblu de o creștere a ponderii morfotipurilor M2a, M2b, M2c, M3c și M4b, ceea ce sugerează o creștere a aportului nutritiv și terigen.

Dacă în situația de la Dobra, Rusca și Grozăvești abundența ridicată de *Karrerulina* era specifică părții superioare a Eocenului inferior, la Valea Sucevei 3

aceasta caracterizează partea bazală a Eocenului superior (proba 20 - pondere ridicată a M4b). Abundențele particulare ale acestei specii la diferite nivele stratigrafice sunt asociate comportamentului său oportunist. Gradstein et al. (1994), Kaminski et al. (1996), Bağ (2004) și Bindu & Filipescu (2011) au semnalat abundențe ridicate ale acestei specii în partea superioară a Eocenului inferior, iar Kaminski (2005) a descris un bioeveniment similar în partea inferioară a Eocenului Mediu.

Un alt bioeveniment important apare la nivelul probei 25, acolo unde morfotipul M2c, reprezentat mai ales de specia *Spiroplectammina spectabilis*, realizează abundențe foarte ridicate. Astfel de monoasociații cu *Spiroplectammina spectabilis* au fost identificate și în Atlantic și vestul Tethysului (Kaminski et al., 1989; Kaminski 2005) și sugerează condiții de viață eutrofe, cauzate de o creștere a fluxului organic și terigen pe substrat (Kaminski & Gradstein, 2005).

Variațiile în distribuția morfogrupurilor de-a lungul secțiunii se datorează schimbărilor în aportul nutritiv și nivelul de oxigenare (Kaminski & Schröder, 1987; Kaiho, 1994).

Diversitate

Datorită faptului că nu din toate probele au putut fi recuperați minim 300 indivizi, pentru analizele de diversitate am apelat la metoda de rarefiere (metoda lui Hulbert, 1971), care calculează valorile diversității prin reducerea fiecărei probe la 100 indivizi.

Din calculul diversității am exclus probele 7, 15, 19, 28, 33 și 34, care conțin un număr prea mic de indivizi. Dacă se analizează figura 59 se pot observa următoarele: la nivelul Eocenului mediu valorile diversității înregistrează valori scăzute, cu un minim la nivelul probei 4, acolo unde dominante sunt formele de *Nothia excelsa* și *Psammosiphonella cylindrica*. Valorile scăzute, dar și prezența în număr ridicat a formelor tubulare, sugerează condiții de viață limitative, cu flux organic și nivel de oxigenare scăzute. Trecerea Eocen mediu - superior este caracterizată, de asemenea, de valori scăzute ale diversității.

La nivelul Eocenului superior valorile diversității încep să crească, sugerând astfel condiții favorabile de viață. Chiar dacă la nivelul probei 25 diversitatea este

scăzută, abundența ridicată a speciei *S. spectabilis* confirmă condițiile eutrofe pentru acest interval.

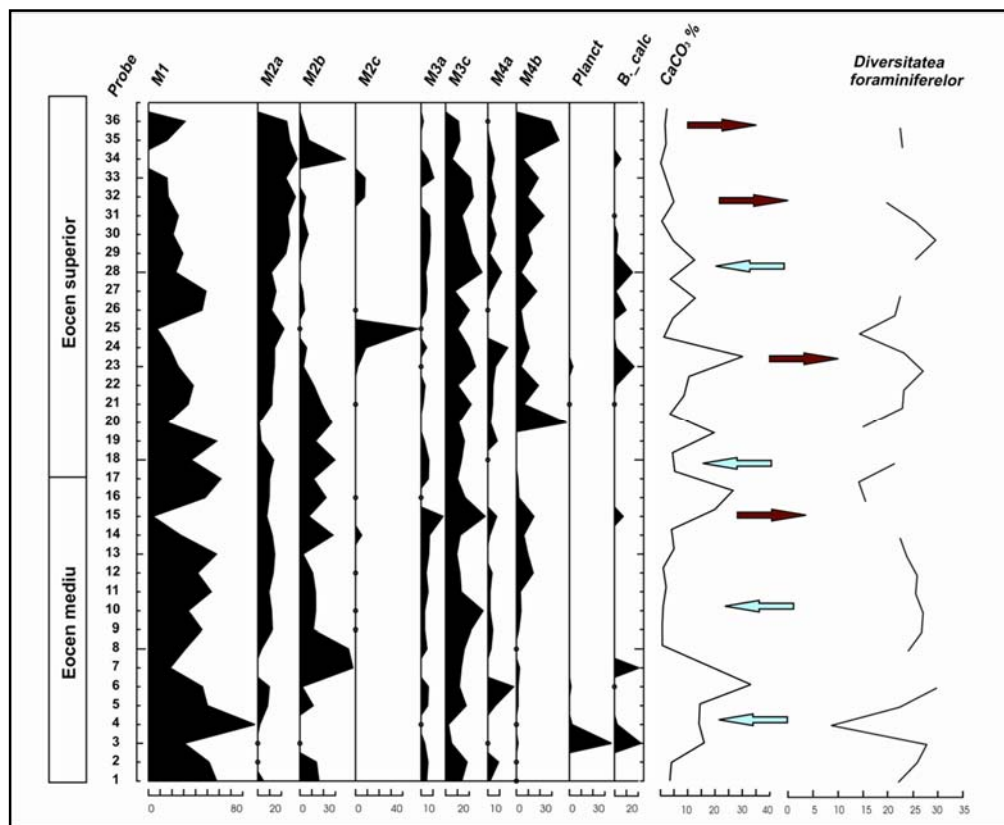


Figura 59. Distribuția morfogrupurilor de foraminifere aglutinante, foraminifere planctonice, foraminifere bentonice calcaroase, conținutul de CaCO₃ și diversitatea foraminiferelor în secțiunea de pe Valea Sucevei 3. Săgețile albastre reprezintă indicii pentru flux organic scăzut iar cele roșii indicii pentru flux organic ridicat (după Bindu et al., 2016)

Pentru probele colectate din această succesiune am realizat și analize de conținut de carbonat de calciu, valorile fiind prezentate în figura 59. Se poate observa o corelare relativ pozitivă a curbei carbonatului de calciu cu cea a diversității, respectiv intervalele caracterizate de condiții de mediu cu flux organic scăzut se corelează cu valori scăzute ale CaCO₃ în timp ce condițiile de viață favorabile sunt corelate cu valorile ridicate.

Valorile diversității și CaCO₃ pot sugera o încălzire asociată cu o creștere a nivelului marin în Eocenul mediu, urmată de o răcire în timpul Eocenului superior (Keller et al., 1987; Gedl & Garecka, 2008). Ipoteza este susținută și de proporția

ridică de *S. spectabilis* în Eocenul superior, taxon cunoscut în literatura de specialitate ca indicator al apelor reci (Kaminski & Gradstein, 2005). Informații despre paleotemperaturi sunt oferite și de nannofosilele calcaroase. În Eocenul mediu au fost identificați taxoni de ape calde și condiții de mediu oligotrofe: *Discoaster* spp., *Sphenolithus* spp cu excepția *S. moriformis*, *Helicosphaera compacta* (Bralower, 2002; Agnini et al., 2006; Bown and Pearson, 2009); aceștia prezintă o descreștere bruscă în timpul Eocenului superior sugerând astfel această răcire eocen superioară. Interpretări de paleoecologie (trecerea de la climat cald în Eocenul mediu la rece în Eocenul superior) bazate pe analiza nannofosilelor calcaroase similare pentru acest interval au mai fost făcute de către Bukry (1973), Edwards & Perch-Nielsen (1975), Perch-Nielsen (1977), Percival & Fischer (1977), Beckmann et al. (1981), Jiang & Gartner (1986), Wei & Wise (1990), Aubry (1992 a,b), Bralower (2002), Agnini et al. (2006, 2007), Bown & Pearson (2009), Cascella & Dinares (2009). În probele în care valorile CaCO_3 sunt scăzute, abundența nannofosilelor calcaroase este mică, acest lucru fiind datorat procesului de disoluție.

Asociațiile de foraminifere din secțiunea de pe Valea Sucevei 3 sunt dominate de grupul foraminiferelor aglutinante. În procente mai scăzute și cu o distribuție dispersată mai apar și foraminifere bentonice și, în partea bazală a succesiunii, foraminifere planctonice. Corelarea cu valorile CaCO_3 sugerează pentru arealul studiat medii marine batial superioare cu frecvente oscilații ale CCD. Prezența formelor tubulare (*Psammosiphonella cylindrica*, *Nothia* sp., *Bathysiphon* sp.), globulare (*Saccammina* sp., *Psammosphaera* sp.), aplatizat streptospirale (*Paratrochamminoides*, *Trochamminoides*) dar și existența taxonilor grosier aglutinanți sunt tipice pentru asociațiile de tip “fliș” (Gradstein & Berggren, 1981; Kaminski & Gradstein, 2005), în general plasate sub CCD; prezența sporadică a formelor bentonice calcaroase indică însă proximitatea CCD (Miller et al., 1982).

4.1.10. Valea Moldoviței

Succesiunea sedimentară de pe Valea Moldoviței (figura 7), la ieșirea din localitatea cu același nume (N: 47°42'13.24" , E: 25°32'22.41") este alcătuită din

ritmuri de argile calcaroase cenușii și verzui cu gresii cuarțoase verzui (figura 60), similare cu cele care apar la Valea Sucevei 3; din punct de vedere litostratigrafic aparțin Formațiunii de Plopu din Eocenul superior. Succesiunea litologică și localizarea probelor se pot observa în figura 61.



Figura 60. Depozitele investigate de pe Valea Moldoviței

4.1.10.a. Componenta asociațiilor de foraminifere

În urma analizelor micropaleontologice am observat că asociațiile de foraminifere sunt diferite de-a lungul secțiunii, respectiv probele 2, 6, 7, 8, 9, 10, 12 și 16 sunt foarte sărace (mai puțin de 100 indivizi) și sunt prost păstrate.

Celelalte probe (1, 3, 4, 5, 11, 13, 14 și 15) conțin asociații de foraminifere relativ abundente, în general bine păstrate. Pentru probele 1, 2, 4, 5, 6, 7, 9, 10 și 16, datorită fragmentării specimenelor tubulare, au fost aplicați coeficienți de corecție la numărarea specimenelor. Asociațiile sunt alcătuite în exclusivitate din forme aglutinante. Speciile identificate sunt prezentate în anexa 3.9. Participarea speciei *Spiroplectamina spectabilis* în proporție de până la 43% în asociațiile din partea superioară a succesiunii permite corelarea secțiunilor Valea Moldoviței și Valea Sucevei 3.

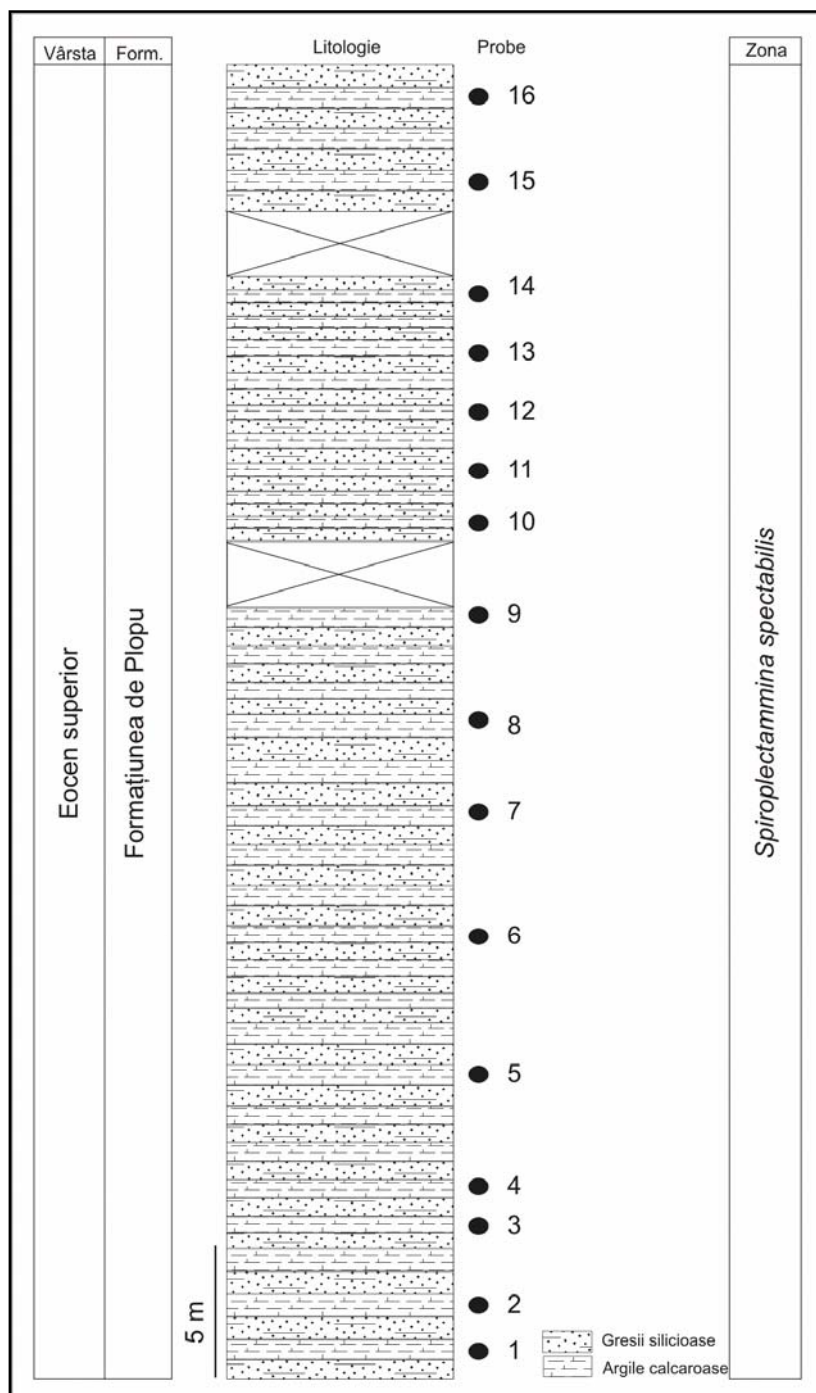


Figura 61. Succesiunea litologică de pe Valea Moldoviței

4.1.10.b. Biostratigrafie

Vârsta eocen superioară a fost atribuită secțiunii de pe Valea Moldoviței pe baza abundenței ridicate a speciei *Spiroplectamina spectabilis*.

4.1.10.c. Paleoecologie

Analiza morfogrupurilor de foraminifere aglutinante

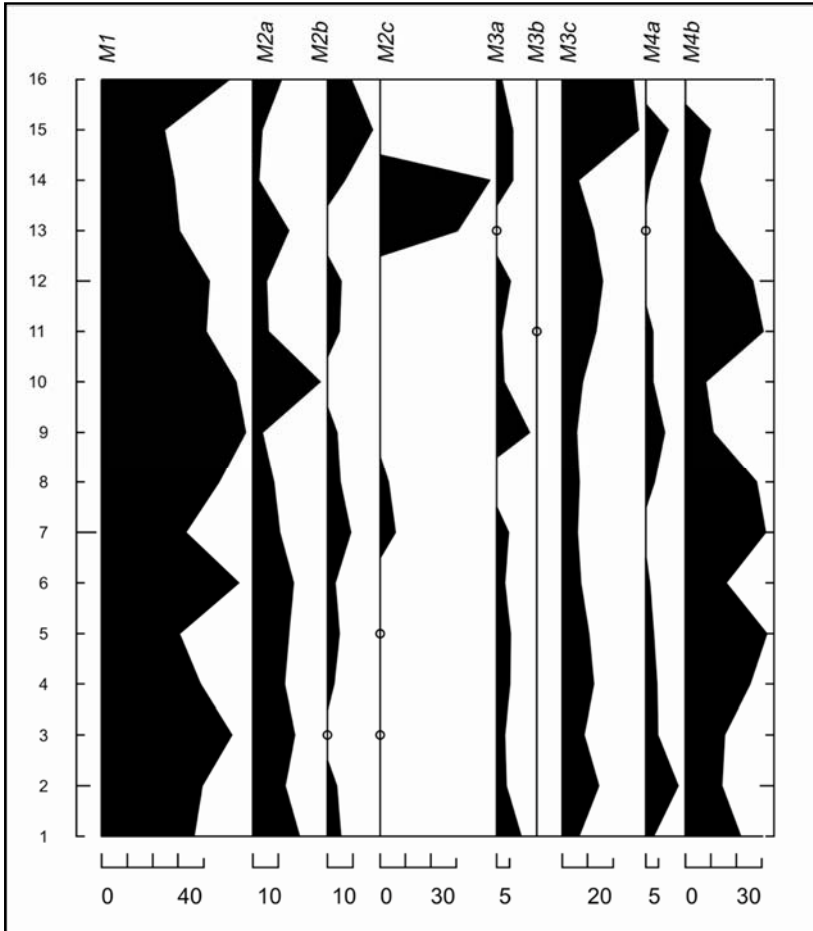


Figura 62. Distribuția morfogrupurilor de foraminifere aglutinante în succesiunea sedimentară de pe Valea Moldoviței

În urma analizei distribuției morfogrupurilor de foraminifere aglutinante s-a observat că morfotipurile M1 (*Nothia* sp., *Bathysiphon tauriensis*, *Bathysiphon* sp., *Psammosiphonella cylindrica*, *Kalamopsis grzybowskii*) și M4b (*Karrerulina*

coniformis, *K. horrida*, *Reophax pilulifer*, *R. duplex*, *R. globosus*), cu excepția intervalului cuprins între probele 13 și 14 și proba 16, domină asociațiile de foraminifere; morfotipurile M2b, M3a, M3b și M4a au o pondere foarte scăzută (figura 62). Între probele 13 și 14 se remarcă abundența morfotipului M2c, alcătuit în exclusivitate din specia *Spiroplectamina spectabilis*. Proporțiile apropiate ale morfogrupurilor M1 (condiții de viață cu flux organic scăzut) și M4b (condiții de viață cu flux organic ridicat) între probele 1-12 și în proba 15 sugerează condiții de viață mezotrofe cu flux organic și nivel de oxigenare moderate.

În partea superioară a succesiunii se poate observa că morfotipul M4b este absent, iar morfotipurile M1 și M3c (*Paratrochamminoides* sp., *Trochamminoides* sp.) sunt dominante, ceea ce indică medii de viață oligotrofe cu flux organic scăzut și nivel moderat de oxigenare (Kuhnt & Kaminski, 1989; Kuhnt et al., 2000).

Diversitate

Indicii de diversitate au fost calculați doar pentru probele în care au fost identificați mai mult de 100 indivizi. Valorile celor patru indici se pot observa în Tabelul 4.

	1	3	4	5	11	13	14	15
Fisher α	15.83	15.53	15.58	16.06	10.03	4.69	8.87	18.12
Shannon-Weaver	3.17	3.20	3.07	3.18	2.85	2.16	2.20	3.25
Echitabilitate	0.88	0.86	0.84	0.88	0.82	0.76	0.66	0.90
Simpson	0.94	0.94	0.93	0.94	0.90	0.83	0.77	0.94

Tabel 4. Valorile indicilor de diversitate pe Valea Moldoviței

Pentru probele 1, 3-5 și 15 valorile ridicate ale diversității (Fisher α , Shannon-Weaver și Simpson) sugerează condiții favorabile de viață cu un aport nutritiv ridicat și nivel de oxigenare moderat. Valorile scăzute (probele 10, 13, 14) indică opusul condițiilor favorabile. Valorile scăzute ale echitabilității sunt asociate cu intervalele unde în asociații domină un anumit taxon (ex. probele 13 și 14 dominate de *S. spectabilis*).

Similar cu partea superioară din secțiunea de pe Valea Sucevei 3, și în succesiunea sedimentară de pe Valea Moldoviței sunt prezente formele tubulare - *Rhabdammina* sp., *Nothia* sp., *Bathysiphon* sp., *Psammosiphonella cylindrica* - alături de care apar forme grosier aglutinate - *Saccammina grzybowskii*, *Psammosphaera irregularis*, *Reophax duplex*, *R. subfusiformis*. Acestea sunt asociații de tip "fliș", din medii marine bathial superioare plasate sub CCD.

4.1.11. Valea Humorului

Pe Valea Humorului (N: 47° 41' 47.5", E: 25° 44' 06.7"), deschiderile sunt limitate fiind alcătuite din alternanțe centimetrice de argile cenușii și gresii cenușiu gălbui (figura 63). Marea majoritate a asociațiilor de foraminifere au fost foarte sărace (anexa 3.10).



Figura 63. Depozitele identificate pe Valea Humorului

Asociațiile de foraminifere sunt alcătuite din specii aglutinante: *Rhabdammina* sp., *Hyperammina elongata*, *Psammosphaera irregularis*, *Paratrochamminoides* sp., *Reophax duplex*. Datorită asociațiilor sărace, nu am efectuat analize ale distribuției morfogrupurilor și calculul indicilor de diversitate. Cu toate acestea, s-a

putut remarca prezența speciilor *Reticulophragmium amplexans* și *Reophanus berggreni*, care permit încadrarea în Eocenul mediu - superior (Kaminski & Gradstein, 2005).

Asociațiile sunt și în acest caz de „tip fliș”, provenite din medii marine adânci, plasate sub CCD.

4.1.12. Valea Boului

Sucesiunea sedimentară de pe Valea Boului (figura 7) este localizată în apropierea localității Paltinu (N: 47° 37' 59.94", E: 25°33' 21.99" E) și deschide turbidite depuse în partea medie a conurilor submarine, puternic tectonizate, alcătuite din alternanțe de argile și gresii calcaroase cenușii, centimetrice până la decimetrice (figura 64), cu frecvente urme fosile și structuri sedimentare (stratificație încrucișată).



Figura 64. Aflorimentul de pe Valea Boului

Aceste depozite aparțin Formațiunii de Vinețișu, care face trecerea de la Oligocen la Miocenul mediu. Chira et al. (2011) au considerat această succesiune ca fiind miocen inferioară pe baza asociațiilor de nannofosile calcaroase (*Triquetrorhabdulus carinatus*, *Helicosphaera ampliaperta*, *H. recta* etc. - nannozonele NN1 - NN4). Din aceste depozite am colectat 5 probe (figura 65).

Asociațiile de foraminifere (anexa 3.10) sunt puțin diversificate, cu abundență moderată în probele 1, 2, 5 și foarte redusă în probele 3 și 4. Cu excepția probei 4, în toate asociațiile s-a observat o abundență ridicată de foraminifere planctonice, dar care sunt foarte deformate, ceea ce a făcut foarte dificilă determinarea specimenelor.

Datorită rarității foraminiferelor aglutinante, nu au fost efectuate analize pe morfogrupuri, singurele interpretări concludente fiind cele obținute din analiza raportului dintre foraminiferele planctonice și cele bentonice.

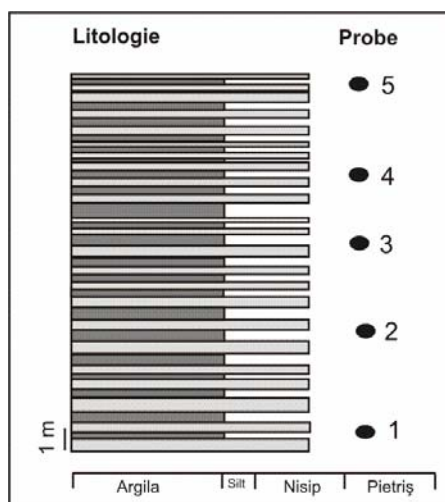


Figura 65. Profil litologic și poziționarea probelor la Valea Boului

Așa cum se poate observa în figura 66, foraminiferele planctonice domină în probele 1 și 2, iar în probele 3 și 5 participarea celor două grupuri este apropiată. Formele aglutinante, acolo unde sunt prezente, sunt *Rhabdammina* sp, *Hyperammina rugosa*, *H. dilatata*, *Ammodiscus* sp., *Saccammina grzybowskii*, taxoni caracteristici pentru turbiditele de “tip fliș”. Prezența speciilor planctonice sugerează depunerea în medii marine mai puțin adânci situate deasupra CCD.

Încadrarea la Miocenul inferior s-a făcut pe baza datelor oferite de nannoplanc-tonul calcaros (Chira et al., 2011). Foraminiferele planctonice care au putut fi identificate - *Globigerina bolli*, *G. bulloides*, *G. prasaepis*, *Globigerinoides primordius*, *G. trilobus* au o distribuție care nu permite atașarea clară a asociației la Oligocen sau Miocen.

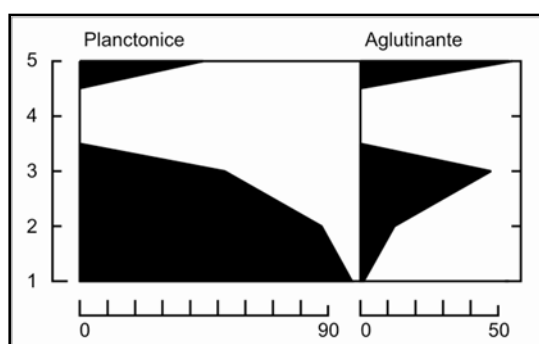


Figura 66. Proporția dintre foraminiferele planctonice și bentonice în secțiunea de pe Valea Boului

4.1.13. Locații sterile din punct de vedere micropaleontologic

Exisă, din nefericire, și locații în care nu au putut fi identificate asociații micropaleontologice. Acestea sunt: Ciumârna (5 probe), Dragoșa (5 probe), Molidu (2 probe), Argel (3 probe), Rașca (o probă), Valea Brodinei 4 (4 probe), Valea Brodinei 5 (1 probă), Valea Brodinei 7 (2 probe) - figura 7.

4.2. Corelarea secțiunilor investigate

Analiza asociațiilor de foraminifere din nordul Pânzei de Tarcău a permis separarea unor bioevenimente (prime apariții, ultime apariții, abundențe specifice) caracteristice intervalului Cretacic superior - Eocen superior. De asemenea, au fost puse în evidență unele asociații cu semnificație biostratigrafică și paleoecologică. Toate acestea au permis corelarea succesiunilor investigate.

În figura 67 se poate urmări distribuția stratigrafică și abundențele ridicate ale principalilor taxoni cu semnificație biostratigrafică (Morgiel & Olszewska, 1981; Geroch & Nowak, 1984; Olszewska, 1997; Kaminski & Gradstein, 2005).

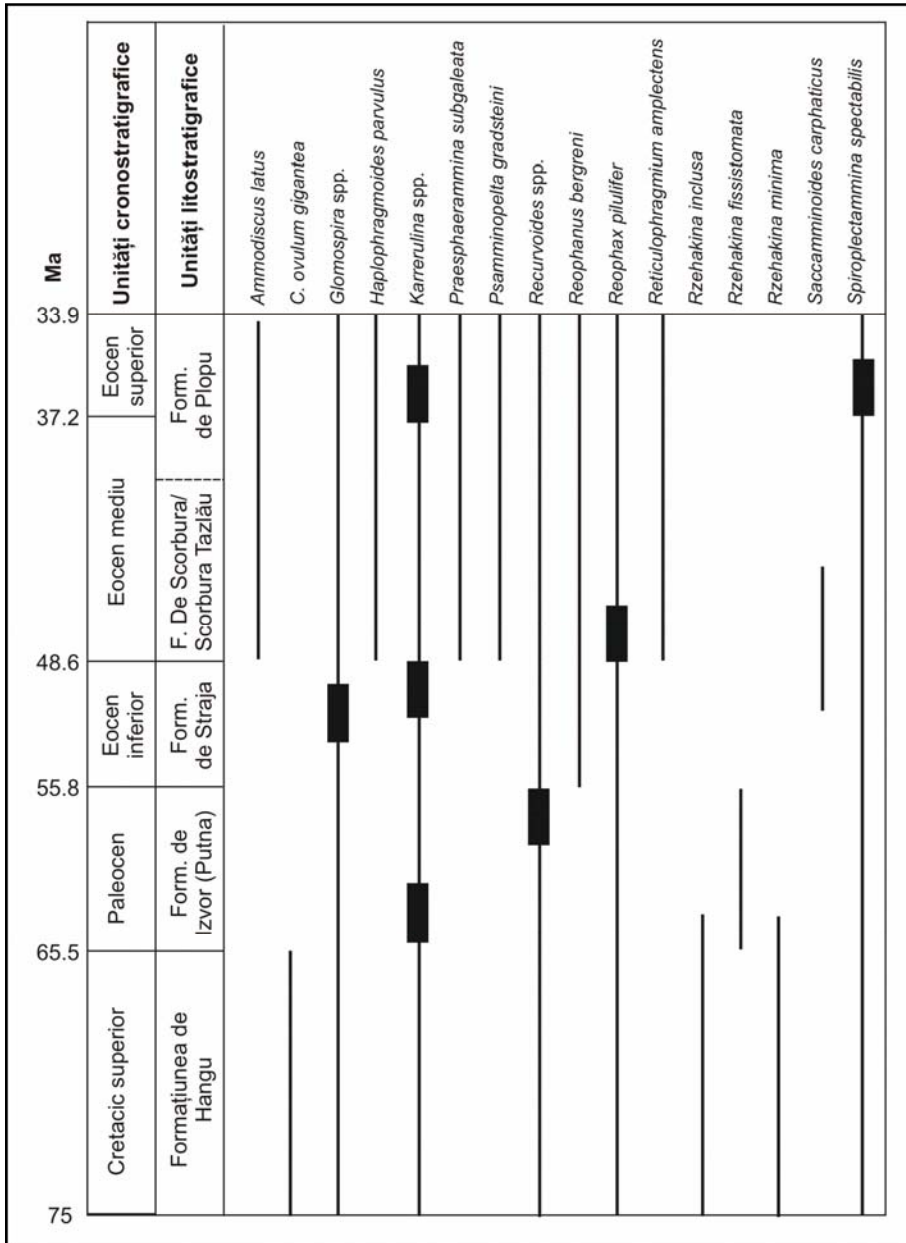


Figura 67. Distribuția stratigrafică și abundențele relative ridicate ale principalelor specii de foraminifere cu semnificație biostratigrafică identificate în nordul Pânzei de Tarcău

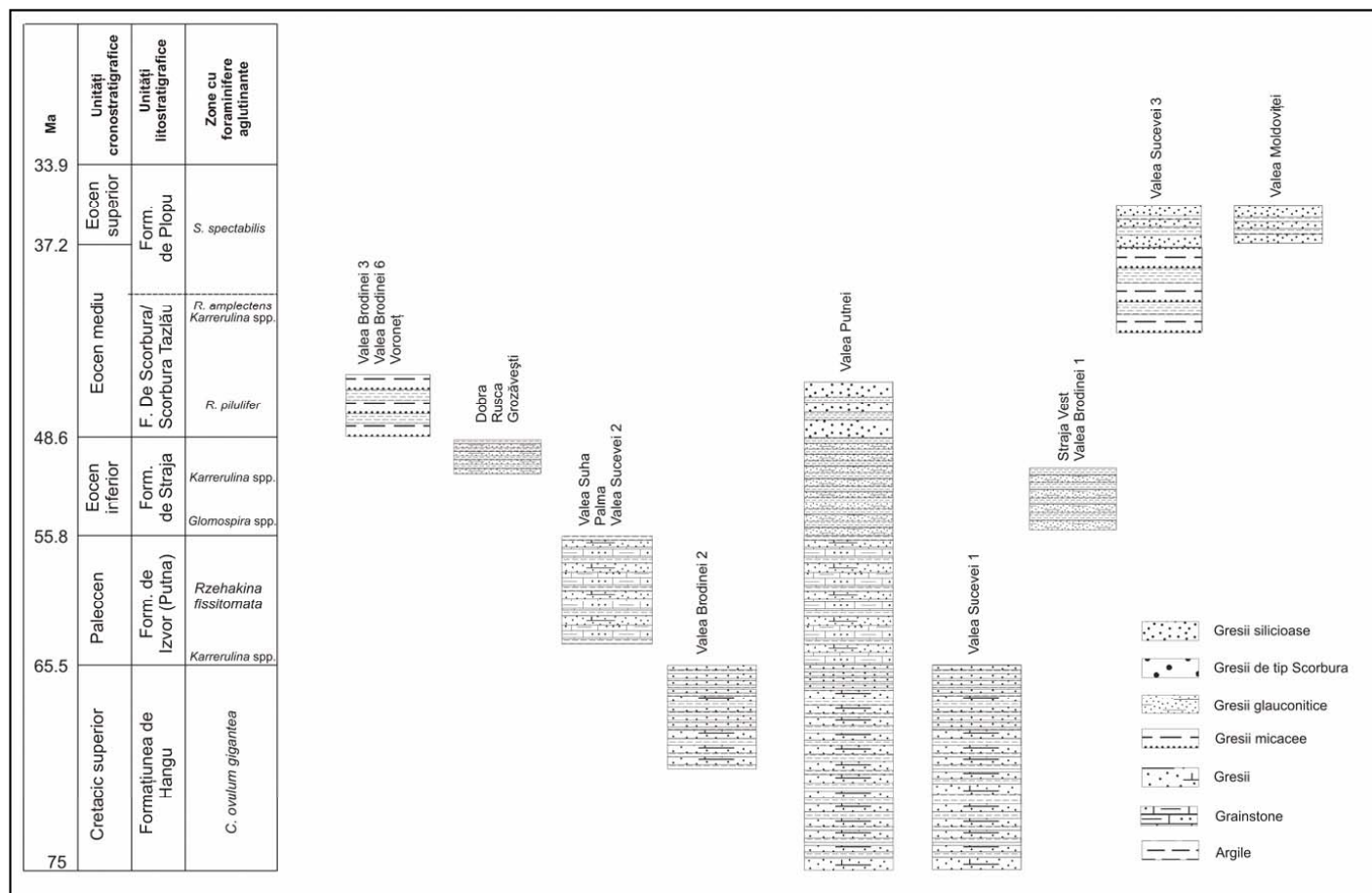


Figura 68. Corelarea secțiunilor investigate din nordul Pânzei de Tarcău

Taxonii *Ammodiscus latus*, *Caudammina ovulum gigantea*, *Haplophragmoides parvulus*, *Praesphaerammina subgaleata*, *Psamminopelta gradsteini*, *Reophanus berggreni*, *Reticulophragmium amplexans*, *Rzehakina inclusa*, *R. fissistomata*, *R. minima* și *Saccamminoides carphaticus* sunt buni indicatori biostratigrafici pe baza primei și ultimei ocurențe în succesiunile investigate, iar taxonii *Glomospira* spp, *Karrerulina* spp., *Reophax pilulifer* și *Spiroplectammina spectabilis* au fost folosiți ca markeri biostratigrafici pe baza realizării de abundențe specifice ridicate pe anumite intervale.

Pe baza distribuției stratigrafice și abundențelor ridicate ale taxonilor menționați anterior dar și a bio- și litofaciesurilor caracteristice am realizat o corelare a secțiunilor studiate. Astfel, se poate observa că pe baza prezenței taxonului *C. ovulum gigantea* depozitele bazale din succesiunea de pe Valea Putnei se corelează cu cele de pe Valea Sucevei 1 și Valea Brodinei 2; succesiunile de la Valea Suha, Palma, Valea Sucevei 2 și partea medie a succesiunii de la Valea Putnei sunt corelate pe baza prezenței taxonului *Rzehakina fissistomata*; cele de la Valea Brodinei 1, Straja Vest se corelează cu Eocenul inferior de la Valea Putnei; la Valea Dobra, Rusca, Grozăvești în depozite ce aparțin Formațiunii de Straja am identificat o abundență de *Karrerulina* spp., abundență pe care nu am identificat-o în argilele vărgate de pe Valea Putnei. Abundența relativ ridicată de *Reophax pilulifer* a permis corelarea depozitelor de la Valea Brodinei 3, Valea Brodinei 6, Voroneț cu cele Eocen medii de pe Valea Putnei; abundența ridicată de *Spiroplectammina spectabilis* a permis corelarea depozitelor identificate pe Valea Sucevei 3 și Valea Moldoviței (figura 68).

Capitolul V. Descrierea sistematică a foraminiferelor identificate în Pânza de Tarcău

În urma analizelor micropaleontologice efectuate pentru probele colectate din nordul Pânzei de Tarcău am identificat peste 250 de specii de foraminifere.

Foraminiferele aglutinante sunt expuse în ordine taxonomică pe baza clasificării supragenerice realizată de către Kaminski (2004), cele bentonice pe baza clasificării supragenerice a lui Loeblich & Tappan (1987) iar foraminiferele planctonice au fost ordonate taxonomic după clasificarea propusă de către Kennett and Srinivasan (1983).

Identificarea taxonomică a speciilor are la bază , în principal următoarele lucrări: Morkhoven et al., 1986, Kaminski & Geroch (1993), Kaminski & Gradstein (2005), Bolli et al. (1994), Cicha et al. (1998), Premoli-Silva et al. (2003), Premoli-Silva & Sliter (2002), Premoli-Silva & Verga (2004), Pearson et al. (2006), Kennett & Srinivasan (1983).

Familia RABDAMINIDAE Brady, 1884

Subfamilia BATHYSIPHONINAE

Avnimelech, 1952

Genul *Bathysiphon* Sars, 1872

Bathysiphon eocenicus

Cushman & Hanna, 1927

Bathysiphon eocenicus Cushman and G. D. Hanna, 1927, p. 210, pl. 13, fig 2, 3.

Descriere: Test elongat, aplatizat cilindric, aglutinat cu material alb fin. Cameră tubulară inferioară distinctă.

Ocurență: Valea Sucevei 3

Bathysiphon filiformis Sars, 1972

Bathysiphon filiformis Sars, 1972, p. 251, pl. 6, fig. 4a-e (fide Ellis & Messina, 1942-2010).

Bathysiphon filiformis Sars, 1972 - Cicha et al., 1998, p. 82, pl. 1, fig. 3-5.

Descriere: Test tubular, drept, peretele gros, fin aglutinat. Apertura este o deschidere simplă la capătul tubului.

Ocurență: Valea Sucevei 1

Bathysiphon taurinensis Sacco, 1893

Bathysiphon taurinensis Sacco, 1893, p. 166, pl. 2, fig. 2 (fide Ellis & Messina, 1942-2010).

Bathysiphon taurinensis Sacco - Popescu, 1975, p. 32, pl. 1, fig. 2.- Cicha et al., 1998, p. 82, pl. 1, fig. 1-2.

Descriere: Îveliș organic de obicei de culoare neagră care apare pe testul tubulat. Uneori este aplatizat de-a lungul axei. Fin aglutinat.

Ocurență: Valea Sucevei 1, Valea Moldoviței.

***Bathysiphon* sp.**

pl. 16, fig. 1-3

Descriere: Fragmente tubulare cu perete de la grosier la mediu aglutinat, drept, fără ramificații. Prezintă dimensiuni mari, constricții fine apertura fiind o deschidere terminală simplă.

Ocurență. Grozăvești, Palma, Rusca, Valea Brodinei 1, 2, 3 și 6, Valea Dobra, Valea Humorului, Valea Putnei,

Valea Sucevei 2, Valea Suha, Voroneț, Valea Moldoviței, Valea Sucevei 1 și 3.

Genul *Nothia* Pflaumann, 1964

Nothia excelsa (Grzybowski, 1898)

pl. 1, fig. 2-4; pl. 11, fig. 1-2; pl. 15, fig. 1, pl. 16, fig. 4

Dendrophrya excelsa Grzybowski, 1898, p. 272, pl. 10, fig 2-4 (fide Ellis & Messina, 1942-2010).

Nothia excelsa (Grzybowski, 1898). - Geroch & Kaminski, 1992, p. 255, pl. 1, figs 1-4, pl. 2, figs 1-11; Kaminski & Gradstein, 2005, p. 106, pl. 2a, fig. 1-9, pl. 2b, fig. 1-11.

Descriere: Test tubular, dimensiune medie, uneori ramificat dichotomic, de obicei drept sau ușor curbat, aplatizat, perete subțire, grosier, apertura este o deschidere terminală simplă.

Ocurență: Palma, Straja Vest, Valea Brodinei 1, 2, 3 și 6, Valea Moldoviței, Valea Putnei, Valea Sucevei 1 și 3, Valea Suha.

Nothia latissima (Grzybowski, 1898)

pl. 5, fig. 3.

Dendrophrya latissima Grzybowski, 1898, p. 273, pl. 10, fig. 8.

Nothia latissima (Grzybowski) - Kaminski & Geroch, 1993, p. 245, pl. 1, fig. 1a-c, 14a,b.

Nothia latissima (Grzybowski) - Kaminski & Gradstein, 2005, p. 113, pl. 3, fig. 1-4b.

Descriere: Test tubular de dimensiuni foarte mari cu perete fin aglutinat.

Ocurență: Valea Brodinei 2, 3 și 6, Valea Moldoviței, Valea Putnei, Valea Sucevei 1, 2 și 3.

Nothia robusta (Grzybowski, 1898)

pl. 5, fig. 2; pl. 11, fig. 2

Dendrophrya robusta Grzybowski, 1898, p. 273, pl. 10, fig. 7 (fide Ellis & Messina, 1942-2010).

Nothia robusta (Grzybowski, 1898). - Geroch & Kaminski, 1992, pl. 1, fig. 1-4, pl. 2, fig. 1-11; Kaminski & Gradstein, 2005, p. 116, pl. 4, fig 1-8.

Descriere: Test cu dimensiuni foarte mari, tubular, robust, fără constricții sau

proeminente, de obicei aplatizat cu un canal median. Perete subțire, granule aglutinate medii, suprafața fină, apertura este o deschidere terminală simplă.

Ocurență: Valea Brodinei 1, 2, 3 și 6, Valea Moldoviței, Valea Putnei, Valea Sucevei 1, 2 și 3.

***Nothia* sp.**

pl. 13, fig. 1; pl. 16, fig. 4.

Descriere: Test tubular de dimensiuni mari, fragmentat, aplatizat, cu perete subțire și granulele aglutinate fine.

Ocurență: Grozăvești, Rusca, Valea Dobra, Valea Humorului, Valea Moldoviței, Valea Putnei, Valea Sucevei 2.

Genul *Psammosiphonella* Avnimelech, 1952

Psammosiphonella cylindrica

(Glaessner, 1937)

pl. 16, fig. 6

Rhabdammina cylindrica Glaessner, 1937, p. 354, pl. 1, fig. 1 (fide Ellis & Messina, 1942-2010).

Psammosiphonella cylindrica (Glaessner, 1937) - Kaminski & Gradstein, 2005, p. 121, pl. 5/6, fig. 9-13.

Descriere: Test tubular, circular în secțiune transversală, cu diametrul constant pe toată lungimea. Perete gros, cu suprafață rugoasă, format de obicei din granule cuarțoase angulare grosiere. Apertura este o deschidere terminală simplă.

Ocurență: Palma, Valea Brodinei 1, 2, 3 și 6, Valea Dobra, Valea Moldoviței, Valea Putnei, Valea Sucevei 1, 2 și 3, Valea Suha, Voroneț.

Psammosiphonella discreta

(Brady, 1881)

pl. 4, fig. 2; pl. 16, fig. 5

Rhabdammina discreta Brady, 1881, p. 48

Rhabdammina discreta Brady, 1884, p. 268, pl. 22, fig. 7-10.

Psammosiphonella discreta (Brady, 1881) - Kaminski & Gradstein, 2005, p. 117, pl. 5/6, fig. 1-3.

Descriere: Test cilindric, neramificat. Prezintă constricții circulare la intervale neregulate, dar fără partiții interne. Peretele este format din granule cuarț cu dimensiuni variabile.

Ocurență: Valea Brodinei 1, 2, 3 și 6, Valea Dobra, Valea Moldoviței, Valea Putnei, Valea Sucevei 1, 2 și 3, Valea Suha.

Subfamilia RHABDAMMINININAE

Brady, 1884

Genul *Rhabdammina* Sars, 1869

Rhabdammina abyssorum

Sars, 1869

pl. 4, fig. 3

Rhabdammina abyssorum Sars, 1868, p. 248.

Rhabdammina abyssorum Sars - Carpenter, 1868, p. 171, 172.

Descriere: Test tubular, triradiat, uneori cuatriradiat, perete aglutinat cu particule cuarțoase aranjate regulat.

Ocurență: Valea Brodinei 2, Valea Sucevei 3.

Rhabdammina linearis Brady, 1879

pl. 5, fig. 4; pl. 9, fig. 2; pl. 15, fig. 2; pl. 16, fig. 7

Rhabdammina linearis Brady, 1879, p. 37, pl. 3, fig. 10-11.

Rhabdammina linearis Brady, 1879 - Kaminski & Gradstein, 2005, p. 124, pl. 7, fig. 1a-8.

Descriere: Test tubular, cu o proeminență în zona mediană, cu dimensiuni medii până la mari, circular în secțiune transversală. Peretele gros, format din mai multe straturi de granule nisipoase angulare, grosiere până la foarte grosiere, suprafața rugoasă. Apertura este o deschidere terminală simplă.

Ocurență: Palma, Valea Brodinei 2 și 3, Valea Putnei, Valea Sucevei 1, 2 și 3, Valea Suha.

***Rhabdammina* sp.**

pl. 1, fig. 5; pl. 9, fig. 1; pl. 11, fig. 3

Descriere: Test tubular, grosimea peretelui de la medie la grosieră, dimensiuni variabile, dimenisunea granulelor aglutinate de la fin la grosier.

Ocurență: Palma, Valea Boului, Valea Brodinei 1, 2, 3 și 6, Valea Dobra, Valea Humorului, Valea Moldoviței, Valea Putnei, Valea Sucevei 1, 2 și 3, Valea Suha, Voroneț.

Familia RHIZAMMINIDAE Brady, 1879

Genul *Rhizammina* Brady, 1879

***Rhizammina indivisa* Brady, 1884**

Rhizammina indivisa Brady, 1884, p. 277, pl. 29, fig. 5-7.

Rhizammina indivisa Brady, 1884 - Valchev, 2002, p. 70, pl. 1, fig. 5-6;

Descriere: Test cilindric, format dintr-un tub arenaceu neremificat, de obicei conic în zona terminală. apertura este o deschidere terminală simplă.

Ocurență: Valea Putnei, Valea Suha.

***Rhizammina* sp.**

pl. 1, fig. 6; pl. 5, fig. 5; pl. 11, fig. 4;
pl. 14, fig. 1.

Descriere: Test tubular de dimensiuni mici, fragmentat, cu perete fin și subțire, particulele aglutinate de dimensiuni medii; apertura este o deschidere terminală simplă.

Ocurență: Palma, Valea Brodinei 1, 2, 3 și 6, Valea Dobra, Valea Moldoviței, Valea Putnei, Valea Sucevei 1, 2 și 3, Valea Suha.

Familia PSAMMOSPHAERIDAE

Haeckel, 1894

Genul *Psammosphaera* Schulze, 1875

Psammosphaera irregularis

(Grzybowski, 1896) emend. Liszka & Liszkowa, 1981

pl. 1, fig. 7; pl. 4, fig. 4; pl. 11, fig. 5; pl. 13, fig. 2; pl. 16, fig. 8-9

Keramospaera irregularis Grzybowski, 1896, p. 273, pl. 8, figs. 12-13.

Psammosphaera irregularis (Grzybowski) - Liszka & Liszkowa, 1981, p. 161.

Psammosphaera irregularis (Grzybowski) - Kaminski & Gradstein, 2005, p. 129, pl. 9, figs. 1-9.

Descriere: Test unilocular, sferic, de obicei aplatizat, cu o periferie rotunjită și centru presat. Peretele este aglutinat cu particule fine spre medii iar aperturile sunt spații între granule sau pori inconjurați de câteva particule aglutinate.

Ocurență: Grozăvești, Palma, Rusca, Straja Vest, Valea Brodinei 1, 2, 3 și 6, Valea Dobra, Valea Humorului, Valea Moldoviței, Valea Putnei, Valea Sucevei 1, 2 și 3, Valea Suha, Voroneț.

Psammosphaera fusca

Schultze, 1875

pl. 13, fig. 3; pl. 15, fig. 3

Psammosphaera fusca Schultze, 1875, p. 113, pl. 2, fig. 8a-f (fide Ellis & Messina, 1942-2010).

Psammosphaera fusca Schultze, 1875, - Kaminski & Gradstein, 2005, p. 125, pl. 8, fig. 1-7.

Descriere: Test unilocular, sferic sau subsferic, aplatizat, liber sau atașat, perete subțire cu suprafața rugoasă, apertura reprezentată de o deschidere mică între granulele nisipoase.

Ocurență: Valea Brodinei 2, 3 și 6, Valea Sucevei 1 și 3, Voroneț.

***Psammosphaera* sp.**

Descriere: Test unilocular, sferic, aplatizat cu granule aglutinate de dimensiuni medii și mari.

Ocurență: Palma, Valea Brodinei 2, Valea Humorului, Valea Putnei, Valea Suha, Valea Moldoviței.

Familia SACCAMMINIDAE Brady, 1884

Subfamilia SACCAMMININAE, Brady, 1884

Genul *Placentamina* Thalmann, 1947

Placentamina placenta

(Grzybowski, 1898) emend. Geroch, 1960

pl. 1, fig. 8; pl. 5, fig. 6; pl. 9, fig. 3;
pl. 11, fig. 6

Reophax placenta Grzybowski, 1898, p. 276-277, pl. 10, fig. 9-10.

Saccamina placenta (Grzybowski) - Kaminski & Geroch, 1993, p. 249, pl. 2, fig. 5-7.

Placentamina placenta (Grzybowski) - Kaminski & Gradstein, 2005, p. 139, pl. 11, fig. 1-6.

Descriere: Test monotalamic, circular, de cele mai multe ori aplatizat. Multe specimene prezintă o concavitate centrală și o periferie subțire. Apertura este de dimensiuni mici pe un gât scurt. Perete fin aglutinat.

Ocurență: Palma, Valea Brodinei 1, 2, 3 și 6, Valea Dobra, Valea Humorului, Valea Moldoviței, Valea Putnei, Valea Sucevei 1, 2 și 3, Valea Suha.

Genul *Saccamina* Carpenter, 1869

Saccamina grzybowskii

(Schubert, 1902)

pl. 9, fig. 4; pl. 13, fig. 4; pl. 14, fig. 2.

Reophax grzybowskii Schubert, 1902, p. 20, pl. 1, fig. 13 (fide Ellis & Messina, 1942-2010).

Lagenamina grzybowskii (Schubert, 1902) - Cicha et al., 1998, p. 108, pl. 1, fig. 13.

Saccamina grzybowskii (Schubert, 1902) - Kaminski & Gradstein, 2005, p. 135, pl. 10, fig. 1-9.

Descriere: Test unilocular, grosier la fin aglutinat, cu un contur aproape circular, în general aplatizat, apertura localizată la periferia testului sau la capătul unui gât scurt.

Ocurență: Grozăvești, Palma, Rusca, Straja Vest, Valea Boului, Valea Brodinei 1, 2, 3 și 6, Valea Dobra, Valea Humorului, Valea Moldoviței, Valea Putnei, Valea Sucevei 1, 2 și 3, Valea Suha, Voroneț.

Saccamina sphaerica Brady, 1871

Saccamina sphaerica Brady, 1871, p. 253, pl. 18, fig. 11-17.

Saccamina sphaerica Brady, - Kaminski et al., 2008, p. 67, pl. 7, fig. 1-4.

Descriere: Test liber alcătuit dintr-o singură cameră globulară. Petere fin aglutinat și apertura rotundă situată pe un gât scurt.

Ocurență: Valea Brodinei 1 și 2, Valea Moldoviței, Valea Putnei, Valea Suha.

***Saccamina* sp.**

Descriere: Test unilocular, sferic, globular, cu perete gros format din granule grosiere (de obicei cuarț). Apertura localizată de obicei la periferia testului.

Ocurență: Valea Boului, Valea Moldoviței, Valea Putnei, Valea Sucevei 3.

Familia HYPERAMMINIDAE Eimer & Fickert, 1899

Subfamilia HYPERAMMININAE Eimer & Fickert, 1899

Genul *Hyperamina* Brady, 1878

Hyperamina dilatata

Grzybowski, 1896

pl. 9, fig. 5

Hyperamina dilatata Grzybowski, 1896, p. 274, pl. 8, fig. 17a, b (fide Ellis & Messina, 1942-2010).

Hyperamina dilatata Grzybowski, 1896 - Kaminski & Gradstein, 2005, p. 140, pl. 12, fig. 1-5.

Descriere: Test unilocular, de obicei aplatizat, piriform, cu baza rotunjită, alungit în partea aperturală. Peretele fin aglutinat iar apertura este sub forma unei deschideri largi la capătul unui gât scurt.

Ocurență: Palma, Valea Boului, Valea Brodinei 1, 2 și 3, Valea Moldoviței, Valea Putnei, Valea Sucevei 1, 2 și 3, Valea Suha, Voroneț.

***Hyperammina elongata* Brady, 1878**
pl. 16, fig. 10

Hyperammina elongata Brady, 1878, p. 433, pl. 1, fig. 16,18,19.

Hyperammina elongata Brady, 1878 - Kaminski et al., 2005, p. 386, pl. 1, figs 16,18,19; Kender, 2007, p. 154, pl. 1, fig. 15.

Descriere: Test de dimensiuni medii la mari, cu un proloculus proeminent urmat de o porțiune tubulară, care de obicei este aplatizată. Particulele aglutinate sunt grosiere, suprafața testului este rugoasă iar apertura este o deschidere terminală simplă.

Ocurență: Valea Brodinei 2, 3 și 6, Valea Dobra, Valea Humorului, Valea Putnei, Valea Sucevei 1, 2 și 3, Valea Suha.

Hyperammina granulosa
Vengliński, 1958

Hyperammina granulosa Vengliński, 1958, p. 51, pl. 1, fig. 2-3.

Hyperammina granulosa Vengliński, 1958 - Spezzaferri et al., 2004, p. 439, pl. 2, fig. 14-15, pl. 6, fig. 8

Descriere: Test tubular, drept sau ușor arcuit, uneori aplatizat, grosier aglutinat, cu particulele nesortate, iar capătul inițial al tubului este uneori închis.

Ocurență: Valea Sucevei 1.

Hyperammina rugosa

Verdenius & van Hinte, 1983

Hyperammina rugosa Verdenius & van Hinte, 1983, p. 187, pl. 1, fig. 12-14 (fide Ellis & Messina, 1942-2010).

Hyperammina rugosa Verdenius & van Hinte, 1983, Kaminski & Gradstein, 2005, p. 143, pl. 13, fig. 1-4.

Descriere: Test drept sau foarte puțin curbat, proloculus piriform foarte rar identificat atașat de tub, perete format

dintr-o varietate mare de particule de dimensiuni mari.

Ocurență: Valea Boului, Valea Brodinei 2 și 3, Valea Moldoviței, Valea Putnei, Valea Sucevei 1 și 3, Valea Suha.

***Hyperammina* sp.**

Descriere: Test elongat, cu un proloculus mic urmat de un tub grosier, uneori aplatizat; apertura este reprezentată de o deschidere simplă la capătul tubului.

Ocurență: Valea Moldoviței, Valea Sucevei 1, Valea Sucevei 3.

Familia BOTELLINIDAE Chapman & Par, 1936

Genul *Protobotellina* Heron-Allen & Erland, 1929

Protobotellina vermiculata

Luczkowska, 1990

Protobotellina vermiculata Luczkowska, 1990, p. 845, pl. 2, fig. 9-14, pl. 3, fig. 1-5.

Protobotellina vermiculata Luczkowska, - Beldean & Filipescu, 2011, p. 5, pl. 1, fig. 10-11.

Descriere: Test alungit, probabil tubular aplatizat, cu numeroase încrețituri pe suprafață. Perete mediu aglutinat iar apertura simplă la capătul tubului.

Ocurență. Valea Sucevei 1

Familia AMMODISCIDAE Reuss, 1862

Subfamilia AMMODISCINAE Reuss, 1862

Genul *Ammodiscus* Reuss, 1862

Ammodiscus cretaceus

(Reuss, 1845)

pl. 1, fig. 9; pl. 5, fig. 7; pl. 9, fig. 6;
pl. 16, fig. 11

Operculina cretacea Reuss, 1845, p. 35, pl. 13, fig. 64-65 (fide Ellis & Messina, 1942-2010).

Ammodiscus cretaceus (Reuss, 1845) - Kaminski & Gradstein, 2005, p. 147, pl. 14, fig. 1a-10.

Descriere: Test de dimesiuni medii, planspiral, evolut, cu o singură cameră care crește gradual, 8-11 înrulări la formele adulte, suturi distincte, ușor depresate, perete subțire cu suprafața netedă, apertura este o deschidere terminală simplă.

Ocurență: Grozăvești, Palma, Valea Brodinei 3 și 6, Valea Dobra, Valea Moldoviței, Valea Putnei, Valea Sucevei 1, 2 și 3, Valea Suha, Voroneț.

Ammodiscus glabratus

Cushman & Jarvis, 1928

Ammodiscus glabratus Cushman & Jarvis, 1928, p. 87, pl. 12, fig. 6a,b. - Kaminski & Gradstein, 2005, p. 148, pl. 15, fig. 1a-6.

Descriere: Test planspiral involut, biconcav, fără striții cu suturi slab definite. Camera tubulară cuprinde 10 înrulări și crește rapid în grosime; perete fin aglutinat.

Ocurență: Grozăvești, Rusca, Valea Sucevei 1 și 3, Valea Brodinei 2, 3 și 6, Valea Putnei, Valea Suha, Voroneț.

Ammodiscus latus

Grzybowski, 1899

pl. 8, fig. 1

Ammodiscus latus Grzybowski, 1899, p. 282, pl. 10, fig. 27-28. - Kaminski & Geroch, 1993, p. 239-323, pl. 5, fig. 4a-5. - Kaminski & Gradstein, 2005, p. 150, pl. 16 a-b, fig. 1-8, 1-6.

Descriere: Test de dimensiuni mari, înrulat planspiral, cu o sutură distinctă ce crește încet în dimensiuni. Formele megalosferice cuprind 2-3 înrulări și au un ombilic depresionar iar cele microsferice au 5 înrulări. Peretele este grosier aglutinat. Porțiunea neînrolată este scurtă și este dispusă în direcția opusă a înrulării.

Ocurență: Valea Putnei, Valea Sucevei 3, Valea Brodinei 3.

Ammodiscus penny

Cushman & Jarvis, 1928

pl. 8, fig. 2

Ammodiscus penny Cushman & Jarvis, 1928, p. 87, pl. 12, fig. 4-5. - Kaminski & Gradstein, 2005, p. 156, pl. 17, fig. 1-6.

Descriere: Test de dimensiuni medii la mari, înrulat planspiral, biconcav și contur eliptic. Camera tubulară crește încet în grosime și cuprinde până la 6 înrulări. Perete grosier aglutinat.

Ocurență: Valea Putnei.

Ammodiscus peruvianus Berry, 1928

pl. 1, fig. 10; pl. 5, fig. 8, pl. 9, fig. 8; pl.

11, fig. 8; pl. 16, fig. 13-14

Ammodiscus peruvianus Berry, 1928, p. 342, pl. 27. - Kaminski & Gradstein, 2005, p. 159, pl. 18, fig. 1a-6.

Descriere: Test de dimensiuni medii la mari, înrulat planspiral, biconcav și contur eliptic. Camera tubulară crește încet în grosime și cuprinde 3 înrulări. Perete fin aglutinat

Ocurență: Grozăvești, Palma, Valea Brodinei 1, 2, 3 și 6, Valea Dobra, Valea Moldoviței, Valea Putnei, Valea Sucevei 1, 2 și 3, Valea Suha.

Ammodiscus tenuissimus

Grzybowski, 1898

pl. 11, fig. 7; pl. 15, fig. 4

Ammodiscus tenuissimus Grzybowski, 1898, p. 272, pl. 10, fig. 35 (fide Ellis & Messina, 1942-2010).

Ammodiscus tenuissimus Grzybowski, 1898 - Kaminski & Gradstein, 2005, p. 162, pl. 20, fig. 1-7.

Descriere: Test circular sau ușor eliptic, cu un prolocus globular; înrularea este planspirală, involută cu aproximativ 7 spire; la început spirele cresc în diametru mai rapid, ulterior mai lent; fiecare tură este mai lată decât anterioara, pe care o acoperă parțial; peretele este fin aglutinat; suturile depresate.

Ocurență: Valea Brodinei 1, 2, 3 și 6, Straja Vest, Valea Dobra, Rusca, Grozăvești, Voroneț, Valea Putnei, Valea Suha, Valea Sucevei 1 și 2, Palma.

***Ammodiscus* sp.**

pl. 4, fig. 5; pl. 16, fig. 12

Descriere: Fragmente uniloculine, înrulate planspiral, cu suprafața netedă, care nu au putut fi atribuite unor specii de *Ammodiscus*.

Ocurență: Valea Brodinei 1, 2, 3 și 6, Straja Vest, Valea Dobra, Rusca, Grozăvești, Voroneț, Valea Sucevei 1, 2 și 3, Valea Moldoviței, Valea Humorului, Valea Boului, Valea Putnei, Valea Suha, Palma.

Subfamilia TOLYPAMMININAE

Cushman, 1928

Genul *Ammolagena* Eimer & Fickert, 1899

Ammolagena clavata

(Jones & Parker, 1860)

pl. 9 fig. 7, 11-13.

Trochammina irregularis (d'Orbigny) var. *clavata* Jones & Parker, 1860, p. 304 (fide Ellis & Messina, 1942-2010).

Ammolagena clavata (Jones & Parker) - Kaminski & Gradstein, 2005, p. 165, pl. 21, fig 1-6.

Descriere: Test atașat, cu dimensiuni medii și mari, prolocus ovoid, urmat de un tub alungit, nedivizat, perete neted, subțire, două aperturi, una primară la capătul tubului și una secundară la baza prolocusului sub forma unei deschideri simple înconjurată de o buză.

Ocurență: Valea Suha, Valea Sucevei 2, Valea Putnei, Valea Brodinei 3 și 6, Voroneț, Palma, Valea Moldoviței.

***Ammolagena* sp.**

Descriere: Test atașat, proloculus ovoid.

Ocurență: Valea Suha, Valea Sucevei 2, Palma.

Subfamilia AMMOVERTELLININAE

Saidova, 1981

Genul *Annectina* Suleymanov, 1963

Annectina grzybowskii

(Jurkiewicz, 1960)

pl. 9, fig. 9

Glomospira grzybowskii Jurkiewicz, 1960, p. 339, pl. 38, fig. 7, 10, 11.

Annectina grzybowskii (Jurkiewicz). - Kaminski & Gradstein, 2005, p. 192, pl. 28, fig. 1-7.

Descriere: Test de dimensiuni mari, eliptic sau rotunjit, înrulat inițial în stilul miliolid urmat de o parte înrulată planspiral cu mai mult de 5 ture. Perete subțire, aglutinat de la fin la mediu. Apertura situată la capătul deschis al camerei tubulare.

Ocurență: Valea Brodinei 3, Valea Putnei, Valea Sucevei 2, Valea Suha.

Subfamilia UBEKISTANIINAE Vyalov, 1977

Genul *Glomospira* Rzehak, 1885

Glomospira charoides

(Jones & Parker, 1860)

pl. 8, fig. 3, 4; pl. 13, fig. 10-11; pl. 14, fig. 3; pl. 16, fig. 16-17.

Trochammina squamata Jones & Parker var. *charoides* Jones & Parker, 1860, p. 304 (fide Ellis & Messina, 1942-2010).

Repmantina charoides (Jones & Parker, 1860) - Cicha et al., 1998, p. 123, pl. 2, fig. 3.

Glomospira charoides (Jones & Parker, 1860) - Kaminski & Gradstein, 2005, p. 173, pl. 22, fig. 1-16.

Descriere: Test rotunjit, proloculus inițial urmat de o singură cameră alungită, nedivizată, înrulată trochospiral în jurul axei cu aproximativ trei astfel de înrulări, ultima tură uneori deviată de înrularea generală, peretele neted, apertura este o deschidere simplă la capătul tubului.

Ocurență: Palma, Rusca, Straja Vest, Valea Boului, Valea Brodinei 1, 3 și 6, Valea Dobra, Valea Humorului, Valea Moldoviței, Valea Putnei, Valea Sucevei 1, 2 și 3, Valea Suha, Voroneț.

Glomospira diffundens

Cushman & Renz, 1946

pl. 13, fig. 5

Glomospira gordialis (Jones & Parker) var. *diffundens* Cushman & Renz, 1946, p. 15, pl. 1, fig. 30.

Glomospira gordialis diffundens Cushman & Renz. - Hemleben & Troester, 1984, p. 519, pl. 1, fig. 21.

Glomospira diffundens Cushman & Renz. - Kaminski & Gradstein, 2005, p. 175, pl. 23, fig. 1-9.

Descriere: Test de dimensiuni mari, înrulat inițial glomospiral, cu ultimele 2 ture înrulate planspiral neregulat. Perete fin aglutinat bine silicificat.

Ocurență: Rusca, Straja Vest, Valea Brodinei 2 și 3, Valea Putnei, Valea Sucevei 1 și 3, Valea Suha, Voroneț.

Glomospira glomerata

(Grzybowski, 1898)

pl. 11, fig. 9.

Ammodiscus glomeratus Grzybowski, 1898, p. 285, pl. 11, fig. 4.

Glomospira glomerata (Grzybowski) - Kaminski & Geroch, 1993, p. 256, pl. 6, fig. 9-12.

"Glomospira" glomerata (Grzybowski) - Kaminski & Gradstein, 2005, p. 178, pl. 24, fig. 1-6.

Descriere: Test alcătuit dintr-un singur tub nedivizat înrulat tip meandru. Perete subțire și grosier aglutinat. Apertura este situată la capătul deschis al camerei tubulare.

Ocurență: Valea Brodinei 1, Valea Putnei.

Glomospira gordialis

(Jones & Parker, 1860)

pl. 1, fig. 11; pl. 13, fig. 6-9

Trochammina squamata (Jones & Parker) var. *gordialis* Jones & Parker, 1860, p. 292-307.

Glomospira gordialis (Jones & Parker). - Berggren & Kaminski, 1990, p. 73, pl. 1, fig. 1.

Glomospira gordialis (Jones & Parker). - Kaminski & Gradstein, 2005, p. 181, pl. 25, fig. 1-8.

Descriere: Test cu un proloculus globular urmat de o cameră secundară tubulară înrulată inițial trochospiral peste proloculus după care înrularea este glomospirală cu 5-6 ture. Perete fin aglutinat și apertura situată la capătul deschis al camerei tubulare.

Ocurență: Palma, Rusca, Straja Vest, Valea Boului, Valea Brodinei 1, 2, 3 și 6, Valea Dobra, Valea Moldoviței, Valea Putnei, Valea Sucevei 1, 2 și 3, Valea Suha, Voroneț.

Glomospira irregularis

(Grzybowski, 1898)

Ammodiscus irregularis Grzybowski, 1898, p. 285, pl. 11, fig. 2, 3.

Glomospira? irregularis (Grzybowski) - Hemleben & Troester, 1984, p. 519, pl. 1, fig. 22.

Glomospira irregularis (Grzybowski) - Kaminski & Geroch, 1993, p. 256, pl. 6, fig. 6-8b.

"Glomospira" irregularis (Grzybowski) - Kaminski & Gradstein, 2005, p. 185, pl. 26, fig. 1a-7.

Descriere: Test unilocular compact, înrulat streptospiral. Perete subțire de la fin la mediu aglutinat.

Ocurență: Palma, Valea Brodinei 2 și 3, Valea Dobra, Valea Humorului, Valea Moldoviței, Valea Putnei, Valea Sucevei 1 și 3, Valea Suha.

Glomospira serpens

(Grzybowski, 1898)

pl. 13, fig. 12

Ammodiscus serpens Grzybowski, 1898, p. 285, pl. 10, fig. 31.

Glomospira serpens (Grzybowski) - Kaminski & Geroch, 1993, p. 256, pl. 6, fig. 2-5.

"Glomospira" serpens (Grzybowski) - Kaminski & Gradstein, 2005, p. 189, pl. 27, fig. 1a-6b.

Descriere: Test oval format dintr-o cameră tubulară aranjată în înrulări de tip miliolid eliptice. Perete fin aglutinat.

Ocurență: Palma, Straja Vest, Valea Brodinei 2 și 3, Valea Dobra, Valea

Moldoviței, Valea Putnei, Valea Sucevei 1, 2 și 3, Valea Suha.

***Glomospira* sp.**

pl. 1., fig. 12; pl. 9, fig. 10; pl. 16, fig. 15.

Descriere: Test unilocular nedivizat, care nu crește rapid în dimensiune, înrulat trochospiral sau iregular.

Ocurență: Palma, Valea Brodinei 3 și 6, Valea Dobra, Valea Humorului, Valea Moldoviței, Valea Putnei, Valea Sucevei 1, 2 și 3, Valea Suha, Voroneț.

Familia RZEHAKINIDAE Cushman, 1933

Subfamilia RZEHAKININAE Cushman, 1933

Genul *Psamminopelta* Tappan, 1957

Psamminopelta gradsteini

(Matsunaga, 1955)

pl. 15, fig. 5

Spirosigmoilinella compresa Matsunaga, 1955, p. 50, pl. 1-2, fig. 1a,b.

Psamminopelta gradsteini (Matsunaga, 1955) - Kaminski & Geroch, 1997, p. 250, pl. 1, fig. 1-9; Kaminski & Gradstein, 2005, p. 221, pl. 37, fig. 1-9.

Descriere: Test de dimensiuni mici, planspiral, evolut, aplatizat sau biconcav, cu 2 camere pe tură. Camerele cresc lent în diametru. Apertura este o fantă la capătul unui gat de dimensiuni mici.

Ocurență: Valea Moldoviței, Valea Sucevei 3, Valea Brodinei 3.

Genul *Rzehakina* Cushman, 1927

Rzehakina epigona

(Rzehak, 1895)

pl. 11, fig. 11

Silicina epigona Rzehak, 1895, p. 214, pl. 6, fig. 1a-c.

Rzehakina epigona (Rzehak). - Kuhnt, 1990, p. 324, pl. 4, fig. 1. - Bubík & Kaminski, 2000, p. 75, pl. 1, figs. 1a-4b. - Kaminski & Gradstein, 2005, p. 205, pl. 31, figs. 1a-4b.

Descriere: Test eliptic, cu terminații posterioare și anterioare, comprimat, cu periferie direct carenată; modul de înrulare este planspiral, semievolut, cu 2 camere pe tură. Peretele este fin aglutinat iar apertura este o deschidere ovală sau rotunjit triunghiulară.

Ocurență: Palma, Rusca, Valea Putnei, Valea Sucevei 1, Valea Suha.

Rzehakina fissistomata

(Grzybowski, 1901)

pl. 7, fig. 2; pl. 10, fig. 1-4; pl. 11, fig. 10.

Spiroloculina fissistomata Grzybowski, 1901, p. 45, pl. 7, fig. 22-24.

Rzehakina fissistomata (Grzybowski) - Kaminski & Gradstein, 2005, p. 206, pl. 32, figs. 1-8.

Descriere: Test aplatizat și evolut cu un contur asimetric. Camerele din ultima tură nu învelesc testul având o sutură distinctă. Apertura este situată pe un gât pronunțat.

Ocurență: Palma, Valea Putnei, Valea Sucevei 2, Valea Suha.

Rzehakina inclusa (Grzybowski, 1901)

pl. 5, fig. 9, 10.

Spiroloculina inclusa Grzybowski 1901, p. 260, pl. 8, fig. 20.

Rzehakina inclusa (Grzybowski) - Kaminski & Geroch, 1993, p. 272, pl. 15, fig. 4a-c.- Kaminski & Gradstein, 2005, p. 209, pl. 33, fig. 1-6b.

Descriere: Test biconvex, involut și îngust; ultimele 2 camere acoperă camerele anterioare aproape complet.

Ocurență: Valea Brodinei 2, Valea Putnei, Valea Suha.

Rzehakina lata

Cushman & Jarvis, 1928

Rzehakina epigona var. *lata* Cushman & Jarvis, 1928, p. 93, pl. 13, fig. 11a,b.

Rzehakina lata Cushman & Jarvis, 1928, p. 272, pl. 15, fig. 4a-c. - Kaminski & Gradstein, 2005, p. 212, pl. 34, fig. 1a-5b.

Descriere: Test de dimensiuni mari, larg și involut, cu ultimul tur mai subțire. Ultimele camere formează o periferie carenată.

Ocurență: Valea Putnei, Valea Sucevei 1.

Rzehakina minima

Cushman & Renz, 1946

Rzehakina epigona (Rzehak) var. *minima* Cushman & Renz, 1946, p. 24, pl. 3, fig. 5.

Rzehakina minima Cushman & Renz. - Kaminski & Gradstein, 2005, p. 215, pl. 35, fig. 1a-10.

Descriere: Test eliptic puternic comprimat, cu înrulare planspirală evolută cu 2 camere pe tură. Camerele cresc în grosime foarte încet. Peretele este fin aglutinat iar apertura este o deschidere ovală sau rotunjit triunghiulară.

Ocurență: Valea Brodinei 1 și 2, Valea Putnei, Valea Sucevei 1 și 2, Valea Suha.

***Rzehakina* sp.**

Descriere: Test cu înrulare planspirală evolută, cu un contur asimetric.

Ocurență: Valea Putnei, Valea Sucevei 2, Valea Suha.

Subfamilia MILIAMMININAE

Saidova, 1981

Genul *Spirosigmoilinella* Matsunaga, 1955

Spirosigmoilinella compressa

Matsunaga, 1955

Spirosigmoilinella compressa Matsunaga, 1955, p. 50, fig. 1-2.

Spirosigmoilinella compressa Matsunaga, 1955 - Kaminski & Gradstein, 2005, p. 218, pl. 36, fig. 1a-7.

Descriere: Test comprimat în planul înrulării, ce circa două ori mai lung decât lățimea, subțire în centru. Înrularea este evolută cu 2 camere pe tură. Peretele este fin aglutinat iar apertura este rotundă spre ovală pe un gât scurt cu o buză rotundă

Ocurență: Valea Brodinei 3, Valea Putnei.

Familia HORMOSINELLIDAE Rauser & Reitlinger, 1986

Genul *Caudammina* Montanaro-Gallitelli, 1955

Caudammina excelsa

(Dylažanka, 1923)

pl. 4, fig. 8; pl. 5, fig. 11

Hyperammina excelsa Dylažanka, 1923, p. 66, pl. 1, fig. 3.

Hormosina excelsa (Dylažanka) - Kaminski & Geroch, 1993, p. 281, pl. 17, fig. 1-4b.

Caudammina excelsa (Dylažanka). - Kaminski & Gradstein, 2005, p. 230, pl. 40, fig. 1a-8.

Descriere: Test alcătuit din mai mult de 5 camere alungite, cilindrice la piriforme legate printr-un tub lung subțire sau stolon. Diametrul camerelor este de aproximativ două ori mai mare decât diametrul tubului. Peretele este fin aglutinat iar apertura este rotundă la capătul deschis al tubului.

Ocurență: Palma, Valea Brodinei 2, Valea Putnei, Valea Sucevei 2, Valea Suha.

Caudammina gigantea (Geroch, 1960)

pl. 1, fig. 15; pl. 4, fig. 6; pl. 5 fig. 13

Hormosina ovulum (Grzybowski) var. *gigantea* Geroch, 1960, p. 43, pl. 2, fig. 18-19.

Hormosina gigantea Geroch. - Bubík, 1995, p. 82, pl. 9, fig. 2.

Caudammina gigantea (Geroch). - Bağ, 2004, p. 27, pl. 4, fig. 1-3. - Kaminski & Gradstein, 2005, p. 235, pl. 41, fig. 6-8.

Descriere: Test liber, de dimensiuni foarte mari alcătuit din pseudocamere sferice sau ovale care se îngustează spre apertură. Testul este subțire, fin aglutinat și este identificat doar sub formă de fragmente uniloculare. Aperturile sunt secțiuni mici tubulare de trecere la capetele testului.

Ocurență: Valea Brodinei 2, Valea Sucevei 1, Valea Putnei.

Caudammina ovula

(Grzybowski, 1896) emend. Geroch,
1960

pl. 1, fig. 13-14; pl. 5, fig. 12; pl. 11,
fig. 12-13.

Reophax ovulum Grzybowski, 1896, p. 276,
pl. 8, fig. 19-21.

Hormosina ovulum ovulum (Grzybowski) -
Kaminski et al., 1988, p. 186, pl. 2, fig. 10.

Caudammina ovula (Grzybowski) -
Kaminski & Gradstein, 2005, p. 233, pl. 41,
fig. 1a-5.

Descriere: Test liber alcătuit din pseudocamere sferice sau ovale care se îngustează spre apertură. Testul este subțire, fin aglutinat și este identificat doar sub formă de fragmente uniloculare. Aperturile secțiunii mici tubulare de trecere la capetele testului.

Ocurență: Grozăvești, Palma, Rusca, Valea Brodinei 2, Valea Putnei, Valea Sucevei 1 și 2, Valea Suha.

Caudammina ovuloides

(Grzybowski, 1901)

pl. 4, fig. 7

Reophax ovuloides Grzybowski, 1901, p. 233, pl. 8, fig. 3.

Hormosina ovuloides (Grzybowski) -
Kaminski et al., 1988, p. 186, pl. 2, fig. 3-4.

Caudammina ovuloides (Grzybowski) -
Kaminski & Gradstein, 2005, p. 238, pl. 42,
fig. 1a-7.

Descriere: Test liber, pseudo-multilocular, alcătuit din 2 sau mai multe pseudocamere rotunde, piriforme sau alungite, legate printr-un stolon tubular subțire și scurt. Peretele este fin aglutinat iar apertura este la capătul deschis al tubului.

Ocurență: Valea Brodinei 2, Valea Suha, Valea Sucevei 1.

Genul *Hormosinella* Shchedrina, 1969

***Hormosinella distans* (Brady 1881)**

Reophax distans, Brady, 1881, p. 50.

Hormosinella cf. *distans* (Brady). - Kuhnt, 1990, p. 316, pl. 3, fig. 1

Hormosinella distans (Brady). - Kaminski & Gradstein, 2005, p. 246, pl. 45, fig. 1-11.

Descriere: Test elongat, alcătuit dintr-o serie de camere piriforme care se acoperă una pe cealaltă și care pot fi aranjate sinuos. Perete de la mediu aglutinat iar apertura situată la capătul gâtului.

Ocurență: V. Sucevei 1, V. Brodinei 2.

Genul *Hormosinelloides* Zheng, 2001

Hormosinelloides guttifer

(Brady, 1884)

pl. 4, fig. 9.

Reophax guttifer Brady, 1881, p. 49

Hormosinelloides guttifer (Brady) - Zheng, 2001, p. 278.

Descriere: Test elongat, uniserial, drept, alcătuit din circa 5 camere legate prin stoloni lungi și friabili. Camerele sunt mari în comparație cu gâtul și au o formă ovală. Peretele este de la mediu la grosier aglutinat iar apertura este situată la capătul deschis al stolonului. Majoritatea testurilor au fost identificate sub formă de fragmente.

Ocurență: Valea Brodinei 2, Valea Putnei, Valea Sucevei 1.

Genul *Reophanus* Saidova, 1970

Reophanus berggreni

Gradstein & Kaminski, 1997

pl. 15, fig. 6

Reophanus berggreni Gradstein & Kaminski, 1997, p. 217-229, pl. 5, fig. 1-6

Reophanus berggreni Gradstein & Kaminski, 1997 - Kaminski & Gradstein, 2005, p. 263, pl. 50, fig. 1-7.

Descriere: Test liber, multilocular, alcătuit din camere robuste, sferice sau ovale, aranjate rectiliniu și legate prin stoloni scurți și subțiri. Peretele este fin aglutinat iar apertura este situată la capătul deschis al stolonului.

Ocurență: Valea Brodinei 3, Valea Humorului.

Genul Subreophax Saidova, 1975

Subreophax scalaris

(Grzybowski, 1896)

pl. 2, fig. 1-2; pl. 7, fig. 3; pl. 10, fig. 9;
pl. 17, fig. 1

Reophax guttifera Brady var. *scalaria* Grzybowski, 1896, p. 277, pl. 8, fig. 26 (fide Ellis & Messina, 1942-2010).

Subreophax scalaris (Grzybowski) - Kaminski, et al., 1988, p. 187, pl. 2, fig 16-17.

Reophax scalaris (Grzybowski) - Kaminski & Gradstein, 2005, p. 279, pl. 55, fig. 1-7.

Descriere: Test uniseriat cu dimensiuni mici, alungit rectiliniar sau slab sinuos, camerele globular-rotunjite, cresc ușor în mărime, suturi depresate, perete subțire cu suprafața rugoasă, apertura este o deschidere terminală simplă.

Ocurență: Palma, Valea Brodinei 1, 2, 3 și 6, Valea Dobra, Valea Moldoviței, Valea Putnei, Valea Sucevei 1, 2 și 3, Valea Suha, Voroneț.

Subreophax pseudoscalaris

(Samuel, 1977)

Reophax pseudoscalaria Samuel, 1977, p. 36, pl. 3, fig. 14a,b.

Subreophax pseudoscalaris (Samuel). - Kaminski & Gradstein, 2005, p. 282, pl. 56, fig. 1-6.

Descriere: Test alcătuit din 2-5 camere subsferice conectate cu un tub intern care cresc în grosime foarte încet și par să semene mai degrabă cu un tub. Peretele este fin aglutinat iar apertura este o deschidere circulară sau ovală.

Ocurență: Valea Brodinei 6, Valea Dobra, Valea Moldoviței, Valea Putnei, Valea Sucevei 1 și 3, Voroneț.

***Subreophax* sp.**

Descriere: Test uniseriat, alungit, camerele globulare ușor crescătoare, suturi depresate, textura rugoasă, apertura este o deschidere terminală simplă.

Ocurență: Straja Vest, Valea Boului, Valea Brodinei 2 și 3, Valea Putnei, Valea Suha.

Familia ASCHEMOCELLIDAE, Vyalov, 1966

Genul Arthrodendron Ulrich, 1904

Arthrodendron carpathicum

(Neagu, 1964)

pl. 4, fig. 10

Aschemocella carpathica Neagu. 1964, p. 582, pl. 27, fig. 1-3.

Aschemocella carpathica (Neagu, 1964) - Kaminski & Gradstein, 2005, p. 225, pl. 38, fig. 1-5.

Descriere: Test foarte mare monofiliform, articulat, ramificat, cu camere care cresc gradual. Aperturi circulare situate pe gâturi mici la capătul camerelor terminale.

Ocurență: Valea Brodinei 2 și 3, Valea Sucevei 1 și 3.

Arthrodendron diffusum Ulrich, 1904

Arthrodendron diffusum Ulrich, 1904, p. 138, pl. 14, fig. 1-3. - Kaminski et al., 2008, p. 108, pl. 1, figs. 1-4.

Aschemonella carpathica Neagu, 1964, p. 582, text fig. 4, figs. 1-6.

Aschemocella carpathica (Neagu). - Kaminski & Gradstein, 2005, p. 224, pl. 38, fig. 1-5.

Descriere: Test de dimensiuni mari ramificat, camere robuste sub forma unui sac. Perete de la mediu la grosier aglutinat.

Ocurență: Valea Putnei.

Arthrodendron grandis

(Grzybowski, 1898)

Reophax grandis Grzybowski, 1898, p. 277, pl. 10, fig. 13a-15.

Aschemocella grandis (Grzybowski) - Kaminski & Geroch, 1993, p. 249, pl. 2, fig. 8-10.

Aschemocella grandis (Grzybowski) - Kaminski & Gradstein, 2005, p. 227, pl. 39, fig. 1-8b.

Arthrodendron grandis (Neagu). - Kaminski et al., 2008, p. 108.

Descriere: Test de dimensiuni foarte mari alcătuit din serii ramificate de camere robuste de forma unui sac, care se acoperă una pe cealaltă aproape de periferie. Peretele este de la fin la grosier aglutinat iar apertura este rotundă și poate fi înconjurată de o buză

Ocurență: Valea Moldoviței, Valea Sucevei 1 și 3.

***Arthrodendron* sp.**

Descriere: Fragmente comprimate de dimensiuni foarte mari care provin probabil din camere ovoidale. Peretele este grosier aglutinat.

Ocurență: Valea Suha, Valea Brodinei 2, 3 și 6, Valea Moldoviței, Valea Putnei.

Genul *Kalamopsis* de Folin, 1883

Kalamopsis grzybowski

(Dylažanka, 1923)

pl. 4, fig. 11; pl. 10, fig. 6

Hyperammina grzybowski Dylažanka, 1923, p. 65.

Kalamopsis grzybowski (Dylažanka). - Kaminski & Gradstein, 2005, p. 252, pl. 47, fig. 1-12

Descriere: Test cilindric, foarte frecvent aplatizat, alcătuit din camere tubulare lungi, partiționate de septe interioare. Peretele este subțire, fin aglutinat iar în zonele cu constricții pare mult mai subțire. Apertura este situată la capătul tubului.

Ocurență: Grozăvești, Palma, Valea Brodinei 2 și 3, Valea Dobra, Valea Putnei, Valea Sucevei 1, 2 și 3, Valea Suha, Valea Moldoviței.

Familia REOPHACIDAE Cushman, 1927

Genul *Reophax* de Montfort, 1808

***Reophax duplex* Grzybowski, 1896**

pl. 10, fig. 8; pl. 17, fig. 2

Reophax duplex Grzybowski, 1896, p. 276, pl. 8, fig. 23-24 (fide Ellis & Messina, 1942-2010).

Reophax duplex Grzybowski, 1896 - Kaminski & Gradstein, 2005, p. 266, pl. 51, fig. 1-9.

Descriere: Test de dimensiuni mici, format din 2 camere globulare aproape egale ca dimensiune. Peretele este grosier aglutinat, cu particule angulare, predominant cuarțoase. Apertura este o deschidere circulară simplă.

Ocurență: Grozăvești, Palma, Valea Brodinei 2, 3 și 6, Valea Humorului, Valea Moldoviței, Valea Putnei, Valea Sucevei 1, 2 și 3, Valea Suha, Voroneț.

***Reophax globosus* Stiler, 1968**

pl. 2, fig. 3; pl. 4, fig. 12; pl. 10, fig. 7;

pl. 11, fig. 14; pl. 19, fig. 1

Reophax globosus Stiler, 1968, p. 43, pl. 1, fig. 12 (fide Ellis & Messina, 1942-2010).

Reophax globosus Stiler, 1968 - Kaminski & Gradstein, 2005, p. 269, pl. 52, fig. 1-6.

Descriere: Test liber, alungit, uniseriat, uneori ușor arcuit, format din aproximativ 4 camere; camerele sunt globulare și cresc treptat în dimensiune; suturi incizate; peretele grosier aglutinat, suprafața rugoasă; apertura terminală la capătul unui gât scurt.

Ocurență: Palma, Valea Brodinei 2 și 3, Valea Moldoviței, Valea Putnei, Valea Sucevei 1 și 3, Valea Suha.

***Reophax pilulifer* Brady, 1884**

pl. 8, fig. 6-7, pl. 19, fig. 2.

Reophax pilulifer Brady, 1884, p. 292, pl. 30, fig. 18-20.

Reophax pilulifer Brady, 1884 - Kaminski & Gradstein, 2005, p. 273, pl. 53, fig. 1a-9.

Descriere: Test de dimensiuni medii și mari, uniseriat, drept sau ușor curbat, până la 5 camere în stadiul adult, camere globulare, care cresc în marime pe măsură ce sunt adăugate, suturi depresate, perete granular grosier, textură rugoasă, apertura este o deschidere terminală simplă la capătul unui tub scurt.

Ocurență: Valea Brodinei 2, 3 și 6, Valea Dobra, Valea Humorului, Valea

Moldoviței, Valea Putnei, Valea Sucevei 1 și 3, Valea Suha, Voroneț.

Reophax subfusiformis Erland, 1933
Reophax subfusiformis Erland, 1933, p.74, pl. 2, fig. 16-19 (fide Ellis & Messina, 1942-2010).

Reophax subfusiformis Erland, 1933 - Kaminski & Gradstein, 2005, p. 275, pl. 54, fig. 1-8.

Descriere: Testul este alcătuit din 2-4 camere fusiforme, conice, cu ultima cameră de dimensiuni mari, aranjate drept sau ușor arcuit cu suturi depresate. Apertura este terminală la capătul unei porțiuni înguste. Peretele este format din granule slab sortate.

Ocurență: Palma, Valea Brodinei 2, 3 și 6, Valea Moldoviței, Valea Putnei, Valea Sucevei 1 și 3, Valea Suha.

***Reophax* sp.**

Descriere: Test uniseriat, elongat, multilocular.

Ocurență: Valea Brodinei 2, 3 și 6, Valea Dobra, Valea Humorului, Valea Putnei, Valea Moldoviței, Valea Sucevei 1 și 3.

Familia HORMOSINIDAE Haeckel, 1894

Subfamilia HORMOSININAE Haeckel, 1894

Genul *Hormosina* Brady, 1879

Hormosina trinitatensis Cushman & Renz, 1946, 1968

pl. 2, fig. 6; pl. 17, fig. 3-5

Hormosina globulifera Brady var. *trinitatensis* Cushman & Renz, 1946, p. 14, pl. 1, fig. 15-19.

Hormosina trinitatensis Cushman & Renz, 1946 - Bak, 2004, p. 47, pl. 6, fig. 6.

Hormosina trinitatensis Cushman & Renz, 1946 - Kaminski & Gradstein, 2005, p. 242, pl. 43, fig. 1-11.

Descriere: Test alcătuit din 2-6 camere globulare care se acoperă una pe cealaltă și cresc în dimensiune încet.

Peretele este fin aglutinat iar apertura este mică și situată pe un gât mic.

Ocurență: Valea Brodinei 1, 2, 3 și 6, Valea Moldoviței, Valea Putnei, Valea Sucevei 1, 2 și 3, Valea Suha.

Hormosina velascoensis

(Cushman, 1926)

pl. 2, fig. 4-5; pl. 10, fig. 5; pl. 15, fig. 8
Nodosinella velascoensis Cushman, 1926, p. 583, pl. 20, fig. 9.

Hormosina velascoensis (Cushman). - Kaminski & Gradstein, 2005, p. 243, pl. 44, fig. 1-8.

Descriere: Test robust alcătuit din circa 5 camere cilindrice și ușor fusiforme aplatizate. Peretele este fin aglutinat iar apertura este o deschidere circulară

Ocurență: Valea Brodinei 2, 3 și 6, Valea Humorului, Valea Moldoviței, Valea Putnei, Valea Sucevei 1, 2 și 3, Valea Suha, Voroneț.

***Hormosina* sp.**

Descriere. Două camere aranjate rectilinear, perete fin mediu aglutinat.

Ocurență: Grozăvești, Valea Brodinei 1, 2 și 3, Valea Sucevei 2 și 3, Valea Suha.

Genul *Pseudonodosinella* Saidova, 1970

Pseudonodosinella elongata

(Grzybowski, 1898)

pl. 7, fig. 4

Reophax elongata Grzybowski, 1898, p. 239-323, pl. 3, fig. 2

Reophax elongatus Grzybowski, 1898 - Geroch & Nowak, 1984, p.227, pl.1, fig.5, 6.

Pseudonodosinella elongata Grzybowski, 1898, - Kaminski & Gradstein, 2005, p. 257, pl. 48, fig. 1-9.

Descriere: Test uniseriat alcătuit din camere mari, alungite sau piriforme. Peretele este de la fin la grosier aglutinat iar apertura este terminală rotundă. Este identificată deseori sub formă de fragmente.

Ocurență: Grozăvești, Palma, Rusca, Valea Brodinei 2 și 3, Valea Dobra, Valea Moldoviței, Valea Putnei, Valea Sucevei 3, Valea Suha, Voroneț.

Pseudonodosinella nodulosa
(Brady, 1879) emend. Loeblich &
Tappan, 1987

Reophax nodulosa Brady, 1879, p. 52, pl. 4, fig. 7-8

Pseudonodosinella nodulosa Brady, 1879, - Kaminski & Gradstein, 2005, p. 261, pl. 49, fig. 1-9.

Descriere: Test uniseriat alcătuit din până la 13 camere, globulare care se acoperă una pe cealaltă, cu interiorul piriform și cu suturi incizate. Testul este de la fin la mediu aglutinat iar apertura este o deschidere circulară.

Ocurență: Valea Moldoviței, Valea Sucevei 3.

Familia LITUOTUBIDAE Loeblich & Tappan, 1984

Genul *Lituotuba* Rhumbler, 1895

Lituotuba lituiformis (Brady, 1879)

pl. 2, fig. 7; pl. 10, fig. 10; pl. 12, fig. 1;
pl. 17, fig. 6

Trochammina lituiformis Brady, 1879, p. 59, pl. 5, fig. 16.

Lituotuba lituiformis (Brady). - Kaminski & Gradstein, 2005, p. 287, pl. 58, fig. 1-8.

Descriere: Test liber cu prolocusul urmat de un tub înrulat glomospiral sau streptospiral neregulat în 2-3 ture după care este urmat de o pare neînrlată și rectiliniară neregulată. Partea înrlată este inițial nedivizată după care sunt dezvoltate camere care prezintă constricții. Peretele este fin aglutinat iar apertura este situată la capătul deschis al tubului.

Ocurență: Valea Brodinei 2, 3 și 6, Valea Moldoviței, Valea Putnei, Valea Sucevei 1 și 3, Valea Suha, Voroneț.

Genul *Paratrochamminoides*
Soliman, 1972

Paratrochamminoides acervulatus
(Grzybowski, 1896)

pl. 2, fig. 8; pl. 14, fig. 4; pl. 17, fig. 9-10
Trochammina acervulatus Grzybowski, 1896, p. 274, pl. 9, fig. 4.

Paratrochamminoides acervulatus
(Grzybowski) - Kaminski & Kuhnt, 2004, p. 280

Paratrochamminoides acervulatus
(Grzybowski) - Kaminski & Gradstein, 2005, p. 291, pl. 59, fig. 1a-7b.

Descriere: Test oval, înrulat trohospiral în cca. 4 ture având camere mici, sferice, cu suturi adâncite, care cresc încet în dimensiune ultima tură fiind alcătuită din 8 sau mai multe camere. Peretele este fin aglutinat iar apertura este interiomarginală rotundă.

Ocurență: Valea Brodinei 2, 3 și 6, Valea Putnei, Valea Sucevei 2 și 3, Valea Suha, Voroneț.

Paratrochamminoides deflexiformis
(Noth, 1912) emend. Kaminski & Gradstein, 2005

pl. 7, fig. 6; pl. 10, fig. 12.

Trochammina deflexiformis Noth, 1912, p. 14, pl. 1, fig. 10.

Paratrochamminoides deflexiformis (Noth). - Kaminski & Gradstein, 2005, p. 293, pl. 60, fig. 1a-4b.

Descriere: Test de dimensiuni mari, oval, cu înrlare de tip glomospiral cu cca. 3 ture și ombilic deschis. Camerele sunt subsferice și cresc încet în dimensiune cu un număr de 8-10 în ultima tură. Pretele este fin aglutinat.

Ocurență: Valea Brodinei 1, 2, 3 și 6, Valea Dobra, Valea Moldoviței, Valea Putnei, Valea Sucevei 2 și 3, Valea Suha, Voroneț.

Paratrochamminoides gorayskii

(Grzybowski, 1898), emend. Kaminski & Geroch, 1993

Ammodiscus gorayskii Grzybowski, 1898, p. 283, pl. 11, fig. 5.

Paratrochamminoides gorayskii
(Grzybowski) - Kaminski & Geroch, 1993, 255, pl. 5, fig. 8a-d.

Paratrochamminoides gorayskii (Grzybowski) - Kaminski & Kuhnt, 2004, p. 281.

Paratrochamminoides gorayskii (Grzybowski) - Kaminski & Gradstein, 2005, p. 297, pl. 61, fig. 1a-5.

Descriere: Test oval, de dimensiuni mici cu înrulare în trei planuri și camere alungite slab definite. Peretele este de la fin la grosier aglutinat.

Ocurență: Valea Brodinei 3, Valea Sucevei 1 și 3, Valea Putnei.

Paratrochamminoides

heteromorphus (Grzybowski, 1898)

pl. 7, fig. 7; pl. 12, fig. 2-3; pl. 15, fig. 9; pl. 17, fig. 7-8

Trochammina heteromorpha Grzybowski, 1898, p. 286, pl. 11, fig. 16.

Paratrochamminoides heteromorphus (Grzybowski) - Kaminski & Geroch, 1993, p. 258, pl. 7, fig. 3a,b.

Paratrochamminoides heteromorphus (Grzybowski) - Kaminski & Kuhnt, 2004, p. 281.

Paratrochamminoides heteromorphus (Grzybowski) - Kaminski & Gradstein, 2005, p. 298, pl. 62, fig. 1-10.

Descriere: Test înrulat în 2-3 ture inițial glomospiral după care devine trohispiral neregulat. Camerele sunt de dimensiuni mari în porțiunea neînrulată după care cresc în lățime devenind tubulare. Peretele este fin aglutinat iar apertura este rotundă, situată la capătul deschis al tubului.

Ocurență: Palma, Rusca, Straja Vest, Valea Brodinei 1, 2, 3 și 6, Valea Dobra, Valea Humorului, Valea Putnei, Valea Sucevei 1, 2 și 3, Valea Suha, Voroneț, Valea Moldoviței.

Paratrochamminoides mitratus

(Grzybowski, 1901)

pl. 7, fig. 5; pl. 10, fig. 11

Trochammina mitrata Grzybowski, 1901, p.280, pl. 8, fig. 3.

Paratrochamminoides mitratus (Grzybowski) - Kaminski & Geroch, 1993, p. 278, pl. 16, fig. 4a,b.

Paratrochamminoides mitratus (Grzybowski) - Kaminski & Kuhnt, 2004, p. 282

Paratrochamminoides mitratus (Grzybowski) - Kaminski & Gradstein, 2005, p.302, pl. 63, fig. 1a-7.

Descriere: Test înrulat streptospiral alcătuit din camere sferice cu suturi depresionare. Înrularea este trilocolină cu o schimbare bruscă a planului înrulării între ture. Peretele este mediu aglutinat iar apertura este o deschidere circulară la capătul tubului.

Ocurență: Rusca, Valea Brodinei 2 și 3, Valea Moldoviței, Valea Putnei, Valea Sucevei 1 și 3, Valea Suha.

Paratrochamminoides olszewskii

(Grzybowski, 1898)

Trochammina olszewskii Grzybowski, 1898, p. 298, pl. 11, fig. 6.

Paratrochamminoides olszewskii (Grzybowski) - Kaminski & Geroch, 1993, p. 257, pl. 7, fig. 1a-2b.

Paratrochamminoides olszewskii (Grzybowski) - Kaminski & Kuhnt, 2004, p. 282.

Paratrochamminoides olszewskii (Grzybowski) - Kaminski & Gradstein, 2005, p. 305, pl. 64, fig. 1a-7.

Descriere: Test oval cu înrulare de tip glomospiral cu 2-3 ture vizibile și proloculus globular urmat de un tub nedivizat care în tura exterioară poate prezenta constricții. Peretele este fin aglutinat iar apertura este situată la capătul tubului.

Ocurență: Valea Moldoviței, Valea Sucevei 1, 2 și 3, Rusca, Straja Vest, Valea Brodinei 1, 2, 3 și 6, Valea Dobra, Valea Putnei, Valea Suha, Voroneț.

***Paratrochamminoides* sp.**

pl. 12, fig. 4; pl. 14, fig. 5;

pl. 17, fig. 11-12

Descriere: Test înrulat streptospiral sau trochospiral, cu schimbări bruște ale planului înrulării, perete fin la mediu aglutinat.

Ocurență: Palma, Rusca, Straja Vest, Valea Brodinei 1, Valea Brodinei 2, Valea Brodinei 3, Valea Brodinei 6, Valea Dobra, Valea Humorului, Valea Moldoviței, Valea Putnei, Valea Sucevei 2 și 3, Valea Suha, Voroneț.

Genul *Conglophragmium* Bermúdez & Rivero, 1963

Conglophragmium irregularis

(White, 1928)

pl. 12 fig. 5

Trochamminoides irregularis White, 1928, p. 307, pl. 42, fig. 1.

Conglophragmium irregularis (White). - Kaminski & Gradstein, 2005, p. 286, pl. 57, fig. 1-6.

Descriere: Test de dimensiuni mari cu înrulare streptosiprală alcătuit din camere mari și rotunde uneori aplatizate. Sutura sunt distincte, peretele este de la mediu la fin aglutinat iar apertura este un arc interiomarginal.

Ocurență: Palma, Valea Putnei, Valea Suha, Valea Sucevei 1 și 3.

Familia TROCHAMMINOIDEAE Haynes & Nwabufo-Ene, 1998

Genul *Trochamminoides* Cushman, 1910

Trochamminoides dubius

(Grzybowski, 1901)

Ammodiscus dubius Grzybowski, 1901, p. 274, pl. 8, fig. 12, 14.

Trochamminoides dubius (Grzybowski) - Kaminski & Geroch, 1993, p. 275, pl. 15, fig. 9a, b.

Trochamminoides dubius (Grzybowski) - Kuhnt, 1990, pl. 5, fig. 11.

Trochamminoides dubius (Grzybowski) - Kaminski & Gradstein, 2005, p. 309, pl. 65, fig. 1a-8.

Descriere: Test înrulat planspiral ușor glomospiral alcătuit din circa 4 ture, ultima tură fiind alcătuită din 4 și jumătate camere tubulare. Peretele

este fin aglutinat iar apertura este situată la capătul deschis al tubului.

Ocurență: Valea Brodinei 2, Valea Sucevei 1 și 3, Valea Suha.

Trochamminoides grzybowskii

Kaminski & Geroch, 1992

pl. 15, fig. 10

Trochammina elegans Grzybowski, 1898, p. 287, pl. 11, fig. 10.

Trochamminoides grzybowskii Kaminski & Geroch, 1992, p. 64, fig. 1a, b.

Trochamminoides grzybowskii Kaminski & Geroch, 1992 - Kaminski & Gradstein, 2005, p. 311, pl. 66, fig. 1a-4.

Descriere: Test înrulat planspiral ușor glomospiral, în 3 ture, de dimensiuni mari, oval, alcătuit din un număr ridicat de camere care cresc încet în dimensiuni. Ultima tură este alcătuită din circa 15 camere. Peretele este de la fin la mediu aglutinat iar apertura este mică și situată desupra bazei ultimei camere.

Ocurență: Valea Brodinei 2, Valea Putnei, Voroneț.

Trochamminoides proteus

(Karrer, 1866)

pl. 4, fig. 14.

Trochammina proteus Karrer, 1866, pl. 1, fig. 8.

Trochamminoides proteus (Karrer). - White, 1928, p. 308, pl. 42, fig. 2.

Trochamminoides proteus (Karrer). - Kaminski & Gradstein, 2005, p. 317, pl. 67, fig. 1a-5b.

Descriere: Test oval, comprimat lateral, înrulat iregular în porțiunea inițială și aproape planspiral în ultima porțiune. Camerele inițiale sunt nedivizate după care, în porțiunea finală, devin globulare. Peretele este fin aglutinat iar apertura este interiomarginală sub forma unui arc larg.

Ocurență: Valea Brodinei 2, Valea Moldoviței, Valea Putnei, Valea Sucevei 1 și 3.

Trochamminoides subcoronatus

(Grzybowski, 1896)

pl. 4, fig. 13; pl. 8, fig. 9; pl. 12, fig. 6-7;
pl. 13, fig. 13; pl. 14, fig. 6; pl. 17, fig. 14
Trochammina subcoronata Grzybowski,
1896, p. 283-284, pl. 9, fig. 3a-c.

Trochamminoides subcoronatus
(Grzybowski) - Kaminski, et al., 1988, p.
192, pl. 4, fig. 19.

Trochamminoides subcoronatus
(Grzybowski) - Kaminski & Gradstein, 2005,
p. 319, pl. 67, fig. 1a-6.

Descriere: Test înrulat planspiral cu
circa 2 ture, ultima fiind alcătuită din 5-7
camere sub formă de sac. Peretele este
fin aglutinat iar apertura este greu de
distins.

Ocurență: Grozăvești, Palma, Rusca,
Straja Vest, Valea Brodinei 1, 2, 3 și 6,
Valea Dobra, Valea Moldoviței, Valea
Putnei, Valea Sucevei 1, 2 și 3, Valea
Suha, Voroneț.

Trochamminoides variolarius

(Grzybowski, 1898)

pl. 2, fig. 9; pl. 10, fig. 13

Trochammina variolaria Grzybowski, 1898,
p. 288, pl. 11, fig. 15.

Trochamminoides variolarius Grzybowski -
Kaminski & Geroch, 1993, pl. 9, fig. 5a, b.

Trochamminoides variolarius Grzybowski -
Rögl, 1995, p. 262, pl. 2, fig. 11-14.

Trochamminoides variolarius Grzybowski -
Kaminski & Gradstein, 2005, p. 322, pl. 69,
fig. 1a-8.

Descriere: Test aplatizat, înrulat
planspiral ușor trohospiral, de
dimensiuni mici, alcătuit din 2 ture
ultima fiind alcătuită din 4 camere, cu
perete fin aglutinat.

Ocurență: Palma, Rusca, Straja Vest,
Valea Brodinei 1, 2, 3 și 6, Valea
Dobra, Valea Humorului, Valea
Moldoviței, Valea Putnei, Valea Sucevei
1, 2 și 3, Valea Suha, Voroneț.

***Trochamminoides* sp.**

pl. 17, fig. 13

Descriere: Test înrulat planspiral ușor
glomospiral, cu circa 2 ture, ultimul fiind

alcătuit din aproximativ 8-10 camere și
perete de la fin la mediu aglutinat și
apertură greu distinctibilă.

Ocurență: Grozăvești, Valea Brodinei 2
și 3, Valea Moldoviței, Valea Putnei,
Valea Sucevei 2 și 3, Valea Suha.

Familia HAPLOPHRAGMOIDIDAE

Maync, 1952

Genul *Haplophragmoides* Cushman,
1910

Haplophragmoides excavatus

Cushman & Waters, 1927

pl. 8, fig. 8

Haplophragmium excavatus Cushman &
Waters, 1927, p. 82, pl. 10, fig. 3a,b.

Haplophragmoides horridus (Grzybowski) -
Geroch, 1993, p. 318, pl. 15, figs 6-8.

Haplophragmoides excavatus Cushman &
Waters, 1927 - Kaminski & Gradstein, 2005,
p. 362, pl. 82, fig. 1a-7.

Descriere: Test planspiral, aplatizat cu
o periferie acută, evolut, cu 2-3 ture,
ultimul tur fiind alcătuit din 9-12 camere,
acestea fiind în porțiunea centrală
depresionare. Peretele este de la fin la
mediu aglutinat iar apertura este o fantă
interiomarginală, de cele mai multe ori
nedistinctibilă.

Ocurență: Valea Putnei.

Haplophragmoides horridus

(Grzybowski, 1901)

Haplophragmium horridum Grzybowski,
1901, p. 270, pl. 7, fig. 12.

Haplophragmoides horridus (Grzybowski) -
Geroch, 1993, p. 318, pl. 15, figs 6-8.

Haplophragmoides horridus (Grzybowski) -
Kaminski & Gradstein, 2005, p. 349, pl. 77,
figs 1a-6.

Descriere: Test de dimensiuni mari,
planspiral, involut și aplatizat, alcătuit
din 4 camere triunghiulare și jumătate
în ultima tură, ultima cameră fiind
distinctivă și de dimensiune mare față
de celelalte. Peretele este de la fin la
mediu aglutinat iar apertura este interio-
marginală

Ocurență: Grozăvești, Rusca, Valea Brodinei 1, 2, 3 și 6, Valea Dobra, Valea Moldoviței, Valea Putnei, Valea Sucevei 3, Voroneț.

Haplophragmoides kirki

Wickenden, 1932

pl. 2, fig. 10; pl. 14, fig. 7.

Haplophragmoides kirki Wickenden, 1932, p. 85, pl. 1, fig. 1.

Haplophragmoides kirki Wickenden. - Kaminski & Gradstein, 2005, p. 351, pl. 78, fig. 1a-6b.

Descriere: Test de dimensiuni mici, planspiral, involut alcătuit din camere triunghiulare ușor lobate, ultima tură fiind alcătuită din 4 și ½ camere. Peretele este fin aglutinat iar apertura este o fantă largă cu o buză subțire, situată la baza ultimei camere.

Ocurență: Valea Brodinei 3, Valea Moldoviței, Valea Sucevei 1 și 3.

Haplophragmoides porrectus

Maslakova, 1955

Haplophragmoides porrectus Maslakova, 1955, p. 47-48, pl. 3, fig. 5-6.

Haplophragmoides porrectus Maslakova, 1955 - Kaminski et al., 1988, p. 217, pl. 5, fig. 7-8.

Haplophragmoides porrectus Maslakova, 1955 - Kaminski & Gradstein, 2005, p. 354, pl. 79, fig. 1a-6.

Descriere: Test de dimensiuni mici, planspiral, alungit și alcătuit din două ture, în prima tură camerele fiind de dimensiuni mai mici comparativ cu cele din a doua tură. Ultimul tur cuprinde 6 camere triunghiulare, peretele este fin aglutinat iar apertura este o fantă situată la baza ultimei camere.

Ocurență: Valea Moldoviței, Valea Sucevei 3, Valea Brodinei 3.

Haplophragmoides stomatus

(Grzybowski, 1898) emend Kaminski & Geroch, 1993

Trochammina stomata Grzybowski, 1898, p. 290, pl. 11, fig. 26-27.

Haplophragmoides glabra Kaminski et al., 1988, p. 217, pl. 5, fig. 3-4.

Haplophragmoides porrectus Maslakova, 1955 - Kaminski et al., 1988, p. 217, pl. 5, fig. 7-8.

Haplophragmoides stomatus Grzybowski, 1898 - Kaminski & Gradstein, 2005, p. 357, pl. 80, fig. 1a-6b.

Descriere: Test planspiral, alungit, circular și aplatizat lateral alcătuit din camere triunghiulare cu aproximativ 8 camere în ultima tură, ultima având o latură aperturala mare. Peretele este fin aglutinat iar apertura este o fantă interiomarginală.

Ocurență: Grozăvești, Valea Brodinei 3 și 6, Valea Moldoviței, Valea Putnei, Valea Sucevei 3, Valea Suha.

Haplophragmoides walteri

(Grzybowski, 1989)

pl. 14, fig. 8

Trochammina walteri Grzybowski, 1898, p. 290, pl. 11, fig. 31.

Haplophragmoides walteri (Grzybowski) - Kaminski & Geroch, 1993, p. 263, pl. 10, figs. 3a-7c, p. 309, pl. 10, fig. 3a, b, c.

Haplophragmoides cf. walteri (Grzybowski) - Moullade et al., 1988, p. 364, pl. 8, fig. 7.

Haplophragmoides cf. walteri (Grzybowski) - Kuhnt, 1990, p. 314, pl. 4, fig. 10-12.

Haplophragmoides cf. walteri (Grzybowski) - Coccioni et al., 1995, p. 144, pl. 2, fig. 16.

Haplophragmoides walteri Grzybowski, 1898 - Kaminski & Gradstein, 2005, p. 365, pl. 83, fig. 1-6.

Descriere: Test planspiral, circular cu o periferie acută și înrulare involută, și alcătuit din camere triunghiulare, în ultimul tur fiind 8-9. Peretele este fin aglutinat.

Ocurență: Grozăvești, Valea Brodinei 1, 3 și 6, Valea Dobra, Valea Moldoviței, Valea Putnei, Valea Sucevei 2 și 3, Valea Suha, Voroneț.

Haplophragmoides parvulus

(Blaicher, 1961)

Haplophragmoides parvulus (Blaicher, 1961) - Golonka & Waskowska, 2011, p. 41, pl. 1, fig. 1-10.

Descriere: Test aplatizat, de dimensiuni mici, planspiral involut, cu o periferie acută, oval, cu circa 4-4½ camere în ultima tură. Camerele sunt triunghiulare și cresc rapid în dimensiune. Peretele este fin aglutinat iar apertura este situată la baza ultimei camere.

Ocurență: Valea Brodinei 3.

***Haplophragmoides* sp.**

Descriere: Test planspiral, peretele fin aglutinat, camerele crescând în dimensiuni pe măsură ce sunt adăugate.

Ocurență: Grozăvești, Rusca, Valea Boului, Valea Brodinei 1, 3 și 6, Valea Dobra, Valea Humorului, Valea Moldoviței, Valea Putnei, Valea Sucevei 3, Valea Suha.

Familia SPHAERAMMINIDAE

Cushman, 1933

Subfamilia

PRAESPHAERAMMININAE Kaminski & Mikhalevich, 2004

Genul *Praesphaerammina* Kaminski & Filipescu, 2000

Praesphaerammina subgaleata

(Vašíček, 1947)

pl. 15, fig. 11; pl. 17, fig. 15; pl. 19, fig. 3
Sphaerammina subgaleata Vašíček, 1947, pl. 1, fig. 15.

Praesphaerammina subgaleata (Vašíček)-Kaminski & Filipescu, 2000, p. 355, pl. 1, fig 1-6; pl. 2, fig 1-7.

Descriere: Test subsferic, fin aglutinat; ultima cameră acoperă aproximativ 60% din camerele anterioare; apertura interioareală-areală, ovată cu o buză subțire.

Ocurență: Valea Dobra, Valea Humorului, Valea Moldoviței, Valea Putnei, Valea Sucevei 3, Valea Brodinei 3, Voroneț.

Familia LITUOLIDAE de Blainville, 1827

Subfamilia AMMOMARGINULINAE Podobina, 1978

Genul *Ammobaculites* Cushman, 1910

Ammobaculites agglutinans

(d'Orbigny, 1846)

pl. 15, fig. 12; pl. 19, fig. 4.

Spirolina agglutinans d'Orbigny, 1846, p. 137, pl. 7, fig. 10-12.

Ammobaculites agglutinans (d'Orbigny, 1846) - Baretstein, 1952, p. 318, pl. 1, fig. 1a-c (fide Ellis & Messina, 1942-2010); Kaminski & Gradstein, 2005, p. 324, pl. 70, fig. 1a-8.

Descriere: Test robust, inițial planspiral, ulterior uniseriat. Porțiunea planspirală este involută cu ombilic ușor depresat și 4-5 camere pe ultima tură. Porțiunea uniseriată este rectiliniară, circulară în secțiune transversală, cu aproximativ 4 camere. Apertura este terminală sub forma unei deschideri rotunjite.

Ocurență: Valea Brodinei 3 și 6, Valea Dobra, Rusca, Grozăvești, Voroneț, Valea Putnei, Valea Suha, Valea Sucevei 2, Palma.

***Ammobaculites* sp.**

Descriere: Test robust, inițial planspiral, ulterior uniseriat cu porțiunea uniseriată rectiliniară și apertură terminală greu distinctibilă.

Ocurență: Valea Brodinei 3, Valea Moldoviței, Valea Sucevei 1 și 3, Valea Suha.

Genul *Sculptobaculites* Loeblich & Tappan, 1984

Sculptobaculites barri

Beckmann, 1991

Sculptobaculites barri Beckmann, 1991, p. 823, pl. 1, fig. 6-9

Sculptobaculites barri Beckmann - Kaminski & Gradstein, 2005, p. 375, pl. 86, fig. 1-8.

Descriere: Test robust, inițial plan-spiral, ulterior uniserial cu porțiunea planspirală alcătuită din 2½ ture cu 8-11 camere. Periferie rotunjită, perete de la fin la grosier aglutinat.

Ocurență: Valea Putnei, Valea Sucevei 1.

Genul *Eratidus* Saidova, 1975

Eratidus gerochi

Kaminski & Gradstein 2005

Eratidus gerochi Kaminski & Gradstein 2005, p. 341, pl. 74, fig. 1a-11.

Descriere: Test de dimensiuni mici, cu perete fin aglutinat, înrulat planspiral în partea inițială (6-9 camere) după care devine uniserial (cca. 7 camere), cu periferie acută. Partea uniserială este mai îngustă în comparație cu diametrul înrulării, apertura părții planspirale este localizată la baza ultimei camere, în ultimele 3 camere din partea planspirală apertura migrează spre partea terminală rezultând într-o apertură suplimentară, în partea uniserială apertura este terminală și localizată central.

Ocurență: Valea Brodinei 3, Valea Brodinei 6.

Familia AMMOSPHAEROIDINIDAE

Cushman, 1927

Subfamilia

AMMOSPHAEROIDININAE Cushman, 1927

Genul *Ammosphaeroidina* Cushman, 1910

Ammosphaeroidina

pseudopauciloculata (Mjatluk, 1966)
pl. 12, fig. 8; pl. 13, fig. 14

Cystamminella pseudopauciloculata
Mjatluk, 1966, p. 246, pl. 1, figs. 5-7, pl. 2, fig. 6, pl. 3, fig. 3.

Ammosphaeroidina pseudopauciloculata
(Mjatluk). - Kaminski et al. 1988, p. 193, pl. 8, fig 3-5.

Ammosphaeroidina pseudopauciloculata
(Mjatluk). - Kaminski & Gradstein, 2005, p. 376, pl. 87a, fig. 1a-5; pl. 87b, fig. 1a-10

Descriere: Test înrulat streptospiral, involut, cu 3 camere sferice în ultimul tur, camere care se acoperă una pe cealaltă, uneori camera centrală fiind vizibilă. Peretele este fin aglutinat iar apertura este o fantă bazală.

Ocurență: Valea Brodinei 1, 2, 3 și 6, Valea Sucevei 1, 2 și 3, Palma, Straja Vest, Valea Dobra, Valea Humorului, Valea Moldoviței, Valea Putnei, Valea Suha, Voroneț.

Ammosphaeroidina sp.

Descriere: Test înrulat streptospiral cu 3 camere în ultimul tur care se acoperă una pe cealaltă.

Ocurență: Valea Humorului, Valea Boului.

Genul *Saccamminoides* Geroch, 1955

Saccamminoides carpathicus

Geroch, 1955

pl. 8, fig. 5; pl. 15, fig. 7.

Saccamminoides carpathicus Geroch, 1955, p. 54, 57, 60.

Saccamminoides carpathicus Geroch - Waskowska, 2011, p. 332, fig 1-2.

Descriere: Test de dimensiuni mari înrulat trohospiral/streptospiral alcătuit din 4 camere care cresc rapid în dimensiune. Peretele este grosier aglutinat iar apertura areală rotunjită.

Ocurență: Straja Vest, Valea Brodinei 6, Valea Dobra, Valea Putnei, Voroneț.

Familia AMMOSPHAEROIDINIDAE

Cushman, 1927

Subfamilia RECURVOIDINAE

Alekseychik-Mitskevich, 1937

Genul *Budashevaella* Loeblich & Tappan, 1964

Budashevaella multicamerata

(Voloshinova, 1961)

Circus multicamerata Voloshinova în Voloshinova & Budasheva, 1961, p. 201, pl. 7, fig. 6a-c, pl. 8, 1a-c.

Budashevaella multicamerata Voloshinova, 1961 - Kaminski & Gradstein, 2005, p. 386, pl. 90, fig. 1a-6b; Cicha et al., 1998, p. 86, pl. 3, fig. 14-16.

Descriere: Testul este de dimensiuni mari, cu periferia rotunjită cu suturi distincte. Înrularea este inițial streptospirală, apoi planspirală cu două ture vizibile la partea exterioară și peste 10 camere în ultima tură. Peretele este gros, mediu la fin aglutinat. Apertura este o fantă interiomarginală, de obicei nedistinctivă.

Ocurență: Valea Moldoviței, Valea Sucevei 3, Grozăvești, Valea Brodinei 3.

Budashevaella trinitatensis

(Cushman & Renz, 1946)

Haplophragmoides flagleri Cushman & Hedberg var. *trinitatensis*, Cushman & Renz, 1946, p. 18, pl. 2, fig. 2-3

Budashevaella trinitatensis Cushman & Renz, 1946 - Kaminski et al., 1988, p. 217, fig. 2a-b.

Budashevaella trinitatensis Cushman & Renz, 1946 - Kaminski & Gradstein, 2005, p. 390, pl. 91, fig. 1a-6b.

Descriere: Test involut sau slab evolut, cu o înrulare streptospirală inițial, după care devine planspirală, cu circa 6,5 camere în ultima tură. Peretele este fin aglutinat iar apertura este o fantă areală deasupra bazei ultimei camere, înconjurată de o limbă.

Ocurență: Grozăvești, Straja Vest, Valea Brodinei 3, Valea Putnei, Valea Sucevei 3, Valea Suha.

***Budashevaella* sp.**

pl. 19, fig. 5

Descriere: Test cu înrularea inițială streptospirală, apoi planspirală, parțial, evolut, cu 10-12 camere pe ultima tură, apertura la baza ultimei camere.

Ocurență: Valea Moldoviței.

Genul *Cribrostomoides* Cushman, 1910

Cribrostomoides subglobosus

(Cushman, 1910)

Lituola subglobosa Cushman, 1910, p. 253, fig. 162-164.

Cribrostomoides subglobosus (Cushman, 1910) - Jones et al., 1993, pl. 1, fig. 1-5.

Cribrostomoides subglobosus (Cushman, 1910) - Kaminski & Gradstein, 2005, p. 391, pl. 92, fig. 1-3.

Descriere: Test robust, globular, involut, înrulat streptospiral. Camerele cresc rapid în dimensiune, 5-6 camere pe ultima tură, ombilicul depresat, suturile drepte, ușor depresate. Peretele este grosier aglutinat iar apertura este ovală, sub formă de fantă interio-areală.

Ocurență: Valea Sucevei 1, Valea Sucevei 3.

Cribrostomoides trinitatensis

Cushman & Jarvis, 1928

Cribrostomoides trinitatensis Cushman & Jarvis, 1928, p. 91, pl. 12, fig. 12a-b.

Cribrostomoides trinitatensis Cushman & Jarvis, 1928 - Kaminski et al., 1988, p. 219, pl. 6, fig. 1a-2b.

Cribrostomoides trinitatensis Cushman & Jarvis, 1928 - Kaminski & Gradstein, 2005, p. 397, pl. 93, fig. 1a-7.

Descriere: Test globular, involut, înrulat planspiral, alcătuit din 6 camere în ultima tură. Peretele este de la mediu la fin aglutinat iar apertura este reprezentată de o serie de deschideri interiomarginale la baza ultimei camere.

Ocurență: Valea Sucevei 1, Valea Sucevei 3.

Genul *Recurvoidella* Uchio, 1960

Recurvoidella lamella

(Grzybowski, 1898) emend. Charnock & Jones, 1990

pl. 7, fig. 8

Trochammina lamella Grzybowski, 1898, p. 290, pl. 11, fig. 25.

Recurvoidella lamella (Grzybowski) - Charnock & Jones, 1990, p. 173, pl. 6, figs. 11-12; pl. 17, fig. 7.

Recurvoidella lamella Grzybowski, 1898 - Kaminski & Gradstein, 2005, p. 401, pl. 94, fig. 1a-3c.

Descriere: Test cu porțiunea inițială ușor streptospirală, după care devine planspiral și involut, alcătuit din 4-5 camere globulare, ombilic ușor concav. Peretele este de la fin la mediu aglutinat iar apertura este un arc alungit interiomarginal.

Ocurență: Valea Brodinei 6, Valea Sucevei 3, Grozăvești, Valea Putnei.

Genul *Recurvoides* Earland, 1934

***Recurvoides anormis* Mjatluk, 1970**
pl. 2, fig. 11-12; pl. 12, fig. 9

Recurvoides anormis Mjatluk, 1970, p. 84, pl. 18, fig. 4, pl. 19, fig. 1-4.

Recurvoides sp. 2 Mjatluk, 1970 - Kaminski et al., 1988, p. 219, pl. 6, fig. 10a-11b.

Recurvoides anormis Mjatluk, 1970, - Kaminski & Gradstein, 2005, p. 403, pl. 95, fig. 1a-7.

Descriere: Test de dimensiuni mari, parțial involut, streptospiral, alcătuit din camere de dimensiuni mari fiind vizibile cca. 6-7. Partea finală a testului (planspirală) este alcătuită din cca. 5 camere. Peretele este de la fin la grosier aglutinat iar apertura este o deschidere ovală poziționată areal.

Ocurență: Grozăvești, Palma, Rusca, Straja Vest, Valea Brodinei 1, 2, 3 și 6, Valea Dobra, Valea Moldoviței, Valea Putnei, Valea Sucevei 1 și 3, Valea Suha, Voroneț.

Recurvoides rectoseptus

(Grzybowski, 1896) emend. Kaminski & Gradstein, 2005

Cyclammina retrosepta Grzybowski, 1896, p. 284, pl. 9, fig. 7-8.

Recurvoides retroseptus Grzybowski, 1896 - Kaminski & Gradstein, 2005, p. 410, pl. fig. 1a-2b.

Descriere: Test de dimensiuni mici, înrulat streptospiral, comprimat lateral, cu vizibilă schimbare bruscă a înrulării, alcătuit din 5-6 camere ovale în jurul periferiei în partea planspirală finală. Peretele este de la mediu la grosier aglutinat iar apertura este o deschidere ovală situată în poziție interio-areală.

Ocurență: Valea Moldoviței, Valea Sucevei 3.

***Recurvoides walteri* (Grzybowski, 1898) emend. Mjatluk, 1970**
pl. 12, fig. 10

Haplophragmium walteri Grzybowski, 1898, p. 280, pl. 10, fig. 24.

Recurvoides walteri Grzybowski, 1989 - Kaminski & Gradstein, 2005, p. 418, pl. 100, fig. 1a-3c.

Descriere: Test rotunjit, streptospiral, uneori trochoidal, cu schimbare a direcției înrulării gradual, pe una din părți fiind vizibile o tură și jumătate, cu 8-11 camere în ultima tură. Peretele este de la mediu la grosier aglutinat iar apertura este o deschidere mică la baza ultimei camere în turele inițiale.

Ocurență: Grozăvești, Palma, Straja Vest, Valea Brodinei 1, 2, 3 și 6, Valea Dobra, Valea Moldoviței, Valea Putnei, Valea Sucevei 3, Valea Suha, Voroneț.

***Recurvoides* sp.**

pl. 10, fig. 14; pl. 13, fig. 15;
pl. 17, fig. 16.

Descriere: Test de dimensiuni medii spre mici, cu cinci-șapte camere ovale, strâns înrulate care dau formă sferică testului. Înrularea este streptospirală, suturile ușor depresate, peretele grosier, apertura este o fantă areală.

Ocurență: Grozăvești, Palma, Rusca, Straja Vest, Valea Brodinei 1, 2, 3 și 6, Valea Dobra, Valea Humorului, Valea Moldoviței, Valea Putnei, Valea Sucevei 1, 2 și 3, Valea Suha, Voroneț.

Genul *Thalmanammmina* Pokorný, 1951

Thalmanammmina subturbinata

(Grzybowski, 1898)

Haplophragmium subturbinatum

Grzybowski, 1898, p. 280, pl. 10, fig. 23 (fide Ellis & Messina, 1942-2010).

Thalmanammmina subturbinata (Grzybowski, 1898) - Kaminski & Gradstein, 2005, p. 419, pl. 101a, fig. 1-2, pl. 101b, fig. 1-3.

Descriere: Test subglobular cu înrulare streptospirală-thalmanaminiformă, cu 10-12 camere vizibile la exterior; înrularea pare centrată pe două axe ortogonale; câte trei camere sunt adăugate la fiecare schimbare de direcție a înrulării; suturile sunt slab vizibile. Peretele este fin aglutinat iar apertura este o deschidere mică la baza ultimei camere.

Ocurență: Valea Putnei, Valea Sucevei 3, Valea Suha.

Familia SPIROPLECTAMMINIDAE

Cushman, 1927

Subfamilia SPIROPLECTAMMININAE

Cushman, 1927

Genul *Spiroplectammina* Cushman, 1927

Spiroplectammina spectabilis

(Grzybowski, 1898) emend. Kaminski, 1984.

pl. 18, fig. 1-5; pl. 19, fig. 6-7

Spiroplecta spectabilis Grzybowski, 1898, p. 293, pl. 12, fig. 12.

Spiroplecta spectabilis Grzybowski, 1898, - Kaminski, 1984, p. 47-49, pl. 12, fig. 1-9, pl. 13, fig. 1-8

Spiroplectammina spectabilis Grzybowski, 1898 - Kaminski & Gradstein, 2005, p. 435, pl. 104, fig. 1a-6b.

Descriere: Test liber, inițial planspiral după care devine biseriat; la formele megalosferice, porțiunea planspirală este alcătuită din 4-7 camere care sunt de dimensiuni mai mari în comparație cu porțiunea biseriată; în partea biseriată camerele sunt de dimensiuni

mici și numeroase, putând ajunge la 36 în cazul formelor microsferice. Partea biseriată este romboidală în secțiune transversală, iar suturile camerelor sunt înclinate la circa 60 grade față de axa lungă. Marginile periferice sunt acute și pot fi carenate. Peretele este fin aglutinat iar apertura este o fantă interiomarginală.

Ocurență: Valea Brodinei 3 și 6, Valea Dobra, Valea Moldoviței, Valea Putnei, Valea Sucevei 3, Voroneț.

Spiroplectammina trinitatensis

Cushman & Renz, 1948

Spiroplectammina trinitatensis Cushman & Renz, 1948, p. 11, pl. 2, fig. 13-14.

Spiroplectammina trinitatensis Cushman & Renz, 1948, - Kaminski & Gradstein, 2005, p. 438, pl. 105, fig. 1a-7c.

Descriere: Caracteristici foarte similare cu cele pentru *S. spectabilis* diferențele fiind dimensiunile mai mari și disproporția grosimii de-a lungul liniei mediane, camerele sunt de dimensiuni mai mari iar suturile din partea biseriată sunt mai puternic incizate, marginea este mult mai neregulat dentată.

Ocurență: Valea Sucevei 3.

***Spiroplectammina* sp.**

Descriere: Test inițial planspiral după care devine biseriat, cu margine periferică acută, cu suturi relativ bine incizate.

Ocurență: Valea Boului, Valea Brodinei 1 și 3, Valea Moldoviței, Valea Putnei, Valea Sucevei 1 și 3, Valea Suha, Voroneț.

Genul *Spiroplectinella* Kiselman, 1972

***Spiroplectinella dentata* (Alth, 1850)**

pl. 2, fig. 13-14

Textularia dentata Alth, 1850, p. 262, pl. 13, fig. 13.

Spiroplectinella dentata (Alth). - Kaminski & Gradstein, 2005, p. 439, pl. 106, fig. 1a-8.

Descriere: Test cu porțiunea inițială planspirală după care devine biseriată,

având periferie dentată. Camerele sunt prezente în număr mare, porțiunea biseriată fiind alcătuită din 11 perechi de camere. Suturile camerelor sunt mult mai arcuite spre capătul distal. Peretele este aglutinat, cu ciment calcaros, iar apertura este fantiformă, cu poziție inferioară interiomarginală.

Ocurență: Rusca, Valea Dobra, Valea Putnei, Valea Sucevei 1.

Subfamilia VULVULININAE

Saidova, 1981

Genul *Vulvulina* d'Orbigny, 1826

Vulvulina advena Cushman, 1926

Vulvulina advena Cushman, 1926, p. 32, pl. 4, fig. 9

Vulvulina colei Cushman - Cushman, 1932, p. 84, pl. 10, fig. 21-22

Vulvulina advena Cushman - Ortiz et al., 2006, p. 109, pl. 2, fig. 9-12.

Descriere: Test alungit, camerele primare sunt spirale urmate de camere aranjate biseriat. Testul este mai larg în stadiul inițial. Marginile sunt curbate, suturi distincte și perete mediu aglutinat.

Ocurență: Valea Sucevei 3.

***Vulvulina* sp.**

Descriere: Test ușor arcuit cu stadiu inițial planspiral mai larg urmat de un stadiu biseriat. Camere și suturi distincte, perete mediu aglutinat.

Ocurență: Valea Sucevei 3.

Familia TROCHAMMINIDAE

Schwager, 1877

Subfamilia TROCHAMMININAE

Schwager, 1877

Genul *Trochammina* Parker & Jones, 1859

***Trochammina* sp.**

Trochammina sp. 2 Băk, 2004, p. 32, pl. 10, figs. 12-15.

Descriere: Specimene de dimensiuni mari, cu aspect rotund, având 4 camere

în ultima tură, cu perete grosier aglutinat, cu părțile ombilicale și spirale plate și ușor convexe.

Ocurență: Valea Brodinei 2, Valea Putnei, Valea Suha.

Familia CONOTROCHAMMINIDAE

Saidova, 1981

Genul *Conotrochammina* Finlay, 1940

Conotrochammina voerigensis

Gradstein & Kaminski, 1997

pl. 4, fig. 15

Conotrochammina voerigensis Gradstein & Kaminski, 1997, p. 224, fig. 9-10.

Conotrochammina voerigensis Gradstein & Kaminski, 1997 - Kaminski & Gradstein, 2005, p. 461, pl. 113, fig. 1a-3c.

Descriere: Test alcătuit din 4 ture care prezintă câte 4 camere globulare. Peretele este de la fin la mediu aglutinat iar apertura este o deschidere ovală înconjurată de o limbă.

Ocurență: Valea Brodinei 2, Voroneț.

***Conotrochammina* sp.**

Descriere: Test alcătuit din circa 4 ture, camere globulare, perete mediu aglutinat.

Ocurență: Valea Brodinei 2

Familia PROLIXOPLECTIDAE

Loeblich & Tappan, 1985

Genul *Karrerulina* Finlay, 1940

Karrerulina coniformis

(Grzybowski, 1898)

pl. 14, fig. 14; pl. 18, fig. 8; pl. 19, fig. 8

Gaudryna coniformis Grzybowski, 1901, p. 295, pl. 12, fig. 7.

Karrerulina coniformis (Grzybowski, 1901) - Bak, 2004, p. 55, pl. 14, fig. 4-5.

Karrerulina coniformis (Grzybowski, 1901) - Kaminski & Gradstein, 2005, p. 467, pl. 115, fig. 1a-9.

Descriere: Test alungit, rotunjit tuguat la ambele capete, cu porțiunea inițială înrulată trochospiral cu 5 camere pe tură, după care numărul se reduce la 4,

ultimul tur putând fi biseriat. Camerele inițiale sunt de dimensiuni mici și cresc foarte rapid. Peretele este de la mediu la fin aglutinat iar apertura este terminală, situată pe un gât scurt.

Ocurență: Rusca, Valea Brodinei 1 și 6, Valea Dobra, Valea Putnei, Valea Moldoviței, Valea Sucevei 1 și 3, Voroneț.

Karrerulina conversa

(Grzybowski, 1901)

pl. 10, fig. 15; pl. 12, fig. 11;

pl. 14, fig. 9-13

Gaudryna conversa Grzybowski, 1901, p. 254, pl. 8, fig. 15-16 (fide Ellis & Messina, 1942-2010).

Karrerulina conversa (Grzybowski, 1901) - Kaminski & Geroch, 1997, p. 279, pl. 13, fig. 5a-11.

Karrerulina conversa (Grzybowski, 1901) - Kaminski & Gradstein, 2005, p. 472, pl. 116, fig. 1a-11b.

Descriere: Test alungit, cu porțiunea inițială înrulată trochospiral cu 3-4 ture, urmată de o porțiune triseriată și ulterior biseriată. Zona biseriată variază foarte mult în lungime. Suturile din porțiunile multiseriate sunt nedistinctive, iar în partea biseriată sunt incizate. Peretele este mediu-fin aglutinat, iar apertura este terminală la capătul unui gât scurt.

Ocurență: Grozăvești, Palma, Rusca, Valea Brodinei 1 și 2, Valea Dobra, Valea Humorului, Valea Putnei, Valea Sucevei 1, 2 și 3, Valea Suha, Valea Moldoviței.

Karrerulina horrida (Mjatluk, 1970)

pl. 12, fig. 12-14; pl. 14, fig. 15-16; pl.

18, fig. 6-7

Karrierella horrida Mjatluk, 1970, p. 114, pl. 5, fig. 9, pl. 33, fig. 15, 16a-b (fide Ellis & Messina, 1942-2010).

Karrerulina horrida (Mjatluk, 1970) - Kaminski & Gradstein, 2005, p. 473, pl. 117, fig. 1-11.

Descriere: Test liber, alungit, circular în secțiune transversală, format dintr-o porțiune inițială înrulată trochospiral (câteva spire cu 4-6 camere fiecare)

urmată de o parte alungită, triseriată; poate exista și o porțiune scurtă biseriată; în porțiunea trochospirală camerele cresc rapid în dimensiune, iar în partea seriată cresc treptat; apertura terminală la capătul unui gât scurt; peretele mediu și fin aglutinat.

Ocurență: Grozăvești, Palma, Rusca, Valea Brodinei 1, 2, 3 și 6, Valea Dobra, Valea Putnei, Valea Sucevei 1, 2 și 3, Valea Suha, Voroneț, Valea Moldoviței.

***Karrerulina* sp.**

pl. 4, fig. 16.

Descriere: Test elongat, subțire, înrulat trochospiral în porțiunea inițială și ulterior biseriat, cu peretele mediu spre fin aglutinat.

Ocurență: Grozăvești, Rusca, Valea Brodinei 2 și 6, Valea Dobra, Valea Putnei, Valea Moldoviței, Valea Sucevei 3, Voroneț.

Genul *Gerochammina* Neagu, 1990

Gerochammina stanislawi

Neagu, 1990

Gerochammina stanislawi Neagu, 1990, p. 253, pl. 1, fig. 1-26.

Gerochammina stanislawi Neagu, 1990. - Bubík, 1995, p.80, pl. 7, fig. 2; pl. 13, fig. 8.

Descriere: Test liber, alungit, circular în secțiune transversală, format dintr-o porțiune inițială înrulată trochospiral urmată de o parte alungită, triseriată; apertura terminală la capătul unui gât scurt; peretele mediu la fin aglutinat.

Ocurență: Valea Putnei.

Genul *Protomarssonella* Desai & Banner, 1987

***Protomarssonella* sp.**

Descriere: Test conic, circular în secțiune transversală, cu partea inițială trochospirală după care se reduce la biseriată. Camere cresc în dimensiune

rapid, în special în stagiul biseriat. Peretele este de la fin la mediu aglutinat iar apertura este un arc bazal inferior.

Ocurență: Valea Suha, Valea Sucevei 1.

Genul *Rectoprotomarssonella*

Kaminski, Bubík & Cetean, 2008

Rectoprotomarssonella rugosa

(Hanzlíková, 1955)

Marssonella rugosa Hanzlíková, 1955, p. 493, pl. 2, figs. 5, 7.

Goesella carpathica Liszkova, 1959, p. 60, pl. 3, fig. 9a-f.

Goesella rugosa (Hanzlíková). - Bubík, 1995, p. 81, pl. 15, fig. 4a-b.

Rectoprotomarssonella rugosa (Hanzlíková). - Kaminski, Bubík & Cetean, 2008, p. 521, pl. 1, fig. 1-10

Descriere: Test elongat, îngustat doar în partea bazală, după care devine cilindric, în partea superioară fiind aplatizat, în stadiul inițial este înrulat trohospiral cu circa 5 camere pe tură, ulterior se reduce la triseriat, biseriat și în final uniseriat. Peretele este grosier aglutinat cu ciment calcaros iar apertura este inițial o fantă mică interiomarginală după care se mută în poziție areală și în final în poziția terminală sub formă de o concavitate rotunjită.

Ocurență: Valea Sucevei 1.

Familia REOPHACELLIDAE

Mikhalevich & Kaminski, 2004

Subfamilia VERNEUILININAE

Cushman, 1911

Genul *Gaudryina* d'Orbigny, 1839

***Gaudryina* sp.**

d'Orbigny, 1839 emend. Bowen, 1955
Gaudryina sp. d'Orbigny, 1839 emend. Bowen, 1955 - fide Ellis & Messina.

Descriere: Test cu un tur inițial care cuprinde cca. 3 camere, trohospiral în faza tânără, cu dezvoltare rapidă triseriată, triunghiular în secțiune transversală. Dezvoltarea ulterioară este biseriată.

Ocurență: Valea Brodinei 3, Valea Suha.

Familia CYCLAMMINIDAE Marie, 1955

Subfamilia ALVEOLOPHRAGMIINAE

Saidova, 1981

Genul *Popovia* Suleymanov, 1965

***Popovia elegans* (Kaminski, 1987)**

Phenacophragma elegans Kaminski, 1987, p. 186, pl. 1, fig. 8-14b.

Phenacophragma elegans Kaminski, 1987 - Kaminski et al., 1988, p. 227, pl. 10, fig. 10-13.

Popovia elegans Kaminski, 1987 - Kaminski & Gradstein, 2005, p. 487, pl. 121, fig. 1a-8.

Descriere: Test de dimensiuni mici, alcătuit din o spirală evolută (cu cca. 15-15 camere) din 3 ture urmată de o porțiune uniseriată cu cca. 3 camere. Camerele cresc în dimensiune foarte încet, apertura este bazală în porțiunea tânără după care este nedistinctibilă, peretele este fin aglutinat.

Ocurență: Valea Sucevei 3.

Genul *Reticulophragmium* Maync, 1955

Reticulophragmium acutidorsatum

(Hantken, 1868)

Haplophragmium acutidorsatum Hantken, 1868, p. 82, pl. 1, fig. 1 (fide Ellis & Messina, 1942-2010).

Reticulophragmium acutidorsatum (Hantken, 1868) - Kaminski & Gradstein, 2005, p. 490, pl. 122, fig. 1-7.

Descriere: Test de dimensiuni mari cu formă circulară sau ovală, ușor aplatizată, înrulat planspiral, involut, ombilicul puțin depresat, opt-zece camere pe ultima tură, suturi radiale, drepte, uneori sigmoidale. Peretele este fin aglutinat, fața aperturală conține granule mai grosiere, cu apertura sub forma unei fante interiomarginale. Diferă de *R. rotundidorsatum* prin forma triunghiular-alungită a feței aperturale.

Ocurență: Valea Sucevei 3, Voroneț.

Reticulophragmium amplexans

(Grzybowski, 1898)

pl. 15, fig. 13; pl. 18, fig. 9-14

Cyclammina amplexans Grzybowski, 1898, p. 292, pl. 12, fig. 1-3.

Reticulophragmium amplexans (Grzybowski, 1898) - Kaminski & Geroch, 1993, p. 239-323, pl. 9, fig. 5a-b.

Reticulophragmium amplexans (Grzybowski, 1898) - Kaminski & Gradstein, 2005, p. 495, pl. 123, fig. 1-6.

Descriere: Test liber, biconvex, înrulat planspiral, involut, mai gros în porțiunea ombilicală, cu o periferie circulară la lobată prin observare laterală. Formele microsferice sunt alcătuite din 2-3 ture iar cele megalosferice sunt alcătuite din 2 ture, cele două generații fiind diferite prin numărul de camere în ultima tură (12-17 forme microsferice și 10-13 forme megalosferice). Alveolele sunt simple, neramificate, peretele este fin aglutinat iar apertura este o fantă interiomarginală cu o buză subțire.

Ocurență: Valea Humorului, Valea Moldoviței, Valea Sucevei 3, Valea Brodinei 3 și 6, Voroneț.

Reticulophragmium rotundidorsatum

(Hantken, 1875)

Haplophragmium rotundidorsatum Hantken, 1875, p. 12, pl. 1, fig. 2.

Reticulophragmium rotundidorsatum (Hantken) - Kaminski & Gradstein, 2005, p. 503, pl. 127, fig. 1a-5c.

Descriere: Test liber, înrulat planspiral, involut, cu 7-10 camere în ultima tură. Periferia este rotundă, suturile radiale, perete fin aglutinat și apertura este o fantă interioarginală.

Ocurență: Valea Moldoviței, Valea Sucevei 3, Voroneț.

***Reticulophragmium* sp.**

Descriere: Test de dimensiuni mici, înrulat planspiral, cu multe camere, cu formă exterioară circulară, cu alveole,

peretele mediu la fin aglutinat, apertura de obicei nedistinctivă.

Ocurență: Valea Brodinei 3 și 6, Valea Humorului, Valea Moldoviței, Valea Sucevei 3, Voroneț.

Subfamilia CYCLAMMININAE Marie, 1941

Genul *Cyclammina* Brady, 1879

Cyclammina cancellata Brady, 1879

Cyclammina cancellata Brady, 1879, p. 62.

Cyclammina cancellata Brady, 1879 - Kaminski & Gradstein, 2005, p. 476, pl. 118, fig 1-4.

Descriere: Test cu formă circulară sau ovală, de dimensiuni mari, înrulat planspiral, involut, cu 14-15 camere camere în ultima tură. Peretele este fin aglutinat, neted, însă fața aperturală conține granule mai grosiere; apertura este o fantă lungă interiomarginală, cu numeroase aperturi areale suplimentare, fiecare înconjurată de o buză.

Ocurență: Valea Sucevei 3

***Cyclammina* sp.**

Descriere: Test de dimensiuni mici, cu multe camere, cu formă exterioară circulară, peretele mediu la fin aglutinat, înrulat planspiral, involut, cu 10-15 camere în ultima tură; apertura cu numeroase aperturi areale suplimentare.

Ocurență: Valea Sucevei 3, Voroneț.

Familia GLOBOTEXTULARIIDAE

Cushman, 1927

Subfamilia LIEBUSELLINAE Saidova, 1981

Genul *Remesella* Vašiček, 1947

Remesella varians (Glaessner, 1937)

Matanzia varians Glaessner, 1937, p. 370.

Remesella varians (Glaessner). - Kaminski & Gradstein, 2005, p. 511, pl. 129, fig. 1-7.

Descriere: Test înrulat inițial trohospiral cu 4-5 camere, după care devine biseriat. Camerele sunt parțial subdivizate de partiții interne atașate de

peretele și baza camerelor. Peretele este fin aglutinat cu ciment calcaros care devine silicificat prin diagenază iar apertura este o fantă interiomarginală.

Ocurență: Valea Brodinei 2, Valea Putnei, Valea Sucevei 1 și 2.

Familia EGGERELLIDAE Cushman, 1937

Subfamilia DOROTHIINAE

Balakhmatova, 1972

Genul *Dorothia* Plummer, 1931

***Dorothia* sp.**

Descriere: Test alungit, robust, cu secțiune circulară, având stadiul inițial înrulat trochospiral, cu patru sau mai multe camere pe tur, ulterior redus la biseriat, cu dimensiuni ușor crescute. Peretele este fin aglutinat și canaliculat. Apertura este o fantă interiomarginală pe fața ultimei camere.

Ocurență: Valea Putnei.

Subfamilia PSEUDOGAUDRYINAE

Loeblich & Tappan, 1985

Genul *Clavulinoides* Cushman, 1936

***Clavulinoides* sp.**

pl. 14, fig. 17.

Descriere: Test inițial triseriat care ulterior devine uniseriat, perete mediu aglutinat, apertura simpla interiomarginală,

Ocurență: Rusca

Familia TEXTULARIIDAE Ehrenberg, 1838

Subfamilia TEXTULARIINAE

Ehrenberg, 1838

Genul *Textularia* DeFrance, 1824

***Textularia* sp.**

Descriere: Test alungit, biseriat, de dimensiuni mici, de obicei fragmentat, camerele ușor globuloase, care cresc lent pe măsură ce sunt adăugate. Sutura sunt depresate, apertura fiind o

deschidere arcuită la baza ultimei camere.

Ocurență: Valea Brodinei 3, Valea Moldoviței, Valea Putnei, Valea Sucevei 3, Valea Suha.

Ordinul LAGENIDA Lankester, 1885

Superfamilia NODOSARIACEA

Ehrenberg, 1838

Familia NODOSARIIDE Ehrenberg, 1838

Genul *Chrysalogonium* Schubert, 1908

Chrysalogonium elongatum

Cushman & Jarvis, 1934

Chrysalogonium elongatum Cushman & Jarvis, 1934, p. 73, pl. 10, fig. 10-11.

Chrysalogonium elongatum Cushman & Jarvis, 1934 - Bolli et al., 1994, p. 184, fig. 26: 3-4.

Descriere: Test alungit, uniseriat, rectiliniar, alcătuit din camere inițiale alungit ovale urmate de camere ovale-subpiriforme. Peretele este calcaros iar apertura terminală cribrată.

Ocurență: Valea Putnei, Valea Sucevei 1.

Chrysalogonium rudis

(d'Orbigny, 1846)

Nodosaria rudis d'Orbigny, 1846, p. 33, pl. 1, fig. 17-19.

Nodosaria rudis d'Orbigny, 1846 - Cicha et al., 1998, p. 113, pl. 21, fig. 11.

Chrysalogonium rudis (d'Orbigny, 1846) – Hayward et al. (2012)

Descriere: Test elongat, uniseriat, camere globulare separate printr-un tub scurt. Suprafața camerelor este rugoasă sau cu spini scurți.

Ocurență: Valea Sucevei 3.

Genul *Dentalina* Risso, 1826

Dentalina gracilis d'Orbigny, 1840

Dentalina gracilis d'Orbigny, 1840, p. 14, pl. 1, fig. 5.

Dentalina gracilis d'Orbigny, 1840 - Cushman, 1946, p. 65, pl. 23, fig. 3-6.

Dentalina gracilis d'Orbigny, 1840 - Sait & Kenawi, 1956, p. 133, pl. 2, fig. 25.

Descriere: Test alungit, arcuit uniseriat, cu un proloculus apical urmat de camere cilindrice până la ovale, mărindu-și treptat dimensiunea cu fiecare cameră adăugată.

Peretele este calcaros, hialin, cu structură radiară, cu lăminație secundară; suprafață cu numeroase coaste longitudinale. Apertura este terminală, radiată.

Ocurență: Valea Sucevei 3.

Dentalina megapolitana Reuss, 1855

Dentalina megapolitana Reuss, 1855, p. 267, pl. 8, fig. 10.

Dentalina megapolitana Reuss, 1855, - Cushman, 1926, p. 595, pl. 18, fig. 16.

Dentalina megapolitana Reuss, 1855, - Cushman, 1932, p. 29, pl. 9, fig. 5.

Descriere: Test alungit, de dimensiuni mari, ușor fusiform arcuit, uniseriat; proloculus camere cilindrice până la ovale, numeroase, care își măresc treptat dimensiunea; peretele calcaros și apertura terminală radiară.

Ocurență: Valea Sucevei 3.

***Dentalina* sp.**

Descriere: Test alungit, arcuit, uniseriat; proloculus apical urmat de camere cilindrice până la ovale, mărindu-și treptat dimensiunea; suturi orizontale, peretele calcaros; apertura terminală radiară.

Ocurență: Valea Moldoviței, Valea Brodinei 2, Valea Putnei, Valea Suha, Valea Sucevei 2 și 3, Palma.

Genul *Laevidentalina* Loeblich & Tappan, 1986

Laevidentalina catenula
(Reuss, 1860)

Dentalina catenula Reuss, 1860, p. 185, pl. 3, fig. 6

Laevidentalina catenula (Reuss, 1860) - Bolli et al., 1994, p. 99, pl. 26, fig. 12-13.

Descriere: Test alungit uniseriat, alcătuit din 2-5 camere care prezintă un spin bazal. Perete calcaros și apertura terminală radiară.

Ocurență: Valea Putnei.

Laevidentalina communis
d'Orbigny, 1826

Nodosaria (Dentalina) communis d'Orbigny, 1826, p. 254.

Dentalina communis d'Orbigny, 1826, - d'Orbigny, 1826, p. 13. pl. 1, fig. 4.

Laevidentalina communis d'Orbigny, 1826 - Bolli et al., 1994, p. 100, pl. 26-29.

Descriere: Test alungit uniseriat, alcătuit din circa 5 camere. Perete calcaros și apertura terminală radiară.

Ocurență: Valea Sucevei 1.

Laevidentalina elegans
(d'Orbigny, 1846)

Dentalina elegans d'Orbigny, 1846, p. 45, pl. 1, fig. 52-56.

Dentalina elegans d'Orbigny, 1846 - Papp & Schmid, 1985, p. 28, pl. 10, fig. 1-5.

Laevidentalina elegans (d'Orbigny, 1846) - Cicha et al., 1998, p. 194, pl. 21, fig. 6-7

Descriere: Testul este alungit, uneori arcuit cu proloculus rotunjit până la fusiform. Camerele uniseriate sunt ovale până la ușor oval alungite. Apertura este terminală radiară.

Ocurență: Valea Sucevei 3.

Laevidentalina inornata
d'Orbigny, 1846

Dentalina inornata d'Orbigny, 1846, p. 44, pl. 1, fig. 50-51.

Dentalina inornata d'Orbigny, 1846 - Papp & Schmid, 1985, p. 28, pl. 9, fig. 5-8.

Laevidentalina inornata (d'Orbigny, 1846) - Ponka, 2017, p. 36, pl. 7, fig. G.

Descriere: Testul alungit, ușor arcuit, cu suprafața netedă. Camerele ovale, oblice, convexe, cresc treptat pe măsură ce sunt adăugate. Apertura de dimensiuni reduse.

Ocurență: Valea Sucevei 3.

Genul *Grigelis* Mikhalevich, 1981

Grigelis guttiferus (d'Orbigny, 1846)

Dentalina guttiferus d'Orbigny, 1846, p. 49, pl. 13, fig. 1-6.

Nodosaria guttifer (d'Orbigny, 1846) - Bignot, 1998, p. 438, pl. 1, fig. 4.

Grigelis guttiferus (d'Orbigny, 1846) – Hayward et al., 2018 World Foraminifera database

Descriere: Test uniseriat, ușor arcuit, camerele oval-alungite, suturile sub formă de constricții, apertura este o deschidere rotunjită la capătul ultimei camere.

Ocurență: Valea Sucevei 3.

Genul *Nodosaria* Lamark, 1812

Nodosaria limbata d'Orbigny, 1840

Nodosaria limbata d'Orbigny, 1840, p. 12, pl. 12, fig. 1.

Nodosaria limbata d'Orbigny, 1840 - Cushman & Jarvis, 1932, p. 32, pl. 10, fig. 5.

Descriere: Test cilindric elongat, uniseriat, cu sau fără spin, camerele sunt adeseori piriforme și se acoperă ușor una pe cealaltă, suturile sunt limbate, concave iar apertura este terminală, radiată.

Ocurență: Valea Putnei

Nodosaria sp.

Descriere: Test uniseriat, alungit, rectiliniar, alcătuit din camere sferice sau elongate

Ocurență: Valea Dobra, Valea Putnei, Valea Sucevei 3.

Familia VAGINULINIDAE

Genul *Lenticulina* Lamark, 1804

Lenticulina sp.

Descriere: Test planspiral, discoidal, convex, calcaros, cu suprafața netedă, suturi limbate.

Ocurență: Valea Sucevei 3.

Familia LAGENIDAE Reuss, 1862

Genul *Oolina* d'Orbigny, 1839

Oolina globosa (Montagu, 1803)

Vermiculum globosum Montagu, 1803, p. 523

Entosolenia globosa (Montagu, 1803) - Williamson, 1858, p. 8, pl. 1, fig. 15-16.

Lagena globosa (Montagu, 1803) - Reuss 1862, p. 318, pl. 1, fig. 1-3.

Lagena globosa (Montagu, 1803) - Jones, 1895, p. 177, pl. 1, fig. 32.

Lagena globosa (Montagu, 1803) - Butler & Gale, 1912, p. 46, pl. 13, fig. 9a-c.

Oolina globosa (Montagu, 1803) – Hayward et al., 2018.

Descriere: Test oval, globular sau subglobular, eliptic, piriform, apertura circulară, radiată putând fi situată pe un gât scurt.

Ocurență: Valea Sucevei 3.

Genul *Lagena* Walker & Jacob, 1798

Lagena sulcata

(Walker & Jacob, 1798)

Serpula sulcata Walker & Jacob, 1798, p. 634, pl. 14, fig. 5.

Lagena vulgaris var. *perlucida* (Walker & Jacob, 1798) - Williamson, 1858, p. 5, pl. 1, fig. 8

Lagena sulcata (Walker & Jacob, 1798) - Brady, 1884, p. 462, pl. 57, fig. 23,26,33, 34.

Lagena sulcata (Walker & Jacob, 1798) - Jones, 1895, p. 168, pl. 1, fig. 40- 41.

Lagena globosa (Walker & Jacob, 1798) - Butler & Gale, 1912, p. 52, pl. 14, fig. 9-12.

Descriere: Test aproape sferic, piriform, cu suprafața ornamentată cu anumite canale și coaste (mai puține ca număr în comparație cu *L. striata*), baza rotunjită sau obtuză, uneori apiculată.

Ocurență: Valea Putnei.

Lagena sp.

Descriere: Test uniloculin, globular până la oval, cu perete calcaros hialin. Suprafața testului prezintă striuri sau coaste longitudinale. Apertura este terminală, rotundă, ridicată pe un gât mai scurt, putând prezenta o buză.

Ocurență: Valea Sucevei 3.

Ordinul GLOBIGERINIDA Lankester, 1885

Superfamilia HETEROHELICACEA

Cushman, 1927

Familia HETEROHELICIDAE

Cushman, 1927

Genul *Heterohelix* Ehrenberg, 1843

Heterohelix labellosa

Nederbragt, 1990

Heterohelix labellosa Nederbragt, 1990, - Premoli-Silva and Sliter, 2002, pl. 142, fig. 3-5

Heterohelix labellosa Nederbragt, 1990, - Premoli-Silva and Verga, 2004, p. 64, pl. 71, fig. 1-3

Descriere: Test caracterizat de camere inițiale înrulate scurt planspiral ulterior devenind aranjate biseriat. Camerele sunt globulare sau ușor ovale și cresc gradual în dimensiune. Perete calcaros și apertură sub forma unui arc îngust la baza ultimei camere.

Ocurență: Valea Putnei.

Heterohelix navarroensis

Loeblich, 1951

Heterohelix navarroensis Loeblich, 1951, p. 107, pl. 12, fig. 3a-b.

Heterohelix navarroensis Loeblich, 1951, - Bolli et al., 1985, p. 60, fig. 24.8-9, 10, 13, 14.

Heterohelix navarroensis Loeblich, 1951, - Abramovich et al., 2012, p. 151, pl. 3, fig. 1-4.

Descriere: Test cu camere inițiale înrulate scurt planspiral ulterior devenind biseriat, aplatizat, cu un caracter costal fin, de dimensiuni mici, camerele cresc în dimensiune mai lent.

Ocurență: Valea Putnei.

***Heterohelix* sp.**

Descriere: Test biseriat caracterizat de camere globulare, cu sau fără ornamentații costale, perete calcaros și apertură sub forma unui arc îngust la baza ultimei camere, greu distinctibilă.

Ocurență: Valea Putnei.

Genul *Planoheterohelix* Georgescu & Huber, 2009

Planoheterohelix globulosa

(Ehrenberg, 1843)

pl. 6, fig. 1-2

Textularia globulosa Ehrenberg, 1843, 135, pl. 4, fig. 2, 4, 5, 7, 8.

Heterohelix globulosa (Ehrenberg, 1843) - Pessagno, 1967, p. 260, fig. 5

Heterohelix globulosa (Ehrenberg, 1843) - Abramovich et al., 2012, p. 150, pl. 2, fig. 1-6.

Planoheterohelix globulosa (Ehrenberg, 1843) – Hayward et al., 2018

Descriere: Test caracterizat de camere inițiale înrulate scurt planspiral ulterior devenind aranjate biseriat. Camerele sunt globulare și cresc gradual în dimensiune, cu excepția ultimelor camere care cresc foarte rapid; toate camerele sunt caracterizate de ornamente costale. Perete calcaros și apertură sub forma unui arc îngust la baza ultimei camere.

Ocurență: Valea Putnei.

Planoheterohelix planata

(Cushman, 1938)

Heterohelix planata Cushman, 1938 - Keller, 2011, p. 423, pl. 3, fig. 13

Heterohelix planata Cushman, 1938 - Abramovich et al., 2012, p. 150, pl. 2, fig. 15-17.

Planoheterohelix planata (Cushman, 1938) – Hayward et al., 2018.

Descriere: Test aplatizat, biseriat, camere cu coaste ornamentale evidente, de dimensiuni mici, camerele cresc în dimensiune lent.

Ocurență: Valea Putnei.

Genul *Laeviheterohelix* Nederbragt, 1991

Laeviheterohelix glabrans

(Cushman, 1938)

emend. Georgescu, 2009

pl. 6, fig. 3-5.

Guembelina glabrans Cushman, 1938, p. 15, pl. 3, fig. 1-2.

Laeviheterohelix glabrans (Cushman, 1938) - Nederbragt, 1991, p. 352, pl. 5, fig. 6.

Laeviheterohelix glabrans (Cushman, 1938)
- Georgescu, 2009, p. 329, fig. 12.1 - 12.6.

Descriere: Test cu sau fără porțiune inițială planspirală, după care aranjamentul este biseriat, camere subrectangulare la subcilindrice care cresc gradual în dimensiune, suturi ușor curbate, perete calcaros și apertură sub forma unui arc la baza ultimei camere.

Ocurență: Valea Putnei.

Familia GUEMBELITRIDAE

Montanaro Gallitelli, 1957

Genul *Parvularugoglobigerina*

Hofker, 1978

Parvularugoglobigerina eugubina

(Luterbacher & Premoli Silva, 1964)

Globigerina anconitana Luterbacher & Premoli Silva, 1964, p. 107, pl. 2, fig. 3a-c.

Parvularugoglobigerina eugubina (Luterbacher & Premoli Silva, 1964) - D'Hondt & Keller, 1991, p. 96, pl. 4, fig. 4-6.

Parvularugoglobigerina eugubina (Luterbacher & Premoli Silva, 1964) - Olsson et al., 1999, p. 84, pl. 66, fig. 1-12, pl. 67, fig. 1-14.

Descriere: Test microperforat, de dimensiuni mici, trohospiral, cu 2 ture și jumătate, fiecare tură conține 4 ½ - 8 camere subglobulare. Apertura este alungită marcată de o buză subțire.

Ocurență: Valea Putnei

Superfamilia ROTALIPORACEA

Sigal, 1958

Familia HEDBERGELLIDAE Loeblich

& Tappan, 1961

Genul *Muricohedbergella* Huber &

Leckie, 2011

Muricohedbergella monmouthensis

(Olsson, 1960)

Hedbergella monmouthensis Olsson, 1960 - Keller, 2011, p. 416, pl. 17, fig. 10

Hedbergella monmouthensis Olsson, 1960 - Abramovich et al., 2012, p. 148, pl. 6, fig. 12-13.

Muricohedbergella monmouthensis (Olsson, 1960) - Hayward et al., 2018.

Descriere: Test înrulat tip globorotaliid, de dimensiuni mici, înrulat ușor trohospiral, asimetric, cuprinde circa 4-5 camere globulare care cresc rapid în dimensiune, test calcaros și suprafață spinoasă.

Ocurență: Valea Putnei.

Superfamilia GLOBOTRUNCANACEA

Brotzen, 1942

Familia GLOBOTRUNCANIDAE

Brotzen, 1942

Genul *Dicarinella* Porthault, 1970

Dicarinella concavata

(Brotzen, 1934)

Rotalia concavata Brotzen, 1934, p. 66, pl. 3, fig. b.

Globotruncana ventricosa Brotzen, 1934 - White Dalbiez, 1955, p. 168, fig. 7.

Globotruncana concavata (Brotzen, 1934) - Postuma, 1971, p. 26.

Dicarinella concavata (Brotzen, 1934) - Hayward et al., 2018.

Descriere: Test calcaros ușor trohospiral, camere aproape hemisferice, aranjate în 2½-3 ture, cu 5-6 camere în ultima tură. Apertura primară interio-marginal, ombilicală.

Ocurență: Valea Sucevei 1

Genul *Globotruncana* Cushman, 1927

Globotruncana arca

(Cushman, 1926)

pl. 3, fig. 5

Pulvinulina arca Cushman, 1926, pl. 3, fig. 1a-c

Globotruncana arca (Cushman, 1926), Premoli-Silva and Sliter, 2002, pl. 79, fig. 2-3, pl. 82, fig. 1-3, pl. 173, fig. 7

Globotruncana arca (Cushman, 1926), Premoli-Silva and Verga, 2004, p. 62, pl. 34, fig. 3-4, pl. 35, fig. 1

Descriere: Test biconvex, ușor trohospiral, camere angulare cu margini truncate, aranjate în 2½-3 ture, cu 6-7 camere în ultima tură. Perete calcaros și apertura primară situată interio-marginal, ombilical.

Ocurență: Valea Putnei, Valea Sucevei 1.

Globotruncana bulloides Vogler, 1941
Globotruncana linnei bulloides Vogler,
1941, p. 287, pl. 23, fig. 32-39.

Globotruncana bulloides Vogler, 1941 -
Premoli-Silva and Sliter, 2002, pl. 84, fig. 1a -4.

Descriere: Test ușor trohospiral, camere subangulare, aranjate în 3 ture și jumătate, cu 6-8 camere în ultima tură. Perete calcaros și apertura primară situată interiomarginal, ombilical.

Ocurență: Valea Sucevei 1

Globotruncana deupleubei

Caron et al, 1984

Globotruncana dupeubei Caron et al., 1984, p. 188, 190 pl. 1, fig. 1,5; pl. 7, fig. 1,2; pl. 8, fig. 1-3.

Globotruncana dupeubei Caron et al., 1984 -
Almogi-Labin et al., 1986, p. 861, pl. 5, fig. 1-3.

Globotruncana dupeubei Caron et al., 1984 -
Chungkham & Caron, 1996, p. 510, pl. 2, fig. 1-2.

Descriere: Test ușor trohospiral, cu o convexitate ridicată a părții ombilicale, cu un șir de ornamentații rotunde pe periferia ultimei ture

Ocurență: Valea Sucevei 1

Globotruncana orientalis

El Naggar, 1966

Globotruncana orientalis El Naggar, 1966, p. 125, pl. 12, fig. 4a-d.

Globotruncana orientalis El Naggar, 1966, -
Abdelghany, 2003, p. 400, pl. 9, fig. 7.

Descriere: Test de dimensiuni mari, circular, înrulat ușor trohospiral, camerele de pe partea ventrală sunt mărite, periferia axială este angulară acută, cu 2 carene rotunde în camerele inițiale din ultima tură; ultima tură este alcătuită din 6 camere.

Ocurență: Valea Sucevei 1

Genul *Globotruncanita* Reiss, 1957

Globotruncanita stuartiformis

(Dalbiez, 1955)

Globotruncana elevata stuartiformis Dalbiez, 1955, p. 171, pl. 1, fig. 10a-c.

Globotruncana stuartiformis Dalbiez, 1955 -
Dalbiez, 1967, p. 357-359, fig. 1-3.

Globotruncana elevata Dalbiez, 1955 -
Dalbiez, 1967, p. 357-359, fig. 1-3.

Globotruncana stuartiformis Dalbiez, 1955 -
Postuma, 1971, p. 63.

Globotruncanita stuartiformis (Dalbiez, 1955) - Hayward et al., 2018.

Descriere: Test ușor trohospiral, camere subangulare la angulare, mărite, care uneori se acoperă una pe cealaltă, aranjate în 3 ture cu cca. 6-8 camere în ultima tură.

Ocurență: Valea Sucevei 1

Globotruncana ventricosa

White, 1928

pl. 3, fig. 1-4.

Globotruncana canaliculata var. *ventricosa* White, 1928, p. 284, pl. 38, fig. 5a-c.

Globotruncana ventricosa White, 1928, -
Postuma, 1971, p. 64.

Globotruncana ventricosa White, 1928, -
Robaszynski et al., 1984, p. 214, pl. 20, fig. 1-3, pl. 21, fig. 1-4

Globotruncana ventricosa White, 1928 -
Sliter, 1989, p. 13, pl. 3, fig. 5,6.

Descriere: Test ușor trohospiral, camere angulare, mai mult sau mai puțin mărite, aranjate în 2 ture și jumătate - 3 cu cca. 6-7 camere în ultima tură.

Ocurență: Valea Sucevei 1.

***Globotruncana* sp.**

pl. 3, fig. 9-10

Descriere: Test ușor trohospiral, camere angulare, subangulare, carenate, carene separate de o bandă carenală neperforată, camere aranjate în 2-3 ture cu cca. 6-8 camere în ultima tură. Contur periferic continuu sau lobat.

Ocurență: Valea Sucevei 1.

Genul *Globotruncanella* Reiss, 1957

Globotruncanella minuta

Caron & Gonzales Dosono, 1984

Globotruncanella minuta Caron & Gonzales Dosono, 1984, p. 266, pl. 43, fig. 5-8.

Globotruncanella minuta Caron & Gonzales Dosono, 1984, - Gawor - Biedowa, 1992, p. 88, pl. 16, fig. 7-8.

Descriere: Test ușor trohospiral, convex pe partea dorsală, suturi septale între camerele din ultima tură în partea dorsală, cu cca. 4½-5 camere pe ultima tură.

Ocurență: Valea Putnei.

Globotruncanella subcarinatus

Bronnimann, 1952

pl. 6, fig. 9.

Globotruncanella subcarinatus Bronnimann, - Liangquan - Keller, 1998, p. 59, pl. 1, fig. 15.

Descriere: Test ușor trohospiral, convex pe partea dorsală, suturi septale între camerele din ultima tură în partea dorsală.

Ocurență: Valea Putnei.

Genul *Globotruncanita* Reiss, 1957

Globotruncanita elevata

(Brotzen, 1934)

pl. 3, fig. 6-8

Rotalia elevata Brotzen, 1934, p. 66, pl. 3, fig. c.

Globotruncanita elevata elevata Brotzen, 1934-White Dalbiez, 1955, p. 168, fig. 7.

Globotruncanita concavata (Brotzen, 1934) - Postuma, 1971, p. 26.

Globotruncanita elevata (Brotzen, 1934) - Wonders, 1992, p. 591,

Descriere: Test ușor trohospiral, camere subangulare la angulare, uneori se acoperă una pe cealaltă, aranjate în 3 ture, cu 6-8 camere în ultima tură. Perete calcaros și apertura primară situată interiomarginal, ombilical.

Ocurență: Valea Sucevei 1.

Genul *Trinitella* Brönnimann, 1952

***Trinitella* sp.**

Descriere: Test trohospiral, camere care cresc rapid în dimensiune, cu o bandă carenată neperforată în ultima tură, suturi radiale, perete calcaros perforat, apertura primară interiomarginală.

Ocurență: Valea Putnei.

Genul *Radotruncana* El Naggar, 1971

Radotruncana calcarata

(Cushman, 1927)

pl. 3, fig. 11.

Globotruncana calcarata Cushman, 1927, p. 115, pl. 23, fig. 10.

Globotruncanita calcarata (Cushman) - Caron, 1985, p. 55-56, fig. 23.6-7.

Radotruncana calcarata (Cushman) - El Naggar, 1971, p. 434.

Descriere: Test trohoid, ombilicat, cu părțile dorsale și ventrale aproape paralele, alcătuit din 4-5 camere în ultima tură, fiecare cu un spin robust

Ocurență: Valea Sucevei 1.

Familia GLOBOROTALIIDAE

Cushman, 1927

Genul *Globorotalia* Cushman, 1927

***Globorotalia* sp.**

Descriere: Test lenticular, ușor trohospiral, camere angulare, subangulare, carenate, cu înrulare strânsă, camere aranjate în 2-3 ture cu cca. 6 camere în ultima tură. Carena periferică și buza aperturală sunt neperforate și suprafața este netedă.

Ocurență: Valea Boului, Valea Sucevei 3, Voroneț.

Genul *Igorina* Davidzon, 1976

Igorina broedermanni

(Cushman & Bermudez, 1949)

Globorotalia broedermanni Cushman & Bermudez, 1949, p. 40, pl. 7, fig. 22-24.

Globorotalia broedermanni Cushman & Bermudez, 1949, - Postuma, 1971, p. 178.

Descriere: Test ușor trohospiral, biconvex, circular, perete perforat, camere subangulare - subglobulare, aranjate în 2 ½ ture, cu cca 6 camere în ultima tură.

Ocurență: Valea Sucevei 3.

Genul *Morozovelloides* Pearson & Berggren, 2006

Morozovelloides lehneri
(Cushman & Jarvis, 1929)

Globorotalia lehneri Cushman & Jarvis, 1929, p. 17, pl. 3, fig. 16a-c.

Globorotalia lehneri Cushman & Jarvis, 1929, - Postuma, 1971, p. 198.

Descriere: Test ușor trohospiral, biconvex, cu periferia axială acută cu carene spinoase sau rugoase, perete perforat, camere angulare, aranjate în 2 ½-3 ture, cu cca 6 camere în ultima tură.

Ocurență: Valea Sucevei 3.

Genul *Turborotalia* Cushman & Bermudez, 1949

Turborotalia griffinae Blow, 1979

Turborotalia griffinae, Blow, 1979, p. 1072, pl. 96, fig. 8.

Turborotalia griffinae, Blow, - Bolli et al., 1985, p. 127, fig. 27.13-23.

Descriere: Test alcătuit din 4 camere globulare în ultima tură. Suprafața testului este cancelată.

Ocurență: Valea Putnei.

***Turborotalia* sp.**

Descriere: Test alcătuit din aproximativ 4 camere globulare în ultima tură. Suprafața testului este cancelată.

Ocurență: Valea Sucevei 3.

Familia CAPSYDRACIDAE Bolli, Loeblich and Tappan, 1957

Genul *Subbotina* Brotzen and Prožaryska, 1961

Subbotina angiporoides
(Hornibrook, 1965)

Subbotina angiporoides (Hornibrook, 1965), Cicha et al., 1998, p. 129, pl. 33, fig. 20-23

Subbotina angiporoides (Hornibrook, 1965), Premoli-Silva et al., 2003, p. 148, pl. 43, fig. 4a-c

Subbotina angiporoides (Hornibrook, 1965), Pearson et al., 2006, p. 126, pl. 6.6, fig. 1-13.

Descriere: Test spinos, perforat normal, cancelat, de dimensiuni mici, sferic, alcătuit din 13 camere aranjate în trei ture, ultima cameră distingându-se prin acoperirea puternică a celorlalte.

Ocurență: Valea Sucevei 3.

Subbotina linaperta (Finlay, 1939)

Globigerina linaperta Finlay, 1939, p. 125, pl. 23, fig. 54-57.

Globigerina linaperta Finlay, 1939, - Toumarkina, 1975, p. 742, pl. 1, fig. 1-2.

Subbotina linaperta (Finlay, 1939) - Berggren, 1992, p. 583, pl. 3, fig. 1-4.

Subbotina linaperta (Finlay, 1939) - Pearson et al., 2006, p. 144, pl. 6.14, fig. 1-3.

Descriere: Test spinos, cancelat, simetric, ușor trohospiral, cu camere globulare; pe partea spiralată sunt vizibile 3-3½ camere cu rate variabile de creștere, care se acoperă una pe cealaltă, ultima cameră fiind aplatizată. Apertura are formă arcuită.

Ocurență: Valea Putnei, Valea Sucevei 3.

Subbotina patagonica
(Todd & Kniker, 1952)

Globigerina patagonica Todd & Kniker, 1952, p. 26, pl. 32, fig. 32a-c.

Subbotina patagonica (Todd & Kniker, 1952) - Hubber, 1991, p. 441, pl. 4, fig. 16-17.

Subbotina patagonica (Todd & Kniker, 1952) - Pearson et al., 2006, p. 146, pl. 15, fig. 1-16.

Descriere: Test spinos, compact, ușor trohospiral, globular, cu perete cancelat saculifer. Camerele sunt globulare, se acoperă una pe cealaltă, pe partea spirala fiind vizibile 3-3½ camere. Apertura are aspect arcuit și formă semicirculară.

Ocurență: Voroneț.

***Subbotina* sp.**

Descriere: Test cancelat și spinos, ușor trohospiral, camere globulare.

Ocurență: Valea Sucevei 3.

Genul *Parasubbotina* Ollson, Hemleben, Plummer, Liu, 1992

Parasubbotina pseudobulloides
(Plummer, 1929)

Globigerina pseudobulloides Plummer, 1929, p. 133, pl. 8, fig. 9a-c.

Subbotina pseudobulloides (Plummer, 1929) - Berggren, 1992, p.563, pl.1, fig. 7-8.

Parasubbotina pseudobulloides (Plummer, 1929) - Ollson et al., 1992, p. 197, pl. 3, fig. 1-7.

Parasubbotina pseudobulloides (Plummer, 1929) - Ollson et al., 1999, p. 24, pl. 21, fig. 1-15.

Descriere: Test spinos, cancelat, ușor trohospiral cu 10-12 camere globulare ușor ovale, 5 în ultima tură, apertura interiomarginală.

Ocurență: Valea Putnei.

Parasubbotina varianta
(Subbotina, 1953)

Globigerina varianta Subbotina, 1953, p. 63, pl. 3, fig. 6a-7c, 10a-11c.

Subbotina varianta (Subbotina, 1953) - Berggren, 1992, p. 563, pl. 1, fig. 3.

Subbotina varianta (Subbotina, 1953) - Ollson et al., 1999, p. 26, pl. 9, fig. 16-18, pl. 22, fig. 6-16.

Descriere: Test spinos, cancelat, ușor trohospiral cu 5 camere în ultima tură.

Ocurență: Valea Suha.

Superfamilia GLOBIGERINACEA

Parker & Jones, 1862

Familia GLOBIGERINIDAE Carpenter, Parker & Jones, 1862

Genul *Globigerina* d'Orbigny, 1826

Globigerina bollii Cita & Silva, 1960

Globigerina bollii Cita & Silva, 1960, p. 120, pl. 13, fig. 1-18.

Globigerina bollii Cita & Silva, 1960 - Popescu, 1975, p. 85, pl. 73, fig. 1-3;

Descriere: Test de dimensiuni medii, trohospiral jos alcătuit din 2-3 spire; profilul subcircular, marginea periferică rotunjită. Caracteristic pentru această specie este dimensiunea mai mică și cu

pori mai fini ai ultimei camere comparativ cu precedentele. Apertura - arcuită, ombilicală.

Ocurență: Valea Boului.

Globigerina bulloides d'Orbigny, 1826

Globigerina bulloides d'Orbigny, 1826, p. 277, pl. 2, fig. 1-3.

Globigerina bulloides d'Orbigny, 1846, p. 163, pl. 9, fig. 4-6.

Globigerina bulloides d'Orbigny 1826 - Cicha et al., 1998, p. 220, pl. 34, fig. 24-26; Popescu, 1975, p. 86, pl. 71, fig. 4, pl. 72, fig. 1; Spezzaferi, 1994, p.26, pl.1, fig. 2a-b.

Descriere: Test de dimensiuni medii, cu camere înrulate trohospiral; 4 camere pe ultimul tur; suprafața hispidă (spinoasă), apertură centrală distinctă pe partea ombilicală.

Ocurență: Valea Boului, Valea Moldoviței.

Globigerina prasaepis Blow, 1969

Globigerina prasaepis Blow, 1969, p. 382, pl. 10, fig. 13, pl. 18, fig. 3-7

Globigerina prasaepis Blow - Spezzaferi & Silva, 1990, p. 245, pl. 7, fig. 6a-c.

Descriere: Test de dimensiuni mari, alcătuit din circa 14 camere aranjate trohospiral-jos cu 3½ camere în ultima tură. Ombilicul este deschis și rectangular, apertura ultimei camere este alungită sub forma unui arc, perete perforat dens și grosier.

Ocurență: Valea Boului.

Globigerina rohri Bolli, 1957

Globigerina rohri Bolli, 1957, p. 109, pl. 23, fig. 1a-4b.

Globigerina rohri Bolli, 1957, p. 273, pl. 36, fig. 4a-b.

Descriere: Test trohospiral cu periferia ecuatorială lobată alcătuit din circa 12 camere aranjate în 2½ spire. Ombilic de dimensiuni mici, adânc, apertura arcuită, perete perforat.

Ocurență: Valea Boului.

Globigerina triloculinoides

Plummer, 1926

pl. 7, fig. 10, 13

Globigerina triloculinoides Plummer, 1926, p. 134, pl. 8, fig. 10

Globigerina triloculinoides Plummer, 1926 - Bolli et al., 1985, p. 117, fig. 19, 1-2.

Descriere: Test înrulat ușor trohospiral cu circa 3-3½ camere în ultima tură, care cresc foarte rapid în dimensiune. Periferia ecuatorială este trilobată.

Ocurență: Valea Putnei.

***Globigerina* sp.**

Descriere: Test globular, înrulat trohospiral, cu camere sferice până la ovale, care cresc rapid în dimensiuni pe măsură ce se formează, ajungând de obicei la trei până la cinci în turul final. Suturile sunt distincte, depresionate. Ombilicul este deschis iar periferia rotunjită, cu contur lobat. Perete calcaros perforat, cu pori cilindrici. Apertura primară este un arc ombilical înalt care poate fi mărginit de o bordură sau o buză neperforată. Nu există aperturi secundare.

Ocurență: Valea Boului, Valea Putnei, Valea Sucevei 3, Voroneț.

Genul *Globigerinoides* Cushman, 1927

Globigerinoides primordius

Blow & Banner, 1962

Globigerinoides primordius Blow & Banner, 1962, p. 15, pl. 9, fig. Dd-Ff.

Globigerinoides primordius Blow & Banner, 1962 - Kennett & Srinivasan, 1983, p. 54, pl. 11, fig. 1-3; Spezzaferri, 1994, p. 35, pl. 11, fig. 1a-d, pl. 12, fig. 2a-b.

Descriere: Test de dimensiuni variabile, trohospiral-jos, cu două-trei spire și suprafață spinoasă; sunt vizibile 3½ camere pe ultimul tur, care cresc rapid pe măsură ce sunt adăugate; suturile sunt depresionate, radiare, ușor arcuite pe ambele fețe; ombilicul mic, dar deschis și adânc. Apertura primară

este ombilicală, arcuită; sunt prezente aperturi secundare suturale mici, pe partea spirală.

Ocurență: Valea Boului.

***Globigerinoides* sp.**

Descriere: Test cu camere globulare până la ovale care cresc rapid în dimensiuni, dispuse într-o înrulare jos până la înalt trohospirală; suturi radiare, depresionate. Ombilic deschis și periferie rotunjită cu contur lobat. Pereții calcaros, grosier perforat și spinos, cu pori la baza unor punctații adâncite. Apertura primară este un arc interio-marginal ombilical mare. Una sau mai multe deschideri suturale secundare sunt prezente pe partea spirală, la intersecția suturilor spirale și radiare.

Ocurență: Valea Boului, Valea Moldoviței, Valea Putnei.

Genul *Globigerinelloides* Cushman & Ten Dam, 1948

Globigerinelloides asper

(Ehrenberg, 1854)

Globigerinoides asper Ehrenberg, 1854, p. 23, pl. 30, fig. 26

Globigerinoides asper Ehrenberg, 1854 - Abramovich et al., 2012, p. 147, pl. 1, fig. 9-10.

Globigerinelloides asper (Ehrenberg, 1854) – Hayward et al., 2018.

Descriere: Test de dimensiuni mici, planspiral constituit din 2 ture, 6 camere pe ultima tură, apertura este interiomarginală, în poziție ecuatorială sub forma unei deschideri arcuite. Perete extern radial perforat.

Ocurență: Valea Putnei.

Genul *Eoglobigerina* Morozova, 1959

Eoglobigerina eobulloidis

(Morozova, 1959)

Globigerina (Eoglobigerina) eobulloidis Morozova, 1959, p. 1115, fig. 1a -c.

Globigerina eobulloides eobulloides (Morozova, 1959) - Blow, 1979, p. 1214, pl. 60, fig. 8-9, pl. 66, fig. 6-9, pl. 70, fig. 3-4, pl. 73, fig. 6.

Eoglobigerina eobulloides (Morozova, 1959) - Huber, 1991, p. 461, pl. 2, fig. 9-11.

Eoglobigerina eobulloides (Morozova, 1959) - Olsson et al., 1999, p. 21, pl. 8, fig. 10-12, pl. 19, fig. 1-15.

Descriere: Test spinos, cancelat, moderat trohospiral, camere globulare, 4½ camere în ultima tură, camere care cresc moderat în dimensiune, apertură rotundă ombilicală ușor extraombilicală.

Ocurență: Valea Suha.

Genul *Trilobatus* Spezzaferi et al., 2015

Trilobatus trilobus

(Reuss, 1850)

Globigerina triloba Reuss, 1850, p. 374, pl. 47, fig. 11 (fide Ellis & Messina, 1942-2010).

Globigerinoides triloba (Reuss, 1850) - Kennett & Srinivasan, p. 62, pl. 10, fig. 4, pl. 13, fig. 1-3.

Globigerinoides trilobus (Reuss, 1850) - Spezzaferri, 1994, p. 37, pl. 13, fig. 1, pl. 15, fig. 6; Popescu, 1975, p. 90, pl. 69, fig. 1, 70, fig. 3.

Trilobatus trilobus (Reuss, 1850) - Spezzaferi et al., 2015.

Descriere: Test de dimensiuni medii și mari, înrulat scurt trohospiral, compact; 3 camere în ultimul tur care cresc rapid în dimensiune pe măsură ce sunt adăugate; suturi depresate și radiare, ușor curbate pe ambele fețe; apertura primară ombilicală-extraombilicală; aperturi secundare mici de-a lungul suturii spirale.

Ocurență: Valea Boului.

Familia TRUNCOROTALOIDIDAE

Loeblich & Tappan, 1961

Genul *Acarinina* Subbotina, 1953

Acarinina primitiva (Finlay, 1947)

Globoquadrina primitiva Finlay, 1947, p. 291, pl. 8, fig. 129-134.

Acarinina primitiva (Finlay, 1947) - Bolli et al., 1989, p. 274, fig. 6.7, 5.

Descriere: Test spinos, compact, cu 3-4 camere triunghiulare în ultima tură, camere aranjate la unghiuri distincte, separate de suturi incizate și distincte, apertura este ombilicală-extraombilicală cu o buză.

Ocurență: Voroneț.

***Acarinina* sp.**

Descriere: Test spinos, compact, camere aranjate la unghiuri distincte, separate de suturi incizate și distincte, apertura este ombilicală-extraombilicală cu o buză, cu spini distribuiți aleatoriu.

Ocurență: Voroneț.

Ordinul BULIMINIDA Fursenko, 1958

Superfamilia

PLEUROSOTOMELLACEA Reuss, 1860

Familia PLEUROSOTOMELLIDAE

Reuss, 1860

Genul *Pleurostomella* Reuss, 1860

Pleurostomella acuta Hantken, 1875

Pleurostomella acuta - Hantken, 1875, p. 37, pl. 13, fig. 18.

Pleurostomella cf. acuta Hantken, 1875 - Beckmann, 1953, p. 372, pl. 22, fig. 1.

Pleurostomella acuta Hantken, 1875 - Hagn, 1956, p. 156, pl. 14, fig. 6.

Pleurostomella acuta Hantken, 1875 - Proto Decima & DeBiase, 1970, p. 96, pl. 3, fig. 7.

Pleurostomella acuta Hantken, 1875 - Oszwart, 2007, p. 69, pl. 8, fig. 9-11.

Descriere: Test biseriat, oval, circular în secțiune transversală, curbat, de 2 ori mai lung decât lat, camerele cresc gradual în dimensiune, curbat, perete calcaros fin perforat, apertura este o deschidere ovală în camera finală.

Ocurență: Valea Brodinei 2, Valea Dobra.

Pleurostomella incrassata

Hantken, 1884

Pleurostomella incrassata Hantken, 1884, p. 146, pl. 1, fig. 4, 7.

Pleurostomella incrassata Hantken - Hagn 1956, p. 156, pl. 14, fig. 2, 5.

Pleurostomella incrassata Hantken - Oszwart, 2007, p. 70, pl. 8, fig. 15-16.

Descriere: Test ușor biseriat, circular în secțiune transversală, cu lungimea de 2, 3 ori mai mare decât lățimea, alcătuit din 4 camere, camera a treia este globulară și de dimensiuni mari. Suturi distincte, perete calcaros fin perforat, apertura ovală, situată pe ultima cameră.

Ocurență: Voroneț, Valea Putnei.

***Pleurostomella* sp.**

Descriere: Test alungit, biseriat, oval, curbat, perete calcaros fin, apertura este o deschidere situată la partea superioară a ultimei camere.

Ocurență: Valea Putnei, Voroneț.

Genul *Nodosarella* Rzehak, 1895

***Nodosarella lorifera* (Halkyard, 1919)**

Nodosarella (Dentalina) lorifera Halkyard, 1919, p. 70, pl. 4, fig. 2-3.

Nodosarella lorifera Halkyard, 1919 - Sztrakos, 1987, pl. 11, fig. 18.

Nodosarella lorifera Halkyard, 1919 - Oszwart, 2007, p. 69, pl. 8, fig. 5.

Descriere: Test alungit, ușor curbat, monoseriat, circular, lungimea este de 6 ori mai mare decât lățimea, 7 camere, perete calcaros, apertura terminală sub formă de o fisură terminală.

Ocurență: Valea Sucevei 3.

***Nodosarella tuberosa* (Gumbel, 1919)**

Lingulina tuberosa Gumbel, 1919, p. 629, pl. 1, fig. 52.

Nodosarella tuberosa (Gumbel, 1919) - Hagn, 1956, p. 157, pl. 14, fig. 4.

Nodosarella tuberosa (Gumbel, 1919) - Protodecima & De Biase, 1975, p. 96, pl. 3, fig. 9.

Nodosarella tuberosa (Gumbel, 1919) - Oszwart, 2007, p. 69, pl. 8, fig. 6-7.

Descriere: Test alungit, monoseriat, circular, lungimea este de cca. 4 ori mai mare decât lățimea, 4 camere, perete calcaros iar apertura terminală sub formă de o fisură alungită.

Ocurență: Valea Sucevei 3.

Superfamilia STILOSTOMELLACEA

Finlay, 1947

Familia STILOSTOMELLIDAE Finlay, 1947

Genul *Siphonodosaria* Silvestri, 1924

Siphonodosaria dentataglabrata

(Cushman, 1936)

Ellipsonodosaria dentata-glabrata

Cushman, 1936, p. 54, pl. 9, fig. 22-23.

Siphonodosaria dentataglabrata (Cushman, 1936) - Bolli et al., 1994, p. 144, fig. 38.23.

Descriere: Test îngust, alungit, uniseriat, 5 camere subglobulare cu striatii, perete calcaros perforat, apertura rotunjită, pe un gât scurt.

Ocurență: Valea Putnei.

Siphonodosaria jacksonensis

(Cushman & Applin, 1926)

Siphonodosaria longae McLean, 1952, p. 10, pl. 2, fig. 17-20.

Ellipsonodosaria recta Palmer & Bermudez, Cushman & Renz, 1948, p. 32, pl. 6, fig. 14.

Siphonodosaria longae McLean, 1952 Bolli et al., 1994, p. 144, fig. 38.24.

Siphonodosaria jacksonensis (Cushman & Applin, 1926) – Hayward et al., 2018.

Descriere: Test îngust, alungit, uniseriat, alcătuit din cca. 10 camere subglobulare, care cresc treptat în dimensiune, perete calcaros, apertura rotunjită, plasată pe un gât scurt.

Ocurență: Valea Putnei.

***Siphonodosaria* sp.**

Descriere: Test îngust, alungit, uniseriat, alcătuit din cca. 5-10 camere subglobulare, care cresc treptat în dimensiune, perete calcaros, apertura rotunjită, plasată pe un gât scurt.

Ocurență: Valea Putnei, Valea Sucevei 3.

Genul *Stilostomella* Guppy, 1894

Stilostomella hoernesii

(Hantken, 1868)

Dentalina hornesi Hantken, 1868, p. 89, pl. 1, fig. 2.

Stilostomella hoernesii (Hantken, 1868) - Sztrakos, 1979, pl. 19, fig. 15.

Stilostomella hoernesii (Hantken, 1868) - Sztrakos, 1982, pl. 16, fig. 4.

Stilostomella hoernesii (Hantken, 1868) - Oszwart, 2007, p. 73, pl. 8, fig. 28.

Descriere: Test alungit, monoseriat, lungimea de 5 ori mai mare decât lățimea, camerele cresc gradual în dimensiune, perete calcaros fin perforat, apertura terminală circulară.

Ocurență: Valea Putnei.

Stilostomella paleocenica

(Cushman & Todd, 1946)

Ellipsonodosaria paleocenica Cushman & Todd, 1946, p. 61, pl. 10, fig. 26.

Stilostomella paleocenica (Cushman & Todd, 1946) - Bolli et al., 1994, p. 145, fig. 38.29-30.

Descriere: Test alungit, monoseriat, 5-7 camere subglobulare sau ovale, care cresc gradual în dimensiune, perete calcaros, hispid, apertura cilindrică terminală situată pe un gât scurt.

Ocurență: Valea Putnei.

Stilostomella pseudoscripta

(Cushman & Campbell, 1935)

Nodosaria spinifera Cushman & Campbell, 1935, p. 71, pl. 10, fig. 9-10.

Ellipsonodosaria pseudoscripta (Cushman & Campbell) - Cushman, 1937, p. 103, pl. 15, fig. 14.

Siphonodosaria pseudoscripta (Cushman) - Graham & Church, 1963, p. 56, pl. 6, fig. 13.

Stilostomella pseudoscripta (Cushman) - North & Caldwell, 1964, p. 22, pl. 4, fig. 2-3.

Descriere: Test alungit, uniseriat, perete calcaros perforat, suprafața neregulat spinoasă la baza camerelor.

Ocurență: Valea Putnei

Stilostomella subspinosă

(Cushman, 1943)

Ellipsonodosaria subspinosă Cushman, 1943, p. 92, pl. 16, fig. 6-7.

Ellipsonodosaria subspinosă Cushman, 1943 - Cushman & Stainforth, 1945, p. 56, pl. 9, fig. 9-10.

Stilostomella subspinosă (Cushman, 1943) - Bolli et al., 1994, p. 256, pl. 63, fig. 30.

Stilostomella subspinosă (Cushman, 1943) - Kender, 2007, p. 193, pl. 19, fig. 9-11.

Descriere: Test alungit, uniseriat, camere globulare care cresc gradual în dimensiune acoperindu-se una pe cealaltă, perete spinos, apertura terminală.

Ocurență: Valea Sucevei 3, Valea Putnei.

***Stilostomella* sp.**

Descriere: Test alungit, monoseriat, circular în secțiune transversală, lungimea de aproximativ 4-5 ori mai mare decât lățimea, perete calcaros, apertură terminală circulară.

Ocurență: Valea Putnei, Valea Sucevei 1, Valea Sucevei 3.

Ordinul ROTALIIDA Lankester, 1885

Superfamilia DISCORBACEA

Ehrenberg, 1838

Familia Eponididae Hofker, 1951

Genul ***Eponides*** de Montfort, 1808

***Eponides* sp.**

Descriere: Test biconvex, cu periferie angulară, înrulat trohospiral în 3 tururi, cu cca. 6-7 camere pe tur, perete calcaros, fin perforat, apertura este un arc interiomarginal larg, care se extinde de la ombilic spre periferie.

Ocurență: Valea Dobra, Valea Sucevei 1.

Superfamilia DISCORBINELLACEA

Sigal, 1952

Familia PARRELLOIDINIDAE Hofka,

1956

Genul ***Cibicidoides*** Thalmann, 1939

Cibicidoides velascoensis

(Cushman, 1925)

Anomalina velascoensis Cushman, 1925, p. 21, pl. 3, fig. 3a-c.

Cibicidoides velascoensis (Cushman, 1925) - Morkhoven et al., 1986, p. 371, pl. 121, fig. 1a-2d.

Descriere: Test plano-convex, evolut, cu partea dorsală aproape plată, iar cea

ventrală rotunjită, 8-9 camere distincte pe ultima tură, perete fin perforat.

Ocurență: Valea Putnei, Valea Suha, Valea Sucevei 1.

***Cibicoides* sp.**

Descriere: Test trochospiral, cu periferia rotunjită, camere care cresc treptat în dimensiuni și peretele neted cu perforații fine.

Ocurență: Valea Brodinei 2, Valea Brodinei 3, Valea Putnei, Voroneț.

Superfamilia ASTERIGERINACEA
d'Orbigny, 1839

Familia EPISTOMARIIDAE Hofker, 1954

Genul Nuttallides Finlay, 1939

***Nuttallides truempy* (Nuttall, 1930)**

Eponides truempy Nuttall, 1930, p. 287, pl. 24, fig. 9, 13, 14.

Nuttallides truempy (Nuttall, 1930) - Aubert & Berggren, 1976, p. 425, pl. 6, fig. 5.

Nuttallides truempy (Nuttall, 1930) - Tjalsma & Lohmann, 1983, p. 17, pl. 6, fig. 4, pl. 17, fig. 4-5, pl. 21, fig. 1-4.

Nuttallides truempy (Nuttall, 1930) - Morkhoven et al., 1986, p. 288, pl. 96A-D, fig. 1-4b, 1a-3c, 1a-4, 1a-2c.

Descriere: Test rotailiform, biconvex, mai puțin înălțat dorsal și mai mult ventral, camere vizibile aranjate în multe ture cu suturi tangențiale pe partea convexă și suturi sinuoase pe partea ombilicală, perete calcaros, apertura sub forma unei fante alungite la baza ultimei camere.

Ocurență: Valea Dobra, Valea Putnei, Valea Brodinei 2.

***Nuttallides* sp.**

Descriere: Test rotailiform, biconvex, camere aranjate în multe ture, perete calcaros, fin perforat, apertura situată la baza ultimei camere sub forma unei fante alungite.

Ocurență: Valea Dobra.

Superfamilia CHILOSTOMELLACEA

Brady, 1881

Familia CHILOSTOMELLIDAE Brady, 1881

Genul Chilostomella Reuss, 1849

***Chilostomella* sp.**

Descriere: Test ovoid, planspiral și involut, cu 2 camere acoperitoare pe tur, perete calcaros fin perforat și apertura sub formă de fantă îngustă interiomarginală.

Ocurență: Valea Sucevei 3, Valea Moldoviței.

Familia GAVELINELLIDAE Hofker, 1956

Genul Gyroidina d'Orbigny, 1826

***Gyroidina* sp.**

Descriere: Test trochospiral cu fața spirală evolută, camere dispuse în 2 ½ ture, perete calcaros, grosier perforat, apertura este o fantă interiomarginală care se extinde din apropierea periferiei până la jumătatea ombilicului.

Ocurență: Valea Sucevei 3.

Genul Gyroidinoides Brotzen, 1942

***Gyroidinoides depressus* (Alth, 1850)**

Rotalina depressa Alth, 1850, p. 266, pl. 13, fig. 21.

Gyroidina depressa (Alth, 1850) - Cushman & Jarvis, 1932, p. 46, pl. 14, fig. 1.

Gyroidina depressa (Alth, 1850) - Cushman & Renz, 1946, p. 44, pl. 7, fig. 16-17.

Gyroidinoides depressus (Alth, 1850) - Bolli et al., 1994, p. 159, fig. 44.29-30, 32-34.

Descriere: Test trochospiral planconvex, cu fața spirală plată și evolută și fața ombilicală convexă, perete calcaros și apertura sub forma unei fante interiomarginale.

Ocurență: Valea Putnei.

Gyroidinoides kaminskii

Beckmann, 1991

Gyroidinoides kaminskii Beckmann, 1991, p. 828, pl. 2, fig. 11-13, 16-18.

Gyroidinoides kaminskii Beckmann, 1991 - Bolli et al., 1994, p. 160, fig. 45.7-12.

Descriere: Test trohospiral, biconvex, uneori ușor aplatizat pe fața dorsală, cu 6-8 camere în ultima tură, perete calcaros, neted, lucios, apertură interiomarginală ombilicală.

Ocurență: Valea Putnei.

***Gyroidinoides* sp.**

Descriere: Test trohospiral planconvex, cu fața spirală plată și evolută, iar fața ombilicală convexă, periferia testului este rotunjită, perete calcaros și apertura o fantă interiomarginală.

Ocurență: Valea Dobra, Valea Putnei.

Genul *Hansenisca* Loeblich & Tappan, 1987

Hansenisca soldanii (d'Orbigny, 1826)

Gyroidina soldanii d'Orbigny, 1826, p. 112, fig. 5.

Rotalina soldanii d'Orbigny, 1826, - d'Orbigny, 1846 p. 155, pl. 8, fig. 10-12.

Gyroidina soldanii d'Orbigny, 1826, - Marks, 1951, p. 64.

Rotalina soldanii d'Orbigny, 1826, - Papp & Schmid, 1985, p. 60, pl. 50, fig. 4-9.

Hansenisca soldanii (d'Orbigny, 1826) – Hayward et al., 2018.

Descriere: Test trohoid, cu partea dorsală ușor convexă iar cea ventrală puternic convexă, partea dorsală este alcătuită din 2 ½ ture cu 10-11 camere pe ultima tură, perete fin perforat iar apertura sub forma unei fante.

Ocurență: Valea Sucevei 3

Familia HETEROLEPIDAE Gonzales - Donoso, 1969

Genul *Heterolepa* Franzenau, 1884

***Heterolepa* sp.**

Descriere: Test trohospiral biconvex, circular, cu partea spirală evolută și convexă, cu 3-4 ture vizibile. Partea ombilicală este involută și convexă. Perete calcaros, grosier perforat.

Ocurență: Valea Sucevei 3

Capitolul VI. Concluzii

Prezentul studiu a avut ca obiectiv principal analiza asociațiilor de foraminifere fosile din partea de nord a Pânzei de Tarcău (Carpații Orientali) cu scopul de a stabili unele repere biostratigrafice și de a reconstitui parametrii paleoambientali care au controlat compoziția populațiilor, în contextul evoluției bazinelor sedimentare din intervalul Cretacic superior - Oligocen și Miocen.

Au fost identificate asociații de foraminifere cu o compoziție, abundență și un grad de păstrare variate, din care s-au separat 149 specii de foraminifere aglutinante, 41 calcaroase bentonice și 45 planctonice. După cum se poate observa, în ansamblu, asociațiile de foraminifere sunt dominate de foraminifere aglutinante, caracteristice mediilor marine adânci (batial superioare până la abisale), în care s-au depus formațiunile reprezentative pentru sectorul nordic al Pânzei de Tarcău.

Compoziția morfogrupurilor de foraminifere aglutinante și analizele statistice de diversitate atestă că toate populațiile pot fi încadrate în „asociații de tip fliș”, constituite din specimene grosier aglutinate, caracteristice sistemelor turbiditice din mediile marine adânci.

Pe baza primei și ultimei apariții a unor specii cu valoare biostratigrafică la nivel regional și a unor bioevenimente care au generat abundențe particulare, au fost separate șapte zone cu foraminifere aglutinante, caracteristice intervalului Cretacic superior - Eocen superior:

- Zona cu „*Caudammina ovulum gigantea*”, marcată de prima și ultima apariție a speciei menționate, a fost identificată în secțiunile de pe Valea Sucevei 1, Valea Brodinei 2 și Valea Putnei. Este caracteristică Formațiunii de Hangu și din punct de vedere biostratigrafic definește intervalul Campanian - Maastrichtian superior. Asociațiile de foraminifere din această zonă sunt dominate de specii tubulare (*Nothia excelsa*, *Nothia latissima*, *Bathysiphon* sp, *Psammosiphonella cylindrica*, *P. discreta*, *Rhizammina* sp.), care reflectă medii marine batial superioare-medii cu un aport relativ scăzut de materie organică.

- Zona cu "*Rzehakina fissistomata*" este caracteristică Paleocenului și a fost separată pe baza primei și ultimei apariții a speciei index. Caracterizează Formațiunea de Izvor (Putna) și a fost identificată în secțiunile de pe Valea Suha, Palma, Valea Sucevei 2 și Valea Putnei. Asociațiile de foraminifere sunt dominate de specii aglutinante și sugerează o adâncire a bazinului de sedimentare la începutul Paleocenului (batial mediu - inferior). Distribuția morfogrupurilor de foraminifere aglutinante și valorile diversității relativ ridicate sugerează conținut ridicat de materie organică și nivel de oxigenare ridicat pentru Paleocen.
- Zona cu "*Glomospira*" caracterizează Formațiunea de Straja și a fost identificată în secțiunile Straja Vest, Valea Brodinei 1 și Valea Putnei. Este definită de abundența ridicată a speciilor *Glomospira charoides*, *G. gordialis*, *G. serpens* și este specifică părții inferioare a Eocenului. Indică medii de viață instabile cu rată de sedimentare scăzută și productivitate ridicată.
- Zona cu "*Reophax pilulifer*" definește baza Eocenului mediu din Formațiunea de Scorbura investigată pe Valea Putnei, Valea Brodinei 3, Valea Brodinei 6 și Voroneț. A fost separată pe baza abundenței ridicate a speciei diagnostice și sugerează medii marine batial superioare cu flux organic ridicat.
- Zona cu "*Reticulophragmium amplexans* și *Karrerulina*" a fost identificată în secțiunea de pe Valea Sucevei 3. Este caracteristică Eocenului mediu - superior al Formațiunii de Plopu și indică medii marine batiale cu aport nutritiv ridicat și nivel de oxigenare moderat.
- Zona cu "*Spiroplectammina spectabilis*" este definită de abundența ridicată a speciei diagnostice și este caracteristică Eocenului superior al Formațiunii de Plopu de pe Valea Sucevei 3 și Valea Moldoviței. Sugerează instalarea unui episod de răcire și condiții de viață eutrofe.

O situație particulară este cea a "Zonei cu *Karrerulina*", caracterizată de abundența ridicată a speciilor *Karrerulina conversa* și *K. horrida*. Cu toate că această zonă a fost descrisă în literatura de specialitate ca fiind specifică Eocenului inferior, în studiul de față am identificat-o în succesiunile sedimentare

paleocene de pe Valea Putnei, eocene inferioare de pe Valea Dobra, Rusca, Grozăvești și eocene medii și superioare de pe Valea Sucevei 3. Prezența acestei asociații la mai multe nivele stratigrafice îi conferă în primul rând o semnificație ecologică și mai puțin una biostratigrafică.

Cele șapte zone cu foraminifere aglutinante au permis corelarea spațială și temporală a faciesurilor individuale.

Compoziția asociațiilor studiate a permis și soluționarea unei controverse legată de vârsta Formațiunii de Plopu. Astfel, foraminiferele și nannofosilele calcaroase identificate pe Valea Sucevei 3 sunt caracteristice intervalului Eocen mediu - Eocen superior (cu limita Eocen mediu/Eocen superior situată în cadrul Formațiunii de Plopu) și nu Eocenului superior.

Asociațiile de foraminifere identificate au permis conturarea evoluției bazinului de sedimentare pe intervalul Cretacic superior - Oligocen/Miocen:

- în timpul Cretacului superior mediile marine erau batial superioare/medii cu un flux scăzut de materie organică;
- Paleocenul a fost caracterizat de o adâncire a bazinului de sedimentare la medii batial inferioare-abisale;
- începutul Eocenului a fost definit de medii marine batial medii, instabile, cu rată de sedimentare scăzută;
- în timpul Eocenului mediu adâncimile au scăzut și s-au instalat medii batial superioare; aceste condiții s-au menținut și în timpul Eocenului superior;
- Oligocenul și Miocenul au fost caracterizate de asociații cu foraminifere planctonice (secțiunea de pe Valea Boului) care sugerează o nouă inundare marină.

Sucesiunea paleomediilor identificate permite și reconstituirea la scară mare a tendințelor de fluctuație relativă a nivelului marin, chiar dacă în mediile turbiditice un asemenea demers este foarte dificil. Astfel se poate presupune existența unor intervale transgresive în Paleocen și Oligocen și Miocen, care încadrează un interval regresiv în Eocenul mediu. Acest scenariu urmărește tendințele majore la scară globală (Haq et al., 1978; Hardenbol et al., 1998), peste care se suprapun oscilații de ordin superior, generate de tectonica regională.

Prezentul studiu oferă așadar o imagine de ansamblu asupra distribuției spațiale și temporale a asociațiilor de foraminifere fosile și a evoluției bazinului de sedimentare din nordul Pânzei de Tarcău, oferind criterii pentru corelarea faciesurilor la nivel local și regional și permițând reconstituirea unei părți din istoria unui bazin de sedimentare controlat de dinamica Carpaților.

Referințe bibliografice

- Abramovich, S., Almogi-Labin, A. & Benjamini, C., 1998. Decline of the Maastrichtian pelagic ecosystem based on planktic foraminifera assemblage changes: Implication for the terminal Cretaceous faunal Crisis. *Geology*, **26**: 63-66.
- Abramovich, S., Keller, G., Adatte, T., Stinnesbeck, W., Hottinger, L., Stueben, D., Berner, Z., Ramanivosoa, B., & Randriamanantenasoa, A., 2002. Age and paleoenvironment of the Maastrichtian to Paleocene of the Mahajanga Basin, Madagascar: A multidisciplinary approach. *Marine Micropaleontology*, **47**: 17-70.
- Abramovich, S., Keller, G., Berner, Z., Cymbalista, M. & Rak, K., 2012. Maastrichtian planktic foraminiferal biostratigraphy and paleoenvironment of Brazos River, Falls County, Texas, U.S.A.. *The End-Cretaceous Mass Extinction and the Chicxulub Impact in Texas. SEPM Special Publication*, **100**: 123-156.
- Agheorghiressei, V., Băncilă, I., Costea, I. & Roșca, A. 1967. Contribuții la stratigrafia Flișului Carpatic. *Dări de Seamă ale Comitetului Geologic* **53** (1): 251-273.
- Agnini, C., Muttoni, G., Kent, D.V. & Rio, D., 2006. Eocene biostratigraphy and magnetic stratigraphy from Possagno, Italy: the calcareous nannofossil response to climate variability. *Earth and Planetary Science Letter*, **241**: 815-830.
- Agnini, C., Fornaciari, E., Rio, D., Tateo, F., Backman, J. & Giusberti, L., 2007. Responses of calcareous nannofossil assemblages, mineralogy and geochemistry to the environmental perturbations across the Paleocene/Eocene boundary in the Venetian Pre-Alps. *Marine Micropaleontology*, **63**: 19-38.
- Alegret L., Molina E. & Thomas E. 2003. Benthic foraminiferal turnover across the Cretaceous/Paleogene boundary at Agost (southeastern Spain): paleoenvironmental inferences. *Marine Micropaleontology*, **48**: 251-279.
- Alegret, L. & Thomas, E., 2005. Cretaceous/Paleogene boundary bathyal paleoenvironments in the central North Pacific (DSDP Site 465), the Northwestern Atlantic (ODP Site 1049), the Gulf of Mexico and the Tethys: The benthic foraminiferal record. *Palaeogeography, Palaeoclimatology, Palaeoecology*, **224**: 53-82.
- Alegret, L. & Thomas, E., 2007. Deep-Sea environments across the Cretaceous/Paleogene boundary in the eastern South Atlantic Ocean (ODP Leg 208, Walvis Ridge). *Marine Micropaleontology*, **64**: 1-17.
- Alegret, L., Ortiz, S., Orue-Etxebarria, X., Bernaola, G., Baceta, J.I., Monechi, S., Apellaniz, E. & Pujalte, V., 2009. The Paleocene-Eocene Thermal Maximum: new data from the microfossil turnover at the Zumaia section, Spain. *Palaio*, **24**: 318-328.
- Alegret, L., Ortiz, S., Arenillas, I. & Molina, E., 2010. What happens when the ocean is overheated? The foraminiferal response across the Paleocene-Eocene Thermal Maximum at the Alamedilla section (Spain). *Geological Society of America Bulletin*, **122** (9/10): 1616-1624.
- Antonescu, E., Ion, J., Alexandrescu, Gr. (1977) - Nouvelles données biostratigraphiques (palynologiques et micropaléontologiques) concernant les schistes noirs et les argiles bariolées des Carpathes Orientales. *Dări de Seama ale Comitetului Geologic*. **64**: 43-61.
- Arreguín-Rodríguez, G.J., Alegret, L. & Ortiz, S., 2013. Glomospira Acme during the Paleocene-Eocene Thermal Maximum: response to CaCO₃ dissolution or to ecological forces? *Journal of Foraminiferal Research*, **43** (1): 40-54.

- Arenillas, I. & Arz, J.A., 2000. *Parvularugoglobigerina eugubina* type-sample at Ceselli (Italy): planktic foraminiferal assemblage and lowermost Danian biostratigraphic implications. *Riv. Ital. Paleont. Stratigr*, **106** (3): 379-390.
- Atanasiu, I., 1939. Contributions á la Stratigraphie et la tectonique du Flysch marginal moldave. *Sci. Ann. A.I. Cuza University, Iași* **25** (1): 320—327.
- Atanasiu, I., 1943. Les Facies du Flysch marginale dans le pertie moyenne des Carpates Moldaves. *AIGR*, **22** : 149-146.
- Atanasiu, I., 1952. Orogeneza și sedimentarea în Carpații Orientali. *An. Com. Geol.*, **24**: 13-27.
- Aumond, G. N., Kochhann, K. G. D., Florisbal, L. S., Baecker-Fsuth, S., Bergue, C. T. & Fauth, G., 2009. Maastrichtian-Early Danian radiolarians and Ostracodes from ODP Site 1001B, Caribbean Sea. *Revista Brasileira de Paleontologia*, **12** (3): 195-210.
- Aubry, M.P., 1992a. Paleogene calcareous nannofossils from the Kerguelen Plateau, Leg 120. *Proceedings of the Ocean Drilling Program, Scientific Results*, **120**: 471-491.
- Aubry, M.P., 1992b. Late Paleogene nannoplankton evolution: a tale of climatic deterioration. In: Prothero, D.R., Berggren, W.A. (Eds.), *Eocene-Oligocene Climatic and Biotic Evolution. Princeton Univ. Press, Princeton*, 272-309.
- Bąk, K., 2000. Biostratigraphy of deep-water agglutinated Foraminifera in Scaglia Rossa-type deposits of the Pieniny Klippen Belt, Carpathians, Poland. - In: Hart, M.B., Kaminski, M.A. & Smart, C.W. (eds), *Proceedings of the Fifth International Workshop on Agglutinated Foraminifera*. Grzybowski Foundation Special Publication, **7**: 15-40.
- Bąk, K., 2004. Deep-water agglutinated foraminiferal changes across the Cretaceous/Tertiary and Paleocene/Eocene transition in the deep flysch environment; eastern Carpathians (Bieszczady Mts, Poland). *Proceedings of the Sixth International Workshop on Agglutinated Foraminifera*. Grzybowski Foundation Special Publication, **8**: 1-56.
- Barrera, E., 1994. Global environmental changes preceding the Cretaceous-Tertiary boundary: early-late Maastrichtian transition. *Geology* **22**: 877-880.
- Barrera, E. & Keller, G., 1990. Stable isotope evidence for gradual environmental changes and species survivorship across the Cretaceous/Tertiary boundary: *Paleoceanography*, **5**: 867-890.
- Bădescu, D., 2005. Evoluția tectono-stratigrafică a Carpaților Orientali în decursul Mezozoicului și Neozoicului. *Editura Economică, București*, 311 pp.
- Băncilă, I., 1958. Geologia Carpaților Orientali. *Editura Științifică, București*, 368 pp.
- Băncilă, I. & Papiu, V.C., 1962. Asupra silicolitelor cretacee inferioare din cuveta marginală a Carpaților Orientali. *Dări de seamă ale Comitetului Geologic*, **46**: 25-51.
- Beckmann, J.P., Bolli, H.M., Perch-Nielsen, K., Decima, F.P., Saunders, J.B. & Toumarkine, M., 1981. Major calcareous nannofossil and foraminiferal events between the Middle Eocene and Early Miocene. *Palaeogeography, Palaeoclimatology, Palaeoecology*, **36**: 155-190.
- Berggren, W.A., 1992. Paleogene planktonic foraminifer magnetobiostratigraphy of the southern Kerguelen Plateau (Sites 747-749), in Wise, S. w., Jr., Schlich, R. and others (eds.), 1992, *Proceedings of the Ocean Drilling Program, Scientific Results*, Ocean Drilling Program, College Station, Texas, **120**: 551-568.
- Berggren, W.A. & Miller, K. G., 1988. Paleocene tropical planktonic foraminiferal biostratigraphy and magneto biochronology. *Micropaleontology*, **34** (4): 362-380.

- Berggren, W.A., Kent, D.V., Swisher III, C.C., & Aubry, M.-P., 1995. A revised Cenozoic geochronology and chronostratigraphy. In Berggren, W.A., Kent, D.V., and Hardenbol, J., eds., *Geochronology, time scales and global stratigraphic correlations: A unified temporal framework for an historical geology*: Tulsa: SEPM Special Volume, **54**: 129-212.
- Bieda, F., Geroch, S., Koszarski, L., Książkiewicz M. & Żytko K. 1963. Stratigraphie des Karpates Externes Polonaises. *Kwartalnik Geologiczny*, **181**: 1-174.
- Bindiu, R. & Filipescu, S., 2011a. Agglutinated Foraminifera from the Northern Tarcău Nappe (Eastern Carpathians, Romania). *Studia UBB Geologia*, **56** (2): 31-41.
- Bindiu, R. & Filipescu, S., 2011b. Foraminiferal Assemblages on turbidite deposits from the northern part of the Tarcău Nappe. Age and paleoenvironmental interpretation. In: Csiki, Z. (ed.) *Eight Romanian Symposium on Paleontology, Bucharest, 29-30 September 2011, Abstract Book*, p. 3.
- Bindiu, R., Filipescu, S., 2015 a. Reconstituiri biostratigrafice si paleoambientale pe baza asociatiilor de foraminifere fosile din depozitele turbiditice ale Panzei de Tarcău (Carpatii Orientali, Romania) - „Geologia Clujeana - Studii Teoretice si Aplicate” - *Zilele Academiei Clujene*.p. 55.
- Bindiu, R., Filipescu, S., 2015 b. Foraminiferal biostratigraphy and palaeoenvironments in the Izvor Formation (Tarcău Nappe, Eastern Carpathians). *The 10th Romanian Symposium of Paleontology*, October 16-17, 2015: 6-7.
- Bindiu, R. & Filipescu, S., 2015 c. Foraminiferal biostratigraphy and paleoenvironments of the middle Eocene deposits from the northern part of the Tarcău Nappe (Eastern Carpathians, Romania), *Studia UBB Geologia*, **59** (1-2): 45-59.
- Bindiu, R. & Filipescu, S., 2016. Paleocene “flysch-type” agglutinated foraminifera from the northern part of the Eastern Carpathians (Romania). *Studia UBB Geologia*, **60** (2): 17-30.
- Bindiu, R., Beldean, C. & Filipescu, S., 2010. Date preliminare privind asociațiile de foraminifere din Pânza de Tarcău (Moldavidele Carpaților Orientali). In S., Filipescu & I. Bucur, (eds.) *Sesiunea Științifică Anuală “Ion Popescu Voitești”*, 26 noiembrie 2010, Cluj-Napoca, Program și Abstracte, 22.
- Bindiu, R., Filipescu, S. & Beldean, C., 2011a. Morphogroup analysis on deep-sea agglutinated foraminifera from the northern part of the Tarcău Nappe (Eastern Carpathians, Romania). In: Bak, M., Kaminski, M.A., Waskowska, A. (eds.). *Integrating Microfossil Records from the Oceans and Epicontinental Seas*, **17**: 75-76.
- Bindiu, R., Filipescu, S. & Bălc, R., 2011b. Asociații de foraminifere fosile din Nordul Pânzei de Tarcău (bazinul superior al Văii Sucevei). In S., Filipescu & I. Bucur, (eds.) *Sesiunea Științifică Anuală “Ion Popescu Voitești”*, 9-10 decembrie 2011, Cluj-Napoca, Abstracte, 4-5.
- Bindiu, R., Bălc, R. & Filipescu, S., 2012. Biostratigraphy and paleoenvironments of the Eocene deep water deposits from the northern part of the Eastern Carpathians, Romania. In Alegret, L., Ortiz, S. & Kaminski, M.A. (eds.). *Ninth International Workshop on Agglutinated Foraminifera, Grzybowski Foundation Special Publication*, **18**: 16-17.
- Bindiu, R., Filipescu, S. & Bălc, R., 2013. Biostratigraphy and paleoenvironment of the Upper Cretaceous deposits in the northern Tarcău Nappe (Eastern Carpathians) based on foraminifera and calcareous nannoplankton. *Geologica Carpathica*, **64** (2): 117-132.
- Bindiu R., Filipescu S., Bălc R., Cociș L. & Gligor D., 2016. The mid/late Eocene transition in the Eastern Carpathians (Romania) based on foraminifera and calcareous nannofossil assemblages. *Geological Quarterly*, **60** (1): 38-55.

- Blaj, T., Backmann, J. & Raffi, I., 2009. Late Eocene to Oligocene preservation history and biochronology of calcareous nannofossils from paleo-equatorial ocean sediments. *Rivista Italiana di Paleontologia e Stratigrafia*, **115** (1): 67-85
- Bojar, A.-V., Melinte, M.C. & Bojar, H.-P., 2009. A continuous Cretaceous/Paleogene red bed section in the Romanian Carpathians. In: *Cretaceous Oceanic Red Beds: Stratigraphy, Composition, Origins and Paleoceanographic, and Paleoclimatic Significance* (Eds: Hu, X., Wang, C., Scott, R.W., Waples, M., Jansa, L.). SEPM Special Publications **91**: 129-143.
- Boersma, A., Premoli Silva, I. & Hallock, P. 1998. Trophic models for the well-mixed and poorly mixed warm oceans across the Paleocene/Eocene epoch boundary. In *Late Paleocene-early Eocene climatic and biotic events in the marine and terrestrial records* (Aubry, M.P., Lucas, S.G. & Berggren, W.A., Eds.). Columbia University Press, New York, 204-213.
- Bogatu, L., 1999. Geologia regiunii Soloneț-Sucevița-Moldovița și perspectivele în resurse minerale utile. *Rezumatul Tezei de Doctorat*, Univ. "Al. I. Cuza", Iași, 34 pp.
- Bolli, H.M., 1966. Zonation of Cretaceous to Pliocene marine sediments based on planktonic foraminifera. *Boletín Informativo Asociación Venezolana de Geología, Minería y Petróleo*, **9**: 2-35.
- Bolli, H.M., Beckmann, J.-P. & Saunders, J.B., 1994. Benthic foraminiferal biostratigraphy of the south Caribbean region. *Cambridge University Press*, Cambridge, 408 pp.
- Bouma, A.H., 1962. Sedimentology of some flysch deposits; a graphic approach to facies interpretation. *Elsevier*, 168 pp.
- Bown, P. & Pearson, P., 2009. Calcareous plankton evolution and the Paleocene/Eocene thermal maximum event: New evidence from Tanzania. *Marine Micropaleontology*, **71**: 60-70
- Bralower, T.J., 2002. Evidence of surface water oligotrophy during the Paleocene-Eocene thermal maximum: Nannofossil assemblage data from Ocean Drilling Program Site 690, Maud Rise, Weddell Sea. *Paleoceanography*, **17**/2: 13 -15.
- Bratu, E., 1975. Coupe du Maestrichtien à l'Oligocène inférieure dans le Flysch externe de Cănești (Bassin de la Bistrița). *14th European Micropaleontological Colloquium*, București, 135-141.
- Bratu, E., 1975. Biozones du Paléocène à Lăicăi (Vallée) de la Dâmbovița. In: Bombă, G. (Ed), *14th European Micropaleontological Colloquium*. Micropaleontological Guide to the Mesozoic and Tertiary of the Romanian Carpathians, Institute of Geology & Geophysics, Bucharest, 81-86.
- Bratu, E. & Alexandrescu, G., 1970. Date stratigrafice și micropaleontologice asupra stratelor de Hangu și a stratelor de Straja din Valea Bistriței. *Studii Cerc. Geol., Geof., Geogr. Seria Geologie*, **2**, tom. **15**: 451-467.
- Bubík, M., 1995. Cretaceous to Paleogene agglutinated foraminifera of the Bile Karpaty unit (West Carpathians, Czech Republic). In: Kaminski, M.A., Geroch, S. & Gasinski, M.A. (eds), *Proceedings of the Fourth International Workshop on Agglutinated Foraminifera*. Grzybowski Foundation Special Publication, **3**: 71-116.
- Bubík, M., 2006. Preliminary foraminiferal results from the Cretaceous Red Beds of Romanian East Carpathians. *Report on geological research in 2005*, 9-12.
- Bukry, D., 1973. Coccolith and silicoflagellate stratigraphy, Tasman Sea and southwestern Pacific Ocean, Deep Sea Drilling Project Leg. 21. *Initial Reports of the Deep Sea Drilling Project*, **21**: 885-893.

- Burnett, J.A., 1998. Upper Cretaceous. In: Bown P.R. (Ed.): *Calcareous Nannofossil Biostratigraphy. British Micropaleontology Society Series, Chapman & Hall*, London, 132-199.
- Caron, M., 1985. Cretaceous planktonic foraminifera. In: Bolli, H. M., Saunders, J. B. & Perch-Nielsen, K. (ed.), *Plankton Stratigraphy. Cambridge University Press*, 17-86.
- Cascella, A. & Dinares-Turell, J., 2009. Integrated calcareous nannofossil biostratigraphy and magnetostratigraphy from the uppermost marine Eocene deposits of the southeastern Pyrenean foreland basin: evidences for marine Priabonian deposition. *Geologica Acta*, **71/1-2**: 281-296.
- Cetean, C.G., 2009. Cretaceous foraminifera from the southern part of the Eastern Carpathians, between Stoenesti and Cetățeni. Paleocology and biostratigraphy. *Unpublished PhD Thesis*, Universitatea "Babes-Bolyai", 212 pp.
- Cetean, C.G, Bălc, R., Kaminski, M.A., & Filipescu, S., 2008. Biostratigraphy of the Cenomanian-Turonian boundary in the Eastern Carpathians (Dâmbovița Valley): preliminary observations. *Studia Universitatis Babeș-Bolyai, Geologia*, **53** (1): 11 -23.
- Cetean, C., Balc, R., Kaminski, M. A. & Filipescu, S., 2011. Integrated biostratigraphy and palaeoenvironments of an upper Santonian - upper Campanian succession from the southern part of the Eastern Carpathians, Romania. *Cretaceous Research*, **32**: 575-590.
- Chira, C., Balc, R., Igritan, A. & Florea, F., 2007. Cretaceous-Paleogene calcareous nannofossil assemblages from Sucevita - Putna area: Bercheza, Rusca and Putna Valleys (northern Moldavia), and the problem of the Cretaceous/Paleogene Boundary. Abstract. *Annual Scientific Session, Department of Geology, Cluj-Napoca*, 18-19.
- Chira, C., Balc, R., Igritan, A. & Florea, F., 2008. Cretaceous and Paleogene calcareous nannofossils from northern Moldavia (Sucevita - Putna area, Romania), and the Cretaceous/Paleogene boundary. Abstract., *INA12 abstracts*, Lyon, France, p. 35.
- Chira, M., C., Igritan, A., Juravle, D.-T., Florea, F. & Popa, M., V., 2011. Calcareous nannoplankton across Paleogene-Neogene boundary in the Moldovița-Paltinu area (Bucovina, Romania). *Acta Palaeontologica Romaniae*, **7**: 93-101.
- Cicha, I., Rögl, F., Rupp, C. & Ctyroka, J., 1998. Oligocene - Miocene foraminifera of the Central Paratethys. *Abhandlungen der Senckenbergischen Naturforschenden Gesellschaft*, **549**: 1-325.
- Cieszkowski, M. & Waśkowska-Oliwa, A., 2002. Development and biostratigraphy of the Paleogene Gorzeń beds, Subsilesian Unit, Outer Carpathians, Poland. *Geologica Carpathica*, **53**: 57-59.
- Cieszkowski, M., Golonka, J. & Waśkowska, A., 2012. An olistolith interpretation for the Paleocene Szydłowiec sandstones in the stratotype area (Outer Carpathians, Poland). *Austrian Journal of Earth Sciences*, **105** (1): 240-247.
- Coccioni, R. & Galeotti, S., 1994. K-T boundary extinction: Geologically instantaneous or gradual event? Evidence from deep-sea benthic foraminifera. *Geology*, **22**: 779-782.
- Costea, I. & Balteș, N., 1962. Corelări stratigrafice pe baza microfosilelor. *Editura Tehnică București*, 263 pp.
- Costea, I. & Comșa, D., 1979. Upper Cretaceous calcareous nannoplankton in areas of interest for hydrocarbons in the Socialist Republic of Romania. *Memoriile Institutului Geologic*, **28**: 5-63..
- Dicea, O., 1974. Studiul geologic al regiunii Voroneț - Suha Mică - Platonița. *Studii tehnice și economice., seria J, Stratigrafie*, **11**: 1-143.

- Dicea, O. & Dicea, M., 1976. Limita Oligocen - Eocen în flișul extern de la pâraul Larga pe baza nanoplanctonului. *Mine Petrol și Gaze*, **27** (4): 185-188.
- Dicea, O. & Dicea, M., 1980. Corelări stratigrafice pe baza nanoplanctonului în flișul extern din Carpații Orientali. *Dări de Seamă ale Institutului Geologic și Geofizic*, **65**: 111-126.
- Dubicka, Z. & Peryt, D. 2011. Integrated biostratigraphy of Upper Maastrichtian chalk at Chelm (SE Poland). *Annales Societatis Geologorum Poloniae*, **81**: 185-197.
- Dumitrescu, I., 1948. La Nappe du Grès de Tarcău la Zone marginale et la Zone néogène, entre Cașin et Putna. *Comptes Rendus des Séances de l'Institut Géologique de Roumanie*, **29** (1940-1941): 84-105.
- Dumitrescu, I., 1952. Studiul geologic al regiunii dintre Oituz și Coza. *Anuarul Comitetului Geologic*, **24**: 195-270.
- Edwards, A.R. & Perch-Nielsen, K., 1975. Calcareous nannofossils from the southern southwest Pacific, Deep Sea Drilling Project, Leg 29. *Initial Reports of the DSDP*, **29**: 469-539.
- Egger, H., Fenner, J., Heilmann-Clausen, C., Rögl, F. Sachsenhofer, R.F. & Schmitz, B., 2003. Paleoproductivity of the northwestern Tethyan margin (Anthering Section, Austria) across the Paleocene-Eocene transition. In: Wing, S.L., Gingerich, P., Schmitz, B., Thomas, E. (eds.). *Causes and Consequences of Globally Warm Climates in the Early Paleogene*. Geological Society of America, Special Paper, **369**: 133-146.
- Egger, H., Homayoun, M., Huber, H., Rögl, F. & Schmitz, B., 2005. Early Eocene climatic, volcanic, and biotic events in the northwestern Tethyan Untersberg section, Austria. *Palaeogeography, Palaeoclimatology, Palaeoecology*, **217**: 243-264.
- Ellouz, N. & Roca, E., 1994. Palinspastic reconstructions of the Carpathians and adjacent areas since the Cretaceous: a quantitative approach. In Roure F ed., *Peri-Tethyan Platforms*, Editions Technip, Paris, 51-78.
- Eshet, Y. & Almogi-Labin, A., 1996. Calcareous nannofossil as paleoproductivity indicators in Upper Cretaceous organic-rich sequences in Israel, *Marine Micropaleontology*, **29**: 37-61.
- Filimon, T. & Damian, A., 1965. Geologia regiunii Bicaz - Piatra Neamț. *Soc. Șt. Nat. Geogr. Comun. Geol.*, **3**: 39-59.
- Filipescu, S., Bălc, R., Săsăran, E., Szabo, B., Bercea, R., Iordache, G., Székely, S.F. & Petruța, S., 2009. Date asupra micropaleontologiei și faciesurilor sedimentare din zona Pucioasa (jud. Dâmbovița). In I. Bucur & E. Săsăran (eds.) *Sesiunea de comunicări științifice „I.P. Voitești”*, 4 Decembrie 2009, Cluj-Napoca Program și Abstracte: 2.
- Fisher, R.A., Corbet, A.S. & Williams, C.B. 1943. The relationship between the number of species and the number of individuals in a random sample of an animal population. *Journal of Animal Ecology*, **12**: 42-58.
- Florea, F. Fl., 1999. Studiul flișului paleogen dintre Sucevița și Putna. *Rezumatul tezei de doctorat*. Univ. "Al. I. Cuza", Iași. 85 pp.
- Fütterer, D.K., 1984. Bioturbation and trace fossils in deep sea sediments of the Walvis Ridge, Southeastern Atlantic, Leg 74. In Moore, TC, Jr., Rabinowitz, P.D., et al., *Init. Repts. DSDP*, Washington (U.S. Govt. Printing Office), **74**: 543-555.
- Galleotti, S., Kaminski, M.A., Coccioni, R. & Speijer, R. P., 2004. High-resolution Deep-Water Agglutinated Foraminiferal record across the Paleocene/Eocene transition in the Contessa Road Section (central Italy). In: Bubík, M. & Kaminski, M.A. (eds), 2004. *Proceedings of the Sixth International Workshop on Agglutinated Foraminifera*. Grzybowski Foundation Special Publication, **8**: 83-103.

- Gedl, P. & Garecka, M., 2008. Middle-Late Eocene phytoplankton from marl intraclasts (Podhale Paleogene, Inner Carpathians, Poland): biostratigraphic and paleoenvironmental implications. *Geologica Carpathica*, **59** (4): 319-332.
- Georgescu, M.D. & Abramovich, S., 2008. Taxonomic revision and phylogenetic classification of the Late Cretaceous (upper Santonian-Maastrichtian) serial planktic foraminifera (Family Heterohelidae Cushman 1927) with peripheral test wall flexure: *Revista Espanola de Micropaleontologia*, **40**: 97-114.
- Geroch, S. & Nowak, W., 1984. Proposal of zonation for the late Tithonian-late Eocene, based upon arenaceous foraminifera from the outer Carpathians, Poland. In Oertli, H. J., (ed.), Benthos '83, 2nd *International Symposium on Benthic Foraminifera*, (Pau 1983). Elf Aquitaine, Esso REP, and Total CFP, Pau and Bordeaux, 225-239.
- Geroch, S. & Gradziński, R., 1955. Stratygrafia serii podśląskiej żywieckiego okna tektonicznego. Stratigraphy of the Sub-Silesian Series In the Tectonic Window of Żywiec (Western Carpathians). *Rocznik Polskiego Towarzystwa Geologicznego*, **24**: 3-62.
- Geroch, S., Jednorowska, A., Książkiewicz, M. & Liszkowa, J. 1967. Stratigraphy based upon microfauna in the Western Polish Carpathians. *Biuletyn Instytutu Geologicznego*, **211**: 185-282.
- Giusberti, L., Coccioni, R., Srovieri, M. & Tateo, F. 2009. Perturbation at the sea floor during the Paleocene-Eocene thermal maximum: evidence from benthic foraminifera at Contessa road, Italy. *Marine micropaleontology*, **70**: 102-119.
- Gooday, A.J., 1993. Deep-sea benthic foraminiferal species which exploit phytodetritus: characteristic features and controls on distribution. *Marine Micropaleontology*, **22**: 187-205.
- Goeury, C., 1997. GpalWin: gestion, traitement et représentation de la paléocéologie. *XV-ème Symposium de l'APLF (Association des Palynologues de Langue Française)*, Université Claude Bernard, Lyon, 31 pp.
- Gradstein, F.M. & Berggren, W.A., 1981. Flysch-type agglutinated foraminifera and the Maastrichtian to Paleogene history of the Labrador and North Seas. *Marine Micropaleontology*, **6**: 211-268.
- Gradstein, F. M., Kaminski, M. A., Berggren, W. A. & D'lorio, M. A., 1994. Cenozoic biostratigraphy of the Central North Sea and Labrador Shelf. *Micropaleontology*, **40**, Supplement, 1-152.
- Grasu, C, Cătană, C. & Grinea, D., 1988. Flișul carpatic. Petrografie și considerații economice. *Editura Tehnică București*, 208 pp.
- Grigoraș, N., 1955. Studiul comparativ al faciesurilor Paleogenului între râul Putna și Buzău. *Anuarul Comitetului Geologic*, **28**: 99-219.
- Grzybowski, J., 1896. Otwornice czerwonych ilow z Wadowic. *Rozprawy Wydziału Matematyczno-Przyrodniczego*, Akademia Umiejętności w Krakowie, **30** (2): 261-308.
- Grzybowski, J., 1898. Otwornice pokładów naftonosnych okolicy Krosna. *Rozprawy Wydziału Matematyczno-Przyrodniczego*, Akademia Umiejętności w Krakowie, **33** (2): 257-305.
- Grzybowski, J., 1901. Otwornice warstw inoceramowych okolicy Gorlic. *Rozprawy Wydziału Matematyczno-Przyrodniczego*, Akademia Umiejętności w Krakowie, **41** (2): 219-286.
- Hammer, Ø. & Harper, D. A. T., 2006. Paleontological Data Analysis. *Blackwell Publishing*, Oxford, 351pp.

- Haq, B.U., Hardenbol, J. & Vail, P., 1988. Mesozoic and Cenozoic chronostratigraphy and cycles of sea-level change. In Wilgus, C.K., Hastings, B.S., Kendall, C.G.S.C., Posamentier, H.W., Ross, C.A., Van Wagoner, J.C. (eds.) - Sea level changes: an integrated approach. *SEPM, Special Publication*, Tulsa, **42**: 72-108.
- Hardenbol, J., J. Thierry, M.B. Farley, T. Jacquin, P.C. de Graciansky, & P. Vail, 1998. Mesozoic and Cenozoic sequence chronostratigraphic framework of European basins, in P.C. Graciansky, et al. (eds) *Mesozoic and Cenozoic Sequence Stratigraphy of European Basins: SEPM Special Publication*, **60**: 3-13, charts 1-8.
- Hayek, L.C & Buzas, A.B., 1997. Surveying Natural Populations. *Columbia University Press*, New York, 563 pp.
- Hoezel, M., 2004. StratDraw: automatic generation of stratigraphic sections from tabulated field data. *Computers & Geosciences*, **30** (7): 785-789.
- Hulbert, S. H., 1971. The nonconcept of species diversity: a critique and alternative parameters. *Ecology*, **52**: 577-585.
- Hu, X., Jansa, L., Wang, C., Sardid, M., Bak, K., Wagreich, M., Michalik, J. & Sotak, J. 2005. Upper Cretaceous oceanic red beds (CORBs) in the Tethys: occurrences, lithofacies, age, and environments. *Cretaceous Research*, **26**: 3-20.
- Huber, B.T., 1990. Maestrichtian planktonic foraminifer biostratigraphy of the Maud Rise (Weddell Sea, Antarctica), ODP Leg 113 Holes 689B and 690C. In Barker, P.F., Kennett, J.P., et al., *Proc. ODP, Sci. Results*, **113**: College Station, TX (Ocean Drilling Program), 489-513.
- Huber, B.T., 1991. Paleogene and early Neogene planktonic foraminifer biostratigraphy of ODP Leg 119 Sites 738 and 744, Kerguelen Plateau (southern Indian Ocean). In: J. A. Barron, B.L. Larsen, et al., *Proc. ODP Sci. Results, Ocean Drilling Program*, College Station, TX, **119**: 427-449.
- Huber, B.T. & Watkins, D.K., 1992. Biogeography of Campanian-Maastrichtian calcareous plankton in the region of the Southern Ocean: paleogeographic and paleoclimatic implications. In The Antarctic paleoenvironment: a perspective on global change. *Antarctic Research Series*, **56**: 31-60.
- Ionesi, L., 1957. Contribuții la studiul Paleogenului din Valea Superioară a Tarcăului. *Analele Științifice ale Universității "Al. I. Cuza" Iași*, **3** (1-2): 376-386.
- Ionesi, L., 1961. Geologia regiunii Gura Humorului - Poiana Micului. *Analele Științifice ale Universității "Al. I. Cuza" Iași*, **7** (2): 355-382.
- Ionesi, L., 1966. Contribuții asupra limitei Cretacic-Paleogen din zona flișului extern a Carpaților Orientali. *Analele Științifice ale Universității "Al. I. Cuza" Iași*, **12** (2): 81-92.
- Ionesi, L., 1967. Contribuții la stratigrafia flișului paleogen. *Analele Științifice ale Univiversității "Al. I. Cuza", Geol. - Geogr.*, **13** (2): 61-65.
- Ionesi, L., 1971. Flișul Paleogen din Bazinul Văii Moldovei. *Editura Academiei Române*, București. 250 pp.
- Ionesi, L., 1974. Paleocenul din Flișul Extern Carpatic. *Analele Științifice ale Universității "Al. I. Cuza" Iași*, **20**: 93-100.
- Ionesi, L., 1987. Stade de connaissance de la limite Paléocène - Éocène dans le flysch externe carpathique. *Analele Științifice ale Universității "Al. I. Cuza" Iași*, **33** (2): 41-44.
- Ionesi, L. & Todorjescu, M., 1968. Date microfaunistice asupra limitei Cretacic Superior - Paleogen în flișul extern din bazinul Văii Moldovei. *Analele Științifice ale Universității Al. I. Cuza*, **18** (2): 61-68.
- Ionesi, L. & Mészáros, N., 1993. Contribution à l'étude du nannoplankton de la Formation de Vinețușu du Lithofacies de Fusaru (Vallée du Tarcău). *Studia Universitatis "Babeș-Bolyai", Geologia*, **38** (2): 9-14.

- Ion (Săndulescu), J., 1973. Étude micropaléontologique et stratigraphique du flysch du Crétacé supérieur-Paléocène de la région de Brețcu-Comandău (Secteur intern meridional de la nappe de Tarcău-Carpates Orientales). *Memorii, Institutul Geologic, București*, **17**: 1-52.
- Ion, J., 1975a. Microbiostratigraphie, associations et zones a foraminifères du Crétacé du flysch externe des Carpates Orientales (Roumanie). *Revista Española de Micropaleontologia*, **7** (1): 99-111.
- Ion, J., 1975b. Zone de foraminifères dans l'Albien - Senonien des Carpates Orientales. *Dări de seamă ale Institutului de Geologie și Geofizică*, **62** (4): 93-120.
- Ion, J., Antonescu, E., Melinte, M. & Szász, L., 1997. Upper Cretaceous integrated biostratigraphy of Romania. *Acta Palaeontologica Romaniaae*, **1**: 241-253.
- James, F. C. & Rathbun, S., 1981. Rarefaction, relative abundance and diversity of avian communities. *The Auk*, **98**: 785-800.
- Jenkins, D. G., 1971. New Zealand Cenozoic planktonic foraminifera. *Palaeont. Bull. N. Z. Geol. Surv.*, **42**: 1—278.
- Jiang, M. J. & Gartner, S., 1986. Calcareous nannofossil succession across Cretaceous/Tertiary boundary in east-central Texas. *Micropaleontology*, **32** (3): 232-255.
- Joja, Th., 1952. The geological structure of the marginal flysch between Suha Mică and Suha Mare valleys. *Dări de Seamă ale Institutului Geologic*, **36**: 69-93.
- Joja, T., 1954. Geological structure of the marginal flysch along Putnișoara Valley and in the lower course of Putna River. *Records of the Geological Committee*, **38**: 183-228.
- Joja, Th., 1955. External flysch and the Miocene between Falcău and Bilca and from SV from Voitinelu. *Dări de Seamă ale Ședințelor Comitetului Geologic of R.P.R.*, **39**: 86-300.
- Joja, Th., 1960. Contribuțiuni la cunoașterea stratigrafiei și tectonicii Flișului Extern din jurul comunei Brodina și de la fundul pârâului Putna. *Buletinul Institutului de Petrol, Gaze și Geologie*, **6**: 9-25.
- Joja, Th., Cosma, V. & Dumitrescu, Z., 1963. Horizontality of the external flysch between Suceava and Sucevița and their micropaleontological content. *Assoc. géol. Carpato-Balc., Congr. V*, **3** (1): 221-252.
- Joja, Th., Iancu, Gh. & Popovici, M., 1967. The principal stratigraphical and tectonic results from the drillings of Geological Comitee from Putna (Suceava Region) *Dări de Seamă ale Ședințelor Comitetului Geologic*, **52** (2): 69-93.
- Joja, T., Mutihac, V., Alexandrescu, Gr. & Bercia, I., 1968. Geological Map of Romania, Rădăuți sheet 1:200 000, *State Geological Committee*, Bucharest.
- Joja, Th. & Manoliu, E., 1978. The presence of some macroforaminifera in the Pasieczna limestone horizons from the Eocene flysch from Gura Putnei on the Suceava Valley. *Studii și Cercetări Geologice*, **23** (1): 103-110.
- Jones, R. W. & Charnock, M. A., 1985. "Morphogroups" of agglutinating foraminifera. Their life position and feeding habits and potential applicability in (paleo)ecological studies. *Revue de Paleobiologie*, **4** (2): 311-320.
- Juravle, D. T., 2007. Geologia regiunii dintre Valea Sucevei și Valea Putnei (Carpații Orientali). *Casa Editorială Demiurg*, Iași, 319 pp.
- Juravle, D. T., Florea, F. F. & Bogatu, L., 2008. The importance of calcareous nannoplankton in establishing lithostratigraphic landmarks in the Eocene column of Tarcău Nappe in the Suceava river basin (Obcina Mare). *Acta Paleontologica Romaniaae*, **6**: 145-172.

- Jurkiewicz, H., 1967. Foraminifers in the sub-Menilitic Paleogene of the Polish Middle Carpathians. *Biuletyn Instytutu Geologicznego*, Warszawa. **210**: 5-116.
- Kaiho, K., 1994. Benthic foraminiferal dissolved-oxygen index and dissolved-oxygen levels in the modern ocean. *Geology*, **22**: 719-722.
- Kaiho, K. & Hasegawa, T., 1994. End-Cenomanian benthic foraminiferal extinctions and oceanic dysoxic events in the northwestern Pacific Ocean. *Palaeogeography, Palaeoclimatology, Palaeoecology*, **111**: 29-43.
- Kaminski, M.A., 2004. The Year 2000 Classification of the Agglutinated Foraminifera. In: Bubík, M. & Kaminski, M.A., (eds), *Proceedings of the Sixth International Workshop on Agglutinated Foraminifera*. Grzybowski Foundation Special Publication, **8**: 237-255.
- Kaminski, M.A., 2005. The utility of deep-water agglutinated Foraminiferal acmes for correlating Eocene to Oligocene abyssal sediments in the North Atlantic and Western Tethys. In: Tyszka, J. and Oliwkiewicz-Miklasinska, M. and Gedl, P. and Kaminski, M.A., (eds.), *Methods and applications in micropalaeontology*, 325-339.
- Kaminski, M.A. & Schroeder, C.J., 1987. Environmental analysis of deep-sea agglutinated foraminifera: Can we distinguish tranquil from disturbed environments?. *GCS/SEPM Foundation 8th Annual Research Conference*, selected papers and illustrated abstracts, 85-89.
- Kaminski, M.A., Gradstein, F.M., Berggren, W.A., Geroch, S. & Beckmann, J.P., 1988. Flysch-type agglutinated foraminiferal assemblages from Trinidad: Taxonomy, Stratigraphy and Paleobathymetry. In: *Proceedings of the Second Workshop on Agglutinated Foraminifera*, Vienna 1986. *Abhandlungen der Geologischen Bundesanstalt*, **41**: 155-228.
- Kaminski, M.A., Gradstein, F.M. & Berggren, W.A., 1989. Paleogene benthic foraminifer biostratigraphy and paleoecology at Site 647, Southern Labrador Sea. *Proceedings of the Ocean Drilling Program: Scientific Results*, 705-730.
- Kaminski, M.A. & Geroch, S., 1993. A revision of foraminiferal species in the Grzybowski Collection. In: Kaminski, M.A., Geroch, S. & Kaminski, D. (eds), *The Origins of Applied Micropaleontology: The School of Józef Grzybowski*. Grzybowski Foundation Special Publication no. **1**. Alden Press, Oxford, 239-323.
- Kaminski, M.A., Kuhnt, W. & Radley, J., 1996. Paleocene-Eocene deep water agglutinated foraminifera from the Numidian Flysch (Rif, Northern Morocco): their significance for the Paleooceanography of the Gibraltar Seaway. *Journal of Micropalaeontology*, **15**: 1-19.
- Kaminski, M.A., Kuhnt, W. & Moullade, M., 1999. The evolution and paleobiogeography of abyssal agglutinated foraminifera since the Early Cretaceous: A tale of four faunas. *N. Jb. Geol. Paläont. Abh.*, **212** (1-3): 401-439.
- Kaminski, M.A. & Filipescu, S., 2000. Praesphaerammina, a new genus of Cenozoic deep-water agglutinated foraminifera from the Carpathian flysch deposits. *Micropaleontology*, **46** (4): 353-359.
- Kaminski M. A., Gradstein, F. M. (eds.), Bäckström S., Berggren W. A., Bubík M., Carvajal-Chitty H., Filipescu S., Geroch S., Jones D. S., Kuhnt W., McNeil D. H., Nagy J., Platon E., Ramesh P., Rögl F., Thomas F. C., Whittaker J. E., Yakovleva & O'Neil S., 2005. Atlas of Paleogene cosmopolitan deep-water agglutinated foraminifera. *Grzybowski Foundation*. 547 pp.
- Kaminski, M.A., Cetean, C.G., Henderson, A. & Filipescu, S., 2007. On the Cretaceous occurrences of *Ammogloborotalia* ZHENG, 2001 (Foraminifera). *Studia Universitatis "Babeş-Bolyai", Geologia*, **52** (2): 67-71.

- Keller, G., 1989. Extended period of extinctions across the K/T boundary in planktic Foraminifera of continental Shelf sections: Implications for Impact and Volcanism Theories, *Geol. Soc. America Bulletin*, **101**: 1408-1419.
- Keller, G., 1993. The Cretaceous-Tertiary Boundary Transition in the Antarctic Ocean and its global implications. *Marine Micropaleontology*, **21**: 1-45.
- Keller, G., 1996. The K/T mass extinction in planktic foraminifera biotic constraints for catastrophe theories. In, MacLeod, N. and Keller, G. (eds.), *The Cretaceous-Tertiary mass extinction: Biotic and environmental events*, Norton Press, New York, 63-100.
- Keller, G. & Pardo, A., 2004. Disaster opportunists Guembelitrinidae—Index for environmental catastrophes. *Marine Micropaleontology*, **53**: 83-116.
- Keller, G., Herbert, T., Dorsey, R., D'Hondt, S., Johnsson, M., & Chi, W.R., 1987. Global distribution of late Paleogene hiatuses. *Geology*, **15**: 199-203.
- Kender, S., Kaminski, M.A., & Cieszkowski, M., 2005. Foraminifera from the Eocene Variegated Shales near Barwinek (Magura Unit, Outer Carpathians), the Type Locality of Noth(1912) Revisited. *Annales Societatis Geologorum Poloniae* (2005), **75**: 249-271.
- Kennett, J. P. & Srinivasan, M. S., 1983. Neogene planktonic foraminifera: a phylogenetic atlas. *Hutchinson Ross Publishing Company*, 265 pp.
- Kennett, J.P. & Scott, L., 1991. Abrupt deep-sea warming, palaeoceanographic changes and benthic extinctions at the end of the Paleocene. *Nature*, **353**: 225-229.
- Kuhnt, W., 1990. Agglutinated foraminifera of western Mediterranean Upper Cretaceous pelagic limestone (Umbrian Apennines, Italy, and Betic Cordillera, Southern Spain). *Micropaleontology*, **36** (4): 297-330.
- Kuhnt, W. & Kaminski, M.A., 1989. Upper Cretaceous deep-water agglutinated benthic foraminiferal assemblages from the western Mediterranean and adjacent areas. In: WIEDMANN, J. (ed.), *Cretaceous of the Western Tethys. Proceedings of the 3rd International Cretaceous Symposium*, Tübingen, 1987, Schweizerbart'sche Verlagsbuchhandlung, Stuttgart, 91-120.
- Kuhnt, W. & Kaminski, M.A., 1990. Paleoeology of Late Cretaceous to Paleocene deep-water agglutinated foraminifera from the North Atlantic and Western Tethys. In: Hemleben, C., Kaminski, M.A., Kuhnt, W., Scott, D.B (eds), *Paleoeology, Biostratigraphy, Paleooceanography and Taxonomy of Agglutinated Foraminifera*. *Kluwer Academic Publishers*, 433-505.
- Kuhnt, W. & Kaminski, M.A., 1996. The response of benthic foraminifera to the K/T boundary event - a review. *Bull. Centres Rech. Explor. - Production Elf Aquitaine Memoire*, **16**: 433-442.
- Kuhnt, W., & Collins, E.S., 1996. Cretaceous to Paleogene benthic foraminifers from the Iberia Abyssal Plain. In Whitmarsh, R.B., Sawyer, D.S., Klaus, A., and Masson, D.G. (Eds.), *Proc. ODP, Sci. Results, 149: College Station, TX (Ocean Drilling Program)*, 203-216.
- Kuhnt, W. & Kaminski, M.A., 1997. Cenomanian to lower Eocene deep-water agglutinated foraminifera from the Zumaya section, northern Spain. *Annales Societatis Geologorum Poloniae*, **67**: 257-270.
- Kuhnt, W. & Pletsch, T., 2004. Deep-water environments of the Maastrichtian to Eocene Strait of Gibraltar (Djebel Moussa Group, Northern Morocco). In: BUBIC, M. & KAMINSKI, M.A. (eds), *Proceedings of the Sixth International Workshop on Agglutinated Foraminifera. Grzybowski Foundation Special Publication*, **8**: 295-316.

- Kuhnt, W., Geroch, S., Kaminski, M.A., Moullade, M. & Neagu, T., 1992. Upper Cretaceous Abyssal Claystones in the North Atlantic and the Western Tethys - Current Status of Biostratigraphical Correlation using Agglutinated Foraminifers. *Cretaceous Research*, **13**: 467-478.
- Kuhnt, W., Moullade, M. & Kaminski, M. A., 1998. Upper Cretaceous, K/T Boundary, and Paleocene agglutinated foraminifers from Hole 959D (ODP Leg 159, Cote D'Ivoire-Ghana transform margin). *Proc. ODP, Sci. Results*, **159**: 389-411.
- Kuhnt, W., Collins, E. & Scott, D.B., 2000. Deep water agglutinated foraminiferal assemblages across the Gulf Stream: distribution patterns and taphonomy. In: Hart, M.B., Kaminski, M.A., Smart, C.W., (eds), *Proceedings of the Fifth International Workshop on Agglutinated Foraminifera. Grzybowski Foundation Special Publication*, **7**: 261-298.
- Krasheninnikov, V. A. & Basov, I. A., 1983. Cenozoic planktonic foraminifers of the Falkland Plateau and Argentine Basin, Deep Sea Drilling Project Leg 71. In: W.J. Ludwig, V. A., Krasheninnikov V. A. et al., (eds), *Init. Repts. DSDP*, **71**: 821—858.
- Kroon, D. & Nederbragt, A.J., 1990. Ecology and paleoecology of triserial planktic foraminifera. *Marine Micropaleontology*, **16**: 25-38.
- Lafargue, E., Ellouz, N. & Roure, F., 1994. Thrust controlled exploration plays in the Outer Carpathians and their foreland (Poland, Ukraine and Romania). *First Break*, **12**: 69-79.
- Leckie, R.M., 1987. Paleoeecology of mid-Cretaceous planktonic foraminifera: a comparison of open ocean and epicontinental sea assemblages. *Micropaleontology*, **33**(2): 164-176.
- Leckie, R.M., Yuretich, R., West, O.L.O., Finkelstein, D. & Schmidt, M.G., 1998. Paleooceanography of the southwestern western interior sea during the time of the Cenomanian-Turonian boundary (Late Cretaceous), in Dean, W., and Arthur, M.A., eds., *Stratigraphy and Paleoenvironments of the Cretaceous Western Interior Seaway, USA: SEPM, Concepts in Sedimentology and Paleontology*, **6**: 101-126.
- Li L.Q., Keller G., Adatte T. & Stinnesbeck, W. 2000. Late Cretaceous sea-level changes in Tunisia: a multi-disciplinary approach. *Journal of the Geological Society of London*, **157**: 447-458.
- Loeblich, A.R. & Tappan, H. 1987. Foraminiferal Genera and their Classification. *Van Nostrand Reinhold*, New York, **2**, 1182 pg.
- Lüning, S., Marzouk, A.M., Morsi, A.M. & Kuss, J. 1998. Sequence stratigraphy of the Upper Cretaceous of south-east Sinai, Egypt. *Cretaceous Research*, **19**: 153-196.
- Macovei, G. & Atanasiu, I., 1923. Câteva date asupra constituției geologice a zonei Flișului din regiunea văilor Slănicului și Oituzului. *Dări de Seamă ale Ședințelor Institutului Geologic al României*, **11**: 27 pp.
- Malata, E. & Oszczytko, N., 1990. Deep-water agglutinated foraminiferal assemblages from Late Cretaceous red shales of the Magura Nappe, Polish West Carpathians. In: *Paleoecology, Biostratigraphy, Paleooceanography and Taxonomy of Agglutinated Foraminifera. Kluwer Academic Publishers, Amsterdam*, 507-524.
- Malata, T. & Poprawa, P., 1997. Subsidence and uplift analysis of the Polish part of Outer Carpathian basins - back stripping of reconstructed profiles of the basin-fill. In: Krobicki M. & Zuchiewicz W. (Eds.): *Dynamics of the Pannonian-Carpathian-Dinaride System. Przegl. Geol*, **45** (10): 1088-1089.

- Martini, E., 1971. Standard Tertiary and Quaternary calcareous nannoplankton zonation in *Proceedings of the Second Planktonic Conference Roma 1970* (ed. A. Farinacci), Edizioni Tecnoscienza, Rome, **2**: 739-785.
- Mațenco, L. & Bertotti, G., 2000. Tertiary tectonic evolution of the external East Carpathians (Romania). *Tectonophysics*, **316**: 255-286.
- Melinte, M.C. 2002. Campanian-Maastrichtian marine red beds in the Romanian Carpathians. *Inaugural Workshop of IGCP 463, Ancona, Italy. Programme and Abstracts*, 1-18.
- Melinte, M.C., 2006. The response of Tethyan nanofloras to Cretaceous Oceanic Anoxic Events in the Romanian Carpathians. *Anuarul Institutului Geologic al României*, **74**: 127-129.
- Melinte, M.C., 2008. Cretaceous environmental changes in the Eastern Carpathians: from black shales to red beds. *Anuarul Institutului Geologic al României*, **75**(1): 30-31.
- Melinte, M.C. & Jipa, D., 2005. Campanian-Maastrichtian marine red beds in Romania: biostratigraphic and genetic significance. *Cretaceous Research*, **26**: 49-56.
- Melinte, M. C. & Bubík, M., 2005. Paleooceanographic implications of Upper Cretaceous red bed deposition. Case study: The Eastern Carpathians. - *Abstr. Book 7th International Cretaceous Symposium*, Neuchatel: 138-139.
- Melinte, M.C., Brustur, T., Jipa, D. & Szobotka, S.A., 2007. Upper Cretaceous Marine Red Beds in the Eastern Carpathians: *Response to Oceanic/Climate Global Changes: Cluj-Napoca, Eikon Press*, 1-250.
- Melinte-Dobrinescu, M.C. & Roban, R.-D., 2011. Cretaceous anoxic-oxic changes in the Moldavids (Carpathians, Romania). *Sedimentary Geology*, **235**: 79-90.
- Miller, K.G., Gradstein, F.M. & Berggren, W.A., 1982. Late Cretaceous to early Tertiary agglutinated benthic foraminifera in the Labrador Sea. *Micropaleontology*, **28**(1): 1-30.
- Miller, K.G., Janecek, T.R., Katz, M.E. & Keil, D.J., 1987. Abyssal circulation and benthic foraminiferal changes near the Paleocene/Eocene boundary. *Paleoceanography*, **2**: 741-761.
- Mjatiuk, E. V., 1970. Foraminifera of the flysch deposits of the eastern Carpathians. *Trudy Vsesoyuznogo Nauchno-Issledovatel'skogo Geologorazvedochnogo Instituta VNIGRI*, Leningrad, 225 pp.
- Molina, E., Arenillas, I. & Arz, J.A., 1996. The Cretaceous/Tertiary boundary mass extinction in planktic foraminifera at Agost, Spain. *Revue de Micropaleontologie*, **39**: 225-243.
- Morkhoven, F.P.C.M. van, Berggren, W.A. & Edwards, A.S., 1986. Cenozoic Cosmopolitan Deep-Water Benthic Foraminifera. *Bulletin Centres Rech. Explor.-Prod. Elf-Aquitaine*, Mem. 11. 421 pp.
- Morgiel, J. & Szymakowska, F., 1978. The stratigraphy of the Paleocene and Eocene of Skole Unit. *The Bulletin of the Geologic Institute*, **310**: 39-71.
- Morgiel, J. & Olszewska, B., 1981. Biostratigraphy of the Polish external Carpathians based on agglutinated foraminifera. *Micropaleontology*, **27** (1): 1-24.
- Morgiel, J. & Olszewska, B., 1982. Uniformity of the Tethyan faunas from Cretaceous and Paleogene as shown by foraminifera from Morocco and Polish Flysch Carpathians. *Cahiers de Micropaleontologie*, **3**: 45-53.
- Moullade, M., Kuhnt, W., & Thürow, J., 1988. Agglutinated benthic foraminifera from Upper Cretaceous variegated clays of the North Atlantic Ocean (DSDP Leg 93 and ODP Leg 103). In Boillot, G., Winterer, E.L., et al., *Proc. ODP, Sci. Results*, **103**: College Station, TX (Ocean Drilling Program), 349-377.

- Murray, J. W., 1991. Ecology and paleoecology of benthic foraminifera. *Longman Scientific and Technical*, 397pp.
- Murray, J. 2006. Ecology and Applications of Benthic Foraminifera. *Cambridge University Press*, 462 pp.
- Murray, J., Alve E. & Jones, B., 2011. A new look at modern agglutinated benthic foraminiferal morphogroups: their value in palaeoecological interpretation. *Palaeogeography, Palaeoclimatology, Palaeoecology*, **309**: 229-241.
- Mutihac, V. & Ionesi, L. 1974. Geologia României. *Editura Tehnică*, București, 267 -295.
- Nagy, J. 1992. Environmental significance of foraminiferal morphogroups in Jurassic North Seadeltas. *Palaeogeography, Palaeoclimatology, Palaeoecology*, **95**: 111-134.
- Nagy, J., Gradstein, F.M., Kaminski, M.A. & Holbourn, A.E., 1995. Foraminiferal morphogroups, paleoenvironments and new taxa from Jurassic to Cretaceous strata of 41Thakkhola, Nepal. *Proceedings of the Fourth International Workshop on Agglutinated Foraminifera* (Kaminski, M.A., Geroch, S., Gasinski, M., A., Eds). Grzybowski Foundation Special Publication, **3**: 181-209.
- Neagu, T., 1970. Micropaleontological and stratigraphical study of the upper Cretaceous deposits between the upper valleys of the Buzău and Rîul Negru Rivers (Eastern Carpathians). *Memorii, Institutul Geologic, București*, **12**: 7-109.
- Neagu, T., 1990. *Gerochammina* n.gen. and related genera from the Upper Cretaceous flysch-type benthic foraminiferal fauna, Eastern Carpathians - Romania. In: Hemleben, C., Kaminski, M.A., Kuhnt, W., & Scott, D.B. (eds), *Paleoecology, Biostratigraphy, Paleoceanography and Taxonomy of agglutinated foraminifera*. NATO ASI C, Kluwer Academic Press, **327**: 245-265.
- Neagu, T., Platon E., Dumitrescu G. & Selea A., 1992. The biostratigraphical significance of agglutinated foraminifera in the Eastern Carpathians (Upper Cretaceous). *Analele Universității București*, **15-16**: 45-49.
- Nederbragt, A.J. & Koning, J.A., 1994. Morphologic variation in Turonian to Maastrichtian *Heterohelix globulosa* (Ehrenberg): *Koninklijke Nederlandse Akademie van Wetenschappen, Proceedings*, **97**: 429-444.
- Nederbragt, A.J., Erlich, R.N., Fouke, B.W. & Ganssen, G.M., 1998. Palaeoecology of the biserial planktonic Foraminifer *Heterohelix moremani* (Cushman) in the late Albian to middle Turonian circum-North Atlantic: *Palaeogeography, Palaeoclimatology, Palaeoecology*, **144**: 115-133.
- Niculici, S., Bindiu, R. & Filipescu, S., 2015. Biostratigraphy and palaeoenvironments of the deep water deposits from the northern part of the Eastern Carpathians (Tarcau Nappe, Romania) based on foraminifera assemblages. *The 10th Romanian Symposium of Paleontology*, October 16-17, 2015. p. 76-77.
- Olsson, R. K., Hemleben, C., Berggren, W. & Huber, C., 1999. Atlas of Paleocene Planktonic Foraminifera. *Smithsonian Contributions to Paleobiology*, **85**: 252 pp.
- Olszewska, B., 1997. Foraminiferal biostratigraphy of the Polish Outer Carpathians: a record of basin geohistory. *Annales Societatis Geologorum Poloniae*, **67**: 325-337.
- Ortiz, N., 1995. Differential patterns of benthic foraminiferal extinctions near the Paleocene/Eocene boundary in the North Atlantic and the western Tethys. *Marine Micropaleontology*, **26**: 341-359.
- Oszczypko, N., Malata, E., Bąk, K., Kêdziński, M. & Oszczypko-Clowes, M., 2005. Lithostratigraphy and Biostratigraphy of the Upper Albian-Lower / Middle Eocene flysch deposits in the Bystrica and Raëa subunit of the Magura Nappe (Beskid Wyspowy and Gorce Ranges; Poland). *Annales Societatis Geologorum Poloniae*, **75**: 27-69.

- Pandele, N. & Stănescu, V., 2001. Oil fields in the external carpathian flysch. *Editura Vergiliu*, București, 214 pp.
- Pardo, A. & Keller, G., 2008. Biotic effects of environmental catastrophes at the end of the Cretaceous: Guembelitra and Heterohelix blooms. *Cretaceous Research*, **29**: 1058-1073.
- Paul, C.M. & Tietze, E., 1877. Studien in der Sandsteinzone der Karpathen. *Jahrbuch der Kaiserlich -koniglichen geologischen Reichsanstalt*, 98 pp.
- Pearson, P.N., Olsson, R.K., Huber, B.T., Hemleben, C. & Berggren, W.A., 2006. Atlas of Eocene Planktonic Foraminifera. *Cushman Foundation Special Publication 41*, 514 pp.
- Percival, S. F. & Fischer, A. G., 1977. Changes in calcareous nanoplankton in the Cretaceous-Tertiary biotytic crisis at Zumaya, Spain. *Evolutionary Theory*, **2**: 1-35.
- Perch-Nielsen, K., 1985. Cenozoic calcareous nannofossils. *Plankton Stratigraphy* (Bolli, H.M., Saunders, J.B., Perch-Nielsen, K., Eds.), Cambridge University Press, Cambridge, 427-554.
- Popescu, G., 1952. Zona Flișului paleogen între Valea Buzăului și Valea Vărbilăului. *Dări de Seamă ale Ședințelor Institutului Geologic al României*, **36**(1948-1949): 113-125.
- Postuma, J.A., 1971. Manual of planktonic foraminifera. *Elsevier Publishing Co*, Amsterdam, 420 pp.
- Premoli-Silva, I. & Bolli, H., 1973. Late Cretaceous to Eocene planktonic foraminifera and stratigraphy of Leg 15 sites in the Caribbean Sea. *Initial Rep. Deep Sea drill, Proj.*, **15**: 499-547.
- Premoli Silva, I. & Boersma, A., 1977. Cretaceous planktonic foraminifers - DSDP Leg 39 (South Atlantic). *Initial Rep. Deep Sea drill, Proj.*, **39**: 615-631.
- Premoli-Silva, I. & Sliter W.V., 1999. Cretaceous paleoceanography: Evidence from planktonic foraminiferal evolution. In Barrera E., and Johnson, C.C., eds., *Evolution of the Cretaceous Ocean Climate System: Geological Society of America, Special Paper*, **332**: 301-328.
- Premoli-Silva, I., Rettori, R. & Verga, D., 2003. Practical Manual of Paleocene and Eocene planktonic Foraminifera. In Rettori, R., Verga, D., (Eds.), *International School on Planktonic Foraminifera, 2° Course: Paleocene and Eocene. Dipartimento di Scienze della Terra, Università di Perugia*, 152 pp.
- Premoli-Silva, I. & Sliter, W.V., 2002. Practical manual of Cretaceous planktonic foraminifera. In Premoli Silva, I., Rettori, R., (Eds.), *International School on Planktonic Foraminifera 1° Course: Cretaceous. Dipartimento di Scienze della Terra, Università di Perugia*, 462 pp.
- Premoli-Silva, I. & Verga, D., 2004. Practical Manual of Cretaceous Planktonic Foraminifera. In Premoli Silva, I., Rettori, R., (Eds.), *International School on Planktonic Foraminifera 3° Course: Cretaceous. Tipografia Pontefelcino, Perugia*, 283 pp.
- Puglisi, D., Bădescu, D., Carbone, S., Corso, S., Franchi, R., Gigliuto, L.G., Loiacono, F., Miclăuș, C. & Moretti, E., 2006. Stratigraphy, petrography and palaeogeographic significance of the Early Oligocene "menillite facies" of the Tarcau Nappe (Eastern Carpathians, Romania). *Acta Geologica Polonica*, **56**(1): 105-120.
- Ryan P. D., Harper D.A.T. & Whalley, J. S. 1995. PALSTAT, Statistics for paleontologists. User's manual and case histories. *Chapman & Hall*, London, 133 pp.

- Roure F., Roca E. & Sassi W., 1993. The Neogene evolution of the Outer Carpathian flysch units (Poland, Ukraine and Romania): kinematics of a foreland/fold-and-thrust belt system. *Sedimentary Geology*, **86**: 177-201.
- Samuel, O., 1977. Agglutinated foraminifers from Paleogene flysch formations in West Carpathians of Slovakia. *Zapadne Karpaty, Serie Paleontology*, **2-3**: 7-70.
- Săndulescu, M., 1984. Geotectonica României. *Editura Tehnică*, București. 334 pp.
- Săndulescu, M., Ștefănescu, M., Butac, A., Pătruț, I. & Zaharescu, P., 1981. Genetical and Structural Relations between Flysch and Molasse (The East Carpathians Model): *Guide to Excursion A5, Carpatho-Balkan Geological Association XIIIth Congress, Bucharest - Romania 1981. Guidebook Series of the Geological Institute of Romania*, **19**: 3-96.
- Săndulescu, M., Micu, M. & Bratu, E., 1987. Stratigraphy of the Eocene Flysch formations of the East Carpathians. In: Petrescu, I., Ghergari, L., Mészáros, N., Nicorici, E. (Eds.), *The Eocene from the Transylvanian Basin, Romania. Geological Formations of Transylvania*, Romania 1, Cluj-Napoca, Romania, 159-164.
- Săndulescu, M. & Micu, M., 1989. Oligocene paleogeography of the East Carpathians. In I. Petrescu et al., (eds.) *The Oligocene from the Transylvanian Basin*, Romania, University of Cluj-Napoca, Geology-Mineralogy Department Special Issue, **2**: 79-86.
- Săndulescu, M. & Dimitrescu, R., 2004. Geological structure of the Romanian Carpathians, *32nd International Geological Congress, Florence, Italy, August 20-28, 2004*. 52 pp.
- Schröder C.J., 1986. Deep water arceanous foraminifera in the Northwest Atlantic Ocean. *Canadian Tech. Rept. of Hydrography and Ocean Sciences*, **71**: 191.
- Scott, L. D. & Kennett, J. P., 1990. Antarctic Paleogene planktonic foraminifer biostratigraphy; ODP Leg 113, Sites 689 and 690. In: Barker PF, Kennett JP et al (eds) *Proc. ODP, Sci. Results, College Station, TX Ocean Drilling Program*, **113**: 549-556.
- Setoyama, E., Kaminski, M.A. & Tyszk, J., 2011. The Late Cretaceous-Early Paleocene palaeobathymetric trends in the southwestern Barents Sea - Palaeoenvironmental implications of benthic foraminiferal assemblage analysis. *Palaeogeography, Palaeoclimatology, Palaeoecology*, **307** (1-4): 44-58.
- Setoyama, E., Radmacher, W., Kaminski, M.A. & Tyszk, J. 2013. Foraminiferal and palynological biostratigraphy and biofacies from a Santonian-Campanian submarine fan system in the Vøring basin (offshore Norway). *Marine and Petroleum geology*, **43**: 396-408.
- Sissing, W. 1977. Biostratigraphy of Cretaceous calcareous nannoplankton, *Geol. Mijnbouw*, Den Haag, **56**: 37-65.
- Švábenická, L. 2001. Late Campanian/Late Maastrichtian penetration of high-latitude calcareous nannoflora to the Outer Western Carpathian depositional area. *Geologica Carpathica*, **52**(1): 23-40.
- Stainforth, R.M., Lamb, J.L., Lutherbacher H., Beard, J.H., & Jeffords, R.M., 1975. Cenozoic planktonic foraminifera zonation and characteristics of index forms. *The University of Kansas Paleontological Institute*, Article 62, 425 p.
- Stoica, C., 1944. Paleogenul din Valea Sibiului. *Revista Muzeului Geologic-Mineralogic al Universității din Cluj*, **8**: 64-85.

- Szabo, B., 2012. Reconstituirea condițiilor de paleomediul marin din zona de tranziție de la Paleogen la Neogen din extremitatea sudică a Pânzei de Tarcău (Carpații Orientali) pe baza asociațiilor de foraminifere fosile. *Unpublished PhD Thesis*, Universitatea "Babes-Bolyai", 182 pp.
- Szabo, B., Bercea, R., Iordache, G., Székely, S.F., Petruța, S., Filipescu, S., Săsăran, E. & Bălc, R., 2010. New data on the sedimentary facies and micropaleontology from Pucioasa (Dâmbovița District). In A. Ricu et al., (eds.) *1st International Geosciences Student Conference*, 22-24 April 2010, Bucharest-Romania, Abstracts Kitt: 149.
- Szabo, B. & Filipescu, S., 2010. Studiul biostratigrafic și paleoecologic al asociațiilor micropaleontologice din Formațiunea de Pucioasa (Carpații Orientali, România). In S., Filipescu & I. Bucur, (eds.) *Sesiunea Științifică Anuală "Ion Popescu Voitești"*, 26 noiembrie 2010, Cluj-Napoca, Program și Abstracte: 63.
- Szabo, B. & Filipescu, S., 2011. Paleogene agglutinated foraminifera from the southern part of the Eastern Carpathian Foredeep (Pucioasa section, Romania). In Bak, M., Kaminski, M.A., & Waskowska, A. (eds.). *Integrating Microfossil Records from the Oceans and Epicontinental Seas. Grzybowski Foundation Special Publication*, **17**: 131.
- Szabo, B., Bercea, R., Balázs, Z. & Filipescu, S., 2011. Paleoenvironmental changes along the Oligocene -Miocene transition in Gura Vitoarei section (Prahova District, Romania), based on foraminifera assemblages. In Z. Csiki (ed.) *Eight Romanian Symposium on Paleontology*, Bucharest, 29-30 September 2011, Abstract Book: 112.
- Szczuchura, J. & Pozaryska, K., 1974. Foraminifera from the Paleocene of Polish Carpathians (Babice Clays). *Paleontologica Polonica*, **31**: 1-142.
- Thomas, E., 1998. The biogeography of the late Paleocene benthic foraminiferal extinction. In: Aubry MP, Lucas SG, Berggren WA (eds) *Late Paleocene-early Eocene climatic and biotic events in the marine and terrestrial records*, Columbia University Press, New York, 214-243.
- Thomas, E., 2003. Extinction and food at the sea floor: a high-resolution benthic foraminiferal record across the Initial Eocene Thermal Maximum, Southern Ocean Site 690. In: Wing, S., Gingerich, P., Schmitz, B., and Thomas, E., eds. *Causes and Consequences of Globally Warm Climates of the Paleogene*, GSA Special Paper, **369**: 319-332.
- Thompson, J.B., Mullins, H.T., Newton, C.R. & Vercootere, T.L., 1985. Alternative biofacies model for dysaerobic communities. *Lethaia*, **18**: 167-179.
- Tjalsma, R.C. & Lohmann, G.P., 1983. Paleocene-Eocene bathyal and abyssal benthic foraminifera from the Atlantic Ocean. *Micropaleontology Special Publication*, **4**: 1-90.
- Tocorjescu, M., 1954. Studiul Globotruncanelor din Cretacicul superior din zona Flișului. *Dări de Seamă ale Comitetului Geologic București*, **38**: 215 -228.
- Tocorjescu, M., 1960. Considerații micropaleontologice asupra limitei Cretacic - Eocen. *Studii și Cercetări Geologice. Academia R. P. R., București*, **5**: 277-297.
- Toumarkine, M. & Luterbacher, H.P., 1985. Paleocene and Eocene Planktic Foraminifera. In: *Plankton Stratigraphy*, 87-154.
- Tshakreen, S. O. & Gasinski, A., 2004. Cretaceous-Paleogene boundary problem in Libya: the occurrence of the foraminiferal species *Abathomphalus mayaroensis* (Bolli) in the Western Sirt Basin. *Geological Quarterly*, **48** (1): 77-82.
- Van Der Akker T., Kaminski M.A., Gradstein F.M. & Wood J., 2000. Campanian to Palaeocene biostratigraphy and palaeoenvironments in the Foula Basin, west of Shetland Islands. *Journal of Micropalaeontology*, **19**: 23-43.

- Van der Zwaan, G.J., Jorissen, F.J., & Stigter, H.C., 1991. The dept dependency of planktonic/benthic foraminiferal ratios: Constraints and applications. *Marine Geology*, **95**: 1-16.
- Varol, O., 1998. Paleogene. In: Bown P.R. (Ed.): Calcareous nannofossil biostratigraphy. *British Micropaleont. Soc. Ser., Chapman & Hall*, London, 200—224.
- Waśkowska, A., 2011. The Early Eocene Saccamminoides carpathicus Assemblage in the Outer Flysch Carpathians. In: M.A. Kaminski and S. Filipescu (eds.), *Proceedings of the Eight International Workshop on Agglutinated foraminifera*. Grzybowski Foundation, Special Publication, **16**: 331-341.
- Waśkowska-Oliwa A. 2005: Foraminiferal palaeodepth indicators from the lower Palaeogene deposits of the Subsilesian Unit (Polish Outer Carpathians). *Studia Geologica Polonica*, **124**: 297 -324.
- Waśkowska-Oliwa, A., 2008. The Paleocene assemblages of agglutinated foraminifera from deep-water basin sediments of the Carpathians (Subsilesian Unit, Poland) - biostratigraphical remarks. In: M.A. Kaminski and R. Coccioni (eds.), *Proceedings of the Seventh International Workshop on Agglutinated foraminifera*. Grzybowski Foundation, Special Publication, **13**: 227-265.
- Wei, W. & Wise, S.W., 1990. Biogeographic gradients of middle Eocene-Oligocene calcareous nannoplankton in the South Atlantic Ocean. *Palaeogeography, Palaeoclimatology, Palaeoecology*, **79**: 29-61.

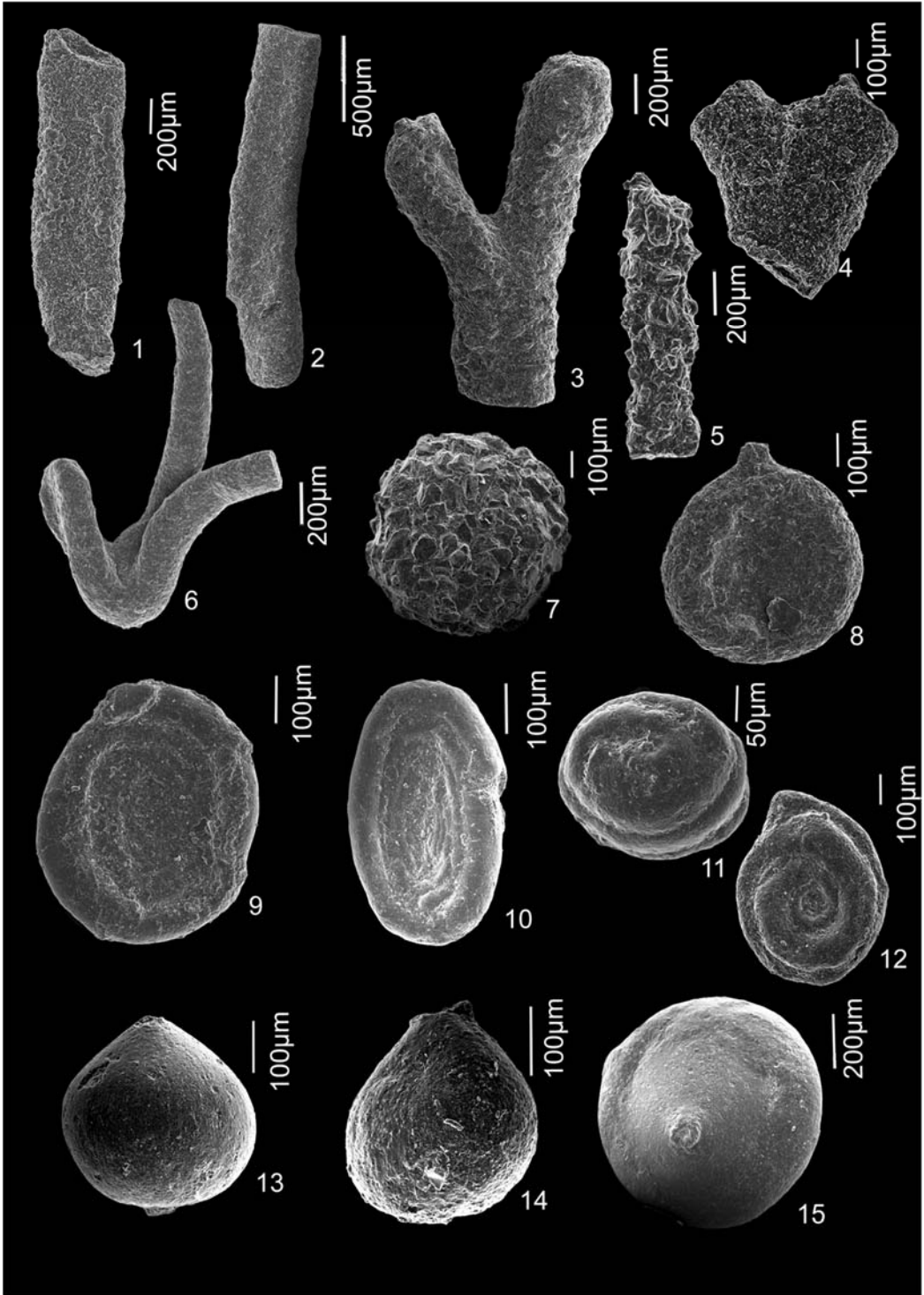
PLANŞE

PLANȘA 1

Foraminifere aglutinante de la Valea Sucevei 1

(după Bindiu et al., 2013)

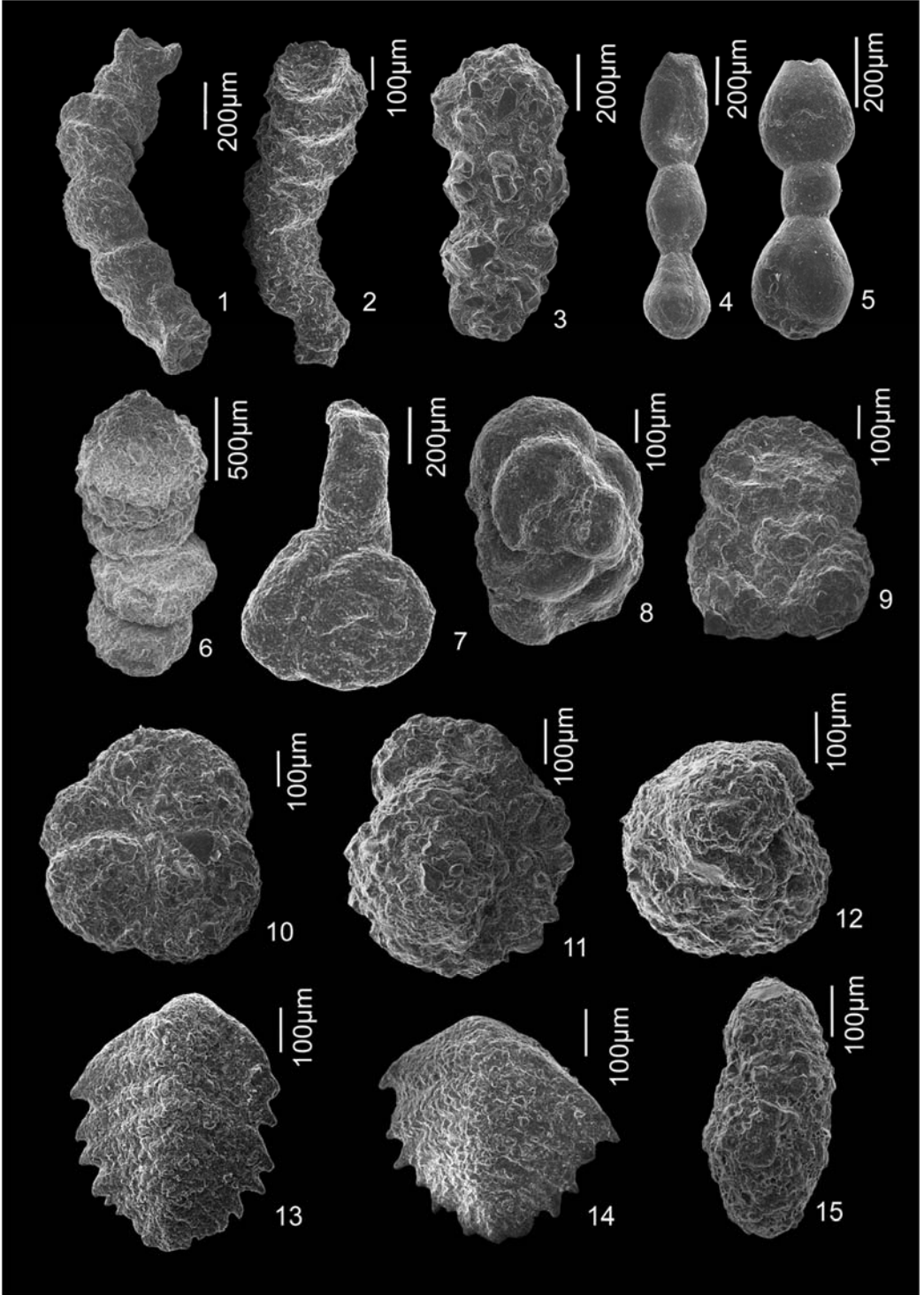
- 1 - *Bathysiphon* sp. - proba 2
- 2 - *Nothia excelsa* (Grzybowski) - proba 2
- 3 - *Nothia excelsa* (Grzybowski) - proba 5
- 4 - *Nothia excelsa* (Grzybowski) - proba 7
- 5 - *Rhabdammina* sp. - proba 14
- 6 - *Rhizammina* sp. - proba 23
- 7 - *Psammosphaera irregularis* (Grzybowski) - proba 6
- 8 - *Placentammina placenta* (Grzybowski) - proba 10
- 9 - *Ammodiscus cretaceus* (Reuss) - proba 4
- 10 - *Ammodiscus peruvianus* Berry - proba 7
- 11 - *Glomospira gordialis* (Jones & Parker) - proba 17
- 12 - *Glomospira* sp. - proba 14
- 13 - *Caudammina ovula* (Grzybowski) - proba 13
- 14 - *Caudammina ovula* (Grzybowski) - proba 19
- 15 - *Caudammina ovulum gigantea* (Geroch) - proba 15.



PLANŞA 2

Foraminifere aglutinante de la Valea Sucevei 1 (după Bindiu et al., 2013)

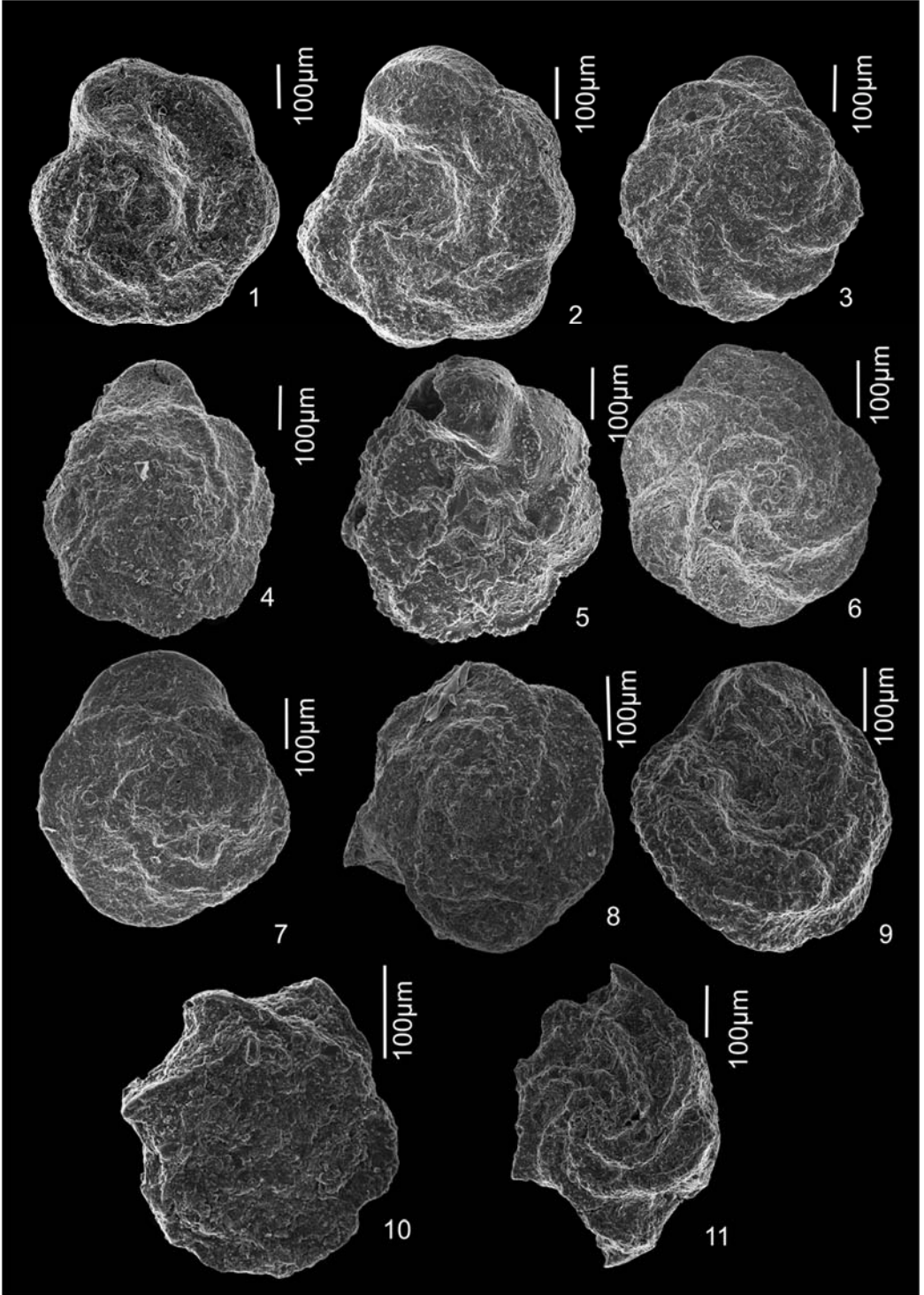
- 1 - *Subreophax scalaris* (Grzybowski) - proba 3
- 2 - *Subreophax scalaris* (Grzybowski) - proba 23
- 3 - *Reophax globosus* Sliter - proba 1
- 4 - *Hormosina velascoensis* (Cushman) - proba 2
- 5 - *Hormosina velascoensis* (Cushman) - proba 17
- 6 - *Hormosina trinitatensis* Cushman & Renz - proba 4
- 7 - *Lituotuba lituiformis* (Brady) - proba 21
- 8 - *Paratrochamminoides acervulatus* (Grzybowski) - proba 13
- 9 - *Trochamminoides variolarius* (Grzybowski) - proba 8
- 10 - *Haplophragmoides kirki* Wickenden - proba 1
- 11 - *Recurvoides anormis* Mjatluk - proba 5
- 12 - *Recurvoides anormis* Mjatluk - proba 8
- 13 - *Spiroplectinella dentata* (Alth) - proba 6
- 14 - *Spiroplectinella dentata* (Alth) - proba 21
- 15 - *Karrerulina* sp. - proba 17.



PLANŞA 3

Foraminifere planctonice de la Valea Sucevei 1 (după Bindiu et al., 2013)

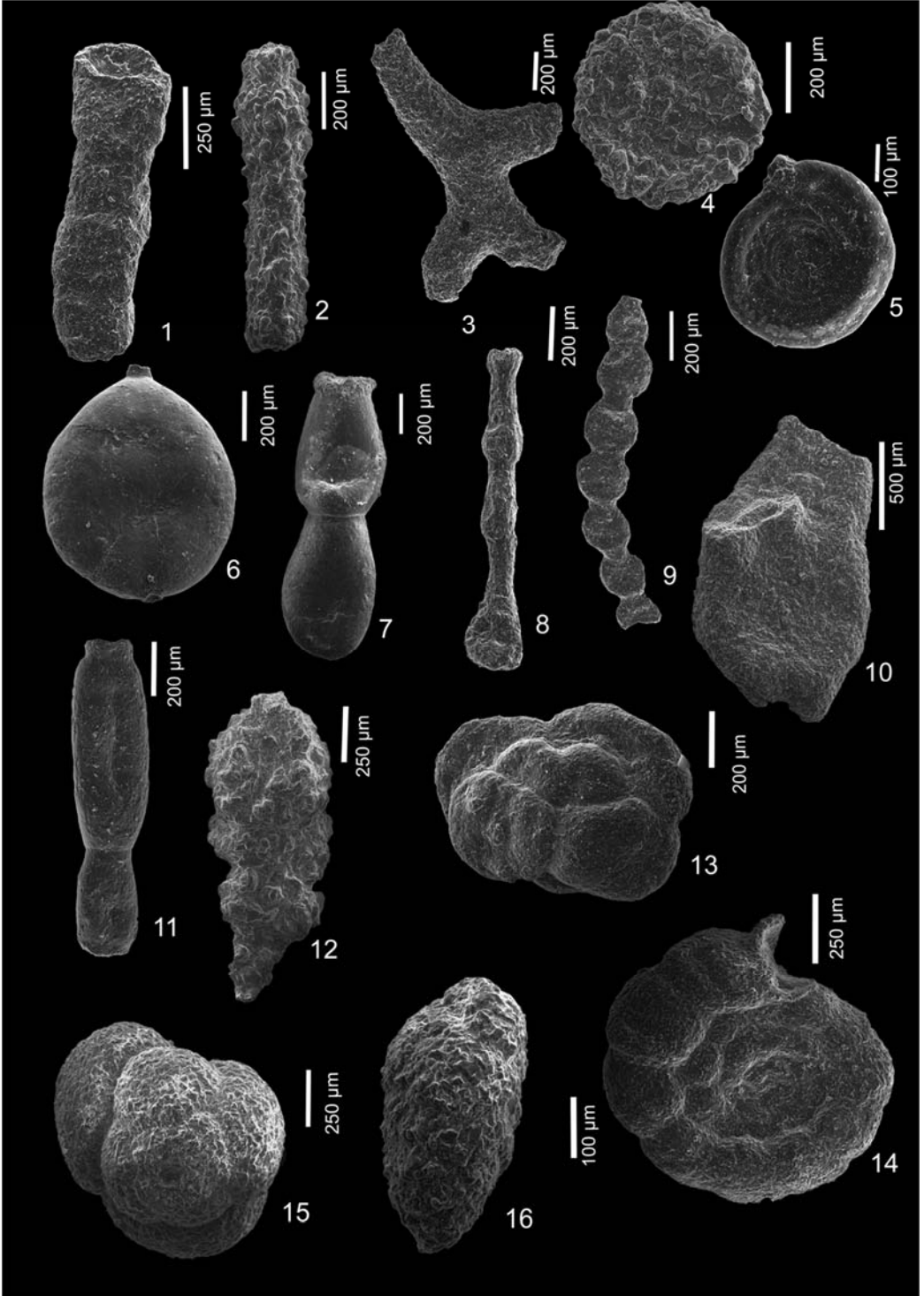
- 1 - *Globotruncana ventricosa* White - proba 1
- 2 - *Globotruncana ventricosa* White - proba 3
- 3 - *Globotruncana ventricosa* White - proba 4
- 4 - *Globotruncana ventricosa* White - proba 8
- 5 - *Globotruncana arca* (Cushman) - proba 11
- 6 - *Globotruncanita elevata* (Brotzen) - proba 1
- 7 - *Globotruncanita elevata* (Brotzen) - proba 1
- 8 - *Globotruncanita elevata* (Brotzen) - proba 4
- 9 - *Globotruncana* sp. - proba 4
- 10 - *Globotruncana* sp. - proba 5
- 11 - *Radotruncana calcarata* (Cushman) - proba 4



PLANŞA 4

Foraminifere aglutinante de la Valea Brodinei 2

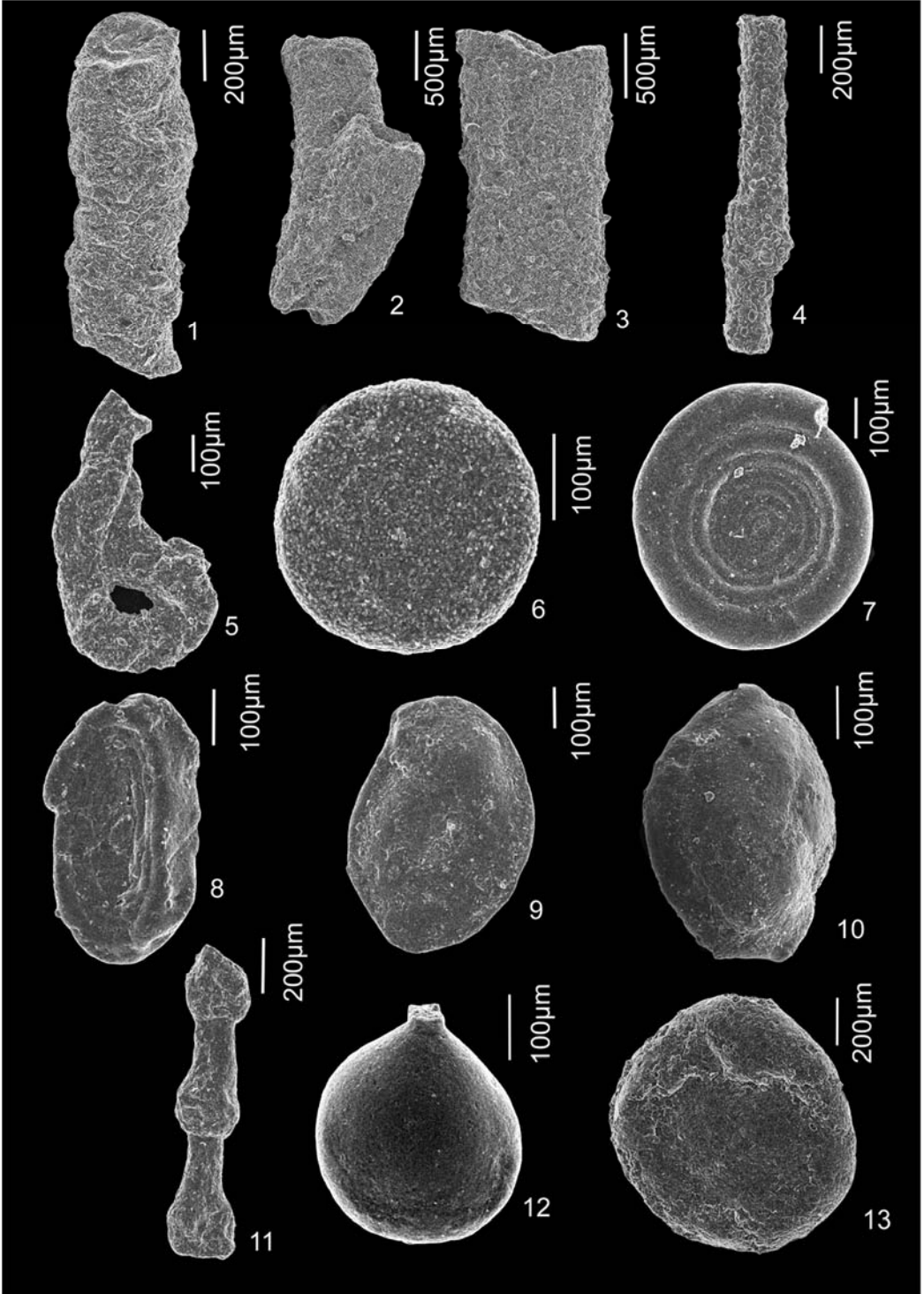
- 1 - *Bathysiphon* sp. - proba 9
- 2 - *Psammosiphonella discreta* (Brady) - proba 10
- 3 - *Rhabdammina abyssorum* Sars - proba 6
- 4 - *Psammosphaera irregularis* (Grzybowski) - proba 5
- 5 - *Ammodiscus* sp. - proba 1
- 6 - *Caudammina ovulum gigantea* (Geroch) - proba 6
- 7 - *Caudammina ovuloides* (Grzybowski) - proba 8
- 8 - *Caudammina excelsa* (Dyląganka) - proba 4
- 9 - *Hormosinelloides gutifer* (Brady) - proba 7
- 10 - *Arthrodendron carphatica* (Neagu) - proba 6
- 11 - *Kalamopsis grzybowski* (Dyląganka) - proba 4
- 12 - *Reophax globosus* Sliter - proba 2
- 13 - *Trochamminoides subcoronatus* (Grzybowski) - proba 10
- 14 - *Trochamminoides proteus* (Karrer) - proba 7
- 15 - *Conotrochammina voerigensis* Gradstein & Kaminski - proba 9
- 16 - *Karrerulina* sp. - proba 10.



PLANŞA 5

Foraminifere aglutinante de la Valea Putnei (Cretacic superior)

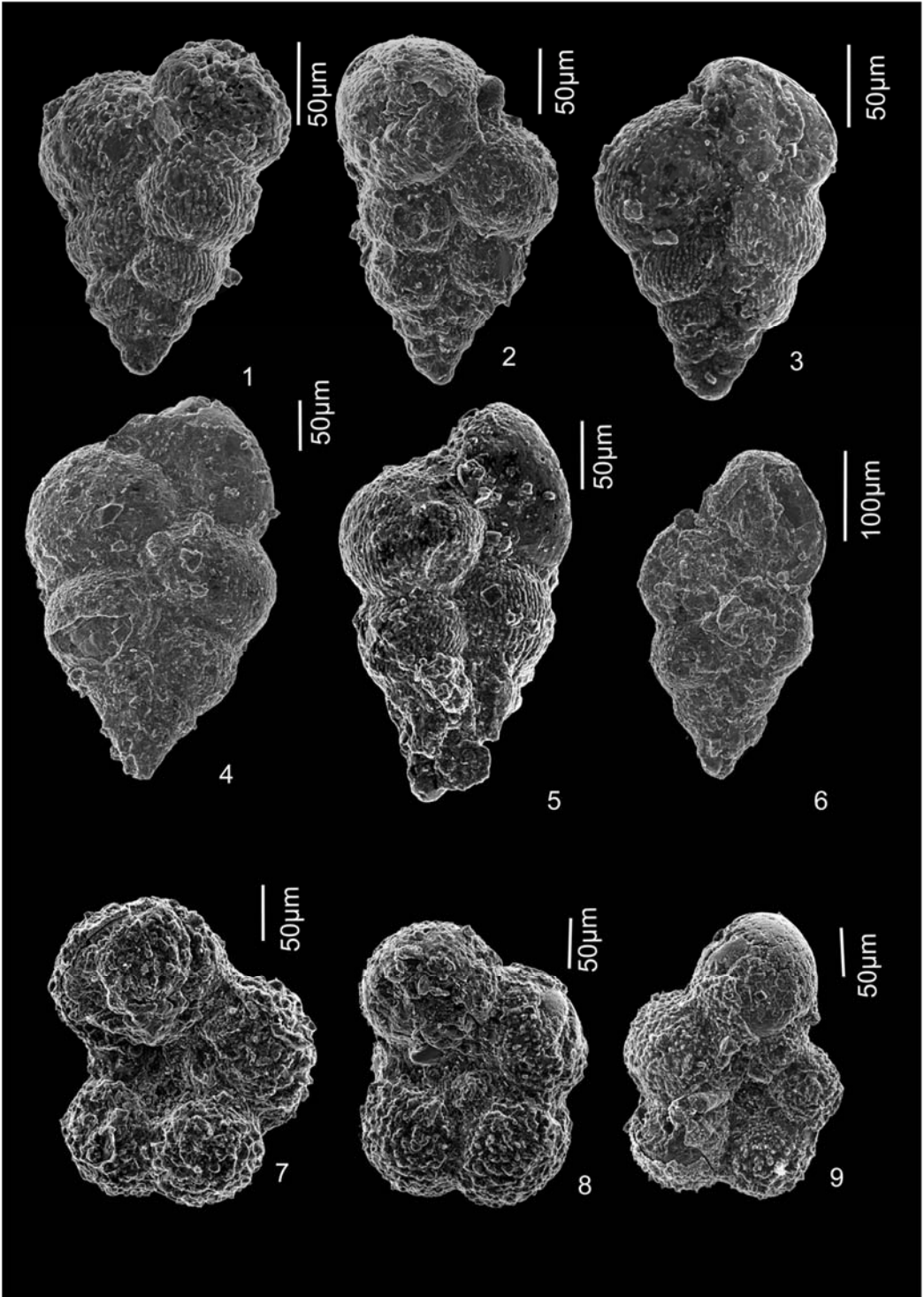
- 1 - *Bathysiphon* sp. - proba 6
- 2 - *Nothia robusta* (Grzybowski) - proba 2
- 3 - *Nothia latissima* (Grzybowski) - proba 3
- 4 - *Rhabdammina linearis* Brady - proba 16
- 5 - *Rhizammina* sp. - proba 6
- 6 - *Placentammina placenta* (Grzybowski) - proba 9
- 7 - *Ammodiscus cretaceus* (Reuss) - proba 33
- 8 - *Ammodiscus peruvianus* Berry - proba 22
- 9 - *Rzehakina inclusa* (Grzybowski) - proba 26
- 10 - *Rzehakina inclusa* (Grzybowski) - proba 27
- 11 - *Caudammina excelsa* (Dylańska) - proba 30
- 12 - *Caudammina ovula* (Grzybowski) - proba 24
- 13 - *Caudammina ovulum gigantea* (Geroch) - proba 3



PLANŞA 6

Foraminifere planctonice de la Valea Putnei (Cretacic superior)

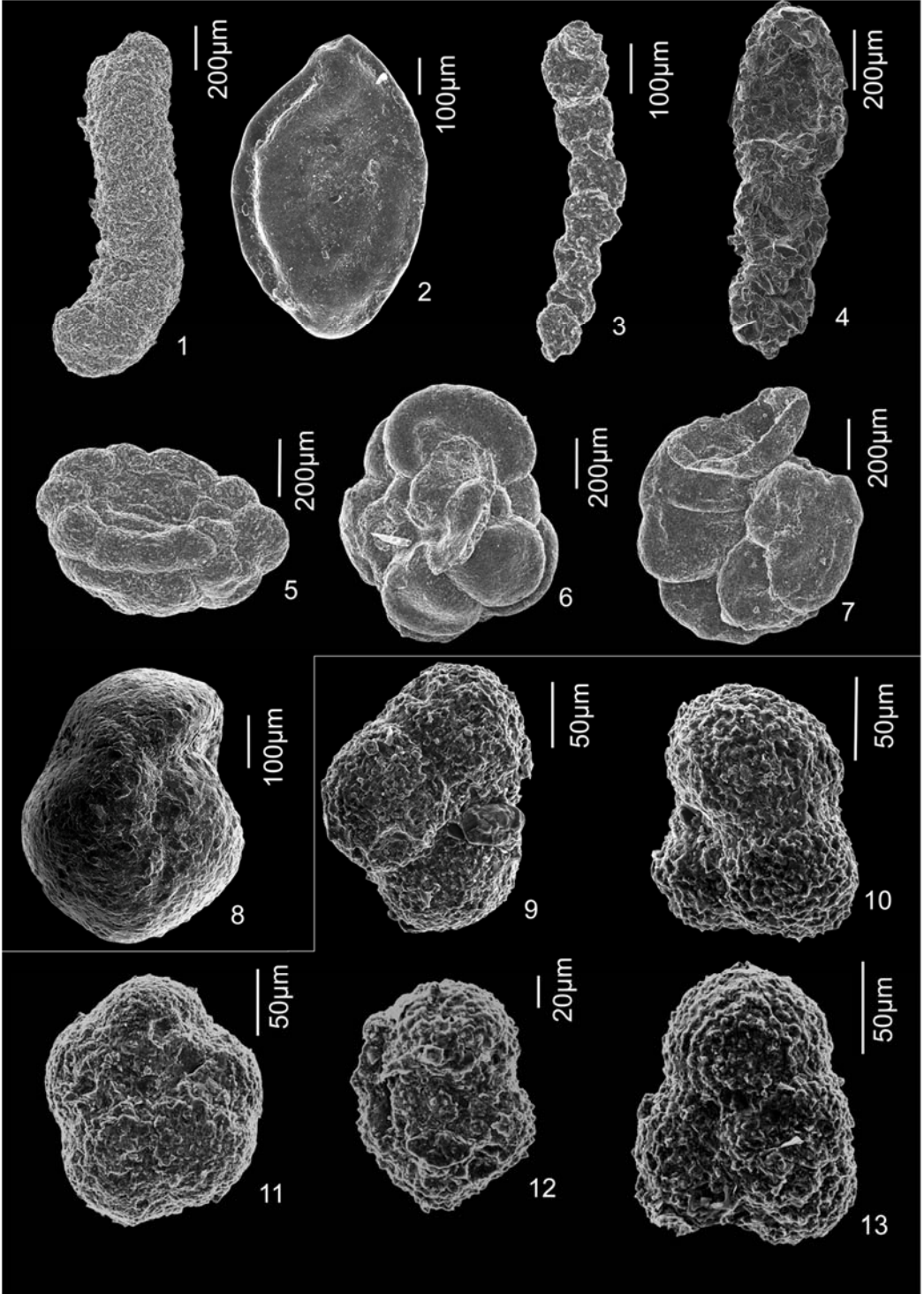
- 1 - *Planoheterohelix globulosa* (Ehrenberg) - proba 20
- 2 - *Planoheterohelix globulosa* (Ehrenberg) - proba 4
- 3 - *Laeviheterohelix glabrans* (Cushman) - proba 4
- 4 - *Laeviheterohelix glabrans* (Cushman) - proba 5
- 5 - *Laeviheterohelix glabrans* (Cushman) - proba 14
- 6 - *Heterohelix* sp. - proba 20
- 7 - *Globigerinelloides* sp. - proba 4
- 8 - *Globigerinelloides* sp. - proba 14
- 9 - *Globotruncanella subcarinatus* Bronnimann - proba 14



PLANŞA 7

Foraminifere aglutinante şi planctonice de la Valea Putnei (Paleocen)

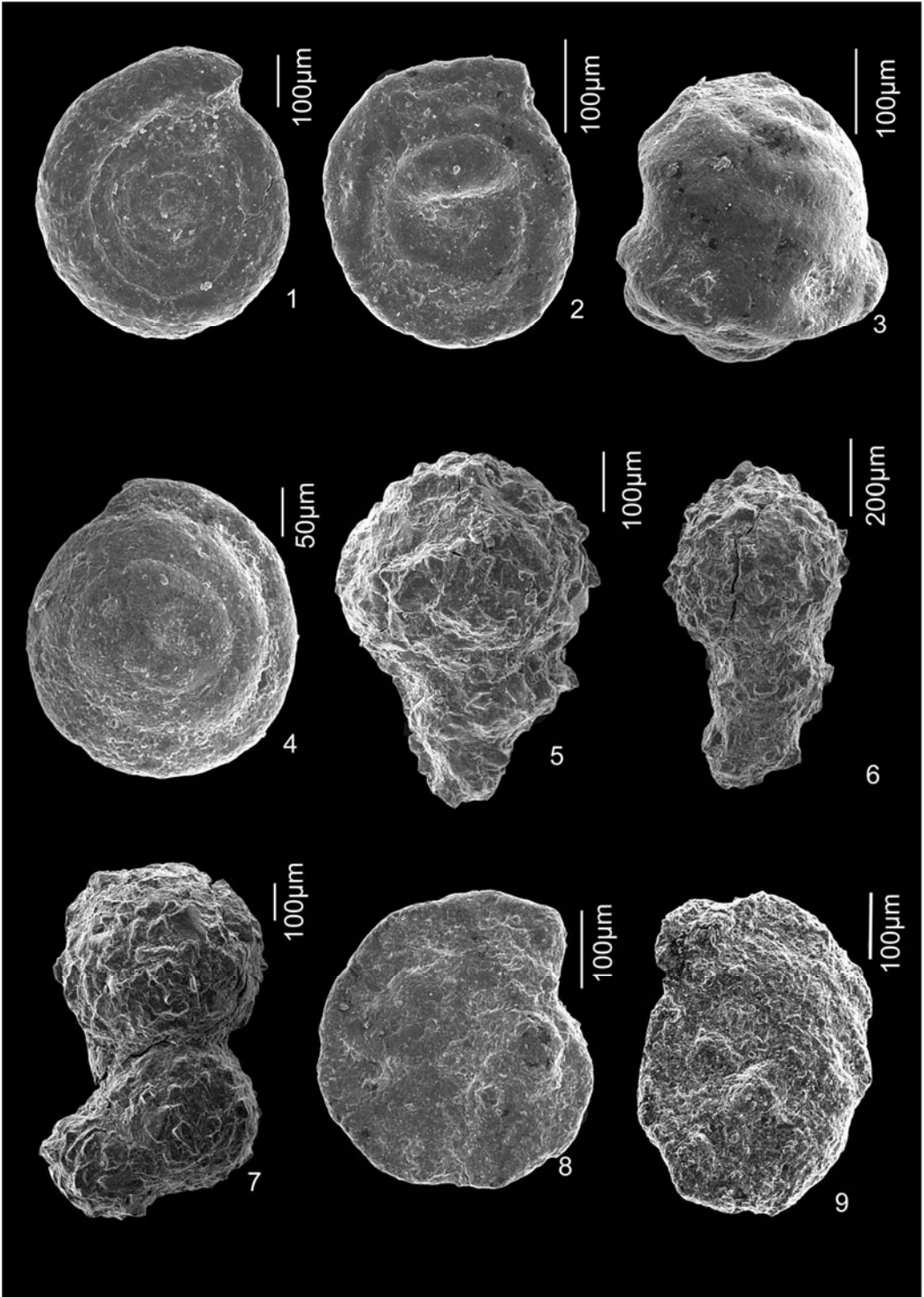
- 1 - *Bathysiphon* sp. - proba 37
- 2 - *Rzehakina fissistomata* (Grzybowski) - proba 38
- 3 - *Subreophax scalaris* (Grzybowski) - proba 42
- 4 - *Pseudonodosinella elongata* (Grzybowski) - proba 35
- 5 - *Paratrochamminoides mitratus* (Grzybowski) - proba 41
- 6 - *Paratrochamminoides deflexiformis* (Noth) - proba 38
- 7 - *Paratrochamminoides heteromorphus* (Grzybowski) - proba 36
- 8 - *Recurvoidella lamella* (Grzybowski) - proba 38
- 9 - *Globigerina* sp. - proba 35
- 10 - *Globigerina triloculinoides* Plummer - 35
- 11 - *Globorotalia* sp. - proba 35
- 12 - *Globigerina* sp. - proba 35
- 13 - *Globigerina triloculinoides* Plummer - proba 35



PLANŞA 8

Foraminifere aglutinante de la Valea Putnei (Eocen)

- 1 - *Ammodiscus latus* Grzybowski - proba 61
- 2 - *Ammodiscus penny* Cushman & Jarvis - proba 57
- 3 - *Glomospira charoides* (Jones & Parker) - proba 51
- 4 - *Glomospira charoides* (Jones & Parker) - proba 51
- 5 - *Saccamminoides carpathicus* Geroch - proba 54
- 6 - *Reophax pilulifer* Brady - proba 54
- 7 - *Reophax pilulifer* Brady - proba 58
- 8 - *Haplophragmoides excavatus* Cushman & Waters - proba 51
- 9 - *Trochamminoides subcoronatus* (Grzybowski) - proba 52

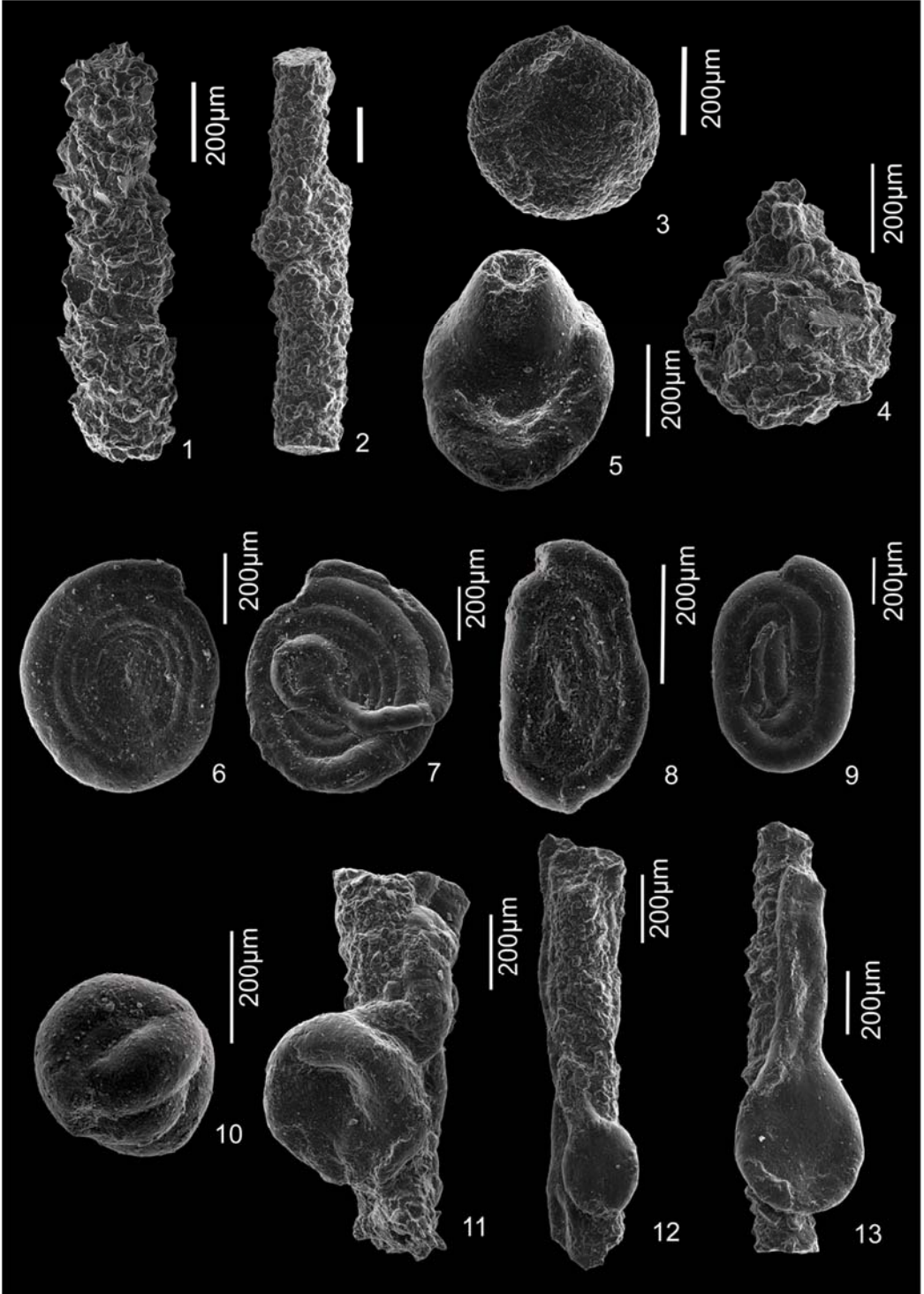


PLANŞA 9

Foraminifere aglutinante de la Valea Suha

(după Bindiu & Filipescu, 2016)

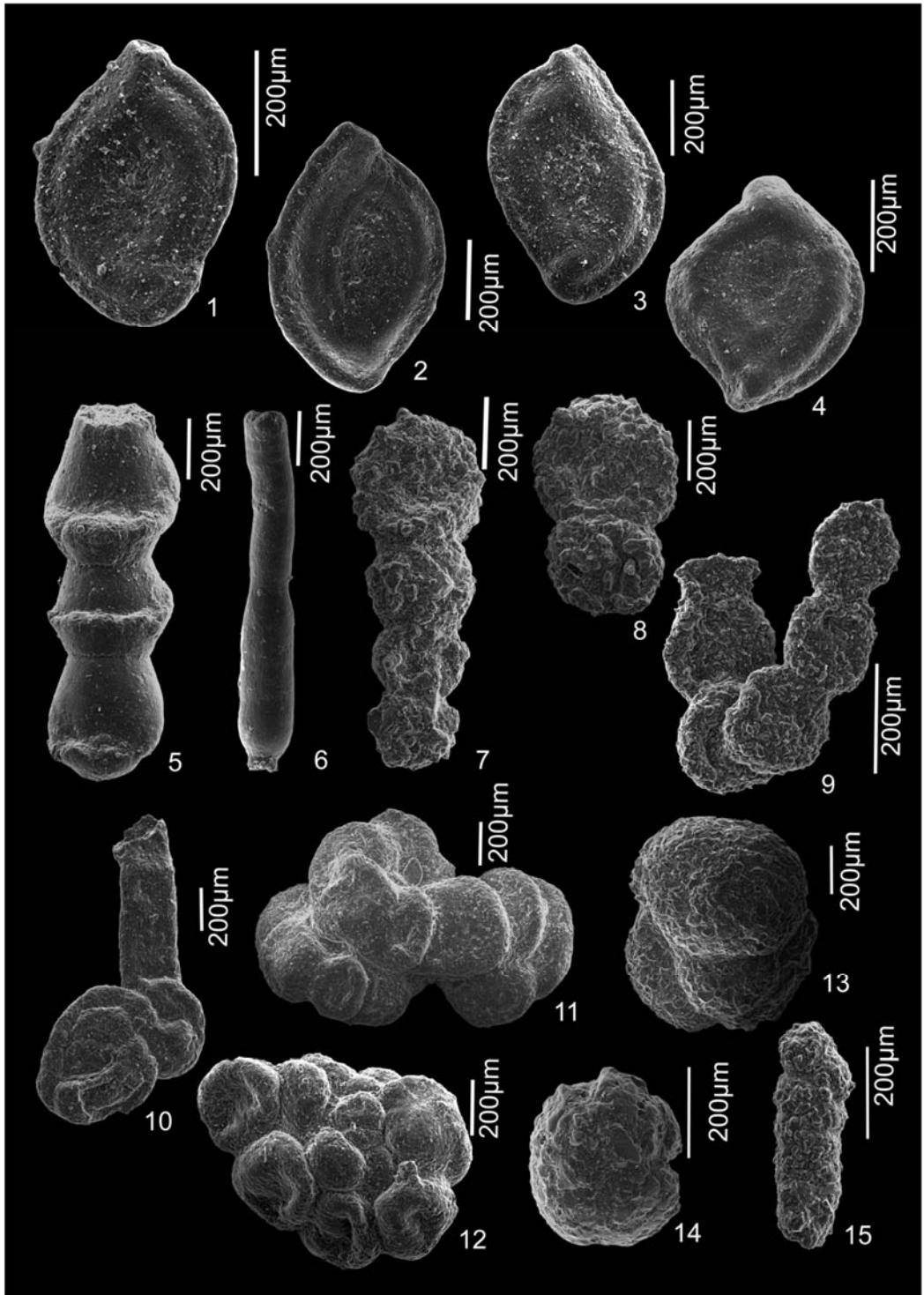
- 1 - *Rhabdammina* sp. - proba 4
- 2 - *Rhabdammina linearis* Brady - proba 6
- 3 - *Placentamina placenta* (Grzybowski) - proba 1
- 4 - *Saccamina grzybowskii* (Schubert) - proba 11
- 5 - *Hyperammia dilatata* Grzybowski - proba 2
- 6 - *Ammodiscus cretaceus* (Reuss) - proba 10
- 7 - *Ammolagena clavata* Jones & Parker fixată pe *Ammodiscus* sp. - proba 9
- 8 - *Ammodiscus peruvianus* Berry - proba 5
- 9 - *Annectina grzybowskii* (Jurkiewicz) - proba 7
- 10 - *Glomospira* sp. - proba 6
- 11 - *Ammolagena clavata* Jones & Parker fixată pe *Rhabdammina* sp. - proba 5
- 12 - *Ammolagena clavata* Jones & Parker fixată pe *Psammosiphonella* sp. - proba 6
- 13 - *Ammolagena clavata* Jones & Parker fixată pe *Psammosiphonella* sp. - proba 15



PLANŞA 10

Foraminifere aglutinante de la Valea Suha (după Bindiu & Filipescu, 2016)

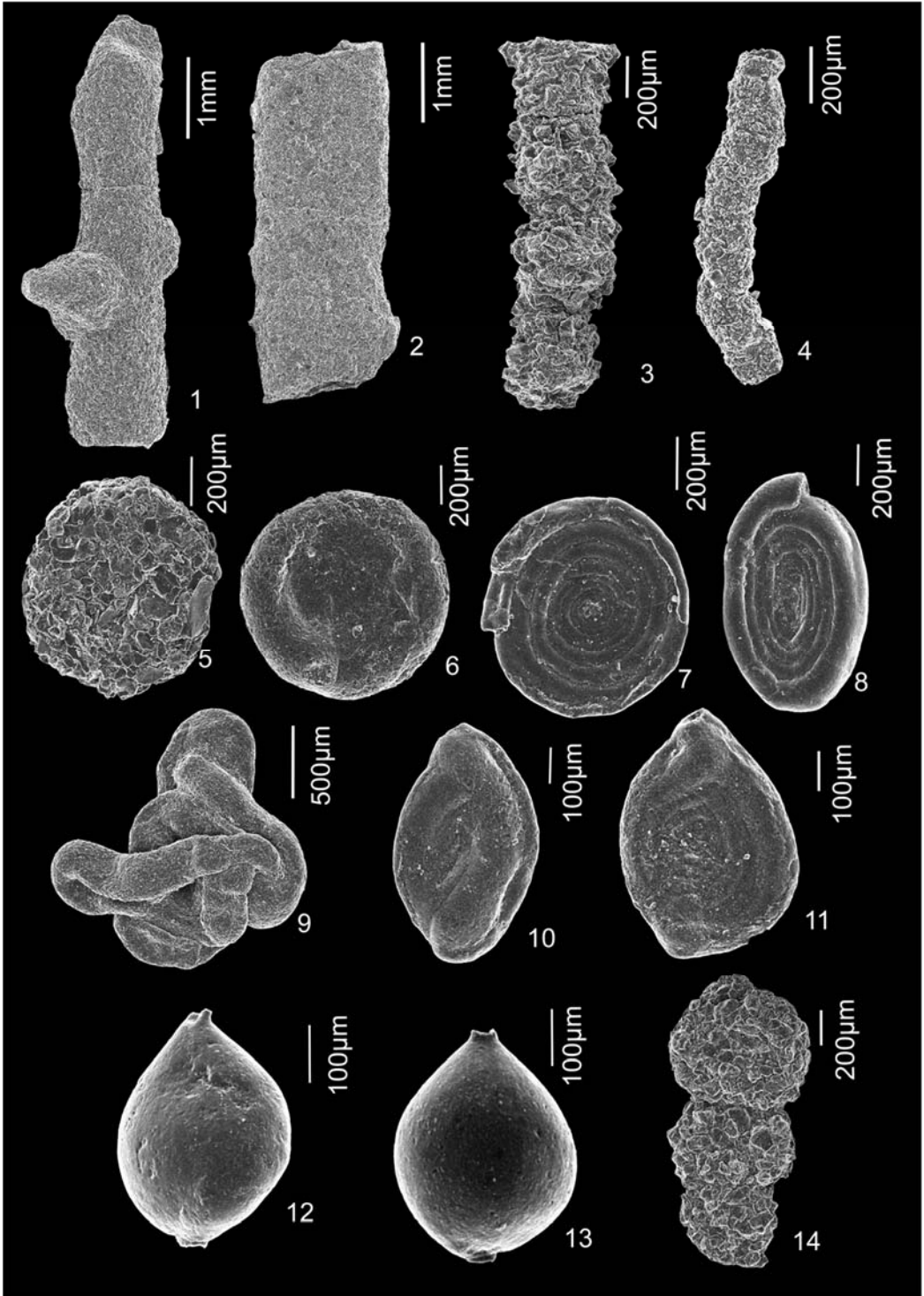
- 1 - *Rzehakina fissistomata* (Grzybowski) - proba 1
- 2 - *Rzehakina fissistomata* (Grzybowski) - proba 2
- 3 - *Rzehakina fissistomata* (Grzybowski) - proba 4
- 4 - *Rzehakina fissistomata* (Grzybowski) - proba 9
- 5 - *Hormosina velascoensis* (Cushman) - proba 10
- 6 - *Kalamopsis grzybowski* (Dyląganka) - proba 17
- 7 - *Reophax globosus* Sliter - proba 5
- 8 - *Reophax duplex* Grzybowski - proba 15
- 9 - *Subreophax scalaris* (Grzybowski) - proba 14
- 10 - *Lituotuba lituiformis* (Brady) - proba 15
- 11 - *Paratrochamminoides mitratus* (Grzybowski) - proba 7
- 12 - *Paratrochamminoides deflexiformis* (Noth) - proba 2
- 13 - *Trochamminoides variolarius* (Grzybowski) - proba 9
- 14 - *Recurvoides* sp. - proba 7
- 15 - *Karrerulina conversa* (Grzybowski) - proba 11



PLANŞA 11

Foraminifere aglutinante de la Palma

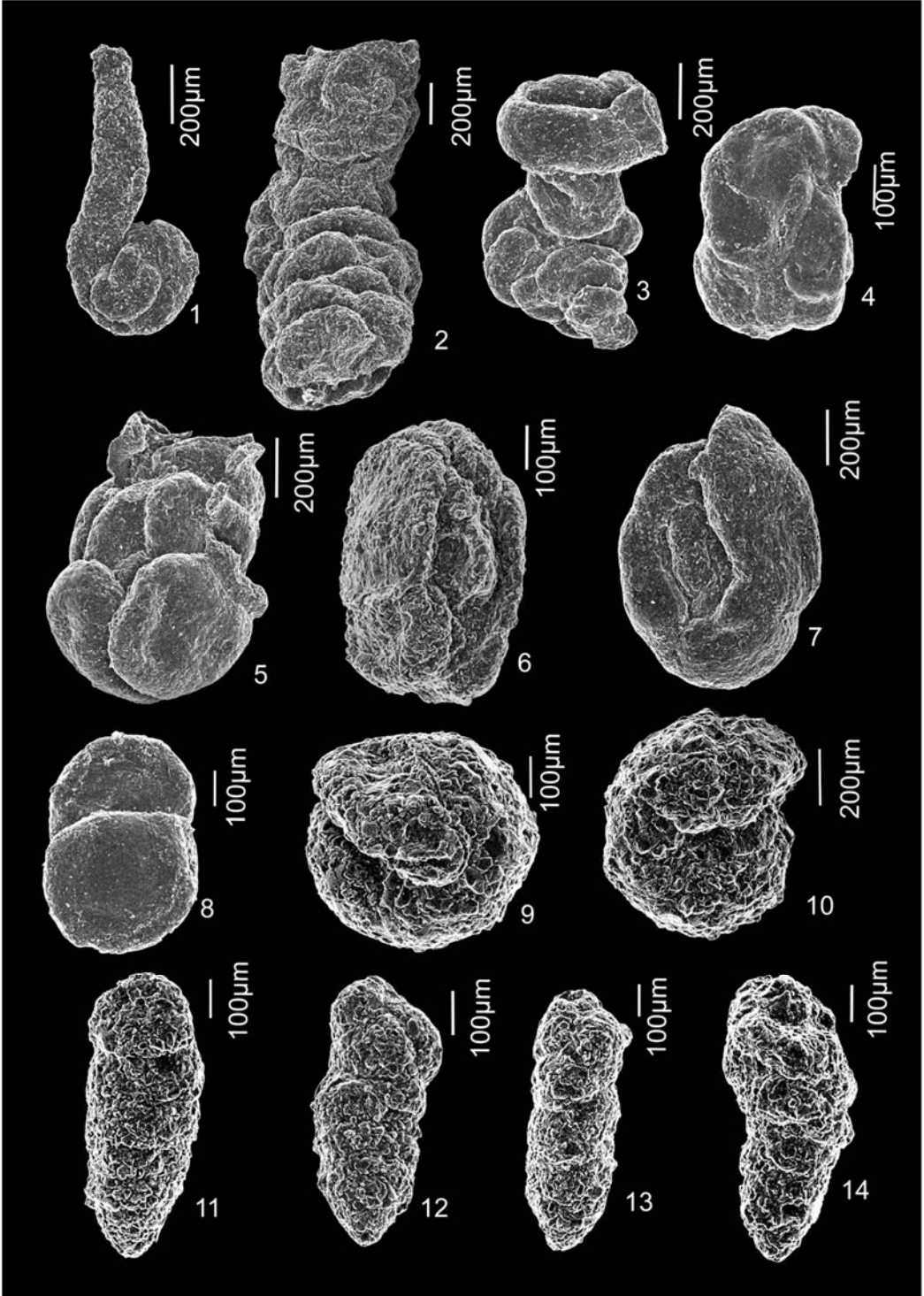
- 1 - *Nothia excelsa* (Grzybowski)
- 2 - *Nothia robusta* (Grzybowski)
- 3 - *Rhabdammina* sp.
- 4 - *Rhizammina* sp.
- 5 - *Psammosphaera irregularis* (Grzybowski)
- 6 - *Placentammina placenta* (Grzybowski)
- 7 - *Ammodiscus tenuissimus* Grzybowski
- 8 - *Ammodiscus peruvianus* Berry
- 9 - *Glomospira glomerata* (Grzybowski)
- 10 - *Rzehakina fissistomata* (Grzybowski)
- 11 - *Rzehakina epigona* (Rzehak)
- 12 - *Caudammina ovula* (Grzybowski)
- 13 - *Caudammina ovula* (Grzybowski)
- 14 - *Reophax globosus* Sliter



PLANŞA 12

Foraminifere aglutinante de la Palma

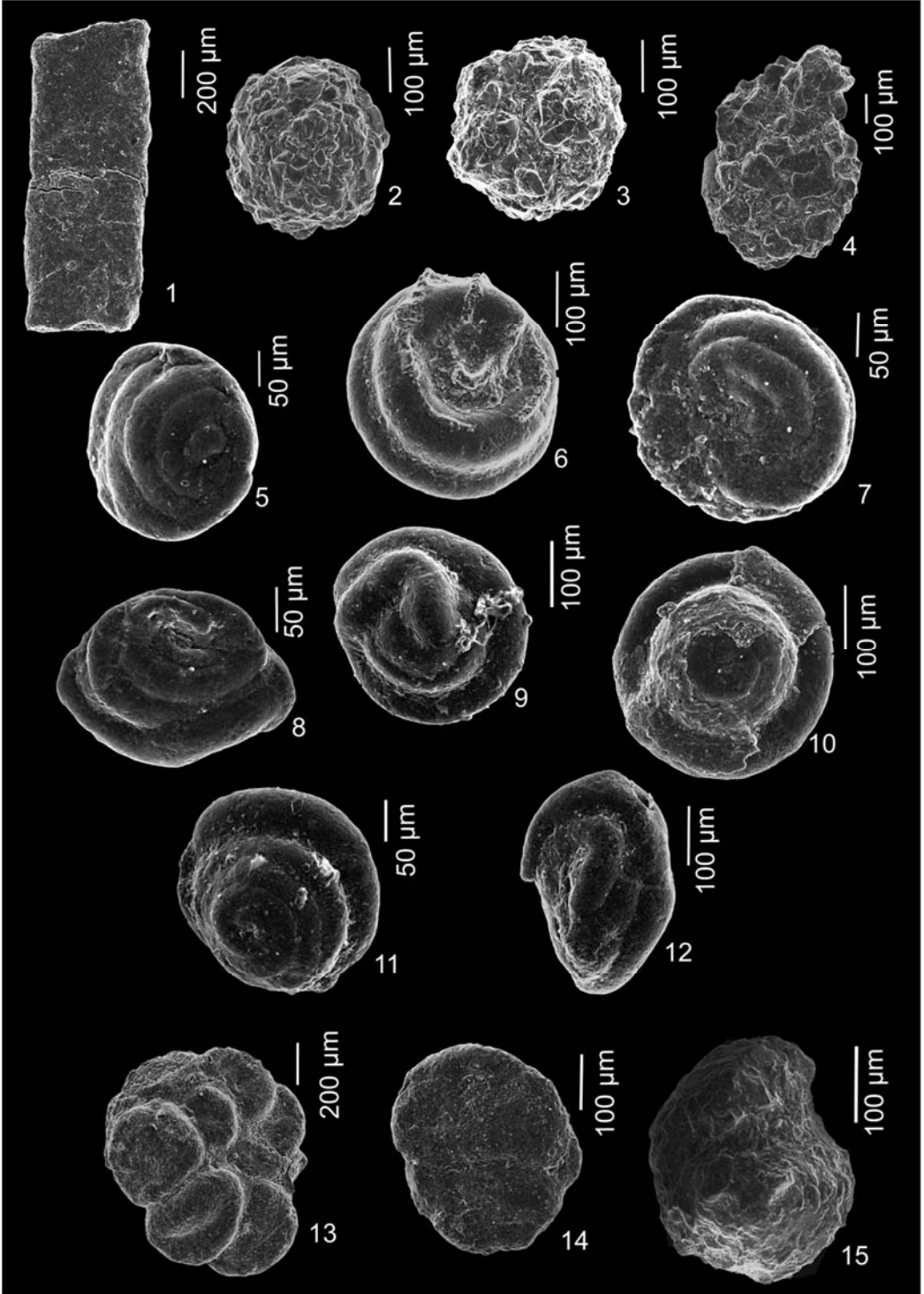
- 1 - *Lituotuba lituiformis* (Brady)
- 2 - *Paratrochamminoides heteromorphus* (Grzybowski)
- 3 - *Paratrochamminoides heteromorphus* (Grzybowski)
- 4 - *Paratrochamminoides* sp.
- 5 - *Conglophragmium irregularis* (White)
- 6 - *Trochamminoides subcoronatus* (Grzybowski)
- 7 - *Trochamminoides subcoronatus* (Grzybowski)
- 8 - *Ammosphaeroidina pseudopauciloculata* (Mjatliuk)
- 9 - *Recurvoides anormis* Mjatliuk
- 10 - *Recurvoides walteri* (Grzybowski)
- 11 - *Karrerulina conversa* (Grzybowski)
- 12 - *Karrerulina horrida* (Mjatliuk)
- 13 - *Karrerulina horrida* (Mjatliuk)
- 14 - *Karrerulina horrida* (Mjatliuk)



PLANŞA 13

Foraminifere aglutinante de la Straja Vest şi Valea Brodinei 1

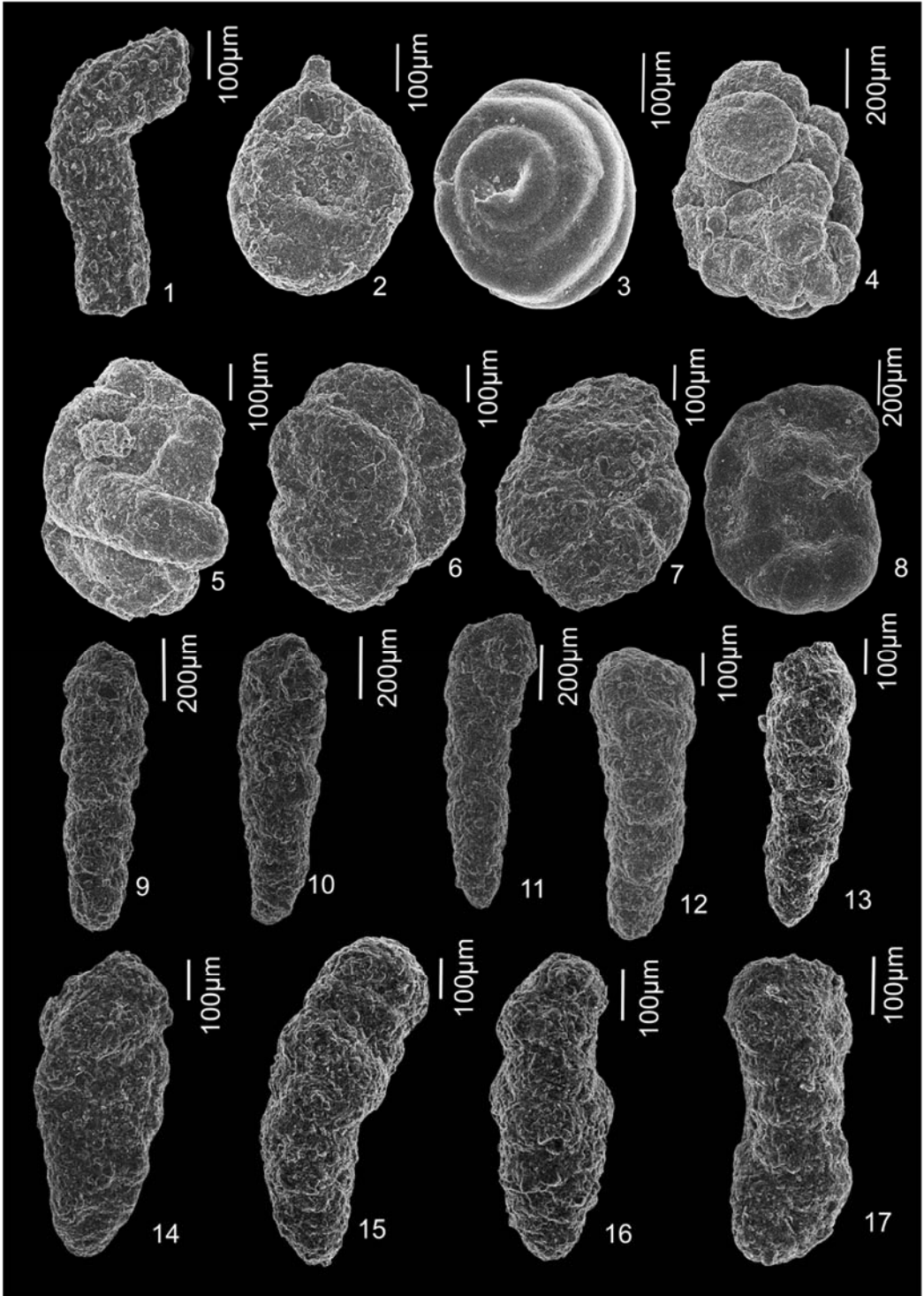
- 1 - *Nothia* sp. (Straja) - proba 1
- 2 - *Psammosphaera irregularis* (Grzybowski) (Straja) - proba 1
- 3 - *Psammosphaera fusca* Schultze (Straja) - proba 1
- 4 - *Saccamina grzybowskii* (Schubert) (Straja) - proba 1
- 5 - *Glomospira diffundens* Cushman & Renz (Straja) - proba 1
- 6 - *Glomospira gordialis* (Jones & Parker) (Straja) - proba 1
- 7 - *Glomospira gordialis* (Jones & Parker) (Straja) - proba 1
- 8 - *Glomospira gordialis* (Jones & Parker) (Straja) - proba 1
- 9 - *Glomospira gordialis* (Jones & Parker) (Valea Brodinei 1) - proba 2
- 10 - *Glomospira charoides* (Jones & Parker) (Straja) - proba 1
- 11 - *Glomospira charoides* (Jones & Parker) (Valea Brodinei 1) - proba 3
- 12 - *Glomospira serpens* (Grzybowski) (Straja) - proba 1
- 13 - *Trochamminoides subcoronatus* (Grzybowski) (Straja) - proba 1
- 14 - *Ammosphaeroidina pseudopauciloculata* (Mjatliuk) (Valea Brodinei 1) - proba 4
- 15 - *Recurvoides* sp. (Valea Brodinei 1) - proba 5



PLANŞA 14

Foraminifere aglutinante de la Valea Dobra, Rusca şi Grozăveşti

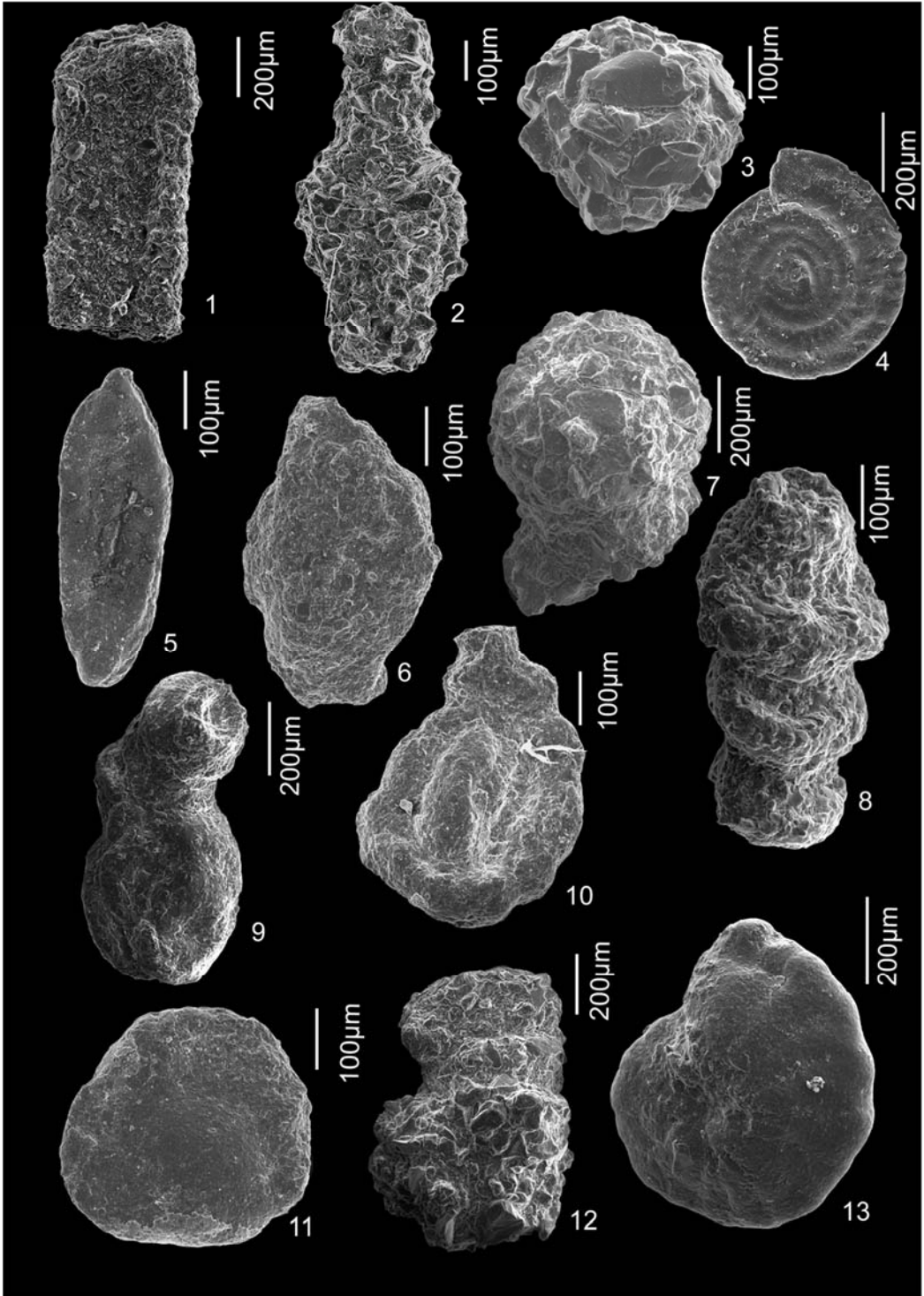
- 1 - *Rhizammina* sp. (Grozăveşti) - proba 1
- 2 - *Saccamina grzybowskii* (Schubert) (Rusca) - proba 1
- 3 - *Glomospira charoides* (Jones & Parker) (Rusca) - proba 1
- 4 - *Paratrochamminoides acervulatus* (Grzybowski) (Rusca) - proba 1
- 5 - *Paratrochamminoides* sp. (Rusca) - proba 1
- 6 - *Trochamminoides subcoronatus* (Grzybowski) (Grozăveşti) - proba 1
- 7 - *Haplophragmoides kirki* Wickenden (Grozăveşti) - proba 1
- 8 - *Haplophragmoides walteri* (Grzybowski) (Grozăveşti) - proba 1
- 9 - *Karrerulina conversa* (Grzybowski) (Grozăveşti) - proba 1
- 10 - *Karrerulina conversa* (Grzybowski) (Rusca) - proba 1
- 11 - *Karrerulina conversa* (Grzybowski) (Valea Dobra) - proba 4
- 12 - *Karrerulina conversa* (Grzybowski) (Grozăveşti) - proba 1
- 13 - *Karrerulina conversa* (Grzybowski) (Grozăveşti) - proba 1
- 14 - *Karrerulina coniformis* (Grzybowki) (Grozăveşti) - proba 1
- 15 - *Karrerulina horrida* (Mjatiuk) (Valea Dobra) - proba 4
- 16 - *Karrerulina horrida* (Mjatiuk) (Rusca) - proba 1
- 17 - *Clavulinoides* sp. (Rusca) - proba 1



PLANŞA 15

Foraminifere aglutinante de la Valea Brodinei 3, Valea Brodinei 6 şi Voroneţ (după Bindiu & Filipescu, 2015)

- 1 - *Nothia excelsa* (Grzybowski) (Valea Brodinei 3) - proba 8
- 2 - *Rhabdammina linearis* Brady (Valea Brodinei 3) - proba 12
- 3 - *Psammosphaera fusca* Schultze (Valea Brodinei 6) - proba 1
- 4 - *Ammodiscus tenuissimus* Grzybowski (Valea Brodinei 6) - proba 2
- 5 - *Psamminopelta gradsteini* (Matsunaga) (Valea Brodinei 3) - proba 12
- 6 - *Reophanus berggreni* Gradstein & Kaminski (Valea Brodinei 3) - proba 9
- 7 - *Saccamminoides carpathicus* Geroch (Voroneţ) - proba 1
- 8 - *Hormosina velascoensis* (Cushman) (Voroneţ) - proba 1
- 9 - *Paratrochamminoides heteromorphus* (Grzybowski) (Valea Brodinei) - proba 13
- 10 - *Trochamminoides grzybowskii* Kaminski & Geroch (Voroneţ) - proba 1
- 11 - *Praesphaerammina subgaleata* (Vašiček) (Voroneţ) - proba 2
- 12 - *Ammobaculites agglutinans* (d'Orbigny) (Valea Brodinei 3) - proba 7
- 13 - *Reticulophragmium amplexans* (Grzybowski) - (Voroneţ) - proba 1

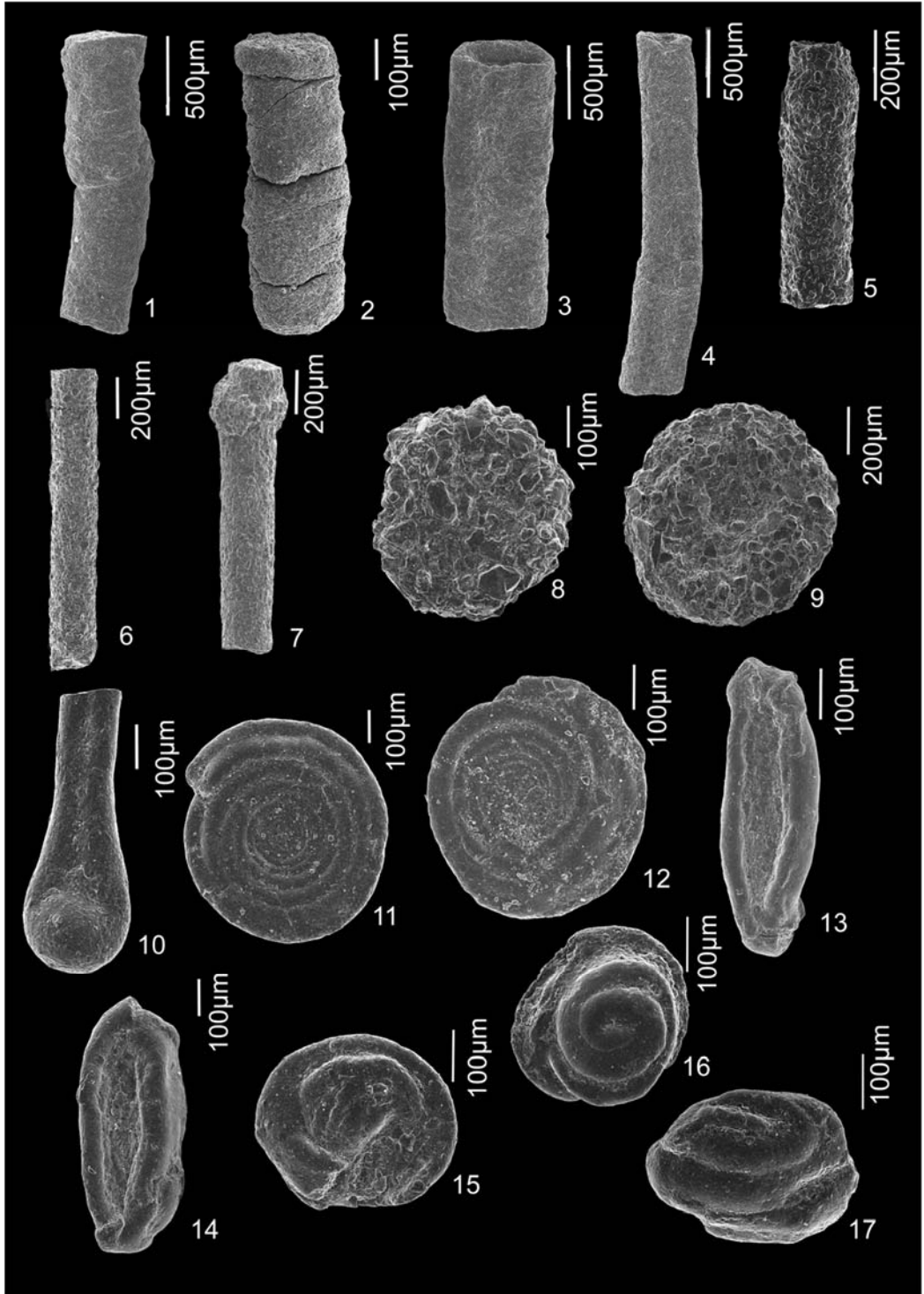


PLANŞA 16

Foraminifere aglutinante de la Valea Sucevei 3

(după Bindu et al., 2016)

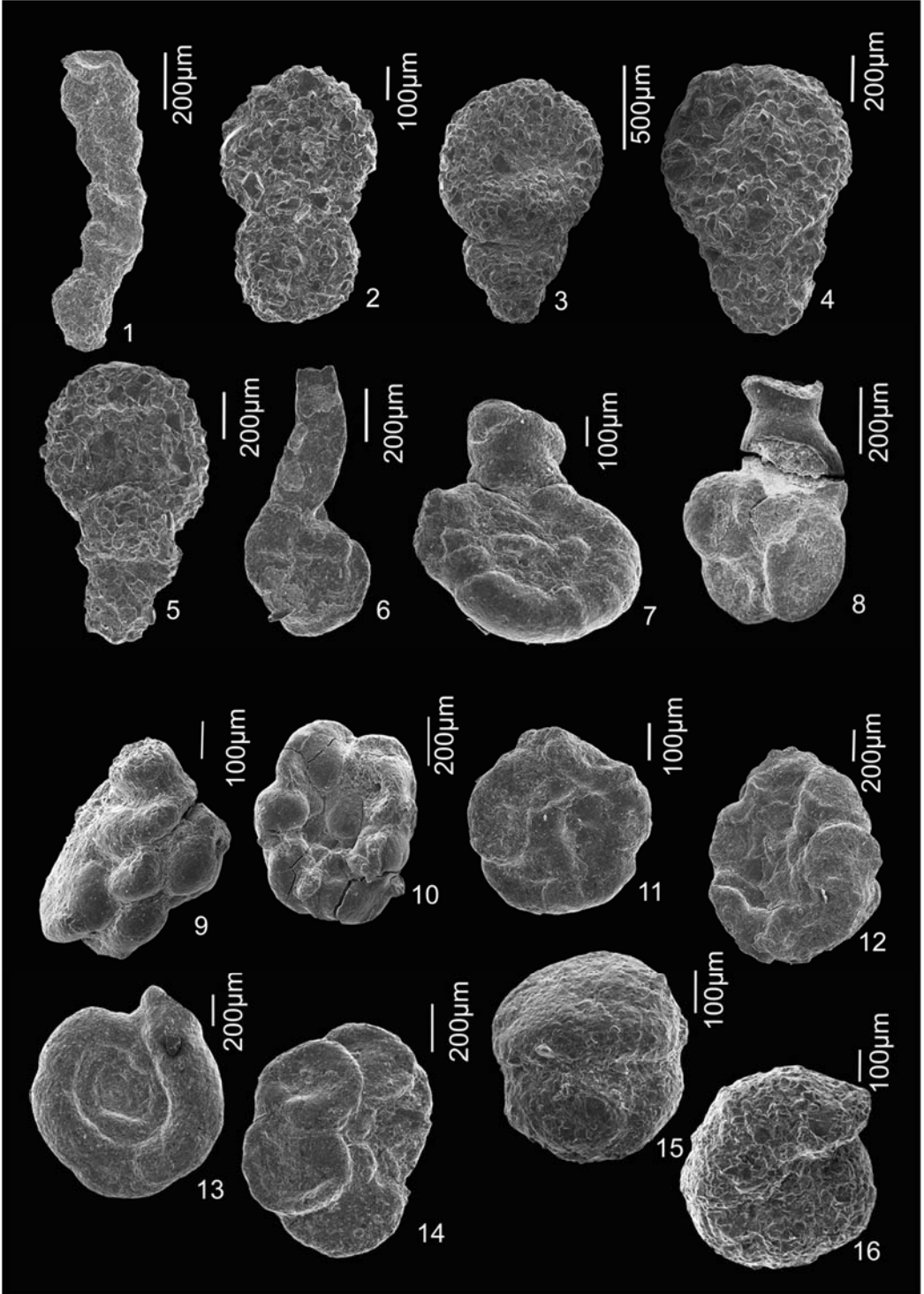
- 1 - *Bathysiphon* sp.1 - proba 1
- 2 - *Bathysiphon* sp.2 - proba 11
- 3 - *Bathysiphon* sp.3 - proba 16
- 4 - *Nothia excelsa* - proba 17
- 5 - *Psammosiphonella discreta* (Brady) - proba 27
- 6 - *Psammosiphonella cylindrica* (Glaessner) - proba 27
- 7 - *Rhabdammina linearis* Brady - proba 19
- 8 - *Psammosphaera irregularis* (Grzybowski) - proba 19
- 9 - *Psammosphaera irregularis* (Grzybowski) - proba 20
- 10 - *Hyperammina elongata* Brady - proba 6
- 11 - *Ammodiscus cretaceus* (Reuss) - proba 9
- 12 - *Ammodiscus* sp. Grzybowski - proba 18
- 13 - *Ammodiscus peruvianus* Berry - proba 13
- 14 - *Ammodiscus peruvianus* Berry - proba 22
- 15 - *Glomospira* sp. - proba 30
- 16 - *Glomospira charoides* (Jones & Parker) - proba 22
- 17 - *Glomospira charoides* (Jones & Parker) - proba 31



PLANŞA 17

Foraminifere aglutinante de la Valea Sucevei 3 (după Bindiu et al., 2016)

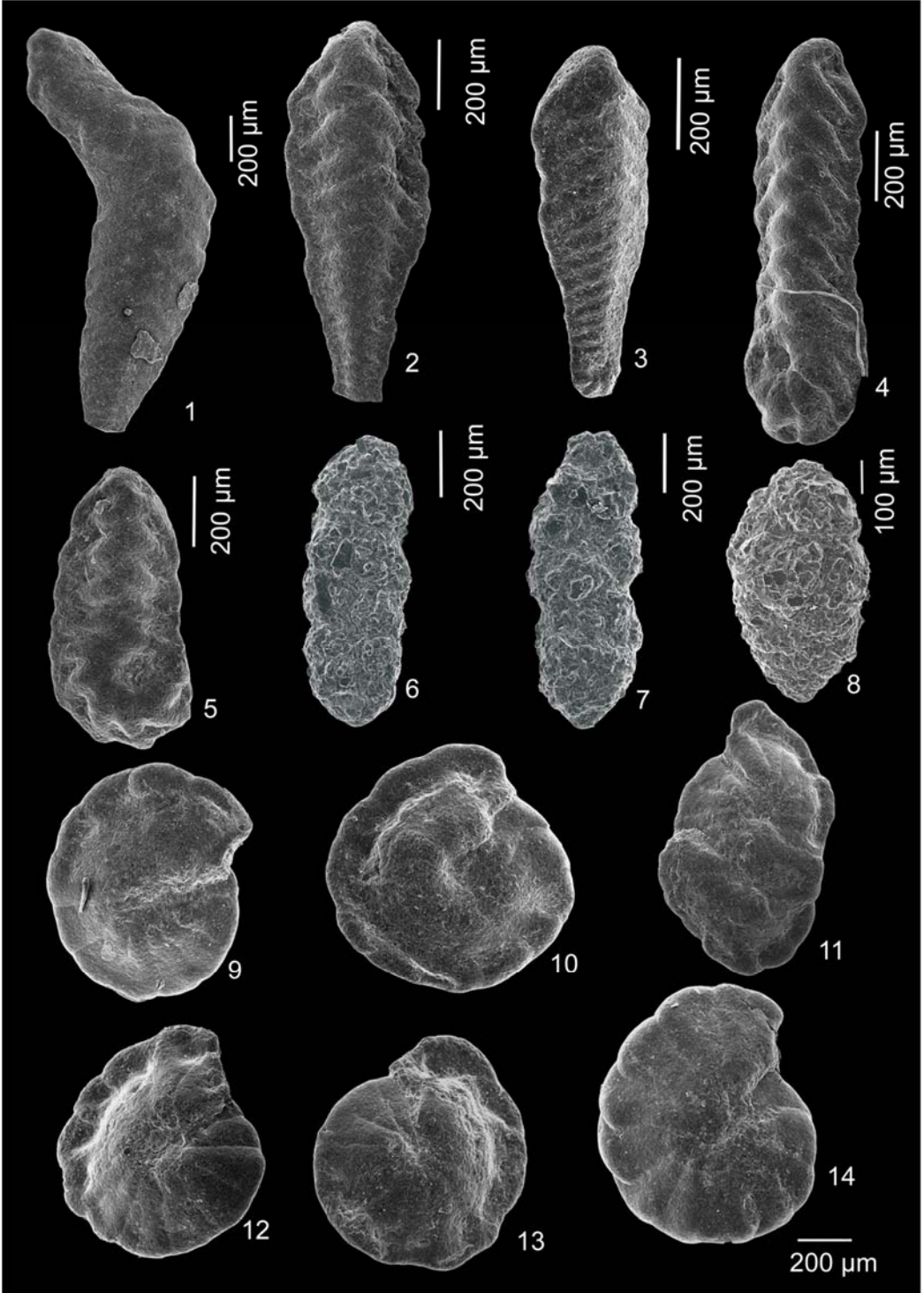
- 1 - *Subreophax scalaris* (Grzybowski) - proba 31
- 2 - *Reophax duplex* Grzybowski - proba 22
- 3 - *Hormosina trinitatensis* Cushman & Renz - proba 25
- 4 - *Hormosina trinitatensis* Cushman & Renz - proba 27
- 5 - *Hormosina trinitatensis* Cushman & Renz - 29
- 6 - *Lituotuba lituiformis* (Brady) - proba 31
- 7 - *Paratrochamminoides heteromorphus* (Grzybowski) - proba 10
- 8 - *Paratrochamminoides heteromorphus* (Grzybowski) - proba 13
- 9 - *Paratrochamminoides acervulatus* (Grzybowski) - proba 10
- 10 - *Paratrochamminoides acervulatus* (Grzybowski) - proba 11
- 11 - *Paratrochamminoides* sp. 1 - proba 2
- 12 - *Paratrochamminoides* sp. 2 - proba 10
- 13 - *Trochamminoides* sp. - proba 9
- 14 - *Trochamminoides subcoronatus* (Grzybowski) - proba 10
- 15 - *Praesphaerammina subgaleata* (Vašíček) - proba 6
- 16 - *Recurvoides* sp. - proba 5



PLANŞA 18

Foraminifere aglutinante de la Valea Sucevei 3
(după Bindiū et al., 2016)

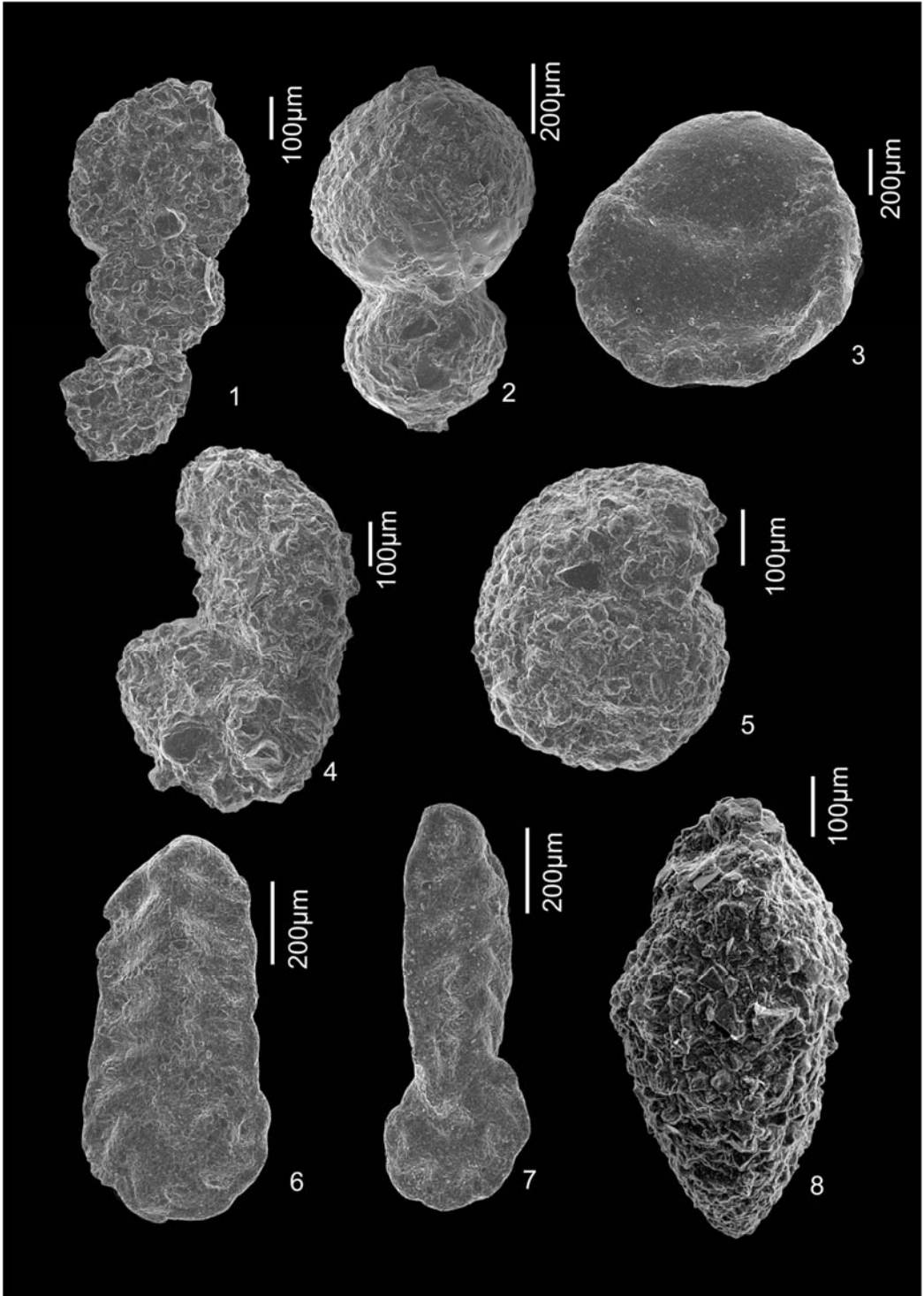
- 1- 5 - *Spiroplectammina spectabilis* (Grzybowski) - proba 25
- 6 - *Karrerulina horrida* (Mjatiuk) - proba 20
- 7 - *Karrerulina horrida* (Mjatiuk) - proba 29
- 8 - *Karrerulina coniformis* (Grzybowki) - proba 35
- 9 - 14 - *Reticulophragmium amplexans* (Grzybowski) - proba 24



PLANŞA 19

Foraminifere aglutinante de la Valea Moldoviţei

- 1 - *Reophax globosus* Stiler - proba 3
- 2 - *Reophax pilulifer* Brady - proba 5
- 3 - *Praesphaerammina subgaleata* (Vašiček) - proba 3
- 4 - *Ammobaculites agglutinans* (d'Orbigny) - proba 15
- 5 - *Budashevaella* sp. - proba 8
- 6 - *Spiroplectammina spectabilis* (Grzybowski) - proba 13
- 7 - *Spiroplectammina spectabilis* (Grzybowski) - proba 14
- 8 - *Karrerulina coniformis* (Grzybowki) - proba 1



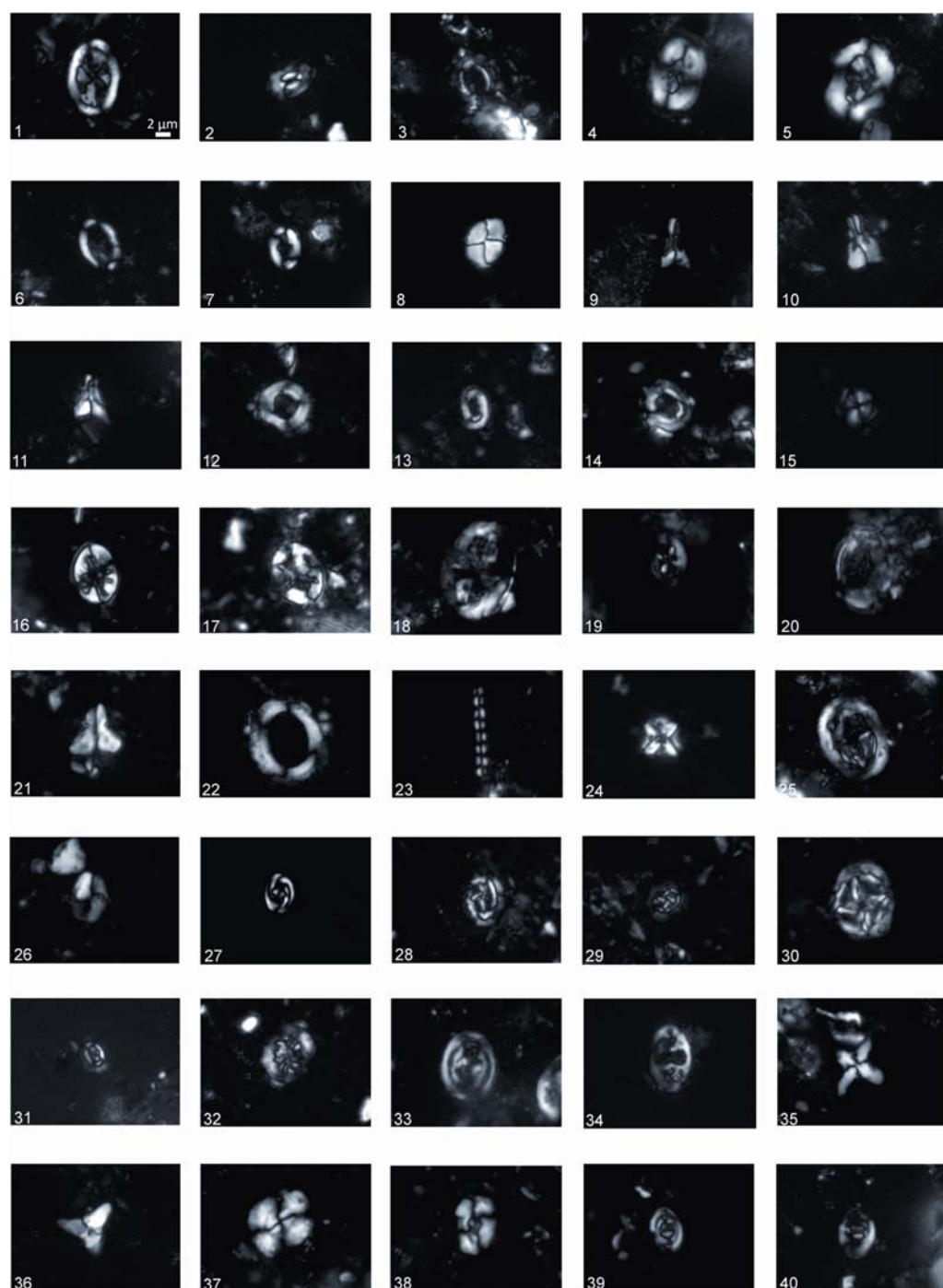
PLANŞA 20

Nannofosile calcaroase de la Valea Sucevei 1

(după Bindu el al., 2013 - planşa şi explicaţiile- Bălc Ramona)

1. *Arkhangelskiella cymbiformis* Vekshina
2. *Biscutum constans* (Górka)
3. *Biscutum magnum* Wind & Wise
4. *Broinsonia parca constricta* Hattner
5. *Broinsonia parca parca* (Stradner)
6. *Broinsonia parca expansa* Wise & Watkins
7. *Broinsonia signata* (Noël)
8. *Calculites obscurus* (Deflandre)
9. *Ceratolithoides aculeus* (Stradner)
10. *Ceratolithoides prominens* Burnett
11. *Ceratolithoides sesquipedalis* Burnett
12. *Cribracorona gallica* (Stradner)
13. *Cribrosphærella ehrenbergii* (Arkhangelsky)
14. *Cylindralithus* sp.
15. *Discorhabdus ignotus* (Górka)
16. *Eiffelithus eximius* (Stover)
17. *Eiffelithus turriseiffelii* (Deflandre)
18. *Gartnerago segmentatum* (Stover)
19. *Helicolithus anceps* (Górka)
20. *Kamptnerius magnificus* Deflandre
21. *Lucianorhabdus maleformis* Reinhardt
22. *Manivitella pemmatoidea* (Deflandre)
23. *Microrhabdulus* sp.
24. *Micula staurophora* (Gardet)
25. *Monomarginatus quaternarius* Wind & Wise
26. *Orastrum campanensis* (Cepek)
27. *Placozygus fibuliformis* (Reinhardt)
28. *Prediscosphaera arkhangelskyi* (Reinhardt)
29. *Prediscosphaera cretacea* (Arkhangelsky)
30. *Prediscosphaera grandis* Perch-Nielsen
31. *Prediscosphaera stoveru* (Perch-Nielsen)
32. *Retecapsa crenulata* (Bramlette & Martini)
33. *Reinhardtites anthophorus* (Deflandre)
34. *Tranolithus* sp.
35. *Uniplanarius sissinghii* Perch- Nielsen
36. *Uniplanarius trifidus* (Stradner)
37. *Watznaueria barnesiæ* (Black)
38. *Watznaueria britannica* (Stradner)
39. *Zeugrhabdotus bicuspidatus* (Stover)
40. *Zeugrhabdotus diplogrammus* (Deflandre)

Planşe



ANEXE

Anexa 1. Coordonatele punctelor de colectare a probelor.

Puncte de colectare	N	E
Argel 1	47° 45' 19.72"	25° 29' 49.63"
Argel 2	47° 45' 49.57"	25° 27' 39.78"
Argel 3	47° 45' 50.50"	25° 25' 34.24"
Ciumârna	47° 41' 16.29"	25° 35' 24.68"
Dobra	47° 34' 37.10"	25° 43' 06.20"
Dragoș	47° 39' 23.50"	25° 38' 20.90"
Grozăvești	47° 03' 4.60"	26° 02' 23.74"
Molidu	47° 34' 17.40"	25° 44' 25.80"
Palma	47° 45' 0.18"	25° 38' 21.15"
Rașca	47° 44' 48.48"	25° 30' 39.45"
Rusca	47° 45' 36.03"	25° 39' 8.74"
Straja Vest	47° 54' 50.00"	25° 29' 43.87"
Valea Boului	47° 37' 59.94"	25° 33' 21.99"
Valea Brodinei 1	47° 51' 35.35"	25° 25' 57.03"
Valea Brodinei 2	47° 51' 15.80"	25° 25' 37.27"
Valea Brodinei 3	47° 49' 55.20"	25° 24' 42.15"
Valea Brodinei 4	47° 49' 9.73"	25° 23' 46.75"
Valea Brodinei 5	47° 48' 48.34"	25° 22' 37.27"
Valea Brodinei 6	47° 48' 28.33"	25° 19' 58.33"
Valea Brodinei 7	47° 48' 5.36"	25° 17' 49.41"
Valea Humorului	47° 41' 47.50"	25° 44' 06.70"
Valea Moldoviței	47° 42' 13.24"	25° 32' 22.41"
Valea Putnei	47° 51' 34.63"	25° 35' 16.44"
Valea Sucevei 1	47°52'17.40"	25°23'47.11"
Valea Sucevei 2	47° 53' 10.53"	25° 25' 4.54"
Valea Sucevei 3	47° 53' 4.79"	25 26' 36.89"
Valea Suha	47° 31' 05.20"	25° 48' 09.60"
Voroneț	47° 30' 19.60"	25° 52' 24.00"

Anexa 2. Lista speciilor identificate.**Specia**

Acarinina primitiva (Finlay)
Acarinina sp.
Ammobaculites agglutinans (d'Orbigny)
Ammobaculites sp.
Ammodiscus cretaceus (Reuss)
Ammodiscus glabratus Cushman & Jarvis,
Ammodiscus latus Grzybowski
Ammodiscus penny Cushman & Jarvis
Ammodiscus peruvianus Berry
Ammodiscus sp.
Ammodiscus tenuissimus Grzybowski
Ammolagena clavata (Jones & Parker)
Ammolagena sp.
Ammosphaeroidina pseudopauciloculata (Mjatluk)
Ammosphaeroidina sp.
Annectina grzybowskii (Jurkiewicz)
Arthrodendron carpathicum (Neagu)
Arthrodendron diffusum Ulrich
Arthrodendron grandis (Grzybowski)
Arthrodendron sp.
Bathysiphon eocenicus Cushman & Hanna
Bathysiphon filiformis Sars
Bathysiphon sp.
Bathysiphon taurinensis Sacco
Budashevaella multicamerara (Voloshinova)
Budashevaella trinitatensis (Cushman & Renz)
Caudamina excelsa (Dylańska)
Caudamina ovula (Grzybowski)
Caudamina ovuloides (Grzybowski)
Caudamina ovulum gigantea (Geroch)
Chillostomella sp.
Chrysalogonium elongatum Cushman & Jarvis
Chrysalogonium rudis (d'Orbigny)
Cibicidoides sp.
Cibicidoides velascoensis (Cushman)
Conglophragmium irregularis (White)
Conotrochammina sp.
Conotrochammina voeringensis Gradstein & Kaminski,
Cribrostomoides subglobosus (Cushman)
Cribrostomoides trinitatensis Cushman & Jarvis
Cyclammina cancellata Brady
Cyclammina sp.
Dentalina gracilis d'Orbigny
Dentalina megapolitana Reuss

Dentalina sp
Dicarinella concavata (Brotzen)
Dorothyia sp.
Eoglobigerina eobulloides (Morozova)
Eponides sp.
Eratidus gerochii Kaminski & Gradstein
Gaudryina sp.
Gerochammina stanislawi Neagu
Globigerina bollii Cita & Silva
Globigerina bulloides d'Orbigny
Globigerina prasaepis Blow
Globigerina rohri Bolli
Globigerina sp.
Globigerina triloculinoides Plummer
Globigerinelloides asper (Ehrenberg)
Globigerinoides primordius Blow & Banner
Globigerinoides sp.
Globorotalia sp.
Globotruncana arca (Cushman)
Globotruncana bulloides Vogler
Globotruncana deupleubei Caron et al
Globotruncana orientalis El Naggar
Globotruncana sp.
Globotruncana ventricosa White
Globotruncanella minuta Caron & Gonzales Dosono
Globotruncanella subcarinatus Bronnimann
Globotruncanita elevata (Brotzen)
Globotruncanita stuartiformis (Dalbiez)
Glomospira charoides (Jones & Parker)
Glomospira diffundens Cushman & Renz
Glomospira glomerata (Grzybowski)
Glomospira gordialis (Jones & Parker)
Glomospira irregularis (Grzybowski)
Glomospira serpens (Grzybowski)
Glomospira sp.
Gricelis guttifera (d'Orbigny)
Gyroidina sp.
Gyroidinoides depressus (Alth)
Gyroidinoides kaminskii Beckmann
Gyroidinoides sp.
Hansenisca soldanii (d'Orbigny)
Haplophragmoides excavatus Cushman & Waters
Haplophragmoides horridus (Grzybowski)
Haplophragmoides kirki Wickenden
Haplophragmoides parvulus (Blaicher)
Haplophragmoides porectus Maslakova
Haplophragmoides sp.
Haplophragmoides stomatus (Grzybowski)

Haplophragmoides walteri (Grzybowski)
Heterohelix labellosa Nederbragt
Heterohelix navarroensis Loeblich
Heterohelix sp.
Hormosina trinitatensis Cushman & Renz
Hormosina velascoensis (Cushman)
Hormosinella distans (Brady)
Hormosinelloides guttifer (Brady)
Hyperammina dilatata Grzybowski
Hyperammina elongata Brady
Hyperammina granulosa Venhlinyski
Hyperammina rugosa
Hyperammina sp. Verdenius & van Hinte
Igorina broedermanni (Cushman & Bermudez)
Kalamopsis grzybowskii (Dyląganka)
Karrerulina coniformis (Grzybowski)
Karrerulina conversa (Grzybowski)
Karrerulina horrida (Mjatiuk)
Karrerulina sp.
Laevidentalina catenula (Reuss)
Laevidentalina communis d'Orbigny
Laevidentalina elegans d'Orbigny
Laevidentalina inornata d'Orbigny
Laeviheterohelix glabrans (Cushman)
Lagen sp.
Lagen *sulcata* (Walker & Jacob)
Lenticulina sp.
Lituotuba lituiformis (Brady)
Morozovelloides lehneri (Cushman & Jarvis)
Muricohedbergella monmouthensis (Olsson)
Nodosarella lorifera (Halkyard)
Nodosarella tuberosa (Gumbel)
Nodosaria limbata d'Orbigny
Nodosaria sp.
Nothia excelsa (Grzybowski)
Nothia latissima (Grzybowski)
Nothia robusta (Grzybowski)
Nothia sp.
Nuttalides sp.
Nuttalides truempyi (Nuttal)
Oolina globosa (Montagu)
Parasubbotina pseudobulloides (Plummer)
Parasubbotina varianta (Subbotina)
Paratrochamminoides acervulatus (Grzybowski)
Paratrochamminoides deflexiformis (Noth)
Paratrochamminoides gorayskii (Grzybowski)
Paratrochamminoides heteromorphus (Grzybowski)
Paratrochamminoides mitratus (Grzybowski)

Paratrochamminoides olszewski (Grzybowski)
Paratrochamminoides sp.
Parvularugoglobigerina eugubina (Luterbacher & Premoli Silva)
Placentammina placenta (Grzybowski)
Placentammina sp.
Planoheterohelix globulosa (Ehrenberg)
Planoheterohelix planata (Cushman)
Pleurostomella acuta Hantken
Pleurostomella incrassata Hantken
Pleurostomella sp.
Popovia elegans (Kaminski)
Praespaerammina subgaleata (Vašiček)
Protobotelina vermiculata Luczkowska,
Protomarssonella sp.
Psamminopelta gradsteini (Matsunaga)
Psammosiphonella cylindrica (Glaessner)
Psammosiphonella discreta (Brady)
Psammosphaera fusca Schultze
Psammosphaera irregularis (Grzybowski)
Psammosphaera sp.
Pseudonodosinella elongata (Grzybowski)
Pseudonodosinella nodulosa (Brady)
Pseudonodosinella sp.
Radotruncana calcarata (Cushman)
Rectoprotomarssonella rugosa (Hanzlíková)
Recurvoidella lamella (Grzybowski)
Recurvoides anormis Mjatluk
Recurvoides rectoseptus (Grzybowski)
Recurvoides sp.
Recurvoides walteri (Grzybowski)
Remesella varians (Glaessner)
Reophanus berggreni Gradstein & Kaminski
Reophax duplex Grzybowski
Reophax globosus Stiler
Reophax pilulifer Brady
Reophax sp.
Reophax subfusiformis Erland
Reticulophragmium acutidorsatum (Hantken)
Reticulophragmium amplexens (Grzybowski)
Reticulophragmium rotundidorsatum (Hantken)
Reticulophragmium sp.
Rhabdammina abyssorum Sars
Rhabdammina linearis Brady
Rhabdammina sp.
Rhizammina indivisa Brady
Rhizammina sp.
Rzehakina epigona (Rzehak)
Rzehakina fissistomata (Grzybowski)

Rzehakina inclusa (Grzybowski)
Rzehakina lata Cushman & Jarvis
Rzehakina minima Cushman & Renz
Rzehakina sp.
Saccammina grzybowski (Schubert)
Saccammina sp.
Saccammina sphaerica Brady
Saccamminoides carpathicus Geroch
Sculptobacullites barri Beckmann
Siphonodosaria dentataglabrata (Cushman
Siphonodosaria jacksonensis (Cushman & Applin, 1926)
Siphonodosaria sp.
Spiroplectammina sp.
Spiroplectammina spectabilis (Grzybowski)
Spiroplectammina trinitatensis Cushman & Renz
Spiroplectinella dentata (Alth)
Spirosigmoilinella compressa Matsunaga
Stilostomella sp.
Stilostomella hoernessi (Hantken)
Stilostomella paleocaenica (Cushman & Todd)
Stilostomella pseudoscripta (Cushman & Campbell)
Stilostomella sp.
Stilostomella subspinoso (Cushman)
Subbotina angiporoides (Hornibrook)
Subbotina linaperta (Finlay)
Subbotina patagonica (Todd & Kniker)
Subbotina sp.
Subreophax pseudoscalaris (Samuel)
Subreophax scalaris (Grzybowski)
Subreophax sp.
Textularia sp.
Thalmannammina subturbinata (Grzybowski)
Trilobatus trilobus Spezzaferi et al.
Trinitella sp.
Trochammina sp.
Trochamminoides dubius (Grzybowski)
Trochamminoides grzybowski Kaminski & Geroch
Trochamminoides proteus (Karrer)
Trochamminoides sp.
Trochamminoides subcoronatus (Grzybowski)
Trochamminoides variolarius (Grzybowski)
Turborotalia griffinae Blow
Turborotalia sp.
Vulvulina advena Cushman
Vulvulina sp.

Anexa 3. Număr de indivizi.

Anexa 3.1. Valea Sucevei 1

Specii	1	2	3	4	5	6	7	8	9	10	11	12	13	14	15	16	17	18	19	20	21	22	23
<i>Ammobaculites</i> sp.	0	0	0	0	0	0	0	0	0	0	0	0	0	0	0	4	0	0	5	0	0	0	0
<i>Ammodiscus</i> <i>cretaceus</i>	1	0	5	10	3	9	3	6	0	0	0	0	3	3	0	8	10	0	5	2	2	4	3
<i>Ammodiscus</i> <i>glabratus</i>	0	0	0	1	1	2	4	3	0	0	2	0	1	2	0	3	1	0	0	0	0	2	0
<i>Ammodiscus</i> <i>peruvianus</i>	1	2	3	3	1	3	4	4	5	2	2	0	4	1	2	7	7	0	7	1	0	1	3
<i>Ammodiscus</i> sp.	0	0	0	0	0	0	0	0	0	0	0	0	0	0	0	0	0	0	0	0	1	0	1
<i>Ammodiscus</i> <i>tenuissimus</i>	0	0	4	2	0	0	0	3	0	4	3	0	6	2	2	6	11	0	6	0	1	0	3
<i>Ammosphaeridina</i> <i>pseudopauciloculata</i>	0	1	4	5	6	4	5	21	2	0	3	0	13	1	0	5	15	0	5	9	4	1	12
<i>Arthrodendron</i> <i>carpatica</i>	0	0	0	0	0	0	0	0	0	0	0	0	0	0	0	0	0	0	0	0	0	1	0
<i>Arthrodendron</i> <i>grandis</i>	0	0	0	1	0	2	0	0	0	2	0	0	1	7	0	0	1	0	0	0	0	0	0
<i>Bathysiphon</i> <i>filiformis</i>	1	2	0	0	1	2	3	1	0	0	0	0	0	0	2	2	0	0	1	2	0	0	3
<i>Bathysiphon</i> sp	17	46	39	10	20	32	40	35	20	27	11	0	68	22	32	29	31	0	23	26	28	72	71
<i>Bathysiphon</i> <i>tauriniensis</i>	3	0	0	0	0	0	0	0	0	0	0	0	0	0	0	0	0	0	0	0	0	0	0
<i>Caudammina</i> <i>ovuloides</i>	0	0	2	0	1	0	0	0	0	0	0	0	2	2	0	1	4	0	1	1	0	0	0
<i>Caudammina</i> <i>ovula</i>	0	2	2	2	8	5	1	2	0	2	1	0	12	3	1	9	6	0	14	1	0	3	3
<i>Caudammina</i> <i>ovulum gigantea</i>	0	0	0	0	0	0	0	0	0	0	0	0	0	0	3	1	2	0	0	0	1	0	4
<i>Cibicidoides</i> <i>velascoensis</i>	0	0	0	0	0	0	0	2	2	0	0	0	0	0	0	0	0	0	0	0	0	0	0
<i>Chrysalogonium</i> <i>elongatum</i>	0	0	0	0	0	0	1	0	0	2	4	0	0	0	1	0	0	0	0	0	0	0	3
<i>Conglophragmium</i> <i>irregularis</i>	0	0	0	4	0	0	0	0	0	0	0	0	6	4	0	7	11	0	3	4	3	1	0
<i>Cribrostomoides</i> <i>subglobosus</i>	0	0	0	0	0	0	0	0	0	0	0	0	2	0	0	0	0	0	0	0	0	0	0
<i>Cribrostomoides</i> <i>trinitatisensis</i>	0	0	0	0	0	0	0	0	0	0	0	0	6	0	0	0	0	0	0	0	0	0	0
<i>Dentalina</i> <i>communis</i>	0	0	0	0	2	0	0	0	0	0	0	0	0	0	0	0	0	0	0	0	0	0	0
<i>Dicarinella</i> <i>concavata</i>	0	0	0	3	0	0	0	0	0	0	0	0	0	0	0	0	0	0	0	0	0	0	0
<i>Eponides</i> sp.	0	0	0	0	0	6	4	2	6	2	7	0	4	29	2	0	10	0	3	2	0	0	0
<i>Globotruncana</i> <i>arca</i>	0	0	0	0	0	0	0	0	0	0	26	0	0	1	0	1	0	0	0	0	0	0	0
<i>Globotruncana</i> <i>bulloides</i>	0	0	0	0	0	0	0	0	0	0	10	0	0	0	0	0	0	0	0	0	0	0	0
<i>Globotruncana</i> <i>deupleubei</i>	0	0	0	2	3	0	0	0	0	0	0	0	0	0	0	0	0	0	0	0	0	0	0

<i>Globotruncana orientalis</i>	0	0	0	0	0	0	0	1	0	0	0	0	0	0	0	0	0	0	0	0	0	0	
<i>Globotruncana</i> sp.	0	0	0	12	6	2	0	5	0	0	0	0	1	0	1	0	0	0	0	0	0	0	
<i>Globotruncana ventricosa</i>	1	0	6	36	4	0	0	10	5	0	0	0	0	1	0	0	0	0	0	0	0	0	
<i>Globotruncanita elevata</i>	3	0	0	1	0	0	0	0	0	0	0	0	0	0	0	0	0	0	0	0	0	0	
<i>Globotruncanita stuartiformis</i>	0	0	0	0	0	0	0	0	0	0	4	0	0	0	0	0	0	0	0	0	0	0	
<i>Glomospira charoides</i>	0	0	0	0	0	0	0	3	1	0	0	0	0	1	0	0	9	0	0	0	0	0	
<i>Glomospira diffundens</i>	0	0	0	0	0	0	0	0	0	0	0	0	0	0	0	0	1	0	0	0	0	0	
<i>Glomospira gordialis</i>	0	0	2	1	5	1	1	5	0	0	0	0	0	0	0	0	4	0	0	0	0	0	
<i>Glomospira irregularis</i>	0	0	0	0	0	0	0	1	0	0	0	0	0	0	0	0	0	0	0	0	0	0	
<i>Glomospira serpens</i>	0	0	0	0	0	1	0	1	0	0	0	0	0	0	0	0	0	0	0	0	0	0	
<i>Glomospira</i> sp.	0	0	0	0	0	0	2	0	0	0	0	0	2	2	1	1	6	0	1	2	2	0	1
<i>Haplophragmoides kirkii</i>	1	0	0	0	0	0	0	1	0	0	0	0	0	0	0	0	0	0	0	0	0	0	
<i>Hormosina trinitatensis</i>	0	0	2	5	0	0	0	0	0	0	0	0	0	0	0	0	0	0	0	0	0	0	
<i>Hormosina velascoensis</i>	0	1	0	0	0	5	4	9	0	12	1	0	2	5	0	2	13	0	3	1	0	0	0
<i>Hormosinella distans</i>	0	0	0	0	0	0	0	1	0	2	1	0	1	1	0	1	5	0	2	1	2	0	0
<i>Hormosinelloides guttifer</i>	0	0	1	0	0	0	1	0	0	0	0	0	0	0	0	0	0	0	0	0	0	0	
<i>Hyperammina dilatata</i>	0	0	0	0	0	0	0	0	0	0	0	0	0	0	0	0	0	0	2	0	0	0	0
<i>Hyperammina elongata</i>	4	0	2	1	3	1	1	1	1	0	0	0	5	0	2	2	5	0	1	3	3	0	1
<i>Hyperammina granulosa</i>	4	2	0	1	0	0	0	0	0	0	0	0	0	0	0	0	0	0	0	0	0	0	0
<i>Hyperammina rugosa</i>	3	0	0	0	5	1	1	1	0	12	9	0	20	15	6	18	22	0	17	12	2	9	3
<i>Hyperammina</i> sp.	0	11	0	0	0	0	0	19	12	0	0	0	0	0	0	0	0	0	0	0	0	0	0
<i>Kalamopsis grzybowskii</i>	0	0	0	0	0	0	0	1	0	3	0	0	0	3	0	0	2	0	3	0	5	2	3
<i>Karrerulina coniformis</i>	3	0	0	0	0	0	0	0	0	0	0	0	0	0	0	0	0	0	0	0	0	0	0
<i>Karrerulina conversa</i>	0	0	0	0	0	0	0	0	0	0	0	0	4	0	0	0	4	0	0	0	0	0	0
<i>Karrerulina horrida</i>	0	3	14	8	15	1	16	24	6	22	0	0	39	0	5	73	134	0	50	0	14	3	4
<i>Lituotuba lituiformis</i>	2	0	0	0	2	1	3	1	0	0	0	0	0	0	0	1	3	0	1	0	1	1	0
<i>Nothia excelsa</i>	122	82	216	171	98	156	313	126	110	108	142	0	96	75	188	71	103	0	91	48	76	120	82
<i>Nothia latissima</i>	10	18	20	1	1	2	11	13	10	2	3	0	2	2	0	0	3	0	2	2	2	1	0
<i>Nothia robusta</i>	0	1	0	1	0	2	0	0	0	0	0	0	0	0	0	0	4	0	0	0	2	3	0
<i>Paratrochamminoides acervulatus</i>	0	0	0	0	0	0	0	0	0	0	0	0	2	0	0	0	1	0	0	0	0	0	0
<i>Paratrochamminoides goryaski</i>	0	0	0	3	0	0	0	0	0	0	0	0	0	0	0	0	3	0	0	0	0	0	0

[illegible]

<i>Subreophax pseudoscalaris</i>	0	0	0	0	0	0	2	0	0	0	0	0	0	0	0	0	0	0	0	0	0	0	0
<i>Subreophax scalaris</i>	0	0	2	0	1	5	3	2	0	1	2	0	1	1	0	0	3	0	1	2	0	0	3
<i>Trochamminoides dubius</i>	0	0	0	0	0	0	0	0	0	0	0	0	1	1	0	1	11	0	3	0	0	0	1
<i>Trochamminoides proteus</i>	0	0	0	4	0	0	0	0	0	0	0	0	0	0	0	0	1	0	0	0	0	0	0
<i>Trochamminoides subcoronatus</i>	0	0	0	0	3	0	0	0	0	0	0	0	0	0	0	2	6	0	2	4	0	0	1
<i>Trochamminoides variolarius</i>	0	0	0	0	0	8	4	35	0	0	0	0	4	8	0	11	24	0	4	15	5	3	5

Anexa 3.2. Valea Brodinei 2

Specii	10	9	8	7	6	5	4	3	2	1
<i>Ammodiscus glabratus</i>	0	0	1	1	7	3	0	0	0	0
<i>Ammodiscus peruvianus</i>	0	0	2	0	3	8	2	1	1	0
<i>Ammodiscus sp.</i>	3	0	5	1	1	8	0	0	0	2
<i>Ammodiscus tenuissimus</i>	0	1	1	0	0	2	0	0	1	0
<i>Ammosphaeroidina pseudopauciloculata</i>	0	0	2	0	0	2	0	0	0	0
<i>Arthrodendron carpathica</i>	0	0	0	0	10	0	0	0	0	0
<i>Arthrodendron sp.</i>	0	0	0	4	0	8	3	1	3	0
<i>Bathysiphon sp.</i>	16	66	39	17	10	10	21	15	22	21
<i>Caudammina excelsa</i>	0	0	0	0	0	1	4	0	0	0
<i>Caudammina ovula</i>	5	1	7	4	6	1	4	0	0	0
<i>Caudammina ovuloides</i>	0	0	2	0	0	0	0	0	0	0
<i>Caudammina ovulum gigantea</i>	0	0	0	0	7	0	0	0	0	0
<i>Cibicidoides sp.</i>	0	0	0	0	0	0	1	0	0	1
<i>Conotrochammina sp.</i>	0	0	1	0	0	0	0	0	0	1
<i>Conotrochammina voeringensis</i>	0	1	0	0	0	0	0	0	0	0
<i>Dentalina sp.</i>	0	0	0	0	0	0	25	28	1	12
<i>Glomospira diffundens</i>	2	0	2	0	0	0	0	0	1	0
<i>Glomospira gordialis</i>	0	0	1	0	1	1	2	0	0	0
<i>Glomospira irregularis</i>	1	0	0	0	0	1	0	0	0	0
<i>Glomospira serpens</i>	0	0	1	0	1	4	0	0	0	0

<i>Haplophragmoides horridus</i>	0	0	1	0	0	0	0	0	0	0
<i>Hormosina</i> sp.	0	0	0	0	0	0	1	0	2	0
<i>Hormosina trinitatensis</i>	0	0	0	0	0	0	0	0	0	2
<i>Hormosina velascoensis</i>	0	0	2	0	0	0	0	0	0	0
<i>Hormosinelloides guttifer</i>	0	0	0	1	0	0	0	0	0	0
<i>Hormosinella distans</i>	0	0	0	0	0	1	0	0	0	0
<i>Hyperammina dilatata</i>	2	0	0	0	0	0	0	0	1	0
<i>Hyperammina elongata</i>	0	0	0	0	0	0	0	0	0	2
<i>Hyperammina rugosa</i>	0	0	1	1	0	2	1	0	0	0
<i>Kalamopsis grzybowskii</i>	0	0	2	2	2	4	9	0	0	0
<i>Karrerulina</i> sp.	49	17	20	7	11	0	0	0	0	0
<i>Karrerulina conversa</i>	0	1	0	0	0	0	0	0	0	0
<i>Karrerulina horrida</i>	0	0	3	0	0	0	0	0	0	0
<i>Lituotuba lituiformis</i>	1	1	1	0	1	0	0	0	0	0
<i>Nothia excelsa</i>	46	64	40	55	44	11	70	43	66	47
<i>Nothia latissima</i>	12	0	14	20	15	9	14	9	7	24
<i>Nothia robusta</i>	24	15	13	25	40	14	16	14	9	16
<i>Nuttallides truempy</i>	0	0	0	0	0	0	2	0	2	1
<i>Paratrochamminoides acervulatus</i>	2	0	1	2	4	3	0	0	0	0
<i>Paratrochamminoides deflexiformis</i>	1	1	3	5	5	3	0	0	0	0
<i>Paratrochamminoides heteromorphus</i>	1	2	2	0	0	0	0	0	0	0
<i>Paratrochamminoides mitratus</i>	3	0	2	2	0	0	0	0	0	0
<i>Paratrochamminoides olszewskii</i>	3	4	2	2	2	3	0	0	0	0
<i>Paratrochamminoides</i> sp.	7	2	7	6	3	4	7	5	4	3
<i>Placentamina placenta</i>	13	1	12	3	6	12	0	0	9	5
<i>Pleurostomella acuta</i>	0	0	0	0	0	0	0	0	0	1
<i>Psammosiphonella cylindrica</i>	29	12	0	5	31	12	0	7	4	0
<i>Psammosiphonella discreta</i>	10	1	0	0	0	0	1	0	0	0
<i>Psammosphaera fusca</i>	0	0	2	1	0	0	0	0	0	0
<i>Psammosphaera irregularis</i>	10	3	17	15	11	24	25	3	10	11
<i>Psammosphaera</i> sp.	0	0	0	3	0	0	0	0	0	2

<i>Pseudonodosinella elongata</i>	3	4	0	8	4	0	2	0	0	0
<i>Radiolari</i>	5	0	4	4	0	0	1	0	32	0
<i>Recurvoides anormis</i>	15	0	2	0	4	5	0	0	2	2
<i>Recurvoides sp.</i>	1	9	14	9	11	5	4	3	5	5
<i>Recurvoides walteri</i>	9	1	8	10	6	10	0	0	3	0
<i>Remesella varians</i>	0	0	4	4	5	0	0	0	0	0
<i>Reophax duplex</i>	3	2	1	13	6	4	6	0	2	0
<i>Reophax globosus</i>	0	0	2	0	0	0	2	0	4	0
<i>Reophax pilulifer</i>	0	1	3	8	4	3	8	0	0	0
<i>Reophax sp.</i>	7	5	2	16	6	0	1	1	3	1
<i>Reophax subfusiformis</i>	3	0	0	0	0	0	1	0	0	0
<i>Rhabdammina abyssorum</i>	0	0	0	0	1	0	0	0	0	0
<i>Rhabdammina linearis</i>	3	0	0	1	2	0	2	0	0	0
<i>Rhabdammina sp.</i>	15	0	19	8	12	15	15	6	21	16
<i>Rhizammina sp.</i>	7	0	15	7	0	10	8	0	19	10
<i>Rzehakina epigona</i>	0	0	0	0	0	0	0	0	0	0
<i>Rzehakina inclusa</i>	0	0	0	4	0	0	0	0	2	0
<i>Rzehakina minima</i>	0	0	0	1	0	0	0	0	0	1
<i>Saccammina grzybowski</i>	0	0	3	5	4	7	8	1	6	5
<i>Saccammina sphaerica</i>	0	0	2	3	4	3	0	0	3	3
<i>Subreophax sp.</i>	0	0	2	0	0	0	0	0	0	0
<i>Subreophax scalaris</i>	2	1	2	3	4	4	5	6	2	3
<i>Trochammina sp.</i>	0	0	0	0	0	0	0	0	1	0
<i>Trochamminoides dubius</i>	2	0	0	0	0	0	0	0	0	0
<i>Trochamminoides grzybowski</i>	0	0	1	0	0	0	0	0	0	0
<i>Trochamminoides proteus</i>	0	0	0	1	0	0	0	0	0	0
<i>Trochamminoides sp.</i>	1	0	1	0	0	0	0	0	0	0
<i>Trochamminoides subcoronatus</i>	5	0	2	2	5	1	4	0	2	0
<i>Trochamminoides variolarius</i>	0	1	9	0	2	7	3	0	4	2

Anexa 3.3. Valea Putnei

[illegible]

[illegible]

[illegible]

<i>Paratrochamminoides heteromorphus</i>	0	0	0	0	0	0	0	0	0	0	0	0	0	0	0	2	0	0	0	0
<i>Paratrochamminoides mitratus</i>	0	0	0	0	0	0	0	0	0	0	0	0	0	0	0	2	0	0	0	0
<i>Paratrochamminoides olszewskii</i>	0	2	2	0	0	0	0	0	0	0	0	0	0	0	0	2	0	0	0	0
<i>Paratrochamminoides sp.</i>	0	18	13	0	0	0	5	5	7	0	0	0	0	0	0	5	7	0	0	1
<i>Parvularugoglobigerina eugubina</i>	0	0	0	0	0	0	0	0	0	0	0	0	0	0	0	0	0	0	0	0
<i>Placentamina placenta</i>	0	27	28	0	0	0	2	10	13	0	0	0	0	0	0	14	3	0	0	4
<i>Planoheterohelix globulosa</i>	0	0	0	22	5	7	5	5	0	0	0	0	0	9	0	0	0	0	10	0
<i>Planoheterohelix planata</i>	0	0	0	18	1	1	2	4	0	0	0	0	0	7	0	0	0	0	7	0
<i>Pleurostomella sp.</i>	0	0	0	0	1	2	0	0	0	0	0	0	0	0	0	0	0	0	0	0
<i>Praesphaerammina subgaleata</i>	0	0	0	0	0	0	0	0	0	0	0	0	0	0	0	0	0	0	0	0
<i>Psammosiphonella cylindrica</i>	0	3	9	0	0	0	0	0	0	0	0	0	0	0	0	24	0	0	0	0
<i>Psammosiphonella discreta</i>	0	1	0	0	0	0	0	0	0	0	0	0	0	0	0	10	0	0	0	0
<i>Psammosphaera irregularis</i>	0	7	8	0	8	7	6	8	7	0	0	0	0	1	0	18	15	0	1	0
<i>Psammosphaera sp.</i>	0	0	0	0	0	0	0	0	0	0	0	0	0	0	0	0	0	0	0	0
<i>Pseudonodosinella elongata</i>	0	0	0	0	0	0	0	0	0	0	0	0	0	0	0	0	0	0	0	0
<i>Pseudonodosinella sp.</i>	0	0	0	0	0	0	0	0	0	0	0	0	0	0	0	0	0	0	0	0
<i>Radiolari</i>	0	0	0	0	0	1	0	0	0	0	0	0	0	0	0	0	0	0	0	0
<i>Recurvoidella lamella</i>	0	0	0	0	0	0	0	0	0	0	0	0	0	0	0	0	0	0	0	0
<i>Recurvoides anormis</i>	0	3	15	0	0	0	3	3	6	0	0	0	0	0	0	5	0	0	0	0
<i>Recurvoides sp.</i>	0	8	20	0	3	3	7	8	6	0	0	0	0	0	0	20	7	0	0	0
<i>Recurvoides walteri</i>	0	10	7	0	0	0	0	0	1	0	0	0	0	0	0	0	0	0	0	0
<i>Remesella varians</i>	0	0	0	0	0	0	0	0	0	0	0	0	0	0	0	0	0	0	0	0
<i>Reophax duplex</i>	0	0	0	0	1	1	0	0	2	0	0	0	0	0	0	2	0	0	0	0
<i>Reophax globosus</i>	0	0	0	0	0	0	0	0	1	0	0	0	0	0	0	0	0	0	0	1
<i>Reophax pilulifer</i>	0	1	0	0	0	0	0	0	0	0	0	0	0	0	0	0	0	0	0	0
<i>Reophax sp.</i>	0	0	3	0	0	0	0	0	2	0	0	0	0	0	0	0	0	0	0	1
<i>Reophax subfusiformis</i>	0	0	0	0	0	0	3	0	0	0	0	0	0	0	0	0	0	0	0	2
<i>Rhabdammina linearis</i>	0	3	0	0	0	0	0	0	1	0	0	0	0	0	0	3	0	0	0	0
<i>Rhabdammina sp.</i>	0	23	27	0	10	13	8	10	17	0	0	0	0	1	0	38	5	0	0	10

<i>Rhizammina indivisa</i>	0	0	0	0	0	0	1	0	0	0	0	0	0	0	0	0	0	0	0	0
<i>Rhizammina</i> sp.	0	30	26	0	18	20	0	8	10	0	0	0	0	0	0	9	0	0	0	10
<i>Rzehakina epigona</i>	0	1	2	0	0	0	0	0	1	0	0	0	0	0	0	1	0	0	0	0
<i>Rzehakina fissistomata</i>	0	0	0	0	0	0	0	0	0	0	0	0	0	0	0	0	0	0	0	0
<i>Rzehakina inclusa</i>	0	2	0	0	0	0	0	2	2	0	0	0	0	0	0	0	0	0	0	0
<i>Rzehakina lata</i>	0	0	1	0	0	0	0	0	0	0	0	0	0	0	0	0	0	0	0	0
<i>Rzehakina minima</i>	0	1	1	0	0	0	0	0	0	0	0	0	0	0	0	0	0	0	0	0
<i>Rzehakina</i> sp.	0	0	0	0	0	0	0	0	0	0	0	0	0	0	0	0	0	0	0	0
<i>Saccamina grzybowskii</i>	0	11	8	0	2	3	0	1	2	0	0	0	0	1	0	3	3	0	0	4
<i>Saccamina</i> sp.	0	1	0	0	0	0	0	0	0	0	0	0	0	0	0	0	0	0	0	0
<i>Saccamina sphaerica</i>	0	0	0	0	0	0	0	0	0	0	0	0	0	0	0	0	0	0	0	0
<i>Saccaminoides carpathicus</i>	0	0	0	0	0	0	0	0	0	0	0	0	0	0	0	0	0	0	0	0
<i>Sculptobacillites barri</i>	0	0	0	0	0	0	0	0	0	0	0	0	0	0	0	0	0	0	0	0
<i>Siphonodosaria dentataglabrata</i>	0	0	0	0	0	0	0	0	0	0	0	0	0	0	0	0	0	0	0	0
<i>Siphonodosaria jacksonensis</i>	0	0	0	0	0	0	2	2	0	0	0	0	0	1	0	0	0	0	2	0
<i>Siphonodosaria</i> sp.	0	0	0	0	0	0	2	2	0	0	0	0	0	5	0	0	0	0	1	0
<i>Spicul echinide</i>	0	0	0	0	0	0	0	0	1	0	0	0	0	0	0	0	0	0	3	0
<i>Spiroplectamina</i> sp.	0	0	0	0	0	0	0	0	0	0	0	0	0	0	0	0	0	0	0	0
<i>Spiroplectamina spectabilis</i>	0	0	0	0	0	0	0	0	0	0	0	0	0	0	0	0	0	0	1	2
<i>Spiroplectinella dentata</i>	0	0	0	0	0	0	0	0	0	0	0	0	0	0	0	0	0	0	0	0
<i>Spirosigmolinitella compressa</i>	0	0	0	0	0	0	0	0	0	0	0	0	0	0	0	0	0	0	0	0
<i>Stilostomella hoermessi</i>	0	0	0	0	0	0	0	0	0	0	0	0	0	0	0	0	0	0	0	0
<i>Stilostomella paleocaenica</i>	0	0	0	4	3	2	3	4	0	0	0	0	0	4	0	0	0	0	0	0
<i>Stilostomella pseudoscripta</i>	0	0	0	7	1	2	2	0	0	0	0	0	0	0	0	0	0	0	1	0
<i>Stilostomella</i> sp.	0	0	0	0	0	0	0	0	0	0	0	0	0	0	0	0	0	0	2	0
<i>Stilostomella subspinosa</i>	0	0	0	0	0	0	0	0	0	0	0	0	0	0	0	0	0	0	0	0
<i>Subbotina linaperta</i>	0	0	0	0	0	0	0	0	0	0	0	0	0	0	0	0	0	0	0	0
<i>Subreophax pseudoscalaris</i>	0	0	1	0	0	0	0	0	0	0	0	0	0	0	0	2	2	0	0	0
<i>Subreophax scalaris</i>	0	3	4	0	1	1	2	2	3	0	0	0	0	0	0	4	2	0	0	2

<i>Subreophax</i> sp.	0	0	2	0	0	0	0	0	0	0	0	0	0	0	0	0	0	0	0	0
<i>Textularia</i> sp.	0	0	0	0	0	0	0	0	0	0	0	0	0	0	0	0	0	0	0	0
<i>Thalmannammina subtrubinata</i>	0	0	0	0	0	0	0	0	0	0	0	0	0	0	0	0	0	0	0	0
<i>Trinitella</i> sp.	0	0	0	0	0	5	7	0	0	0	0	0	0	10	0	0	0	0	10	0
<i>Trochammina</i> sp.	0	0	0	0	0	0	0	0	0	0	0	0	0	0	0	0	0	0	0	0
<i>Trochamminoides dubius</i>	0	0	0	0	0	0	0	0	0	0	0	0	0	0	0	0	0	0	0	0
<i>Trochamminoides grzybowski</i>	0	0	0	0	0	0	0	0	0	0	0	0	0	0	0	1	0	0	0	0
<i>Trochamminoides proteus</i>	0	1	2	0	0	0	0	0	0	0	0	0	0	0	0	0	0	0	0	0
<i>Trochamminoides</i> sp.	0	0	0	0	1	2	0	0	2	0	0	0	0	0	0	0	0	0	0	0
<i>Trochamminoides subcoronatus</i>	0	1	0	0	0	0	0	0	2	0	0	0	0	0	0	7	0	0	0	0
<i>Trochamminoides variolarius</i>	0	2	3	0	3	3	3	2	2	0	0	0	0	0	0	7	0	0	0	1
<i>Turborotalia griffinae</i>	0	0	0	0	0	0	0	0	0	0	0	0	0	0	0	0	0	0	0	0

Anexa 3.3. Continuare

Specii	22	23	24	25	26	27	28	29	30	31	32	33	34	35	36	37	38	39	40	41	42
<i>Ammobaculites agglutinans</i>	0	0	0	0	0	0	0	0	0	0	0	0	0	0	0	0	1	0	2	0	0
<i>Ammobaculites</i> sp.	0	0	0	0	0	0	0	0	0	0	0	0	0	0	0	0	0	0	0	0	0
<i>Ammodiscus glabratus</i>	0	0	0	0	1	1	1	1	1	0	0	0	0	0	0	0	0	0	0	0	0
<i>Ammodiscus cretaceus</i>	0	0	1	0	0	0	0	1	1	0	0	4	0	0	2	1	6	4	0	9	3
<i>Ammodiscus latus</i>	0	0	0	0	0	0	0	0	0	0	0	0	0	0	0	0	0	0	0	0	0
<i>Ammodiscus penny</i>	0	0	0	0	0	0	0	0	0	0	0	0	0	0	1	1	0	0	0	0	1
<i>Ammodiscus peruvianus</i>	3	0	3	1	0	0	0	0	0	0	0	4	0	0	3	4	11	4	3	7	4
<i>Ammodiscus</i> sp.	0	2	2	0	2	1	1	0	0	0	0	2	0	0	2	2	0	4	1	2	1
<i>Ammodiscus tenuissimus</i>	0	0	0	0	0	0	0	0	0	0	0	2	0	0	0	0	0	0	0	0	1
<i>Ammolagena clavata fixată pe Ammodiscus</i> sp.	0	0	0	0	0	0	0	0	0	0	0	0	0	0	0	0	0	0	0	0	0
<i>Ammosphaeroidina pseudopauciloculata</i>	3	0	8	0	2	1	1	7	6	0	0	4	0	1	0	0	0	2	0	2	0
<i>Annectina grzybowski</i>	0	0	3	0	0	0	0	2	3	0	0	1	0	1	5	4	6	6	4	4	0
<i>Arthrodendron diffusum</i>	12	0	0	0	0	0	0	0	0	0	0	0	0	0	0	0	0	0	0	0	0
<i>Arthrodendron</i> sp.	0	0	1	0	3	4	3	0	0	0	0	0	0	0	6	7	2	4	2	2	0

<i>Bathysiphon</i> sp.	4	0	0	0	0	0	0	0	0	2	4	0	0	0	7	6	13	5	3	7	3
<i>Budashevaella trinitatensis</i>	2	0	0	0	0	0	0	0	0	0	0	0	0	0	0	0	0	0	0	0	0
<i>Caudammina excelsa</i>	3	0	1	1	9	8	9	5	4	0	0	1	0	0	1	1	14	7	6	3	1
<i>Caudammina ovula</i>	0	0	2	0	1	1	1	1	2	0	0	1	0	1	2	2	6	9	1	6	10
<i>Caudammina ovuloides</i>	0	0	0	0	0	0	0	0	0	0	0	0	0	0	0	0	0	0	0	0	0
<i>Caudammina ovulum gigantea</i>	0	0	0	0	0	0	0	0	0	0	0	1	0	0	0	0	0	0	0	0	0
<i>Chrysalogonium elongatum</i>	0	0	0	0	0	0	0	0	0	0	0	0	0	0	0	0	0	0	0	0	0
<i>Cibicidoides</i> sp.	0	0	0	0	0	0	0	0	0	0	0	0	0	0	0	0	0	0	0	0	0
<i>Cibicidoides velascoensis</i>	0	0	3	0	0	0	0	0	0	0	0	0	0	0	0	0	0	0	0	0	0
<i>Conglophragmium irregularis</i>	0	0	0	0	0	0	0	0	0	0	0	0	0	0	0	0	6	1	0	0	0
<i>Dentalina</i> sp.	1	0	0	0	0	0	0	0	0	0	0	0	0	0	0	0	0	0	0	0	0
<i>Dinti pesti</i>	0	0	0	0	0	0	0	0	0	0	0	0	0	0	0	0	0	0	0	0	0
<i>Dorothyia</i> sp.	0	0	0	0	0	0	0	0	0	0	0	1	0	0	2	3	0	0	0	0	0
<i>Gerochammina stanislavi</i>	0	0	0	0	0	0	0	5	6	0	0	17	0	0	0	0	0	0	0	0	0
<i>Globigerina triloculinoides</i>	0	0	0	0	0	0	0	0	0	0	0	0	0	3	0	0	0	0	0	0	0
<i>Globigerina</i> sp.	0	0	0	0	0	0	0	0	0	0	0	0	0	11	0	0	0	0	0	0	0
<i>Globigerinelloides asper</i>	0	0	0	0	0	0	0	0	0	0	0	0	0	0	0	0	0	0	0	0	0
<i>Globigerinoides</i> sp.	0	0	0	0	0	0	0	0	0	0	0	0	0	0	0	0	0	0	0	0	0
<i>Globotruncana arca</i>	0	0	0	1	1	1	1	0	0	0	0	0	0	0	0	0	0	0	0	0	0
<i>Globotruncanella minuta</i>	0	0	0	0	0	0	0	0	0	0	0	0	0	0	0	0	0	0	0	0	0
<i>Globotruncanella subcarinatus</i>	0	0	0	0	0	0	0	0	0	0	0	0	0	0	0	0	0	0	0	0	0
<i>Glomospira charoides</i>	0	0	0	0	0	0	0	0	0	0	0	0	0	0	0	0	0	0	0	0	0
<i>Glomospira diffundens</i>	0	0	0	0	0	0	0	0	0	0	0	0	0	0	0	0	0	0	0	0	0
<i>Glomospira glomerata</i>	1	1	0	0	0	0	0	0	0	0	0	0	0	0	0	0	4	0	0	0	0
<i>Glomospira gordialis</i>	0	0	1	0	0	0	0	0	0	0	0	2	0	1	1	1	3	3	0	2	1
<i>Glomospira irregularis</i>	0	0	1	0	0	0	0	0	0	0	0	3	0	0	2	2	1	1	1	2	0
<i>Glomospira serpens</i>	1	1	0	0	0	0	0	0	0	0	0	0	0	0	1	2	0	0	0	2	3
<i>Glomospira</i> sp.	1	1	0	1	0	0	0	0	0	8	15	0	0	0	0	0	0	0	3	0	0
<i>Gyroidinoides</i>	0	0	1	1	3	2	0	0	1	0	0	0	1	0	0	0	11	2	1	0	0

[illegible]

<i>Nodosaria limbata</i>	0	0	0	0	0	0	0	0	0	0	0	0	0	0	0	0	0	0	0	0	0
<i>Nodosaria</i> sp.	0	0	0	0	0	0	0	0	0	0	0	0	0	0	0	0	0	0	0	0	0
<i>Nothia excelsa</i>	40	42	0	0	0	0	0	0	0	0	0	0	0	0	0	0	0	0	0	0	0
<i>Nothia latissima</i>	9	10	12	0	2	2	1	0	0	0	0	5	0	0	0	0	0	0	0	2	0
<i>Nothia robusta</i>	32	30	11	0	9	10	8	0	0	0	0	5	0	1	0	0	0	0	0	4	26
<i>Nothia</i> sp.	0	0	62	5	26	20	18	4	5	7	14	20	2	0	22	20	36	24	32	9	33
<i>Nuttalides truempyi</i>	0	0	0	2	6	5	0	0	3	0	0	0	0	0	1	1	0	0	2	0	0
<i>Ostracode</i>	0	0	0	0	0	0	0	0	0	0	0	0	0	0	0	0	0	0	0	0	0
<i>Parasubbotina pseudobulloides</i>	0	0	0	0	0	0	0	0	0	0	0	0	0	0	0	0	0	0	0	0	0
<i>Paratrochaminoides acervulatus</i>	1	2	0	0	0	0	0	1	1	0	0	9	0	1	0	0	5	8	3	3	6
<i>Paratrochaminoides deflexiformis</i>	0	0	0	0	0	0	0	0	0	0	0	1	0	0	0	0	8	2	0	2	2
<i>Paratrochaminoides goryaskii</i>	0	0	1	0	0	0	0	0	0	0	0	0	0	0	0	0	0	0	0	0	0
<i>Paratrochaminoides heteromorphus</i>	1	2	1	0	2	3	2	0	0	5	10	8	0	0	4	5	0	1	0	0	0
<i>Paratrochaminoides mitratus</i>	0	0	0	0	0	0	0	0	0	0	0	3	0	0	0	0	2	0	0	3	1
<i>Paratrochaminoides olszewskii</i>	0	0	1	1	0	0	0	1	1	0	0	3	0	3	4	6	3	7	4	3	5
<i>Paratrochaminoides</i> sp.	8	16	10	1	4	4	5	1	2	10	18	2	1	2	3	4	8	5	0	8	6
<i>Parvularugoglobigerina eugubina</i>	0	0	0	0	0	0	0	0	0	0	0	0	0	14	0	0	0	0	0	0	0
<i>Placentamina placenta</i>	12	10	7	1	2	2	1	0	0	0	0	7	0	2	3	3	17	8	0	3	4
<i>Planoheterohelix globulosa</i>	0	0	0	0	0	0	0	0	0	0	0	0	0	0	0	0	0	0	0	0	0
<i>Planoheterohelix planata</i>	0	0	0	0	0	0	0	0	0	0	0	0	0	0	0	0	0	0	0	0	0
<i>Pleurostomella</i> sp.	0	0	0	0	0	0	0	0	0	0	0	0	0	0	0	0	0	0	0	0	0
<i>Psammosiphonella cylindrica</i>	8	7	0	0	10	10	11	0	0	0	0	0	0	0	0	0	4	0	0	0	0
<i>Psammosiphonella discreta</i>	3	0	0	0	0	0	0	0	0	0	0	0	0	0	0	0	0	0	0	0	0
<i>Psammosphaera irregularis</i>	16	20	3	1	4	5	4	5	4	8	16	12	0	1	16	15	10	17	12	10	16
<i>Psammosphaera</i> sp.	0	0	0	0	0	0	0	0	0	0	0	0	0	0	0	0	0	0	0	0	2
<i>Pseudonodosinella elongata</i>	0	0	0	0	3	2	1	0	0	0	0	6	0	1	0	0	0	0	0	0	0
<i>Pseudonodosinella</i> sp.	0	0	0	1	1	1	1	0	0	0	0	0	0	0	0	0	0	0	0	0	0
<i>Radiolari</i>	0	0	0	0	2	0	0	0	2	0	0	0	0	0	0	0	0	0	0	0	0
<i>Recurvoidella lamella</i>	0	0	0	0	0	0	0	0	0	0	0	0	0	0	0	0	9	5	6	13	9

[illegible]

[illegible]

Anexa 3.3. Continuare

[illegible]

[illegible]

<i>Globotruncanella subcarinatus</i>	0	0	0	0	0	0	0	0	0	0	0	0	0	0	0	0	0	0
<i>Glomospira charoides</i>	0	0	0	0	0	0	0	35	37	2	8	12	12	0	0	1	0	0
<i>Glomospira diffundens</i>	0	0	0	0	0	0	0	2	3	0	0	1	0	0	0	0	1	4
<i>Glomospira glomerata</i>	2	1	0	0	0	0	0	1	1	0	0	0	0	0	0	0	0	0
<i>Glomospira gordialis</i>	9	10	0	2	4	3	0	8	7	0	0	4	0	0	0	3	1	1
<i>Glomospira irregularis</i>	2	1	0	0	0	0	0	0	0	0	0	0	0	0	0	0	0	4
<i>Glomospira serpens</i>	4	3	0	1	1	2	0	0	0	1	0	0	0	0	0	1	0	0
<i>Glomospira sp.</i>	4	3	0	0	0	0	1	0	0	0	0	2	0	0	1	0	0	0
<i>Gyroidinoides</i>	0	0	4	0	0	0	0	0	0	0	0	0	0	0	0	0	0	0
<i>Gyroidinoides depressus</i>	0	0	0	0	0	0	0	0	0	0	0	0	0	0	0	0	0	0
<i>Gyroidinoides kaminskii</i>	0	0	0	0	0	0	0	0	0	0	0	0	0	0	0	0	0	0
<i>Haplophragmoides excavatus</i>	0	0	0	0	0	0	0	0	0	1	0	0	1	1	0	0	0	0
<i>Haplophragmoides horridus</i>	0	0	0	0	0	0	0	1	3	0	0	0	3	0	0	0	2	0
<i>Haplophragmoides sp.</i>	0	0	0	3	3	4	0	3	2	1	0	0	0	1	0	0	0	1
<i>Haplophragmoides stomatus</i>	0	0	0	0	0	0	0	0	0	0	0	0	0	0	0	0	0	0
<i>Haplophragmoides walteri</i>	0	0	0	0	0	0	0	5	4	0	0	0	0	0	0	3	4	1
<i>Heterohelix labellosa</i>	0	0	0	0	0	0	0	0	0	0	0	0	0	0	0	0	0	0
<i>Heterohelix navarroensis</i>	0	0	0	0	0	0	0	0	0	0	0	0	0	0	0	0	0	0
<i>Heterohelix sp.</i>	0	0	0	0	0	0	0	0	0	0	0	0	0	0	0	0	0	0
<i>Hormosina sp.</i>	0	0	0	0	0	0	0	0	0	0	0	0	0	0	0	0	0	0
<i>Hormosina trinitatensis</i>	0	0	0	0	0	0	0	0	0	0	0	0	0	0	0	0	0	0
<i>Hormosina velascoensis</i>	0	0	0	0	0	1	3	1	0	0	0	0	0	0	0	0	0	0
<i>Hormosinella distans</i>	0	0	0	0	0	0	0	0	0	0	0	0	0	0	0	0	0	0
<i>Hormosinella guttifer</i>	0	0	0	0	0	0	1	0	0	0	0	0	0	0	0	0	0	0
<i>Hormosinelloides guttifer</i>	0	0	0	0	0	0	0	0	0	0	0	0	0	0	0	0	0	0
<i>Hyperammina dilatata</i>	0	0	0	2	1	2	2	0	0	0	0	0	0	1	0	0	0	0
<i>Hyperammina elongata</i>	4	3	0	0	0	0	0	1	1	1	0	0	0	1	3	0	1	0
<i>Hyperammina rugosa</i>	2	3	0	0	0	4	0	0	0	6	3	0	0	5	5	0	0	0
<i>Kalamopsis grzybowskii</i>	1	1	1	4	5	1	0	0	1	0	0	0	0	0	0	0	0	0
<i>Karrerulina coniformis</i>	0	0	0	0	0	0	0	14	16	17	1	12	10	2	1	16	11	0
<i>Karrerulina conversa</i>	0	0	0	12	10	0	0	6	7	0	0	2	12	1	4	5	2	0

<i>Karrerulina horrida</i>	0	0	0	0	0	0	0	8	6	9	4	13	14	8	5	10	11	0	0
<i>Karrerulina</i> sp.	0	0	0	0	0	2	2	0	0	0	0	0	0	0	0	0	0	0	0
<i>Laevidentalina catenula</i>	0	0	0	0	0	0	0	0	0	0	0	0	0	0	0	0	0	0	0
<i>Laeviheterohelix glabrans</i>	0	0	0	0	0	0	0	0	0	0	0	0	0	0	0	0	0	0	0
<i>Lagena sulcata</i>	0	0	0	0	0	0	0	0	0	0	0	0	0	0	0	0	0	0	0
<i>Lituotuba lituiformis</i>	0	0	0	0	0	0	0	0	0	0	0	0	0	1	0	0	0	0	0
<i>Muricohedbergella monmouthensis</i>	0	0	0	0	0	0	0	0	0	0	0	0	0	0	0	0	0	0	0
<i>Nodosaria limbata</i>	0	0	0	0	0	0	0	0	0	0	0	0	0	0	0	0	0	0	0
<i>Nodosaria</i> sp.	0	0	0	0	0	0	0	0	0	0	0	0	0	0	0	1	1	3	0
<i>Nothia excelsa</i>	0	0	0	0	0	4	0	0	0	0	0	0	0	0	0	0	0	0	0
<i>Nothia latissima</i>	0	0	0	4	5	3	3	0	0	0	0	0	0	0	0	0	0	0	0
<i>Nothia robusta</i>	0	0	0	0	0	9	16	0	0	0	0	4	5	0	0	0	1	3	0
<i>Nothia</i> sp.	12	11	1	23	20	24	14	0	0	11	0	30	46	0	0	9	7	5	15
<i>Nuttalides truempyi</i>	0	0	0	0	0	0	0	0	0	0	0	0	0	0	0	0	0	0	0
<i>Ostracode</i>	0	0	0	0	0	0	0	0	0	0	0	0	0	0	0	0	0	0	0
<i>Panoheterohelix planata</i>	0	0	0	0	0	0	0	0	0	0	0	0	0	0	0	0	0	0	0
<i>Parasubbotina pseudobulloides</i>	0	0	0	0	0	0	0	0	0	0	0	0	0	0	0	0	0	0	0
<i>Paratrochamminoides acervulatus</i>	3	2	0	0	0	0	2	0	1	0	0	3	2	0	1	0	1	4	3
<i>Paratrochamminoides deflexiformis</i>	2	1	0	0	0	0	0	0	0	3	0	1	0	0	1	0	3	0	2
<i>Paratrochamminoides goryaskii</i>	2	1	0	0	0	0	0	0	0	0	0	0	0	0	0	0	0	0	0
<i>Paratrochamminoides heteromorphus</i>	3	2	0	1	2	2	1	0	0	1	0	3	3	0	3	5	0	0	7
<i>Paratrochamminoides mitratus</i>	0	0	1	0	0	0	0	0	0	0	0	0	0	0	0	0	0	0	0
<i>Paratrochamminoides olszewskii</i>	5	4	0	2	4	2	0	0	0	3	2	7	3	0	0	4	1	2	4
<i>Paratrochamminoides</i> sp.	8	7	1	12	10	7	10	3	4	11	5	12	5	0	14	6	7	12	10
<i>Parvularugoglobigerina eugubina</i>	0	0	0	0	0	0	0	0	0	0	0	0	0	0	0	0	0	0	0
<i>Placentammina placenta</i>	13	10	0	7	8	6	7	1	2	2	0	0	0	0	5	0	4	6	14
<i>Planoheterohelix globulosa</i>	0	0	0	0	0	0	0	0	0	0	0	0	0	0	0	0	0	0	0
<i>Pleurostomella</i> sp.	0	0	0	0	0	0	0	0	0	0	0	0	0	0	0	0	0	0	0
<i>Praesphaerammina subgaleata</i>	0	0	0	0	0	0	0	0	0	0	0	0	0	0	0	0	10	5	0
<i>Psammosiphonella cylindrica</i>	0	0	7	28	25	4	22	97	100	14	31	0	32	2	0	0	15	43	15
<i>Psammosiphonella discreta</i>	0	0	0	3	3	0	2	20	18	0	5	0	4	0	0	0	3	0	0

<i>Psammosphaera irregularis</i>	5	4	0	4	5	13	6	2	3	13	3	4	6	7	24	6	11	3	24
<i>Psammosphaera</i> sp.	0	0	0	0	0	0	0	0	0	0	0	0	0	0	0	0	0	0	0
<i>Pseudonodosinella elongata</i>	0	0	0	0	0	0	2	0	0	0	0	0	0	3	0	0	8	1	7
<i>Pseudonodosinella</i> sp.	0	0	0	0	0	0	0	0	0	0	0	0	0	0	0	0	0	0	0
<i>Radiolari</i>	0	0	0	0	0	0	0	0	0	0	0	0	0	0	0	0	0	0	0
<i>Recurvoidella lamella</i>	3	2	0	0	0	10	0	0	0	0	0	0	0	0	0	0	0	0	0
<i>Recurvoides anormis</i>	2	1	0	0	0	9	10	6	7	2	1	5	3	0	5	0	1	0	0
<i>Recurvoides</i> sp.	5	4	1	13	10	20	40	15	20	7	4	12	5	2	15	6	9	4	2
<i>Recurvoides walteri</i>	0	0	0	0	0	8	14	0	0	0	0	8	2	0	8	2	1	1	0
<i>Remesella varians</i>	3	0	0	0	0	0	0	0	0	0	0	0	0	0	0	0	0	0	0
<i>Reophax duplex</i>	3	2	0	0	0	0	6	1	1	18	1	0	0	0	5	0	0	1	0
<i>Reophax globosus</i>	0	0	0	1	2	0	0	0	0	0	0	0	0	0	0	0	0	1	1
<i>Reophax pilulifer</i>	0	0	0	0	0	0	0	0	0	0	0	49	12	0	7	36	4	6	8
<i>Reophax</i> sp.	0	0	0	0	0	0	0	0	0	0	0	0	0	0	0	4	3	2	8
<i>Reophax subfusiformis</i>	1	1	0	0	0	0	0	0	0	0	0	0	0	0	0	0	0	0	0
<i>Rhabdammina linearis</i>	0	0	0	2	3	0	2	0	0	0	0	0	0	0	0	0	0	0	0
<i>Rhabdammina</i> sp.	22	20	1	6	6	26	4	0	0	78	0	0	0	12	29	13	3	15	20
<i>Rhizammina indivisa</i>	0	0	0	0	0	0	0	0	0	0	0	0	0	0	0	0	0	0	0
<i>Rhizammina</i> sp.	26	27	1	0	0	4	0	0	0	0	0	0	0	0	0	3	5	0	0
<i>Rzehakina epigona</i>	0	0	0	0	0	0	0	0	0	0	0	0	0	0	0	0	0	0	0
<i>Rzehakina fissistomata</i>	1	2	0	1	2	1	0	0	0	0	0	0	0	0	0	0	0	0	0
<i>Rzehakina inclusa</i>	0	0	0	0	0	0	0	0	0	0	0	0	0	0	0	0	0	0	0
<i>Rzehakina lata</i>	0	0	0	0	0	1	0	0	0	0	0	0	0	0	0	0	0	0	0
<i>Rzehakina minima</i>	0	0	0	0	0	0	0	0	0	0	0	0	0	0	0	0	0	0	0
<i>Rzehakina</i> sp.	0	0	0	0	0	0	0	0	0	0	0	0	0	1	0	0	0	0	0
<i>Saccammina grzybowskii</i>	10	8	1	6	8	6	5	0	0	10	0	0	2	4	0	0	5	2	3
<i>Saccammina</i> sp.	2	2	0	0	0	0	0	0	0	0	0	0	0	0	0	0	1	0	0
<i>Saccammina sphaerica</i>	3	3	0	0	0	2	0	0	0	0	2	0	0	0	0	0	0	0	0
<i>Saccaminoides carpathicus</i>	0	0	0	0	0	0	2	0	0	0	0	1	0	0	0	0	0	0	0
<i>Sculptobaculites barri</i>	0	0	0	0	0	0	0	0	0	0	0	0	0	0	0	1	2	2	0
<i>Siphonodosaria dentataglabrata</i>	0	0	0	0	0	0	0	0	0	0	0	0	0	2	0	0	0	0	0

<i>Siphonodosaria jacksonensis</i>	0	0	0	0	0	0	0	0	0	0	0	0	0	0	0	0	0	0
<i>Siphonodosaria sp.</i>	0	0	0	0	0	0	0	0	0	0	0	0	0	0	0	0	0	0
<i>Spicul echinide</i>	0	0	0	0	0	0	0	0	0	0	0	0	0	0	0	0	0	0
<i>Spiroplectammina sp.</i>	0	0	0	0	0	0	0	0	0	0	0	0	0	0	0	0	0	0
<i>Spiroplectammina spectabilis</i>	0	0	0	3	4	0	0	0	0	0	0	2	5	0	2	2	0	0
<i>Spiroplectinella dentata</i>	0	0	0	0	0	0	0	0	0	0	0	0	0	0	0	0	0	0
<i>Spirosigmoilinella compresa</i>	0	0	0	0	0	0	0	0	0	0	0	0	0	1	0	0	0	0
<i>Stilostomella hoernessi</i>	0	0	0	0	0	0	0	0	0	0	0	0	0	0	0	0	1	0
<i>Stilostomella paleocaenica</i>	0	0	0	0	0	0	0	0	0	0	0	0	0	0	0	0	0	0
<i>Stilostomella pseudoscripta</i>	0	0	0	0	0	0	0	0	0	0	0	0	0	0	0	0	0	0
<i>Stilostomella sp.</i>	0	0	0	0	0	0	0	0	0	0	0	0	2	0	0	1	2	0
<i>Stilostomella subspinoso</i>	0	0	0	0	0	0	0	0	0	0	0	0	3	0	0	0	0	0
<i>Subbotina linaperta</i>	0	0	0	0	0	0	0	0	0	0	1	0	0	0	0	0	0	0
<i>Subreophax pseudoscalaris</i>	1	1	0	0	0	0	0	0	0	0	0	0	0	0	0	0	0	0
<i>Subreophax scalaris</i>	6	5	1	0	0	1	0	0	0	3	0	0	0	0	0	1	0	1
<i>Subreophax sp.</i>	1	1	0	0	0	0	0	0	0	0	0	0	0	0	0	0	0	0
<i>Textularia sp.</i>	0	0	3	0	0	0	0	0	0	0	0	0	0	0	0	0	0	0
<i>Thalmannammina subtrubinata</i>	0	0	0	0	0	0	4	0	0	3	0	2	0	0	0	0	0	0
<i>Trinitella sp.</i>	0	0	0	0	0	0	0	0	0	0	0	0	0	0	0	0	0	0
<i>Trochammina sp.</i>	0	0	0	0	0	0	0	0	0	0	0	0	0	0	0	0	0	0
<i>Trochamminoides dubius</i>	0	0	0	0	0	0	0	0	0	0	0	0	0	0	0	0	0	0
<i>Trochamminoides grzybowski</i>	0	0	0	0	0	0	0	0	0	0	0	0	0	0	0	0	0	0
<i>Trochamminoides proteus</i>	0	0	0	0	0	0	0	1	1	0	0	0	0	0	0	0	0	0
<i>Trochamminoides sp.</i>	3	4	0	0	0	0	0	0	0	0	0	0	0	0	2	0	0	0
<i>Trochamminoides subcoronatus</i>	8	8	0	5	4	4	5	1	2	11	0	5	6	5	5	4	2	2
<i>Trochamminoides variolarius</i>	6	6	0	2	3	0	0	0	0	2	0	2	2	3	3	8	0	0
<i>Turborotalia griffinae</i>	0	0	0	0	0	0	0	0	0	0	1	0	0	0	0	0	0	0

Anexa 3.4. Valea Suha, Valea Sucevei 2, Palma

Specii	Valea Suha																	Valea Sucevei 2				Palma
	1	2	3	4	5	6	7	8	9	10	11	12	13	14	15	16	17	1	2	3	4	1
<i>Ammobaculites agglutinans</i>	0	0	0	0	0	0	0	0	0	0	0	0	0	0	0	0	1	0	0	0	0	1
<i>Ammobaculites</i> sp.	0	0	0	0	1	0	2	0	0	6	0	1	0	0	0	0	1	0	0	0	0	0
<i>Ammodiscus glabratus</i>	0	4	0	0	2	0	1	4	12	4	3	0	0	4	2	7	7	0	0	0	0	0
<i>Ammodiscus cretaceus</i>	2	0	0	0	0	0	1	1	3	2	0	0	0	0	0	0	0	2	3	1	0	1
<i>Ammodiscus peruvianus</i>	6	8	0	6	9	4	5	0	8	2	2	0	0	5	2	5	2	1	2	0	0	1
<i>Ammodiscus</i> sp.	0	5	1	0	0	0	0	0	6	0	0	8	0	0	7	0	0	4	4	0	1	2
<i>Ammodiscus tenuissimus</i>	2	5	0	7	7	4	8	3	4	6	6	2	0	0	0	4	3	0	0	0	0	0
<i>Ammolagena clavata</i> fixată pe <i>Ammodiscus</i> sp.	0	0	0	0	0	0	0	0	2	0	0	0	0	0	0	0	0	0	0	0	0	0
<i>Ammolagena clavata</i> fixată pe <i>Psammosiphonella cylindrica</i>	0	0	0	0	4	8	0	0	1	2	2	0	0	0	13	0	0	0	0	0	0	0
<i>Ammolagena</i> sp.	0	0	0	0	0	0	1	0	1	0	0	0	0	1	15	1	5	0	1	0	0	0
<i>Ammosphaeroidina pseudopauciloculata</i>	0	25	12	25	21	8	24	5	16	6	20	13	0	12	15	36	29	3	0	0	0	4
<i>Annectina grzybowskii</i>	0	1	0	0	0	0	5	0	1	1	0	0	0	0	1	0	0	1	1	0	0	0
<i>Aschemocella</i> sp.	0	0	0	0	0	0	0	0	0	1	0	0	0	0	0	0	0	0	0	0	0	0
<i>Bathysiphon</i> sp.	17	5	2	4	1	5	0	0	14	5	0	7	0	4	8	5	0	0	4	1	0	3
<i>Budashevaella trinitatensis</i>	0	0	0	6	0	0	2	0	0	0	0	2	0	0	0	0	0	0	0	0	0	0
<i>Caudammina excelsa</i>	0	20	1	14	9	30	24	7	16	9	24	2	0	8	6	15	2	6	3	0	0	6
<i>Caudammina ovula</i>	6	8	1	21	10	2	8	1	8	0	0	0	0	1	0	0	0	0	2	1	1	3
<i>Caudammina ovuloides</i>	0	1	0	0	0	0	0	0	0	0	0	0	0	0	0	0	0	0	0	0	0	0
<i>Cibicidoides velascoensis</i>	1	0	0	0	0	0	0	0	1	3	0	0	0	0	0	2	3	0	0	0	0	0
<i>Conglophragmium irregularis</i>	0	0	0	0	1	0	0	0	0	0	0	0	0	0	0	0	0	0	0	0	0	1
<i>Dentalina</i> sp.	0	0	0	0	0	0	0	0	0	3	0	2	0	0	0	2	3	0	0	0	0	0
<i>Eoglobigerina eobulloides</i>	3	0	0	0	0	0	0	0	0	0	0	0	0	0	0	0	0	0	0	0	0	0
<i>Gaudryina</i> sp.	1	0	0	0	0	0	0	0	0	0	0	0	0	0	0	0	0	0	0	0	0	0
<i>Glomospira charoides</i>	0	0	0	0	0	0	5	3	0	0	0	0	0	0	0	0	0	2	0	0	0	1
<i>Glomospira diffundens</i>	0	2	0	5	5	0	4	3	2	9	0	1	0	1	3	1	0	0	0	0	0	0
<i>Glomospira gordialis</i>	5	3	0	2	3	0	0	0	5	5	4	0	0	0	4	0	2	3	0	0	0	1
<i>Glomospira irregularis</i>	0	0	0	0	0	0	2	0	0	0	0	1	0	0	0	0	0	0	0	0	0	1
<i>Glomospira serpens</i>	6	3	0	12	5	0	0	1	4	2	3	2	0	0	2	2	0	3	2	0	0	2

<i>Glomospira</i> sp.	0	0	0	0	0	5	0	0	0	0	0	0	0	2	0	1	3	3	1	0	0	4
<i>Haplophragmoides</i> sp.	0	0	0	2	0	0	0	2	2	0	0	2	0	0	3	0	0	0	0	0	0	0
<i>Haplophragmoides stomatus</i>	0	0	0	3	0	0	0	0	0	0	0	0	0	0	0	0	0	0	0	0	0	0
<i>Haplophragmoides walteri</i>	3	0	0	0	2	0	0	0	0	0	1	0	0	0	0	4	0	1	1	0	0	0
<i>Hormosina</i> sp.	0	0	0	0	0	0	0	0	0	0	0	0	0	0	5	1	6	1	0	0	0	0
<i>Hormosina trinitatensis</i>	0	0	0	7	0	0	0	1	3	0	0	0	0	0	0	0	0	1	1	0	0	0
<i>Hormosina velascoensis</i>	4	8	0	3	2	2	8	0	5	7	3	0	0	0	4	0	0	1	1	0	0	0
<i>Hormosinella distans</i>	19	0	0	8	0	0	0	0	0	0	0	0	0	0	0	0	0	0	0	0	0	0
<i>Hormosinelloides gutifer</i>	0	0	0	9	4	0	0	4	1	0	0	0	0	0	0	0	0	0	0	0	0	0
<i>Hyperammina dilatata</i>	6	2	0	2	0	3	0	0	0	3	0	3	0	0	0	4	1	0	7	0	0	2
<i>Hyperammina elongata</i>	9	0	0	0	0	0	0	0	0	0	0	0	0	2	0	0	1	0	0	1	0	0
<i>Hyperammina rugosa</i>	9	0	0	0	0	4	0	0	0	0	5	0	0	0	4	0	0	0	0	0	0	0
<i>Kalamopsis grzybowskii</i>	2	5	3	8	8	0	2	4	4	4	12	7	0	0	9	9	13	5	2	0	0	2
<i>Karrerulina conversa</i>	25	13	0	27	33	18	28	33	26	26	47	29	0	17	21	38	13	8	0	0	0	30
<i>Karrerulina horrida</i>	4	0	0	3	3	0	4	0	5	0	5	0	0	0	0	0	7	6	5	1	0	7
<i>Lituotuba lituiformis</i>	0	0	0	2	0	0	0	0	0	0	1	0	0	0	1	0	0	0	0	0	0	0
<i>Nothia excels</i>	29	11	0	24	9	12	8	19	21	16	9	10	0	8	2	0	0	0	0	0	0	18
<i>Nothia latissima</i>	0	0	0	0	0	0	0	0	0	0	0	0	0	0	0	0	0	0	0	4	0	0
<i>Nothia robusta</i>	0	0	0	0	0	0	0	0	0	0	0	0	0	0	0	0	0	0	1	0	3	0
<i>Nothia</i> sp.	0	0	0	0	0	0	0	0	0	0	0	0	0	0	0	0	0	33	5	25	5	0
<i>Nuttalides truempy</i>	0	0	0	0	0	0	0	0	0	0	0	7	0	5	0	5	2	0	0	0	0	0
<i>Parasubbotina</i> variant	1	0	0	0	0	0	0	0	0	0	0	0	0	0	0	0	0	0	0	0	0	0
<i>Paratrochamminoides acervulatus</i>	3	0	0	4	0	4	3	0	0	0	1	0	0	0	1	0	0	0	1	0	0	0
<i>Paratrochamminoides deflexiformis</i>	3	4	0	4	3	4	13	0	9	0	2	0	0	2	7	0	5	0	0	1	0	0
<i>Paratrochamminoides heteromorphus</i>	6	2	0	10	0	5	0	0	1	0	7	0	0	0	1	0	1	8	7	2	0	2
<i>Paratrochamminoides mitratus</i>	0	4	1	9	0	0	4	0	1	0	3	0	0	0	0	0	2	0	0	0	0	0
<i>Paratrochamminoides olszewskii</i>	10	4	0	2	2	0	5	0	4	0	2	0	0	2	3	0	1	2	0	0	1	0
<i>Paratrochamminoides</i> sp.	0	3	3	0	0	0	0	0	0	0	0	10	0	8	3	1	3	8	11	9	0	13
<i>Placentamina placenta</i>	31	10	5	15	15	18	24	7	24	12	34	30	0	5	24	16	16	10	14	2	1	12
<i>Protomarssonella</i> sp.	0	0	1	0	0	0	0	0	0	0	0	5	0	3	0	0	3	0	0	0	0	0
<i>Psammosiphonella cylindrica</i>	0	0	0	0	21	24	17	8	36	43	32	0	0	0	36	41	52	72	79	1	0	1
<i>Psammosiphonella discrete</i>	0	0	0	0	7	4	5	6	10	14	9	0	0	0	9	8	4	4	0	0	0	0

<i>Psammosphaera irregularis</i>	12	14	1	4	7	6	4	2	11	7	12	4	0	6	18	4	5	11	3	2	0	6
<i>Psammosphaera sp.</i>	0	0	0	0	0	0	0	0	0	0	0	0	0	0	0	0	2	0	0	0	0	2
<i>Pseudonodosinella elongata</i>	0	0	2	4	0	0	3	0	3	4	0	3	0	3	0	0	2	0	0	0	0	2
<i>Remesella varians</i>	0	0	0	0	0	0	0	0	0	0	0	0	0	0	0	0	0	0	2	1	0	0
<i>Recurvoides anormis</i>	0	3	0	0	0	5	13	0	23	7	0	0	0	0	11	0	0	0	0	0	0	10
<i>Recurvoides sp.</i>	0	10	0	0	6	13	2	2	8	3	0	10	0	8	2	9	7	0	8	7	1	8
<i>Recurvoides walteri</i>	9	12	0	16	3	15	8	6	8	6	0	0	0	4	3	0	0	0	0	0	0	2
<i>Reophax duplex</i>	0	2	0	3	2	2	5	3	1	0	3	2	0	2	3	0	4	1	1	1	0	3
<i>Reophax globosus</i>	0	0	0	0	2	2	1	1	0	0	0	0	0	0	3	0	0	0	0	0	0	2
<i>Reophax pilulifer</i>	0	0	0	2	0	1	0	0	0	0	0	0	0	0	4	0	0	0	0	0	0	0
<i>Reophax subfusiformis</i>	0	0	0	0	0	0	0	0	0	0	3	0	0	0	0	0	0	0	0	0	0	1
<i>Rhabdammina linearis</i>	0	0	0	0	3	5	0	0	4	4	7	0	0	0	23	7	4	3	0	0	0	2
<i>Rhabdammina sp.</i>	0	9	6	23	19	20	33	21	6	18	29	32	0	30	25	28	4	12	0	0	4	29
<i>Rhizammina indivisa</i>	41	0	0	14	0	0	0	0	0	0	0	0	0	0	0	0	0	0	0	0	0	0
<i>Rhizammina sp.</i>	0	18	0	0	20	18	20	17	0	15	9	5	0	15	7	0	0	4	4	0	0	10
<i>Rzehakina epigona</i>	1	0	0	2	0	1	0	0	1	2	0	0	0	0	0	0	0	0	0	0	0	1
<i>Rzehakina fissistomata</i>	4	1	0	4	5	2	0	0	2	0	1	1	0	3	0	2	3	1	2	1	0	2
<i>Rzehakina inclusa</i>	1	0	0	0	0	0	0	1	0	0	0	0	0	0	0	0	0	0	0	0	0	0
<i>Rzehakina minima</i>	0	1	1	0	0	0	0	0	1	2	1	0	0	0	1	0	0	0	3	0	0	0
<i>Rzehakina sp.</i>	0	0	0	0	0	0	0	0	0	0	0	3	0	4	2	4	6	1	0	0	0	0
<i>Saccammina grzybowskii</i>	6	0	0	15	5	3	5	2	2	1	7	0	0	0	6	0	3	6	4	1	0	6
<i>Saccammina sphaerica</i>	0	2	0	0	0	4	2	0	0	0	1	0	0	1	4	0	3	0	0	0	0	0
<i>Spiroplectammina sp.</i>	0	0	2	0	0	0	0	0	0	1	3	5	0	4	0	2	4	0	0	0	0	0
<i>Subreophax sp.</i>	0	0	0	0	0	0	0	0	0	5	0	0	0	0	0	0	0	0	0	0	0	0
<i>Subreophax scalaris</i>	5	0	0	0	2	6	3	0	6	1	3	0	0	2	6	0	0	3	2	2	0	4
<i>Textularia sp.</i>	0	0	0	0	0	0	0	0	0	2	0	2	0	0	0	0	0	0	0	0	0	0
<i>Thalmannammina subturbinata</i>	20	0	0	0	0	0	0	0	4	0	0	0	0	0	0	0	0	0	0	0	0	0
<i>Trochammina sp.</i>	7	0	0	0	0	0	0	0	0	2	0	0	0	0	0	0	0	0	0	0	0	0
<i>Trochamminoides dubius</i>	0	0	0	3	0	2	4	0	0	4	0	0	0	0	1	0	0	0	0	0	0	0
<i>Trochamminoides sp.</i>	0	2	0	0	0	0	0	0	0	0	0	4	0	0	3	0	0	0	2	0	0	0
<i>Trochamminoides subcoronatus</i>	11	6	0	15	0	9	14	2	12	3	6	0	0	2	9	6	8	4	4	0	0	3
<i>Trochamminoides variolarius</i>	15	12	0	0	0	0	15	0	6	0	8	0	0	3	2	0	6	6	4	1	0	7

Anexa 3.5. Valea Brodinei 1, Straja Vest

Specii	Valea Brodinei 1					Straja Vest
	1	2	3	4	5	1
<i>Ammodiscus peruvianus</i>	0	0	3	0	0	0
<i>Ammodiscus sp.</i>	0	6	0	0	0	5
<i>Ammodiscus tenuissimus</i>	0	0	0	2	0	0
<i>Ammosphaeroidina pseudopauciloculata</i>	0	13	0	27	10	3
<i>Bathysiphon sp.</i>	4	18	0	4	0	0
<i>Budashevaella trinitatensis</i>	0	0	0	0	0	3
<i>Glomospira charoides</i>	0	38	26	16	2	89
<i>Glomospira diffundens</i>	0	0	0	0	0	5
<i>Glomospira glomerata</i>	0	0	0	1	0	0
<i>Glomospira gordialis</i>	0	10	2	2	0	50
<i>Glomospira serpens</i>	0	0	0	0	0	3
<i>Haplophragmoides horridus</i>	0	0	0	0	2	0
<i>Haplophragmoides sp.</i>	0	2	0	1	2	0
<i>Haplophragmoides walteri</i>	0	0	0	2	3	0
<i>Hormosina sp.</i>	0	2	0	0	0	0
<i>Hormosina trinitatensis</i>	0	0	1	0	0	0
<i>Hyperammina dilatata</i>	0	0	0	1	0	0
<i>Karrerulina coniformis</i>	0	8	6	0	1	0
<i>Karrerulina conversa</i>	0	6	0	0	0	0
<i>Karrerulina horrida</i>	0	18	23	20	7	0
<i>Nothia excelsa</i>	0	21	4	8	0	34
<i>Nothia robusta</i>	0	0	0	1	0	0
<i>Paratrochaminoides deflexiformis</i>	0	4	4	0	0	0
<i>Paratrochaminoides heteromorphus</i>	0	2	0	4	2	3
<i>Paratrochaminoides olszewskii</i>	0	14	7	3	6	8
<i>Paratrochaminoides sp.</i>	0	20	14	15	9	14
<i>Placentamina placenta</i>	0	0	0	3	1	0
<i>Psammisiphonella cylindrica</i>	3	8	9	61	10	0

<i>Psammosiphonella discreta</i>	0	0	0	4	1	0
<i>Psammosphaera irregularis</i>	0	0	0	0	3	2
<i>Recurvoides anormis</i>	0	5	24	15	8	20
<i>Recurvoides sp.</i>	0	7	13	13	9	15
<i>Recurvoides walteri</i>	0	2	5	4	5	20
<i>Rhabdammina sp.</i>	0	40	0	0	3	0
<i>Rhizammina sp.</i>	14	0	0	0	0	0
<i>Rzehakina minima</i>	0	0	0	1	0	0
<i>Saccammina grzybowski</i>	0	0	1	0	0	1
<i>Saccammina sphaerica</i>	0	0	5	5	0	0
<i>Saccaminoides carpathicus</i>	0	0	0	0	0	5
<i>Spiculi echinide</i>	21	0	0	0	0	0
<i>Spiroplectammina sp.</i>	0	1	0	0	0	0
<i>Subreophax scalaris</i>	0	0	2	0	1	0
<i>Subreophax sp.</i>	0	0	0	0	0	1
<i>Trochamminoides subcoronatus</i>	0	14	1	5	2	4
<i>Trochamminoides variolarius</i>	0	17	10	0	0	11

Anexa 3.6. Valea Dobra, Rusca, Grozăvești

Specii	Valea Dobra					Rusca	Grozăvești
	1	2	3	4	5	1	1
<i>Ammobaculites agglutinans</i>	0	0	1	0	0	2	1
<i>Ammodiscus cretaceus</i>	0	0	2	4	1	0	2
<i>Ammodiscus glabratus</i>	0	0	0	0	0	1	2
<i>Ammodiscus peruvianus</i>	1	1	1	4	0	0	1
<i>Ammodiscus sp.</i>	2	0	3	2	0	7	0
<i>Ammodiscus tenuissimus</i>	0	0	0	0	0	0	0
<i>Ammosphaeroidina pseudopauciloculata</i>	0	0	4	3	2	0	0

<i>Bathysiphon</i> sp.	4	9	12	4	93	2	17
<i>Budashevaella multicamerata</i>	0	0	0	0	0	0	4
<i>Budashevaella trinitatensis</i>	0	0	0	0	0	0	1
<i>Caudammina ovula</i>	0	0	0	0	0	4	2
<i>Clavulinoides</i> sp.	0	0	0	0	0	1	0
<i>Eponides</i> sp.	0	1	0	0	0	0	0
<i>Glomospira charoides</i>	6	2	1	14	3	5	0
<i>Glomospira diffundens</i>	0	0	0	0	0	1	0
<i>Glomospira gordialis</i>	2	0	0	7	0	1	0
<i>Glomospira irregularis</i>	0	0	0	3	0	0	0
<i>Glomospira serpens</i>	0	0	0	2	0	0	0
<i>Glomospira</i> sp.	1	3	2	0	1	0	0
<i>Gyroidinoides</i>	0	1	0	0	0	0	0
<i>Haplophragmoides horridus</i>	1	0	0	1	0	2	18
<i>Haplophragmoides</i> sp.	0	0	0	0	2	4	21
<i>Haplophragmoides stomatus</i>	0	0	0	0	0	0	6
<i>Haplophragmoides walteri</i>	1	0	1	4	1	0	8
<i>Hormosina</i> sp.	0	0	0	0	0	0	2
<i>Hyperammina elongata</i>	0	0	1	3	0	0	0
<i>Kalamopsis grzybowskii</i>	1	0	0	0	0	0	1
<i>Karrerulina coniformis</i>	8	3	1	35	0	50	0
<i>Karrerulina conversa</i>	1	1	0	22	0	8	30
<i>Karrerulina horrida</i>	4	1	2	12	0	10	50
<i>Karrerulina</i> sp.	1	2	0	0	0	3	18
<i>Nodosaria</i> sp.	0	15	0	0	0	0	0
<i>Nothia</i> sp.	0	26	53	9	0	5	10
<i>Nuttalides</i> sp.	0	1	1	0	0	0	0
<i>Nuttalides truempyi</i>	0	1	0	0	0	0	0
<i>Paratrochamminoides deflexiformis</i>	1	0	0	1	0	0	0
<i>Paratrochamminoides heteromorphus</i>	0	0	1	2	1	1	0
<i>Paratrochamminoides mitratus</i>	0	0	0	0	0	2	0

<i>Paratrochamminoides olszewskii</i>	0	0	0	6	0	2	0
<i>Paratrochamminoides</i> sp.	2	0	13	14	2	20	0
<i>Placentammina placenta</i>	0	1	0	1	2	0	0
<i>Pleurostomella acuta</i>	0	1	0	0	0	0	0
<i>Praesphaerammina subgaleata</i>	0	0	0	1	0	0	0
<i>Psammosiphonella cylindrica</i>	0	2	0	74	0	0	0
<i>Psammosiphonella discreta</i>	0	0	0	5	0	0	0
<i>Psammosphaera irregularis</i>	1	6	1	2	2	11	1
<i>Psammosphaera</i> sp.	0	0	0	0	0	0	0
<i>Pseudonodosinella elongata</i>	2	3	0	2	0	1	4
<i>Pseudonodosinella</i> sp.	0	0	0	0	0	0	0
<i>Recurvoidella lamella</i>	0	0	0	0	0	0	2
<i>Recurvoides anormis</i>	0	0	5	10	0	10	1
<i>Recurvoides</i> sp.	15	19	14	35	2	15	14
<i>Recurvoides walteri</i>	0	0	2	4	0	0	2
<i>Reophax duplex</i>	0	0	0	0	0	0	2
<i>Reophax pilulifer</i>	0	0	3	0	0	0	0
<i>Reophax</i> sp.	0	0	1	0	0	0	0
<i>Rhabdammina</i> sp.	4	1	14	0	0	0	0
<i>Rhizammina</i> sp.	0	1	5	9	0	0	0
<i>Rzehakina epigona</i>	0	0	0	0	0	1	0
<i>Saccammina grzybowskii</i>	0	3	4	3	2	4	43
<i>Saccamminoides carpathicus</i>	0	0	0	2	0	0	0
<i>Spiroplectammina spectabilis</i>	0	0	0	2	1	0	0
<i>Spiroplectinella dentata</i>	0	0	0	1	0	1	0
<i>Subreophax pseudoscalaris</i>	0	1	0	0	0	0	0
<i>Subreophax scalaris</i>	4	0	0	4	0	0	0
<i>Trochamminoides</i> sp.	0	0	0	0	0	0	4
<i>Trochamminoides subcoronatus</i>	0	0	3	8	0	1	8
<i>Trochamminoides variolarius</i>	2	1	4	6	1	1	0

<i>Glomospira charoides</i>	1	3	1	2	0	3	4	0	0	11	0	1	2	7	3	0	0	0	5	15	0	5	15	15
<i>Glomospira diffundens</i>	0	1	0	0	0	0	0	0	0	0	0	0	0	0	0	0	0	0	0	0	0	7	2	
<i>Glomospira gordialis</i>	1	0	0	3	0	0	0	0	2	0	3	1	0	3	1	0	0	0	2	3	0	0	6	4
<i>Glomospira irregularis</i>	0	0	0	0	0	0	0	0	0	3	1	1	0	0	0	0	0	0	0	0	0	0	0	0
<i>Glomospira serpens</i>	0	0	0	0	0	0	0	0	2	0	0	0	0	1	0	0	0	0	0	0	0	0	0	0
<i>Glomospira</i> sp.	0	1	0	0	0	4	0	0	1	0	1	2	0	0	1	0	0	1	1	1	0	0	1	0
<i>Haplophragmoides horridus</i>	3	2	2	0	8	0	4	0	2	0	0	5	5	8	1	0	0	0	6	2	0	13	0	5
<i>Haplophragmoides kirki</i>	0	0	0	0	0	0	0	0	2	0	0	0	0	0	0	0	0	0	0	0	0	0	0	0
<i>Haplophragmoides parvulus</i>	1	0	0	0	0	0	3	0	3	0	0	0	0	2	0	0	0	0	0	0	0	0	0	0
<i>Haplophragmoides porrectus</i>	0	0	0	0	3	0	0	0	0	0	0	0	0	0	0	0	0	0	0	0	0	0	0	0
<i>Haplophragmoides</i> sp.	1	0	1	4	7	4	5	0	6	2	0	2	6	2	0	0	1	1	2	0	0	0	0	0
<i>Haplophragmoides stomatus</i>	0	0	0	0	0	0	1	0	0	0	0	0	0	0	0	0	0	0	0	0	1	0	0	0
<i>Haplophragmoides walteri</i>	2	0	0	0	1	4	12	0	3	8	1	5	3	2	1	0	1	0	9	0	0	15	0	2
<i>Hormosina</i> sp.	0	0	1	2	2	0	1	0	1	0	1	2	1	0	0	0	0	0	0	0	0	0	0	0
<i>Hormosina trinitatensis</i>	0	0	0	0	1	0	0	0	1	1	2	1	2	1	0	0	0	0	0	1	0	0	0	0
<i>Hormosina velascoensis</i>	0	1	0	0	0	0	0	0	0	0	0	2	0	0	0	0	0	0	0	0	3	5	1	
<i>Hyperammina dilatata</i>	0	1	0	0	0	0	0	0	0	0	0	0	0	0	0	0	0	0	0	0	0	1	0	0
<i>Hyperammina elongate</i>	0	0	0	0	0	3	1	0	9	0	0	0	0	1	0	0	0	0	2	4	0	0	0	0
<i>Hyperammina rugosa</i>	0	0	0	1	0	4	5	0	5	0	0	0	0	0	0	0	0	0	0	0	0	0	0	0
<i>Kalamopsis grzybowskii</i>	0	0	1	0	0	0	1	0	1	0	0	3	0	4	2	0	0	0	0	0	0	0	0	0
<i>Karrerulina coniformis</i>	0	0	0	0	0	0	0	0	0	0	0	0	0	0	0	0	0	0	28	0	0	3	21	21
<i>Karrerulina horrida</i>	0	0	0	0	1	0	0	0	0	1	1	0	0	0	0	0	0	0	24	19	0	16	8	15
<i>Karrerulina</i> sp.	0	0	0	0	0	0	0	0	0	0	0	0	0	0	0	0	0	0	0	0	2	2	0	0
<i>Lituotuba lituiformis</i>	0	0	0	0	0	0	0	1	0	0	0	0	0	0	0	0	0	0	0	1	0	0	1	0
<i>Nothia excels</i>	9	44	27	50	7	0	4	300	8	11	16	10	0	34	59	20	5	10	36	12	0	35	0	0
<i>Nothia latissima</i>	0	0	0	0	0	0	0	0	0	0	3	3	0	5	10	0	0	0	0	0	2	0	0	0
<i>Nothia robusta</i>	0	0	0	0	0	0	0	0	0	0	0	0	2	2	0	0	0	0	0	0	11	0	0	0
<i>Ostracode</i>	0	0	6	0	0	0	0	0	0	0	0	0	0	0	0	0	0	0	0	0	0	0	0	0
<i>Paratrochamminoides acervulatus</i>	0	0	0	0	0	0	0	0	0	0	0	0	0	0	3	0	0	0	1	0	0	3	1	0
<i>Paratrochamminoides deflexiformis</i>	0	0	0	4	0	0	0	0	0	0	0	0	1	0	0	0	0	0	0	2	0	1	2	0
<i>Paratrochamminoides gorayskii</i>	0	0	0	0	0	0	0	0	0	0	0	2	14	2	1	0	0	0	0	0	0	0	0	0

<i>Paratrochamminoides heteromorphus</i>	0	0	1	1	4	0	1	0	9	3	5	2	12	2	3	0	0	0	1	1	0	0	0	1
<i>Paratrochamminoides mitratus</i>	4	1	0	2	0	0	1	0	7	0	0	2	4	2	0	0	0	0	0	0	0	0	0	0
<i>Paratrochamminoides olszewskii</i>	4	3	2	3	4	6	12	0	12	3	8	4	15	4	4	1	3	2	2	3	0	1		2
<i>Paratrochamminoides</i> sp.	8	8	5	21	7	22	15	0	19	15	11	13	15	14	1	2	1	4	10	8	0	0		9
<i>Placentamina placenta</i>	4	0	3	9	5	0	4	0	8	1	9	7	4	4	4	2	0	0	0	0	0	4		0
<i>Pleurostomella incrasata</i>	0	0	0	0	0	0	0	0	0	0	0	0	0	0	0	0	0	0	0	0	0		0	
<i>Pleurostomella</i> sp.	0	0	0	0	0	0	0	0	0	0	0	0	0	0	0	0	0	0	0	0	0		0	
<i>Praesphaerammina subgaleata</i>	0	0	0	0	0	0	0	0	0	0	1	0	0	0	0	0	0	0	0	0	0		2	
<i>Psammionopelta gradsteini</i>	0	0	0	0	0	0	0	0	0	0	0	1	0	0	0	0	0	0	0	0	0		0	
<i>Psammosiphonella cylindrica</i>	0	0	0	0	1	2	15	0	3	29	11	38	0	0	2	0	0	0	25	20	0	12		0
<i>Psammosiphonella discreta</i>	0	0	0	0	0	0	3	0	0	0	3	6	0	0	0	0	0	0	2	5	0	0		0
<i>Psammosphaera fusca</i>	0	41	6	13	0	15	12	0	0	0	0	0	0	0	0	0	0	0	3	7	0	0		22
<i>Psammosphaera irregularis</i>	4	8	16	22	6	34	15	0	13	12	13	19	25	14	9	0	0	0	12	32	2	6		4
<i>Pseudonodosinella elongata</i>	0	0	0	0	0	0	0	0	1	11	0	5	3	0	0	0	0	0	0	0	0		1	
<i>Recurvoidella lamella</i>	0	0	0	0	0	0	0	0	0	0	0	0	0	0	0	0	0	0	2	0	0	2		0
<i>Recurvoides anormis</i>	14	0	12	7	9	20	9	0	11	0	0	0	0	7	20	0	0	0	4	8	0	13		14
<i>Recurvoides</i> sp.	10	6	6	3	10	35	15	0	20	10	8	6	5	32	26	2	4	5	11	2	0	6		3
<i>Recurvoides walteri</i>	0	12	5	3	12	22	6	0	14	0	1	0	6	8	30	7	4	0	9	7	0	0		0
<i>Reophanus berggreni</i>	0	0	0	0	0	0	0	0	3	0	0	0	0	0	0	0	0	0	0	0	0		0	
<i>Reophax duplex</i>	0	0	0	0	0	2	0	0	2	1	1	13	5	1	3	0	0	0	4	7	0	0		1
<i>Reophax globosus</i>	0	0	0	0	0	0	0	0	0	1	0	3	1	0	1	0	0	0	0	0	0		0	
<i>Reophax pilulifer</i>	0	0	0	0	0	0	0	37	11	0	9	0	0	0	0	0	1	2	0	0	0		24	
<i>Reophax</i> sp.	0	0	0	0	0	5	0	0	4	0	5	4	0	1	0	0	0	0	0	0	1		0	
<i>Reophax subfusiformis</i>	0	0	0	0	0	3	1	0	0	0	0	0	4	0	0	0	0	1	0	0	0		0	
<i>Reticulophragmium acutidorsatum</i>	0	0	0	0	0	0	0	0	0	0	0	0	0	0	0	0	0	0	0	0	0		2	
<i>Reticulophragmium amplexans</i>	0	0	0	1	0	0	0	0	0	0	0	0	0	0	0	0	0	1	0	0	5		23	
<i>Reticulophragmium rotundidorsatum</i>	0	0	0	0	0	0	0	0	0	0	0	0	0	0	0	0	0	0	0	0	0		3	
<i>Reticulophragmium</i> sp.	0	0	1	0	2	0	1	0	1	0	0	0	0	0	0	0	0	0	0	0	1		0	
<i>Rhabdammina linearis</i>	0	0	0	0	0	3	0	0	0	4	0	4	0	0	0	0	0	0	0	0	0		0	
<i>Rhabdammina</i> sp.	15	10	5	1	15	64	35	0	15	7	0	4	16	0	0	0	0	0	23	57	0	19		85
<i>Rhizammina</i> sp.	0	0	0	0	0	5	0	0	21	11	20	22	3	0	0	0	0	0	0	0	6		0	

<i>Saccammina grzybowskii</i>	3	0	0	0	5	4	4	0	6	0	0	4	4	3	1	0	0	3	0	0	0	1	0	33	
<i>Saccaminoides carpathicus</i>	0	0	0	0	0	0	0	0	0	0	0	0	0	0	0	0	0	0	0	6	0	1	5	3	
<i>Spiroplectammina</i> sp.	0	0	0	0	0	0	0	0	1	1	1	0	0	0	0	0	0	0	0	0	0	0	0	2	
<i>Spiroplectammina spectabilis</i>	0	0	0	0	0	0	0	0	0	0	0	0	0	0	4	0	0	0	8	0	0	1	0	7	
<i>Spirosigmoilinella compressa</i>	0	0	0	0	0	0	0	0	0	0	0	1	0	0	0	0	0	0	0	0	0	0	0	0	
<i>Subbotina patagonica</i>	0	0	0	0	0	0	0	0	0	0	0	0	0	0	0	0	0	0	0	0	0	0	0	2	
<i>Subreophax pseudoscalaris</i>	0	0	0	0	0	0	0	0	0	0	0	0	0	0	0	0	0	0	0	0	0	3	3	0	
<i>Subreophax scalaris</i>	5	0	1	1	0	1	3	0	1	0	2	1	5	0	1	0	0	0	5	3	0	0	0	0	1
<i>Subreophax</i> . sp	0	0	0	0	0	0	0	0	2	0	0	0	1	0	0	0	0	0	0	0	0	0	0	0	
<i>Textularia</i> sp.	1	0	0	0	0	0	0	0	0	0	0	0	0	0	0	0	0	0	0	0	0	0	0	0	
<i>Trochaminoides</i> sp.	0	0	0	0	2	0	0	0	0	1	1	0	1	0	0	0	0	0	0	0	0	0	0	0	
<i>Trochaminoides grzybowskii</i>	0	0	0	0	0	0	0	0	0	0	0	0	0	0	0	0	0	0	0	0	0	0	1	1	
<i>Trochaminoides subcoronatus</i>	5	6	6	5	0	1	3	0	4	1	2	5	8	4	4	0	0	0	0	4	0	7	4	8	
<i>Trochaminoides variolarius</i>	7	6	2	1	6	3	3	0	9	2	5	2	8	6	3	0	0	0	1	14	0	5	5	1	

Anexa 3.8. Valea Sucevei 3

[illegible]

<i>Budashevaella trinitatensis</i>	0	0	0	0	4	0	5	8	0	0	0	0	0	0	0	0	0	0
<i>Chillostomella</i> sp.	0	0	1	0	0	0	0	0	0	0	0	0	0	0	0	0	0	0
<i>Chrysalogonium rudis</i>	0	0	0	0	0	0	0	0	0	0	0	0	0	0	0	0	0	0
<i>Conglophragmium irregularis</i>	3	8	0	0	1	4	0	1	0	0	2	0	1	0	0	0	0	1
<i>Cribrostomoides subglobosus</i>	0	0	0	0	1	1	4	9	5	0	0	0	0	0	0	0	0	0
<i>Cribrostomoides trinitatensis</i>	2	0	0	0	5	0	0	5	0	0	0	0	0	0	0	0	0	0
<i>Cyclammina cancellata</i>	0	1	0	0	0	14	0	0	0	0	0	0	0	0	0	0	0	0
<i>Cyclammina</i> sp.	1	5	1	0	0	6	0	0	0	0	0	0	0	0	0	0	0	0
<i>Dentalina gracilis</i>	0	0	0	0	0	0	2	0	0	0	0	0	0	0	0	0	0	0
<i>Dentalina megapolitana</i>	0	0	0	0	0	0	1	0	0	0	0	0	0	0	0	0	0	0
<i>Dentalina</i> sp.	0	0	2	0	0	0	3	0	0	0	0	0	0	0	0	0	0	0
<i>Globigerina linaperta</i>	0	0	8	0	0	0	0	0	0	0	0	0	0	0	0	0	0	0
<i>Globigerina</i> sp.	0	0	64	1	0	0	0	0	0	0	0	0	0	0	0	0	0	0
<i>Globorotalia</i> sp.	0	0	40	1	0	1	0	0	0	0	0	0	0	0	0	0	0	0
<i>Glomospira charoides</i>	2	13	1	0	7	0	0	0	4	7	11	3	4	1	0	0	2	1
<i>Glomospira diffundens</i>	0	1	0	1	0	0	0	0	1	0	4	2	3	1	0	0	1	0
<i>Glomospira gordialis</i>	0	0	0	0	0	0	0	0	0	0	0	2	0	0	0	0	0	0
<i>Glomospira irregularis</i>	0	0	0	0	0	2	0	1	0	0	0	0	0	0	0	0	0	0
<i>Glomospira serpens</i>	0	1	0	0	0	1	0	0	0	0	0	0	2	0	2	0	0	2
<i>Glomospira</i> sp.	2	0	0	0	0	0	0	0	0	0	0	0	0	0	0	0	0	1
<i>Gricelis gutifera</i>	0	0	0	0	0	0	0	0	0	0	0	0	0	0	0	0	0	0
<i>Gyroidina</i> sp.	0	0	16	0	0	0	0	0	0	0	0	0	0	0	0	0	0	0
<i>Hansenisca soldanii</i>	0	0	6	3	0	0	0	0	0	0	0	0	0	0	0	0	0	0
<i>Haplophragmoides horridus</i>	0	0	0	0	0	0	0	0	0	2	1	2	0	0	0	0	0	0
<i>Haplophragmoides kirki</i>	0	1	0	0	0	0	0	0	3	0	0	0	0	0	0	0	0	0
<i>Haplophragmoides porectus</i>	0	4	0	0	0	0	0	0	0	0	0	0	0	0	0	0	0	0
<i>Haplophragmoides</i> sp.	1	0	0	0	0	7	0	0	4	0	3	0	0	0	0	0	0	0
<i>Haplophragmoides stomatus</i>	0	1	0	0	0	0	0	0	3	4	0	0	0	1	0	0	0	0
<i>Haplophragmoides walteri</i>	3	4	0	0	1	4	0	2	2	0	0	2	0	0	2	0	0	0
<i>Heterolepa</i> sp.	0	0	0	0	0	0	0	0	0	0	0	0	0	0	0	0	0	0
<i>Hormosina</i> sp.	0	0	0	0	0	1	0	0	0	1	0	0	1	0	0	1	0	0

<i>Hormosina trinitatensis</i>	0	0	1	0	0	0	0	0	0	0	2	2	0	0	0	0	0
<i>Hormosina velascoensis</i>	0	0	0	0	0	0	0	0	0	3	0	3	0	0	0	0	0
<i>Hyperammina dilatata</i>	0	0	0	0	0	0	0	0	0	0	0	0	0	0	0	0	0
<i>Hyperammina elongata</i>	1	0	0	2	1	4	0	1	19	1	4	5	4	0	1	1	2
<i>Hyperammina rugosa</i>	0	1	0	0	0	1	0	0	0	0	3	2	2	0	0	0	1
<i>Hyperammina sp.</i>	0	0	0	0	0	0	0	0	0	0	0	0	0	0	0	0	0
<i>Igorina broedermanni</i>	0	0	1	0	0	0	0	0	0	0	0	0	0	0	0	0	0
<i>Kalamopsis grzybowskii</i>	0	1	3	0	2	1	0	1	0	0	2	0	3	0	0	0	3
<i>Karrerulina coniformis</i>	0	0	0	0	0	0	0	0	0	0	0	0	0	0	0	0	0
<i>Karrerulina conversa</i>	0	0	0	2	0	0	0	0	0	0	0	5	1	6	0	0	0
<i>Karrerulina horrida</i>	0	0	0	0	0	0	0	0	0	0	0	0	2	0	0	0	0
<i>Karrerulina sp.</i>	0	0	0	0	0	0	0	0	0	0	0	0	0	0	0	0	0
<i>Laevidentalina elegans</i>	0	0	0	0	0	0	0	0	0	0	0	0	0	0	0	0	0
<i>Laevidentalina inornata</i>	0	0	0	0	0	0	1	0	0	0	0	0	0	0	0	0	0
<i>Lagena sp.</i>	0	0	1	0	0	0	0	0	0	0	0	0	0	0	0	0	0
<i>Lenticulina sp.</i>	0	0	0	0	0	0	0	0	0	0	0	0	0	0	0	0	0
<i>Lituotuba lituiformis</i>	0	1	0	0	0	0	0	4	0	2	0	0	2	0	1	0	1
<i>Morozovelloides lehneri</i>	0	0	22	0	0	0	0	0	0	0	0	0	0	0	0	0	0
<i>Nodosarella lorifera</i>	0	0	0	0	0	0	0	0	0	0	0	0	0	0	0	0	0
<i>Nodosarella tuberosa</i>	0	0	0	0	0	0	0	0	0	0	0	0	0	0	0	0	0
<i>Nodosaria sp.</i>	0	0	18	0	0	0	0	0	0	0	0	0	0	0	0	0	0
<i>Nothia excelsa</i>	38	47	2	325	48	25	3	12	4	16	57	46	73	7	0	19	106
<i>Nothia latissima</i>	0	0	6	0	2	5	0	0	6	0	0	0	0	0	0	0	0
<i>Nothia robusta</i>	0	0	0	0	0	0	0	0	1	0	0	0	0	0	0	0	0
<i>Oolina globosa</i>	0	0	2	0	0	0	0	0	0	0	0	0	0	0	0	0	0
<i>Paratrochamminoides acervulatus</i>	0	0	0	0	0	0	0	0	0	3	0	1	0	0	0	0	0
<i>Paratrochamminoides deflexiformis</i>	19	13	3	0	0	4	0	5	15	29	0	5	8	1	0	2	1
<i>Paratrochamminoides goryaski</i>	0	0	0	0	0	0	0	0	0	0	0	0	0	0	0	0	0
<i>Paratrochamminoides heteromporphus</i>	0	2	0	0	1	1	0	0	1	5	2	1	4	0	3	0	4
<i>Paratrochamminoides mitratus</i>	0	2	0	1	0	0	0	0	5	5	0	0	0	0	0	0	0
<i>Paratrochamminoides olszewskii</i>	2	4	1	1	5	1	0	2	5	16	12	2	1	0	1	1	0

[illegible]

<i>Siphonodosaria</i> sp.	0	0	0	0	0	0	0	0	0	0	0	0	0	0	1	0	0	0
<i>Spiroplectammina</i> sp.	0	0	0	0	0	0	0	0	1	0	0	0	0	6	0	2	0	0
<i>Spiroplectammina spectabilis</i>	0	0	0	0	0	0	0	0	0	0	0	0	0	0	0	0	0	0
<i>Spiroplectammina trinitatensis</i>	0	0	0	0	0	0	0	0	0	3	0	1	0	0	0	0	0	0
<i>Stillostomella</i> sp.	0	0	5	1	0	0	0	0	0	0	0	0	0	0	1	0	0	0
<i>Stillostomella subspinosa</i>	0	0	1	0	0	0	0	0	0	0	0	0	0	0	0	0	0	0
<i>Subbotina angiporoides</i>	0	0	1	0	0	0	0	0	0	0	0	0	0	0	0	0	0	0
<i>Subbotina</i> sp.	0	0	4	1	0	0	0	0	0	0	0	0	0	0	0	0	0	0
<i>Subreophax pseudoscalaris</i>	2	0	0	0	0	0	0	0	0	0	1	3	0	0	0	0	0	0
<i>Subreophax scalaris</i>	0	2	0	0	0	1	0	0	0	1	0	2	5	0	1	0	1	0
<i>Textularia</i> sp.	0	0	0	0	0	0	0	0	0	0	0	0	0	0	0	0	0	0
<i>Thalmannammina subtrubinata</i>	21	18	0	0	0	0	1	0	0	0	0	0	0	3	0	0	0	0
<i>Trochamminoides dubius</i>	0	0	0	0	0	0	0	0	1	1	0	0	0	0	1	0	0	0
<i>Trochamminoides proteus</i>	0	0	0	0	5	0	0	0	0	0	0	0	0	0	0	0	0	0
<i>Trochamminoides</i> sp.	2	5	0	0	0	0	0	0	0	4	0	0	0	2	0	0	0	2
<i>Trochamminoides subcoronatus</i>	1	17	4	1	9	7	0	1	23	10	7	2	6	4	3	5	12	4
<i>Trochamminoides variolarius</i>	10	4	0	3	1	0	4	6	8	21	7	10	7	7	1	6	1	4
<i>Turborotalia</i>	0	0	0	2	0	0	0	0	0	0	0	0	0	0	0	0	0	0
<i>Vulvulina advena</i>	0	0	0	0	0	1	0	0	0	0	0	0	0	0	1	0	0	0
<i>Vulvulina</i> sp.	0	0	0	0	0	0	0	0	0	0	0	0	0	0	0	0	1	0

Anexa 3.8. Continuare

Specii	19	20	21	22	23	24	25	26	27	28	29	30	31	32	33	34	35	36
<i>Ammobaculites</i> sp.	0	0	0	0	0	0	0	0	0	0	0	0	0	0	0	0	1	0
<i>Ammodiscus cretaceus</i>	1	0	0	1	0	1	0	0	0	0	1	1	0	0	2	0	0	0
<i>Ammodiscus glabratus</i>	0	0	0	0	1	0	0	0	0	0	0	0	0	0	0	0	0	0
<i>Ammodiscus latus</i>	0	0	0	0	0	0	0	0	0	0	0	0	0	0	0	0	0	0
<i>Ammodiscus peruvianus</i>	0	0	1	1	0	0	0	0	0	0	0	1	0	0	0	0	0	0
<i>Ammodiscus</i> sp.	0	0	0	0	0	0	0	0	0	1	0	0	0	0	1	0	0	0

[illegible]

<i>Haplophragmoides porectus</i>	0	0	0	0	0	0	0	0	0	0	0	0	0	0	0	0	0	0
<i>Haplophragmoides</i> sp.	0	0	0	0	1	2	0	1	0	0	0	0	0	0	0	0	2	0
<i>Haplophragmoides stomatus</i>	0	2	0	4	3	10	0	0	0	0	0	0	0	0	0	0	0	0
<i>Haplophragmoides walteri</i>	1	2	3	0	0	0	0	0	0	0	0	0	0	0	0	0	0	0
<i>Heterolepa</i> sp.	0	0	1	0	1	0	0	0	0	0	0	0	0	0	0	0	0	0
<i>Hormosina</i> sp.	0	0	0	0	0	0	0	0	0	0	0	0	0	0	0	0	0	0
<i>Hormosina trinitatensis</i>	0	0	0	0	1	1	8	0	8	0	4	2	0	0	0	0	11	15
<i>Hormosina velascoensis</i>	0	0	0	0	0	0	0	0	0	0	0	0	0	0	0	0	3	0
<i>Hyperammina dilatata</i>	0	0	0	0	0	0	0	0	0	0	0	1	0	1	0	0	0	0
<i>Hyperammina elongata</i>	0	0	0	0	0	0	0	3	1	0	0	0	3	0	0	0	1	1
<i>Hyperammina rugosa</i>	0	0	0	0	0	0	1	0	0	0	0	0	0	0	0	0	0	0
<i>Hyperammina</i> sp.	0	0	0	0	0	0	0	0	0	1	0	1	0	0	0	0	0	0
<i>Igorina broedermanni</i>	0	0	0	0	0	0	0	0	0	0	0	0	0	0	0	0	0	0
<i>Kalamopsis grzybowskii</i>	0	0	0	2	0	0	0	2	3	0	2	10	24	8	4	0	5	20
<i>Karrerulina coniformis</i>	0	0	0	0	0	0	0	0	0	0	0	0	0	0	0	0	5	0
<i>Karrerulina conversa</i>	0	60	0	0	0	0	0	0	6	0	1	6	9	5	2	0	12	5
<i>Karrerulina horrida</i>	0	14	0	0	0	0	0	1	9	0	10	3	8	4	3	0	0	7
<i>Karrerulina</i> sp.	0	0	0	0	0	0	0	0	0	0	0	0	1	0	0	0	2	0
<i>Laevidentalina elegans</i>	0	0	0	0	1	0	0	0	0	0	0	0	0	0	0	0	0	0
<i>Laevidentalina inornata</i>	0	0	0	0	0	0	0	0	0	0	0	0	0	0	0	0	0	0
<i>Lagena globosa</i>	0	0	0	0	0	0	0	0	0	0	0	0	0	0	0	0	0	0
<i>Lagena</i> sp.	0	0	0	0	2	0	0	0	0	0	0	0	0	0	0	0	0	0
<i>Lenticulina</i> sp.	0	0	0	0	0	3	0	0	1	0	0	0	0	0	0	0	0	0
<i>Lituotuba lituiformis</i>	0	0	0	0	0	1	1	0	2	0	1	4	2	0	0	0	0	0
<i>Morozovelloides lehneri</i>	0	0	0	0	0	0	0	0	0	0	0	0	0	0	0	0	0	0
<i>Nodosarella lorifera</i>	0	0	0	0	1	0	0	0	0	0	0	0	0	0	0	0	0	0
<i>Nodosarella tuberosa</i>	0	0	0	0	1	0	0	0	0	0	0	0	0	0	0	0	0	0
<i>Nodosaria</i> sp.	0	0	0	0	1	0	0	1	0	2	0	0	0	0	0	0	0	0
<i>Nothia excelsa</i>	2	0	19	28	6	11	4	22	32	0	11	11	9	1	0	0	3	5
<i>Nothia latissima</i>	0	0	0	0	0	0	0	0	0	0	0	3	0	0	0	0	0	0
<i>Nothia robusta</i>	0	0	0	0	0	0	0	0	0	0	2	0	0	0	0	0	0	0

<i>Paratrochamminoides acervulatus</i>	0	0	0	0	0	0	0	0	0	1	0	1	0	0	0	0	0
<i>Paratrochamminoides deflexiformis</i>	0	0	7	0	0	0	7	0	0	0	4	0	1	1	2	0	0
<i>Paratrochamminoides goryaski</i>	0	0	0	0	2	0	0	7	0	0	0	0	0	0	0	0	1
<i>Paratrochamminoides heteromporphus</i>	0	4	3	5	2	5	2	5	1	4	3	0	2	0	0	0	1
<i>Paratrochamminoides mitratus</i>	0	0	0	0	0	0	0	0	0	0	0	0	0	0	0	0	0
<i>Paratrochamminoides olszewskii</i>	2	0	0	1	0	0	0	0	2	0	3	0	0	0	0	0	0
<i>Paratrochamminoides sp.</i>	0	0	0	0	9	0	0	0	0	0	1	0	0	9	2	0	4
<i>Placentamina placenta</i>	1	0	4	26	6	17	46	22	22	2	17	6	26	12	2	0	13
<i>Popovia elegans</i>	0	0	0	0	0	0	0	0	0	0	0	0	0	0	0	0	0
<i>Praesphaerammina subgaleata</i>	0	0	0	1	0	0	0	0	0	0	0	0	0	0	0	0	0
<i>Psamminopelta gradsteini</i>	0	0	0	0	0	0	0	0	0	0	0	0	1	0	0	0	0
<i>Psammosiphonella cylindrica</i>	0	14	8	13	9	13	6	31	24	0	0	4	0	0	0	0	2
<i>Psammosiphonella discreta</i>	0	9	1	11	0	6	1	9	9	2	0	0	0	0	0	0	0
<i>Psammosphaera fusca</i>	0	0	0	0	0	0	0	0	0	0	0	0	0	0	0	0	0
<i>Psammosphaera irregularis</i>	0	0	10	0	7	0	0	0	0	0	7	38	0	20	7	4	9
<i>Pseudonodosinella elongata</i>	2	0	0	1	0	0	0	0	14	2	10	0	0	0	1	0	4
<i>Pseudonodosinella nodulosa</i>	0	0	0	0	0	0	0	0	0	0	0	0	0	0	0	0	1
<i>Recurvoidella lamella</i>	3	19	10	6	1	0	0	0	0	0	1	0	0	1	0	0	0
<i>Recurvoides anormis</i>	1	14	9	19	1	4	1	7	4	0	0	7	4	4	0	3	0
<i>Recurvoides rectoseptus</i>	0	12	0	0	0	0	0	0	0	0	0	0	0	0	0	0	0
<i>Recurvoides sp.</i>	1	2	0	0	1	0	0	1	0	0	1	10	0	0	0	0	10
<i>Recurvoides walteri</i>	0	0	0	0	0	0	0	0	0	0	0	0	0	0	0	4	0
<i>Reophax duplex</i>	0	0	5	26	2	17	5	3	7	0	2	9	8	0	0	0	8
<i>Reophax globosus</i>	0	0	3	7	0	2	3	2	0	0	0	3	9	1	0	0	5
<i>Reophax pilulifer</i>	0	0	0	5	0	1	0	0	0	0	0	0	2	0	0	0	0
<i>Reophax sp</i>	0	0	0	0	1	0	0	0	0	1	0	0	0	0	1	0	0
<i>Reophax subfusiformis</i>	0	0	0	0	0	0	0	2	0	0	0	0	0	0	0	0	0
<i>Reticulophragmium acutidorsatum</i>	0	0	0	1	1	0	0	0	0	0	1	2	0	0	0	0	0
<i>Reticulophragmium amplexans</i>	2	0	2	4	1	21	0	1	1	2	1	9	2	6	1	1	0
<i>Reticulophragmium rotundidorsatum</i>	0	0	0	0	0	0	0	0	0	0	0	3	0	0	0	0	0
<i>Reticulophragmium sp.</i>	0	0	0	0	0	0	0	0	0	1	0	3	0	1	0	0	0

[illegible]

Anexa 3.9. Valea Moldoviței

Specii	1	2	3	4	5	6	7	8	9	10	11	12	13	14	15	16
<i>Ammobaculites agglutinans</i>	0	0	0	0	0	0	0	0	0	0	0	0	0	0	2	0
<i>Ammobaculites</i> sp.	0	0	1	0	1	0	0	0	0	0	0	0	0	0	0	0
<i>Ammodiscus cretaceus</i>	1	0	0	0	0	0	0	0	1	0	0	0	0	3	0	0
<i>Ammodiscus peruvianus</i>	2	0	0	1	0	0	0	0	0	0	0	0	0	1	0	0
<i>Ammodiscus</i> sp.	3	0	0	3	0	0	2	0	0	0	3	0	0	3	2	0
<i>Ammolagena clavata</i> fixată pe <i>Rhabdammina</i> sp.	0	0	0	0	0	0	0	0	0	0	1	0	0	0	0	0
<i>Ammosphaeroidina pseudopauciloculata</i>	0	2	1	2	0	0	1	0	0	1	0	0	0	0	2	0
<i>Arthrodendron grandis</i>	0	0	2	0	1	0	0	0	0	0	0	0	0	0	0	0
<i>Arthrodendron</i> sp.	0	0	0	0	0	0	0	0	0	2	0	0	0	0	0	0
<i>Bathysiphon</i> sp	19	4	12	0	5	0	0	8	0	3	10	0	0	2	7	0
<i>Bathysiphon taurinensis</i>	1	1	1	0	2	0	0	4	0	0	1	0	0	0	1	0
<i>Budashevaella multicamerata</i>	0	0	0	1	0	0	0	0	0	0	1	0	0	2	0	0
<i>Budashevaella</i> sp	0	0	0	0	0	0	0	1	0	0	0	0	0	0	0	0
<i>Chilostomella</i> sp.	0	0	0	0	0	0	0	0	0	0	0	21	0	0	0	0
<i>Dentalina</i> sp.	0	0	0	0	0	0	0	0	0	0	0	0	0	0	0	2
<i>Globigerina bulloides</i>	0	0	0	0	2	0	0	0	0	0	0	0	0	0	0	0
<i>Globigerinoides</i> sp.	0	2	0	0	4	0	0	0	0	0	0	0	0	0	0	0
<i>Glomospira charoides</i>	1	1	1	1	0	0	0	0	0	0	0	0	0	0	4	0
<i>Glomospira gordialis</i>	2	0	0	1	0	0	0	0	0	0	0	0	0	0	1	0
<i>Glomospira irregularis</i>	0	1	1	2	2	2	0	0	2	0	0	1	0	2	0	0
<i>Glomospira serpens</i>	1	0	0	0	0	0	0	0	2	0	0	0	0	0	0	0
<i>Glomospira</i> sp.	3	0	2	0	5	0	1	0	0	2	1	0	0	0	0	1
<i>Haplophragmoides horridus</i>	1	1	1	0	2	0	0	1	0	0	0	0	1	0	1	0
<i>Haplophragmoides kirki</i>	0	0	0	0	1	0	0	0	0	0	0	0	0	0	1	0
<i>Haplophragmoides porectus</i>	0	0	0	0	0	0	0	0	0	0	1	0	0	0	0	0
<i>Haplophragmoides</i> sp.	1	2	3	5	0	0	0	0	1	2	0	0	0	0	2	0
<i>Haplophragmoides stomatus</i>	0	0	0	1	0	0	0	0	0	0	0	0	0	0	0	0
<i>Haplophragmoides walteri</i>	2	3	5	1	1	1	0	0	3	0	0	0	0	1	3	0

<i>Hormosina trinitatensis</i>	0	0	0	0	0	0	0	0	0	0	1	0	0	0	1	0
<i>Hormosina velascoensis</i>	2	0	0	2	5	1	1	1	0	0	0	0	1	0	0	0
<i>Hyperammina elongata</i>	0	0	0	0	0	6	2	1	0	0	4	1	0	0	0	0
<i>Hyperammina dilatata</i>	1	0	2	1	0	0	0	0	0	0	0	0	0	0	0	0
<i>Hyperammina rugosa</i>	0	3	1	0	0	2	0	0	0	0	5	0	0	0	0	0
<i>Hyperammina</i> sp.	0	0	1	0	0	0	0	0	0	0	0	0	0	0	0	0
<i>Kalamopsis grzybowskii</i>	8	1	18	22	3	15	10	5	11	10	16	0	0	0	0	1
<i>Karrerulina coniformis</i>	9	0	0	9	1	0	1	3	0	0	0	0	0	0	0	0
<i>Karrerulina conversa</i>	2	0	0	1	0	0	0	0	0	0	0	0	0	0	0	0
<i>Karrerulina horrida</i>	4	0	0	4	3	1	2	2	0	0	0	0	0	0	0	0
<i>Karrerulina</i> sp.	0	1	0	4	2	1	1	1	0	0	0	0	0	0	0	0
<i>Lituotuba lituiformis</i>	0	0	2	0	0	0	0	0	1	0	0	0	0	0	0	0
<i>Nothia excelsa</i>	0	1	23	20	0	0	0	0	0	0	0	0	0	0	0	0
<i>Nothia latissima</i>	0	0	1	0	0	0	0	0	0	0	0	0	0	2	1	0
<i>Nothia robusta</i>	1	1	13	2	0	0	0	0	0	0	0	0	0	2	3	0
<i>Nothia</i> sp.	0	0	0	0	0	2	3	10	0	0	0	0	0	12	9	12
<i>Paratrochaminoides deflexiformis</i>	1	0	0	2	1	0	0	0	0	0	3	0	0	0	0	0
<i>Paratrochaminoides goryaski</i>	0	0	0	0	0	0	0	0	0	0	0	0	0	0	0	0
<i>Paratrochaminoides heteromorphus</i>	2	2	2	1	1	2	1	0	0	1	6	1	1	3	7	0
<i>Paratrochaminoides mitratus</i>	0	0	1	2	0	0	1	0	0	0	0	0	0	0	0	0
<i>Paratrochaminoides olszewskii</i>	2	0	2	3	1	1	0	0	0	1	4	0	0	0	3	0
<i>Paratrochaminoides</i> sp.	4	4	2	6	5	2	0	0	2	2	7	1	14	6	11	14
<i>Placentamina placenta</i>	10	0	5	4	3	2	0	0	1	2	0	0	3	0	1	1
<i>Praesphaerammina subgaleata</i>	0	0	2	0	1	0	0	0	0	0	0	0	0	0	4	1
<i>Psammínopelta gradsteini</i>	0	0	0	0	0	0	0	0	1	0	0	0	1	2	0	0
<i>Psammosiphonella cylindrica</i>	3	3	8	0	0	0	0	0	0	0	5	5	7	31	4	4
<i>Psammosiphonella discreta</i>	0	0	0	0	0	0	0	0	0	0	0	0	0	0	3	0
<i>Psammosphaera fusca</i>	0	0	0	0	0	0	0	0	0	0	0	0	0	0	0	0
<i>Psammosphaera irregularis</i>	6	4	18	14	13	5	3	5	1	16	6	1	15	4	2	4
<i>Psammosphaera</i> sp.	5	1	3	0	0	0	0	0	0	0	0	0	0	0	0	0
<i>Pseudonodosinella elongata</i>	0	0	1	1	3	3	1	0	0	0	21	1	0	0	0	0

<i>Pseudonodosinella nodulosa</i>	0	0	0	0	0	0	0	0	0	0	1	1	0	0	0	0
<i>Recurvoides anormis</i>	1	0	0	1	1	0	0	0	0	0	5	0	0	0	3	0
<i>Recurvoides rectoseptus</i>	0	0	0	0	0	0	0	0	0	0	0	0	0	2	1	0
<i>Recurvoides sp.</i>	6	2	2	2	5	2	6	3	2	0	4	1	0	6	14	5
<i>Recurvoides walteri</i>	0	0	0	0	0	0	0	0	0	0	0	0	0	2	2	0
<i>Reophax duplex</i>	9	2	14	11	11	3	8	3	3	3	26	0	15	3	3	0
<i>Reophax globosus</i>	0	2	6	5	5	2	4	6	2	3	13	2	4	5	2	0
<i>Reophax pilulifer</i>	0	0	2	2	2	0	1	0	0	0	1	0	0	0	0	0
<i>Reophax sp</i>	0	3	6	1	6	0	1	0	0	0	0	1	0	1	1	0
<i>Reophax subfusiformis</i>	0	0	0	1	1	0	1	1	1	0	0	0	0	0	1	0
<i>Reticulophragmium amplectens</i>	0	0	0	0	0	0	0	1	0	0	4	0	0	1	3	0
<i>Reticulophragmium rotundidorsatum</i>	0	0	0	0	0	0	0	0	0	0	1	0	0	1	0	0
<i>Reticulophragmium sp.</i>	0	1	0	0	0	0	0	0	0	0	0	0	0	0	0	0
<i>Rhabdammina sp.</i>	14	8	13	0	14	12	7	0	20	25	49	0	35	0	0	0
<i>Rhizammina sp.</i>	3	0	8	18	16	0	0	0	0	0	0	2	10	0	0	10
<i>Saccammina grzybowskii</i>	3	2	7	2	3	2	3	0	0	2	7	0	6	0	1	1
<i>Saccammina sp.</i>	1	0	0	0	0	1	0	0	0	0	0	0	0	0	0	0
<i>Saccammina sphaerica</i>	0	0	0	0	0	1	1	0	0	0	0	0	0	0	0	0
<i>Spiroplectammina sp.</i>	0	0	1	0	0	0	0	0	0	0	0	0	0	0	0	0
<i>Spiroplectammina spectabilis</i>	0	0	0	0	1	0	4	2	0	0	0	0	52	76	0	0
<i>Subreophax pseudoscalaris</i>	1	0	1	0	0	0	0	0	0	0	0	0	0	0	1	0
<i>Subreophax scalaris</i>	3	0	0	0	3	0	0	0	0	0	4	0	0	1	0	0
<i>Textularia sp.</i>	0	0	0	0	0	1	0	0	0	0	0	0	0	0	0	0
<i>Trochamminoides proteus</i>	0	0	0	0	0	0	0	0	0	0	1	0	0	0	0	0
<i>Trochamminoides sp.</i>	0	0	0	0	0	0	0	0	0	0	0	0	3	0	0	0
<i>Trochamminoides subcoronatus</i>	0	0	1	1	1	0	0	2	1	1	5	0	1	0	4	0
<i>Trochamminoides variolarius</i>	0	0	6	3	4	0	1	2	0	0	3	1	2	2	3	0

Anexa 3.10. Valea Humorului, Valea Boului

Specii	Valea Humorului			Valea Boului				
	1	2	3	1	2	3	4	5
<i>Ammodiscus</i> sp.	0	0	0	1	3	2	0	7
<i>Ammosphaeroidina</i> sp	0	0	0	2	16	2	0	0
<i>Ammosphaeroidina pseudopauciloculata</i>	2	0	1	0	0	0	0	0
<i>Bathysiphon</i> sp.	7	9	0	0	0	0	0	0
<i>Globigerina bollii</i>	0	0	0	0	2	0	0	0
<i>Globigerina bulloides</i>	0	0	0	0	5	0	0	0
<i>Globigerina prasaepis</i>	0	0	0	0	5	0	0	0
<i>Globigerina rohri</i>	0	0	0	0	2	0	0	0
<i>Globigerina</i> sp.	0	0	0	217	126	31	0	68
<i>Globigerinoides primordius</i>	0	0	0	0	5	0	0	0
<i>Globigerinoides</i> sp.	0	0	0	0	7	0	0	0
<i>Globorotalia</i> sp.	0	0	0	5	0	0	0	5
<i>Glomospira charoides</i>	1	0	0	0	0	5	0	3
<i>Glomospira gordialis</i>	0	0	0	0	0	1	0	0
<i>Glomospira irregularis</i>	0	1	0	0	0	0	0	0
<i>Glomospira</i> sp.	3	0	0	0	0	0	0	0
<i>Haplophragmoides</i> sp.	0	0	1	0	0	3	0	0
<i>Hormosina velascoensis</i>	0	0	1	0	0	0	0	0
<i>Hyperammina dilatata</i>	0	0	0	0	0	1	0	7
<i>Hyperammina elongata</i>	2	0	0	0	0	0	0	0
<i>Hyperammina rugosa</i>	0	0	0	0	0	3	0	7
<i>Karrerulina conversa</i>	0	0	1	0	0	0	0	0
<i>Nothia</i> sp.	7	1	0	0	0	0	0	0
<i>Paratrochamminoides heteromorphus</i>	1	0	0	0	0	0	0	0
<i>Paratrochamminoides</i> sp.	0	5	0	0	0	0	0	0
<i>Placentammina placenta</i>	1	2	0	0	0	0	0	0
<i>Placentammina</i> sp.	0	0	0	0	0	2	0	3
<i>Praesphaerammina subgaleata</i>	1	0	0	0	0	0	0	0

<i>Psammosphaera irregularis</i>	4	8	1	0	0	0	0	0
<i>Psammosphaera sp.</i>	0	2	0	0	0	0	0	0
<i>Recurvoides sp.</i>	6	6	0	0	0	0	0	0
<i>Reophanus berggreni</i>	0	2	0	0	0	0	0	0
<i>Reophax duplex</i>	1	6	1	0	0	0	0	0
<i>Reophax pilulifer</i>	0	2	0	0	0	0	0	0
<i>Reophax sp.</i>	1	5	2	0	0	0	0	0
<i>Reticulophragmium amplexans</i>	1	7	0	0	0	0	0	0
<i>Reticulophragmium sp.</i>	1	0	3	0	0	0	0	0
<i>Rhabdammina sp.</i>	7	6	0	0	0	4	0	49
<i>Saccammina grzybowskii</i>	4	0	2	0	0	0	0	7
<i>Saccammina sp.</i>	0	0	0	0	0	1	0	0
<i>Spiroplectammina sp.</i>	0	0	0	0	0	0	0	3
<i>Subreophax sp.</i>	0	0	0	0	3	4	0	4
<i>Trilobatus trilobus</i>	0	0	0	7	0	0	0	0
<i>Trochamminoides variolarius</i>	2	1	0	0	0	0	0	0



ISBN: 978-606-37-0359-1